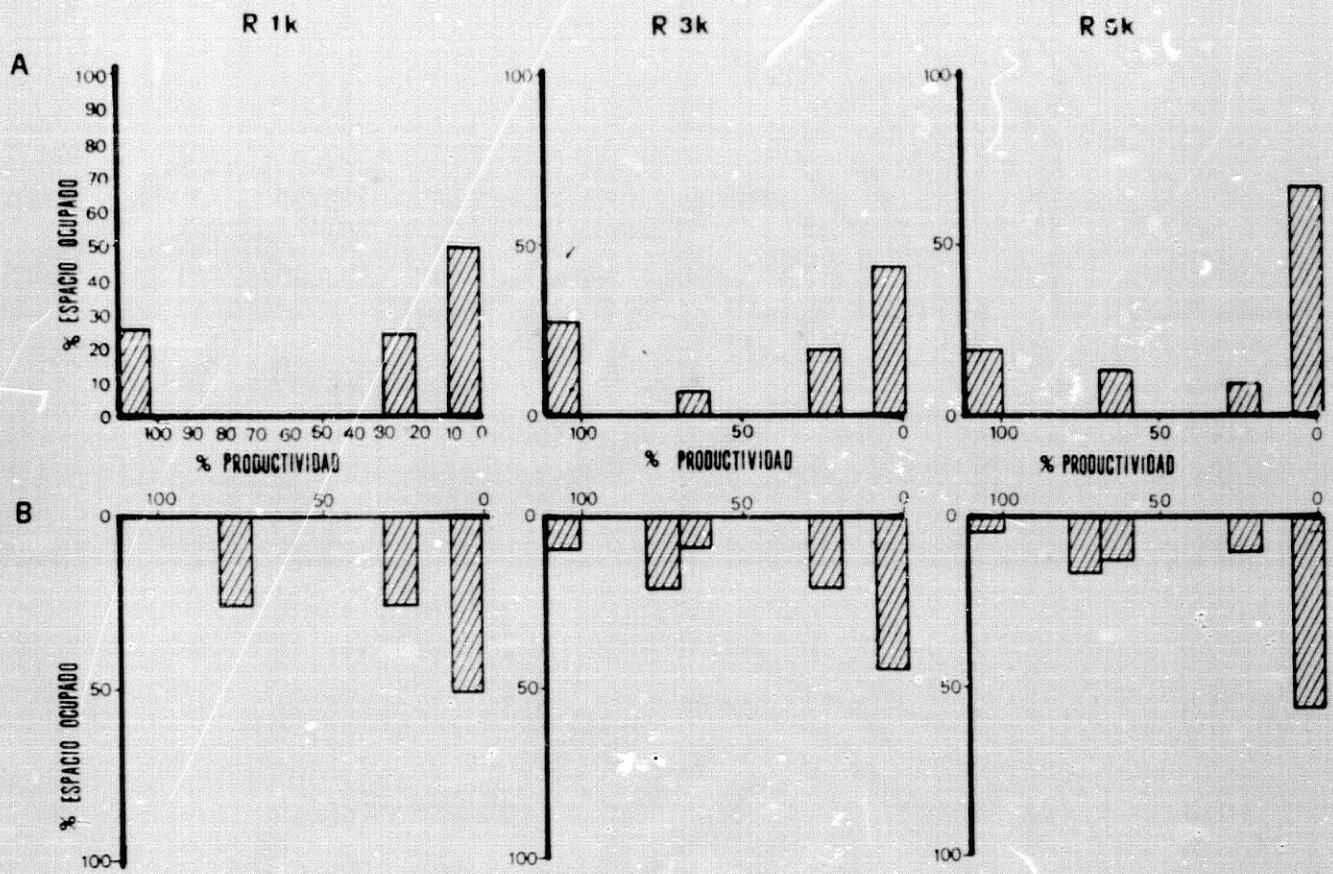


TIPO 7
N° 132



A

INDICES	PRODUCTIVIDAD	PROGRESIVO
100 %	SUELOS TIPO 1-2	
80 %	" "	3
60 %	" "	4
40 %	" "	5
20 %	" "	6-7
0 %	" "	8...23

B

CLASE	INDICE	PRODUCTIVIDAD CALVO FLORES (FAO)
I	100 %	SUELOS TIPO 1-2
	90 %	" "
	80 %	" "
II	70 %	" 3
	60 %	" 4
	50 %	" "
III	40 %	" 5
	30 %	" "
IV	20 %	" 6-7
	10 %	" 8, 9, 11, 13, 15... 20, 22, 23
V	0 %	" 10, 12, 14, 21

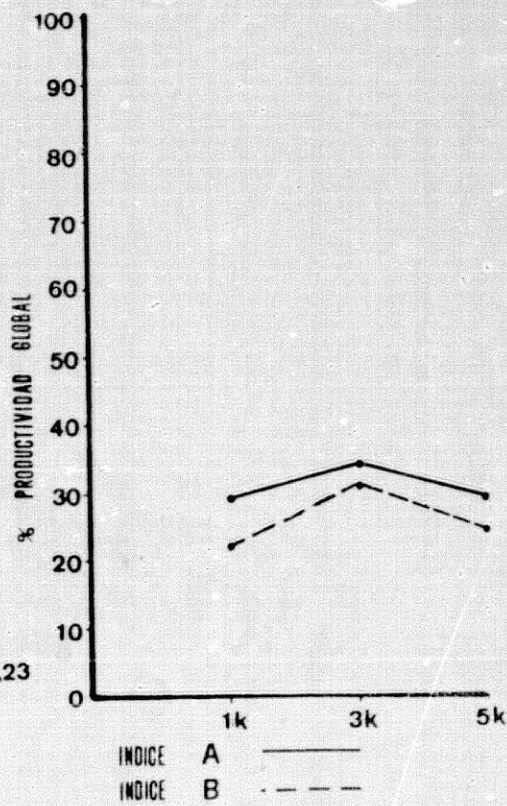
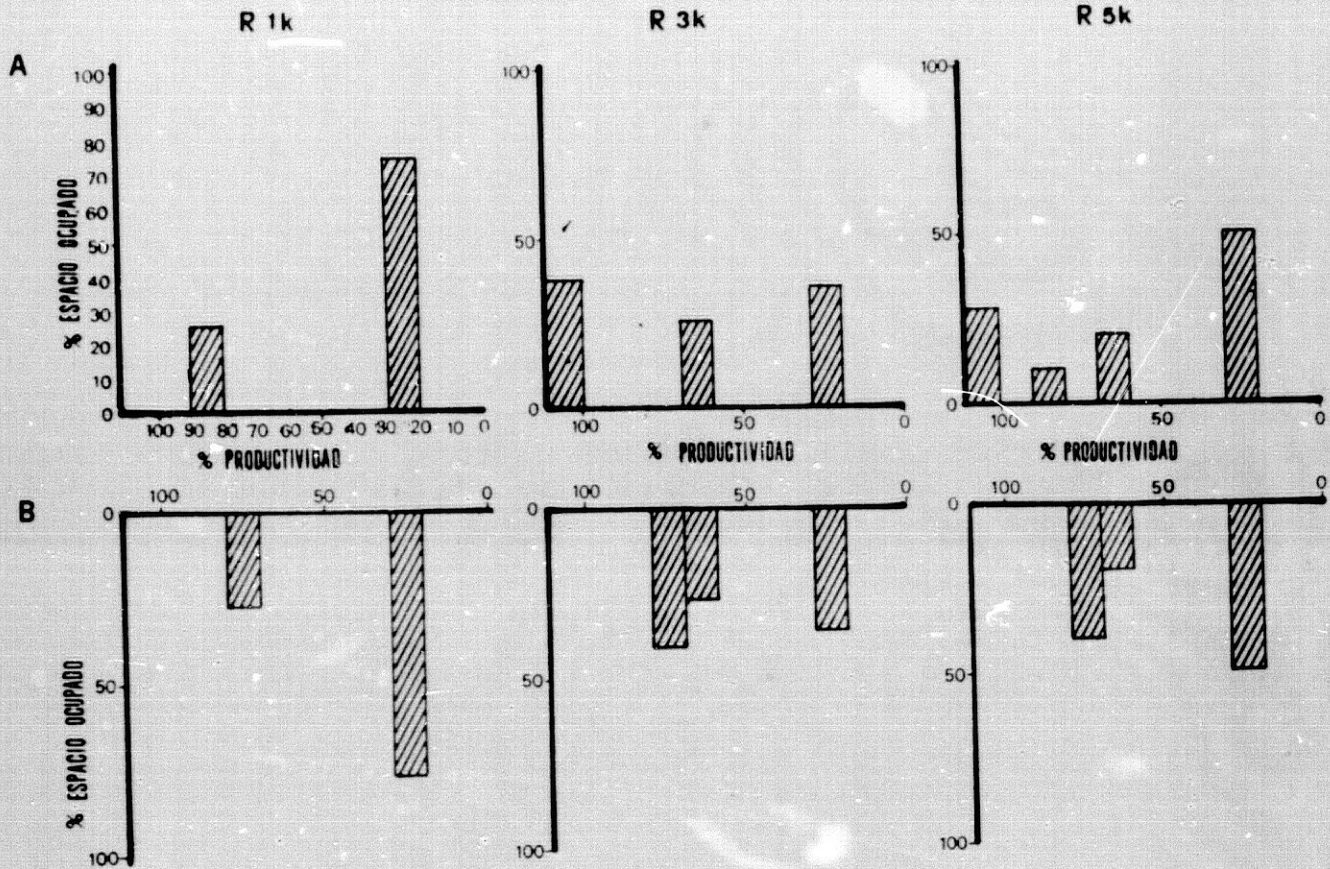


FIG. III, 27

TIPO 8
N° 156



A
INDICES PRODUCTIVIDAD PROGRESIVO

INDICE	PRODUCTIVIDAD	SUELOS TIPO
100 %	1-2	1-2
80 %	3	3
60 %	4	4
40 %	5	5
20 %	6-7	6-7
0 %	8...23	8...23

B
INDICE PRODUCTIVIDAD CALVO FLORES (FAO)

CLASE	INDICE	PRODUCTIVIDAD	SUELOS TIPO
I	100 %	1-2	1-2
	90 %	3	3
	80 %	4	4
II	70 %	5	5
	60 %	6-7	6-7
	50 %	8...23	8...23
III	30 %	10,12,14,21	10,12,14,21
	20 %	11,13,15...20,22,23	11,13,15...20,22,23
IV	10 %		
V	0 %		

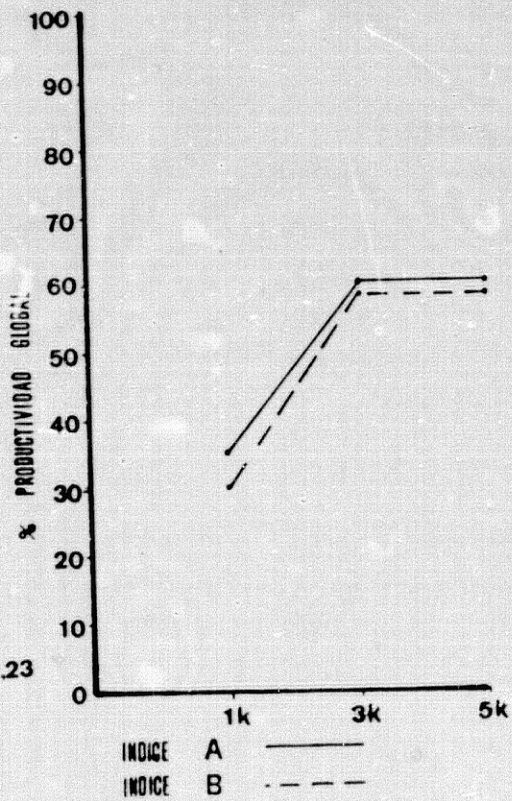
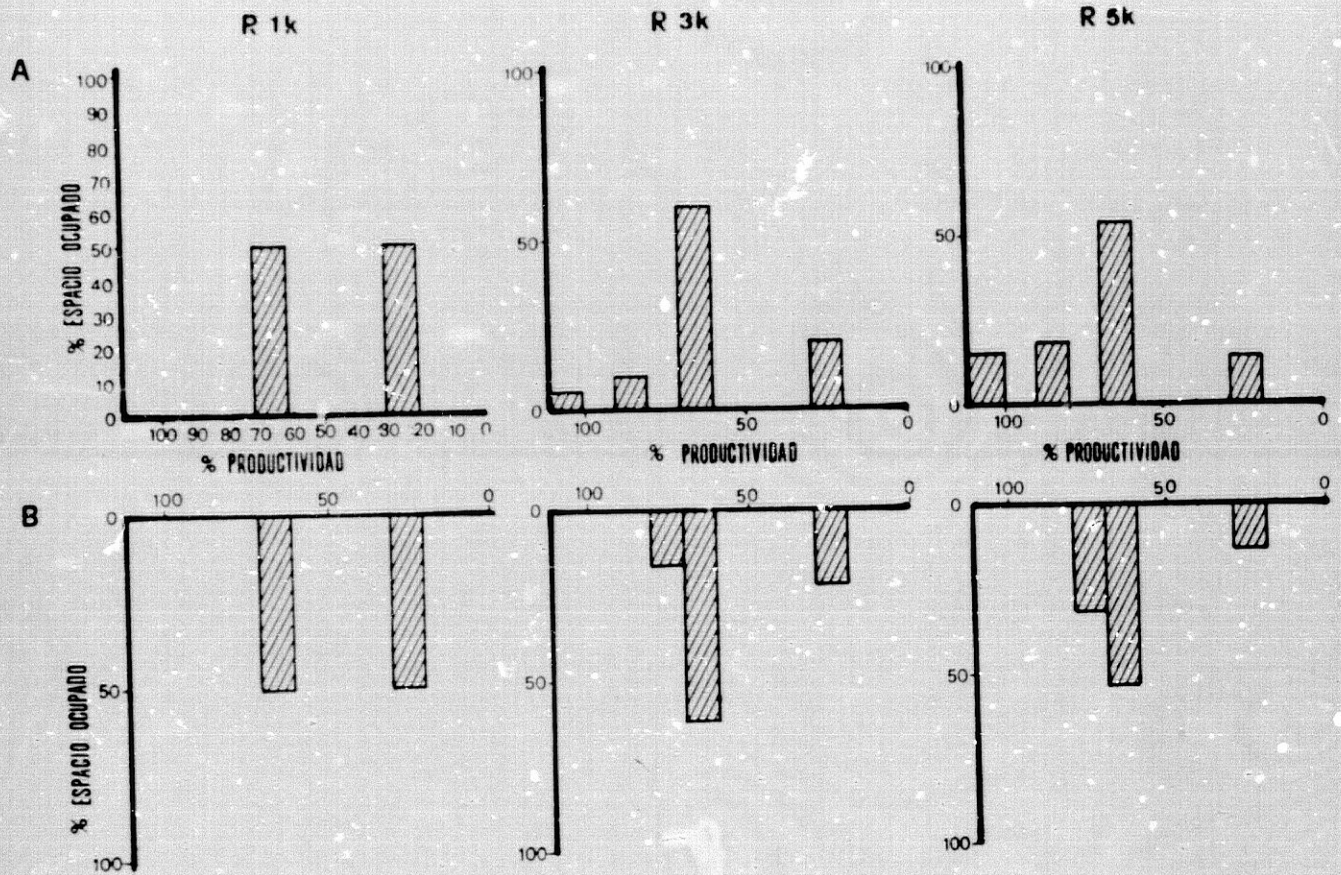


FIG. III, 2B

TIPO 9
N° 9



A

INDICES	PRODUCTIVIDAD	PROGRESIVO
100 %	SUELOS TIPO	1-2
80 %	"	3
60 %	"	4
40 %	"	5
20 %	"	6-7
0 %	"	8...23

B

INDICE	PRODUCTIVIDAD	CALVO FLORES (FAO)
CLASE I	100 %	SUELOS TIPO 1-2
	90 %	"
	80 %	"
" II	70 %	" 3
	60 %	" 4
	50 %	" 5
	40 %	"
" III	30 %	"
	20 %	" 6-7
" IV	10 %	" 8, 9, 11, 13, 15... 20, 22, 23
	0 %	" 10, 12, 14, 21

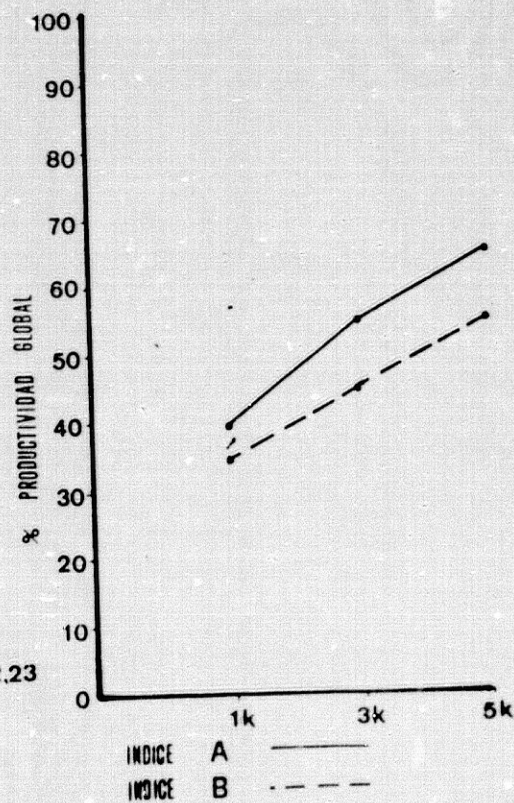


FIG. III, 29

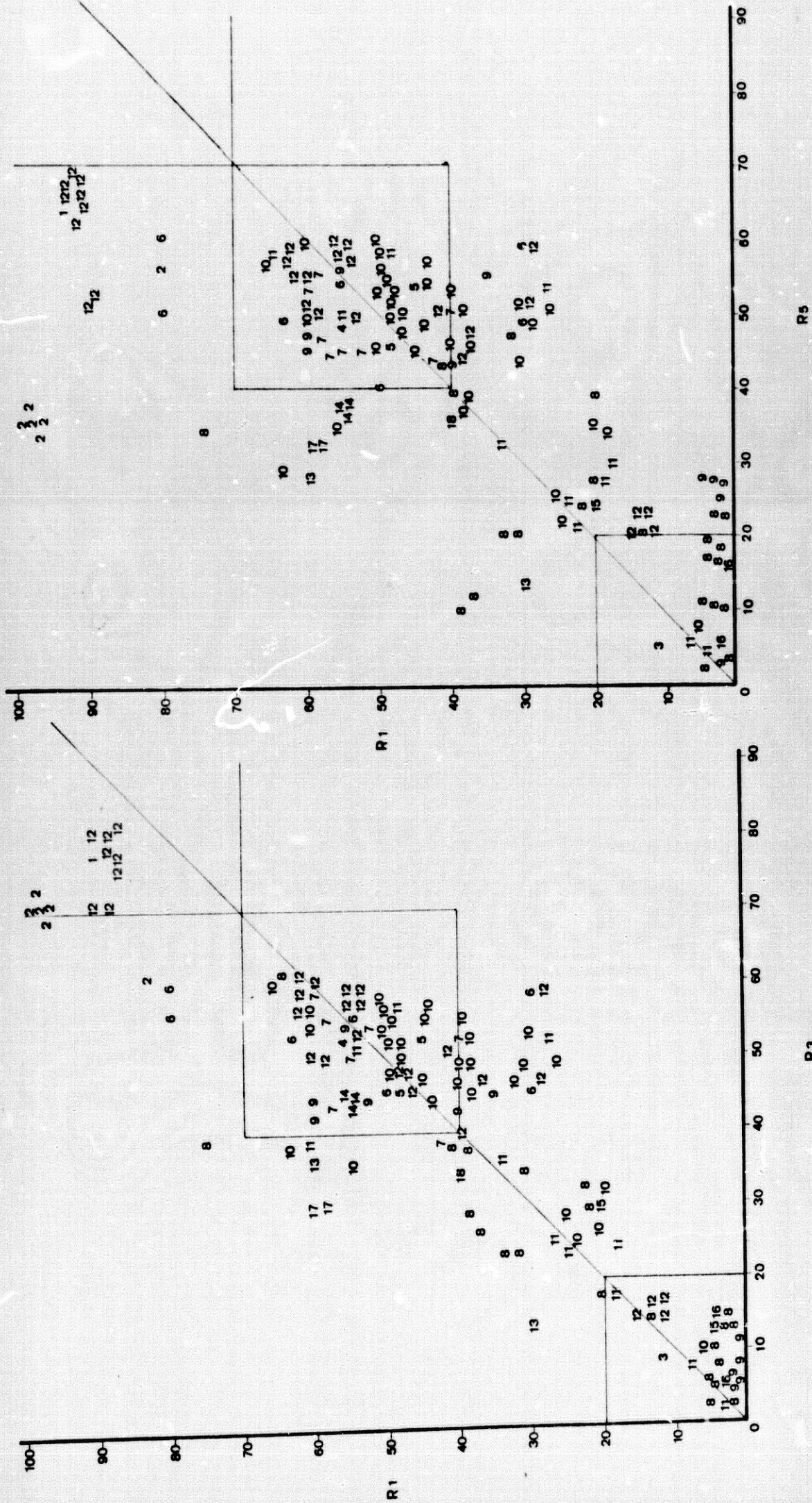


FIG. III, 30
Potencial Productivo Teórico de los Tipos de UGA del ACL con la Intervención de la Distancia R1, R3 y R5:
Distancia Media en Radios de 1, 3 y 5 km.

CAPITULO IV. EL TIEMPO DE LA TRANSICION

El análisis de la acción del hombre del Tercer y Segundo Milenio BC., sobre el espacio de las Campiñas del Alto Guadalquivir, revela la existencia de una dinámica que escapa a cualquier determinismo físico de las Grandes Unidades del Paisaje. La satisfaciente elección de la UGA, muestra una conducta teórica, guiada bajo los presupuestos de las relaciones sociales en y entre grupos, cuya explicación sólo puede realizarse mediante la contrastación de los cambios de las coyunturas del Patrón de Asentamiento, al que podemos aproximarnos con la incorporación al análisis de un nuevo factor: el Tiempo.

Por esta razón, el Tiempo no ha de presentarse como un mero encuadre cronológico, sino como el soporte y el efecto del Proceso Histórico, al reflejar en las Diacronías y Sincronías el Modelo-os Explicativos. El Tiempo "científico" (Leach 1954:114), que ofrecen los sistemas de datación como el C14, suponen el encuadre de un Segundo Tiempo, que muestra, arqueológicamente, la materialización del Tiempo Real, y que podemos definir como Tiempo Social, pero no en el sentido estructuralista (Levi-Strauss 1963:289), donde éste sólo tiene la propiedad de un derivado de los fenómenos sociales que lo engendran, y donde Sincronía y Diacronía tienen el mismo valor. El Tiempo Social, en ningún caso, es la caracterización de sucesivas relaciones causa-efecto, o una ordenación cíclica, al definirse en el sentido dialéctico de la Historia, aunque empíricamente asuma la forma arqueológica de la materialización de las Formaciones Socioeconómicas y sus Relaciones de Producción y de Reproducción, pues sólo es explicable en el Proceso (Diacronía) (Nocete 1986), donde se engarzan las coyunturas de su formación (Sincronía) diferenciadas, sin las cuales el Proceso sería inexplicable, y la Historia del Hombre se reduciría a modelos cíclicos o progresivos de teóricas estructuras de funcionamiento del Reduccionismo, que encierra el estudio del Pasado en sí mismo, al no interesarle observar ni comprender el Presente.

Sin embargo, establecer las unidades cronológicas del Tiempo Social, en la Prehistoria, resulta muy complejo, en la medida que ha de ceñirse a umbrales diferenciables en la materialización del Tiempo Real, siempre sujetos a relaciones probabilísticas sobre la sesgada información del registro arqueológico.

La diferencia que, tradicionalmente, se establece en Arqueología Prehistórica sobre cronologías absolutas y relativas, es, por tanto, un problema baladí, toda vez que el registro de ambos obedece a una misma escala de significación: la Estratigrafía (diacronía puntual y reducida de la materialización del Tiempo Real). En ella, la correlación de sistemas de datación absoluta y "científica" como el caso del C14, definen sólo la existencia de un carbón cronografiable y, en ningún caso, trasladable, en un amplio conjunto de características materiales que pueden parcialmente corresponder y homologarse en el espacio real del yacimiento.

En el Espacio de la Historia que estudiamos, podemos contar con una serie de dataciones, de las denominadas absolutas, en tres yacimientos, de los cuales sólo uno ofrece una Diacronía material amplia: Albalate.

AB		CT		PL
I				
II				
III				
IV	2130 (+/- 100) BC			
V	2090 (+/- 100) BC			
	1940 (+/- 100) BC			
VI	1880 (+/- 100) BC	I	1880 (+/- 90) BC	
VII				
VIII				I 1540(+/-80)BC

La elección de las dataciones sólo revela, en estos casos, los únicos carbonos documentados y analizables, y los paquetes estratigráficos (fases) a los que hacían referencia, ordenados en base a criterios como reestructuración de grandes obras en el asentamiento, como las fortificaciones, en el caso AB, y la fundación, de las aldeas, como en el caso de Cortijo de la Torre (CT) o Peñalosa (PL).

El resto de las fases, podrían acogerse, nuevamente, al eterno problema de la Arqueología Peninsular: los "Paralelos", en la identificación de aislados y comunes elementos de una amplísima materialización del Tiempo Real, que, en ambos casos, podría obedecer más que a un simple problema arqueológico de ordenación secuencial, a tradiciones culturales de ritmos bien diferentes, como podría ser el caso de la homologación entre Albalate (AB) II, con la cronología de 2800-2600 BC., que contextos materiales similares reflejan en Montefrío (Arribas y Molina 1979), o la Fase AB III, con la datación reciente de 2500 BC. del Cerro de las Capellanías, en Málaga.

Esta breve muestra de C14, en las Campiñas, no permite que otorguemos demasiada importancia a las llamadas cronologías absolutas, pues, sólo pueden ayudar a definir, genéricamente, en que momento del Tercer y Segundo Milenio BC. se sitúan los conjuntos de materiales documentados en el registro arqueológico, y mucho más difícilmente, nos podrán ayudar en la definición de contextos de superficie. La homologación, así, para los asentamientos del registro básicamente superficial, ha de pasar por nuevas correlaciones extrapolables, y los criterios de esta extrapolación y homologación, para establecerse en el registro superficial, sólo pueden definirse a través de registros materiales perfectamente precisados.

Sin embargo, no podemos hacer un traslado mimético de los repertorios materiales sin correlacionar previamente su significación en los asentamientos de que proceden, toda vez que la encuesta de la excavación, supone una serie de distorsiones generadas por los lugares de actividad, etc..., donde éstos han sido contextualizados. El hecho obliga, en principio, a una contrastación donde, la necesidad de asentamientos excavados para crear conjuntos (tipos), que se contrasten en los no excavados, deben de ofrecer una amplia y siempre precisa lectura y muestreo, no limitada a constricciones funcionales, si éstas no son valorables.

Pero, en primer lugar, debemos elegir la población de productos del registro arqueológico, más representativa, cuantitativa y cualitativamente, de aquellos atributos homologables desde la excavación al registro de superficie.

Sin lugar a dudas, esa población de productos, para el Tercer y Segundo Milenio BC., en la Campiña, ha sido la Cerámica. El estado de conservación fragmentado que, fundamentalmente, los recipientes reflejan en las muestras superficiales, nos obliga a centrar nuestro análisis, no en las formas completas, sino sobre ciertas partes del recipiente que presentan más variabilidad y cualificación. En el caso y muestra que estudiamos, sin lugar a dudas, es el Borde.

Una tipología de bordes, es de hecho "lo posible", cuando buscamos una cuantificación y muestreo suficientes para detectar y ordenar una variabilidad cronológico-material del Tiempo Social, extrapolable desde las secuencias estratigráficas a los registros de superficie.

Sin embargo, esta tipología (ordenación taxonómica) sólo tiene el valor que le conferimos, y no pretendemos, con ella, crear otra de recipientes, pues, esto sería una falacia, con conjuntos documentales parciales y sesgados, donde el factor que define al recipiente no puede reconstruirse: la Funcionalidad. El resultado sólo podría ser una tipología de formas, con idéntico valor a la de bordes, pues, los recipientes son productos que cubren una función legible contextualmente (Bate 1982; Hodder y Orton 1976; Hietala 1984), en registros de deposición no alterados (Ruiz, Molinos, Nocete y Castro 1986).

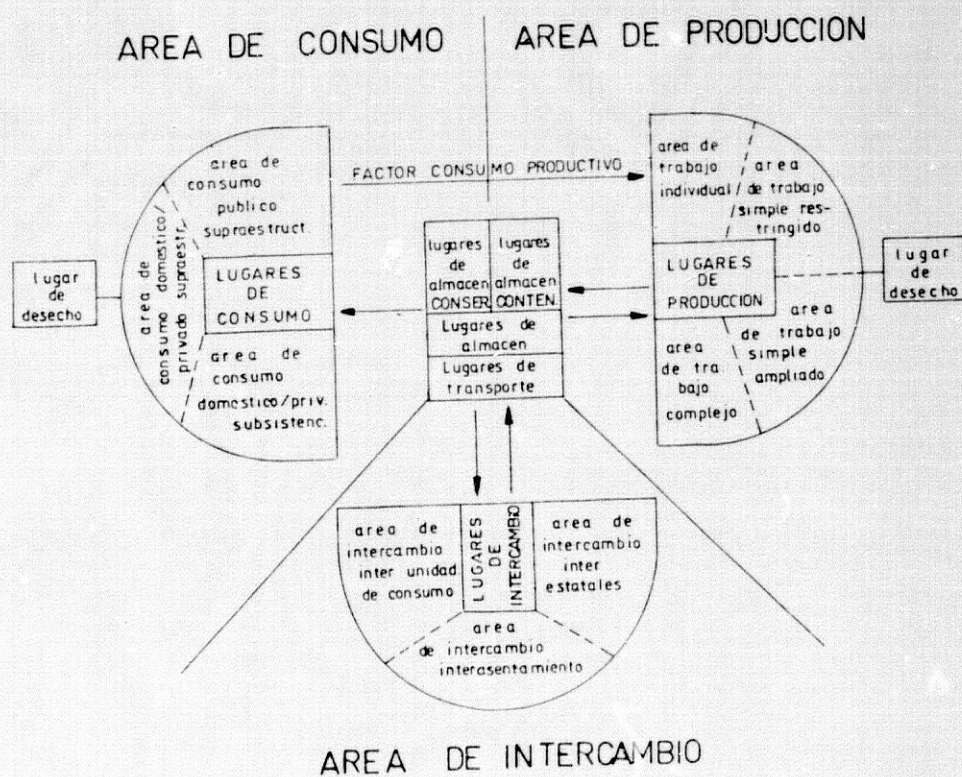


FIG. IV, 1

Así, entre la elección de una tipología de bordes o formas, consideramos más operativa la primera, al permitir una mayor representación numérica, una mayor variabilidad de los conjuntos de excavación, y, por supuesto, la posibilidad de extrapolar más correlaciones a los registros de superficie, donde las formas completas raramente se conservan.

Abrodar una tipología de recipientes, hoy es inviable en el estado actual de la investigación en la Campiña, pues, si pretendemos no incurrir en un reduccionismo histórico, bajo parámetros meramente tecnológicos, del proceso de fabricación de los recipientes, debemos sacar a cada atributo de los objetos materiales, del concepto de "artefacto", que confunde Tecnología y Economía. Para ello, debemos recurrir a la Teoría del Producto (Ruiz, Molinos, Nocete y Castro 1986), donde la Tecnología se incluye dentro de las Relaciones Sociales que convierten al artefacto en el efecto, también, de un proceso de trabajo, y, por tanto, en un producto que sólo puede determinarse históricamente y a través de las Relaciones Sociales de Producción, Circulación, Consumo, etc... (Fig.IV,1). Pero el Producto no es excluyente de cada una de estas esferas, presentándose de una forma múltiple, que nos obliga a trabajar en las relaciones contextuales (Fig.IV,2).

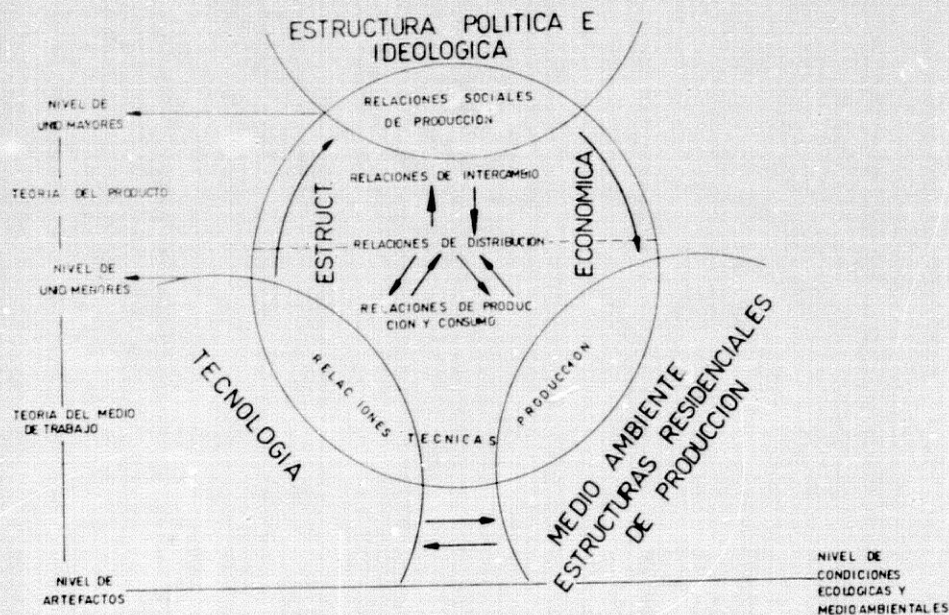


FIG.IV,2

Sin embargo, no hagamos una reducción, también, del contexto, pues, la unidad en Arqueología no es sólo el lugar de actividad, ni tampoco el

yacimiento, como pretende Chang (1977), al definir a éste como Comunidad, sino una esfera de espacio físico y social que trasciende los límites de cada unidad de asentamiento y que podemos definir como Territorio de Relación entre Asentamientos (Fig.IV,3), que no es más que el Territorio de Reproducción.

Esto nos permite generar una amplia escala de contextos que definen el Producto, articulando niveles relacionales desde las características intrínsecas de éste (nivel 0), pasando por unidades de contexto menores, como las áreas y lugares de actividad (nivel 1), proyectándose en niveles de relación entre asentamientos de ese Territorio de Relación, que puede adquirir un Rango Político como en el caso que estudiamos.

En la certeza de que, sólo en este último nivel de análisis, podemos generar una tipología eficaz para la Historia, que convierta al Objeto en Producto, cuando los niveles de documentación así lo permitan, intentamos aplicar esa teoría desde el nivel 0 al Territorio Político, en el caso del yacimiento de Cazalilla, con el nivel 1 para el análisis contextual y microespacial de cada una de las cabañas del poblado en su Fase II (Nocete et alii 1986), con una dimensión de tipos funcionales cerámicos (Capítulo I). La gran importancia del yacimiento de Cazalilla, en su Fase II, nos permitía, también, aproximarnos al siguiente nivel en la definición del asentamiento, incluyéndolo en una dinámica del Territorio Relacional, bajo los presupuestos de una jerarquización entre asentamientos que le conferían un nivel Político. No volveremos aquí sobre el tema, pues ya fue expuesto en el Capítulo I.

Extrapolar los resultados del análisis funcional de los productos cerámicos de Cazalilla, sobre otros asentamientos de la Campiña, es prácticamente inviable dada la escasa documentación contextual de los registros. Teóricamente, podemos presuponer que sus resultados podrían modificarse poco, ante la imagen monolítica del continuismo material de las Formaciones Sociales de las Campiñas durante todo el Tercer y Primera Mitad del Segundo Milenio BC., como parece advertir el registro de Puente Tablas en su Fase I (Capítulo I), sin embargo, supondría un ejercicio de valor no contrastado, pues, aunque se repita el repertorio formal, nada nos garantiza que se trate de productos similares, al desconocer sus contextos funcionales en el nivel de los lugares de actividad y asentamiento, ni que estos circulen de igual forma en la Sociedad.

Con esto, podemos cerrar la exposición de las razones fundamentales para no crear una tipología de recipientes, y optar por el análisis del borde de éstos, a la búsqueda de parámetros de cronología material extrapolables y contrastables con los registros de superficie, si bien rechazando y sustituyendo el concepto del "Fósil Tipo Cronológico" por conjuntos relacionados y contrastables, de Tipos definidos por correlaciones de probabilidad suficientes para su extrapolación, y por supuesto, y en ningún caso, la búsqueda de las normas de conducta de los hombres que integran estas Formaciones Sociales.

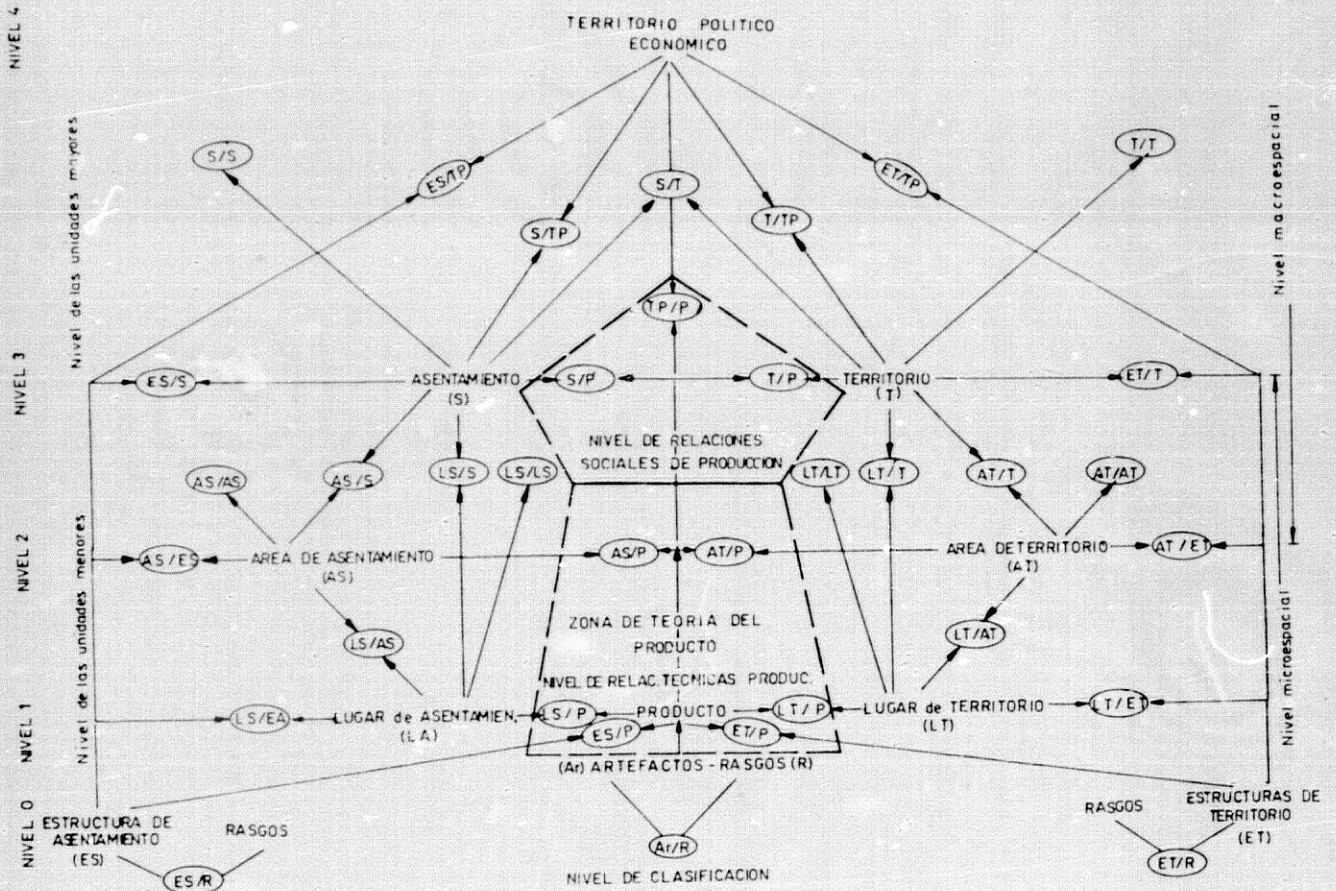


FIG. IV, 3

Matriz del Análisis del Producto.

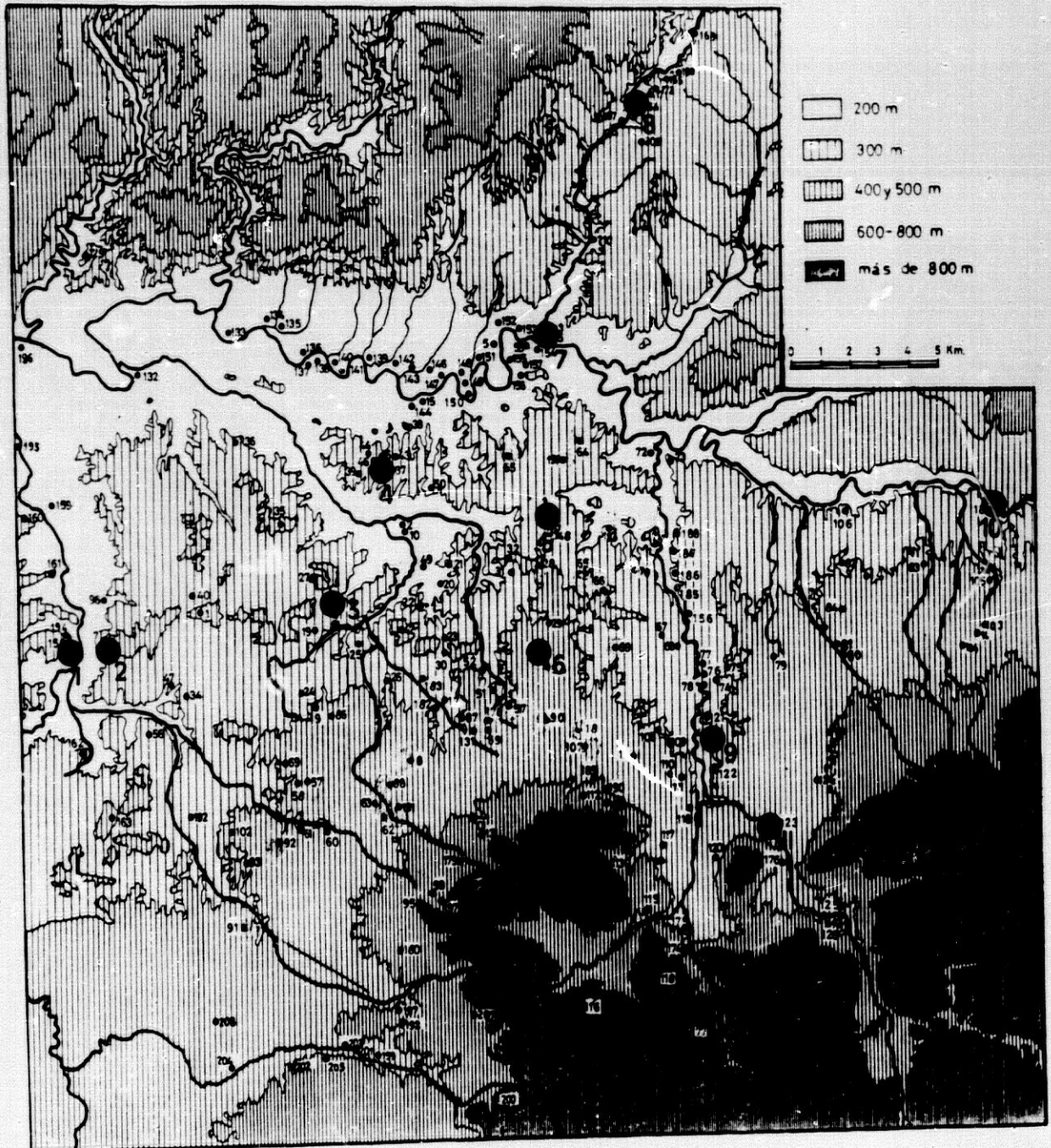


FIG. IV, 4

Distribución de Asentamientos Excavados del Tercer y Segundo Milenio BC.

1: Alcores; 2: Albalate; 3: Cortijo de la Torre; 4: Los Pozos; 5: Cazali-
lla; 6: Atalayuelas; 7: Sevilleja; 8: Peñalosa; 9: Puente Tablas; 10: Puen-
te del Obispo; 11: Cerro de la Horca.

IV.1. LOS YACIMIENTOS.

Once sondeos estratigráficos (Fig.IV,4), a lo largo de la Depresión del Guadalquivir, permiten un excelente nivel de contrastación para la elección de las ordenaciones materiales ante la propuesta de una tipología cronológica (Alcores (A), Albalate (AB), Atalayuelas (AT), Cazalilla (C), Cerro de la Horca (CH), Cortijo de la Torre (CT), Puente del Obispo (PO), Los Pozos (PZ), Pente Tablas (PT), Peñalosa (PL) y Sevilleja (S). Sin embargo, de ellos, hemos optado por la elección de tres para este análisis, en función a la calidad del muestreo estratigráfico, y a la reiteración documental que ofrecían alguno de ellos.

El primero de los registros materiales elegidos es el del caso de Albalate (AB) (Capítulo I), en función de su amplia secuencia estratigráfica, que recoge todo el desarrollo en la Campiña del Tercer y Segundo Milenio BC., con un amplio espacio documental (Cortes 3, 8, 7, 5, 10). Este yacimiento, permite, como pudimos contrastar, una similar documentación que Alcores (A), que prácticamente repite, aunque con una mayor claridad, y documentando muchos más espacios de actividad. También, AB resume las secuencias de CT, AT, que se incluyen en las Fases AB VI, VII y VIII, con espacios documentales mucho más reducidos que en Albalate. Algo similar ocurre en el caso de C, que además ya fue estudiado en otra ocasión bajo similares parámetros (Ruiz et alii 1983; Nocete 1984c; Nocete et alii 1986).

Los otros dos yacimientos elegidos: PT y PZ, lo fueron, no sólo por su amplio repertorio material y espacial, sino porque, como expresamos en el Capítulo I, suponen un fuerte contraste con las Fases I y II de AB, infiriendo la posibilidad de facies materiales y sociales, diferenciadas, en la Primera Mitad del Tercer Milenio, además, porque casos como PT, permitían definir un curso fluvial de gran importancia como el Guadalbullón, y un proceso no menos importante, como la continuidad del mundo Sevilleja en las Campiñas, explicando la Colonización agraria desde la Vega del Guadalquivir. Sevilleja, sería descartado, pues su registro documental era muy breve y ya fue estudiado bajo similares parámetros en otra ocasión (Lizcano 1987).

Con estos tres yacimientos, que garantizaban la entera significación cronológica del registro material, podríamos disponer de 1052 individuos (bordes) para el análisis.

IV.2. LAS VARIABLES.

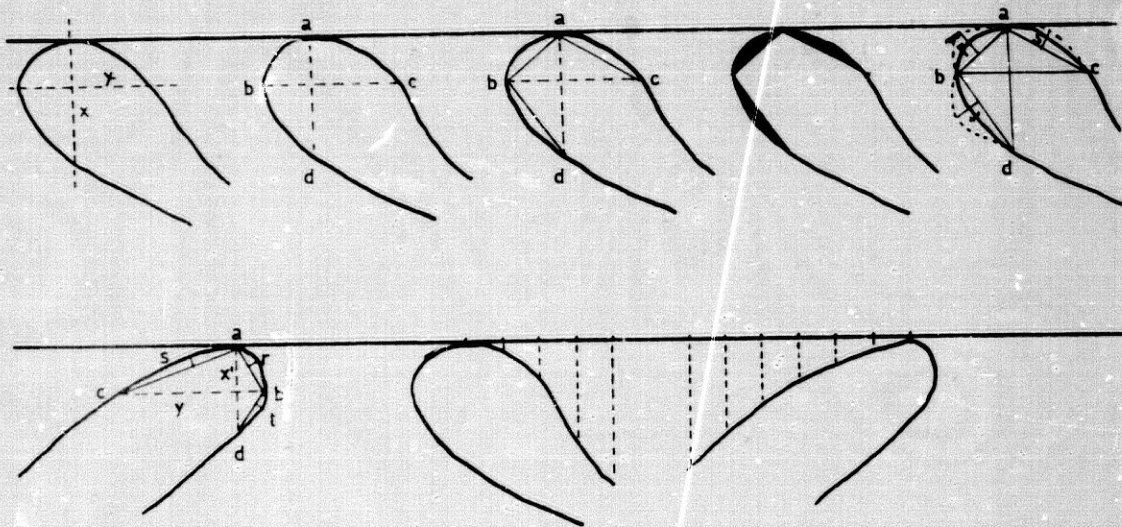
Antes de definir las variables, optamos por una subdivisión de la muestra, que atendió a las tres grandes unidades de las formas cerámicas que definen la estructura material de las Formaciones Sociales de las Campiñas (Nocete 1984c): "A", "B" y "C", en torno a las cuales se estructuran la metría y cuantificación. Bajo la denominación de "A", se agrupan los bordes que definen los recipientes donde el máximo ancho coincide con el plano de la boca (recipientes

abiertos). En "B" las formas compuestas de recipientes cuyo máximo ancho no coincide con el plano de la boca, aunque sean abiertos. Y en "C", por su parte, refleja con claridad los recipientes cerrados no compuestos.

IV.2.1. Variables para los casos A y B.

El extremo del borde que define el plano de abertura, y que denominamos labio, es en la muestra que estudiamos el elemento morfológico del recipiente que refleja más cambios y variabilidades, frente a un cuerpo cuyas alteraciones no existen, con excepción de la presencia minoritaria de carenas.

En él, pueden diferenciarse dos ejes homologables a todos los casos, (x) e (y) (Fig.IV,5).



(Fig.IV.5, 6, 7, 8, 9,10, 11, 12)

El primero de ellos (x), puede marcarse, perpendicularmente al plano de la boca, desde el punto de contacto de éste con el labio. El segundo (y), se define como una teórica línea paralela al plano de la boca, trazada desde el punto más exterior del labio.

Si enmarcamos estos ejes, dentro de la sección del borde, podemos definir cuatro puntos interiores (a, b, c, d) (Fig.IV,6). Coincidiría (a) con el punto de contacto entre el labio y el plano de la boca, (c) sería su proyección perpendicular en el eje (x), (b) el punto más exterior del labio, y (d) su proyección en el eje (y), paralela al plano de la boca. La relación entre estos diferentes puntos (Fig.IV,7) nos crearía tres líneas insertas (ab, ad, bc), que muestran una idea

esquemática del borde-labio en su relación con (x) e (y). Sin embargo, al definir estas líneas inscritas en el borde, una parte de éste quedaría sin cuantificar (Fig.IV,8). Para ello, correlacionamos su metría mediante tres nuevos desarrollos (Fig.IV,9) (r, s, l), que permiten medir los desplazamientos máximos del sector del labio en relación a las líneas inscritas. Con estas variables, la metría de las formas de labio, de los casos "A" y "B", podrían prácticamente quedar definidas.

IV.2.2. Variables del caso C.

En el caso "C" (Fig.IV,10), una similar correlación ofrecía la metría del labio, con la diferencia de que (b) se desarrolla, en este caso, sobre el punto más interior del borde, que sirve para marcar la trayectoria del eje (y). Por su parte, (x), al desarrollarse sobre la pared interna del recipiente, pasaría a denominarse (x').

El tamaño del recipiente es, también, objeto de cuantificación mediante el cálculo del diámetro de abertura y mediante las tendencias de abertura y cierre (Fig.IV,11 y 12), donde el análisis de las medias, modas y medianas del desplazamiento, sobre el plano de la boca, permiten reflejar la tendencia de su pared.

En nuestra intención de contrastar, permanentemente, la relación de la variabilidad en la muestra morfológica del labio, adecuando una relación interna y homologable para eliminar criterios de tamaño, cuya variabilidad en conjuntos de fabricación a mano podría alterarse de una forma aleatoria, optamos por la elaboración de ocho índices morfométricos que definen tres unidades de análisis:

1.-La primera, es la tendencia de Horizontalización del Borde, que se define en la relación entre (x) e (y):

$$\text{Índice } \frac{x}{y} \text{ (para A y B) y } \frac{x'}{y} \text{ (para C)}$$

2.-La segunda, las triangulaciones interiores, asumidas como desplazamientos de los ejes. Estos desplazamientos fueron expresados en otros trabajos mediante angulaciones (Nocete 1984c), con gran éxito, pero que debían ser modificados ante la intención de aplicar AM, donde la homologación de unidades métricas era definitiva. Así, sobre el primer triángulo que define el eje (y):

$$y/(ab),(ad)$$

La relación (ab) y (ad) sobre (y), no sólo marcaría la elevación del labio sobre el plano que genera su punto más exterior (Peralte Superior), sino que al comparar sus longitudes muestra la tendencia de pronunciamiento, de ese sector del labio, respecto a (x). A fin de mantener esta

información, marcamos dos índices más:

$$\text{Indice } \frac{a b}{y} \text{---(en A, B y C)}$$

$$\text{Indice } \frac{a d}{y} \text{---(en A, B y C)}$$

La homologación de tales niveles de información sobre el eje (x), para terminar la relación de la forma del labio, marcaría dos nuevos índices:

$$\text{Indice } \frac{b c}{x} \text{---(en A y B)} \quad \text{Indice } \frac{b c}{x'} \text{---(en C)}$$

$$\text{Indice } \frac{a b}{x} \text{---(en A y B)} \quad \text{Indice } \frac{a b}{x'} \text{---(en C)}$$

que supondrían la determinación del Peralte Exterior en "A" y "B", y el Interior en "C".

3.-La tercera, vendría a marcar los correctivos (r), (s), (l):

$$\text{Indice } \frac{r}{a b} \text{---(en A, B y C)}$$

$$\text{Indice } \frac{s}{a d} \text{---(en A, B y C)}$$

$$\text{Indice } \frac{l}{b c} \text{---(en A, B y C)}$$

Sobre estos ocho índices, una experimentación previa, nos definió la gran importancia, para la fijación definitiva, de cuestionar dos problemas:

1.-La escasa significación de los correctivos (s), (r) y (l) sobre una muestra muy homogénea de por sí.

2.-Las estructuras de dobles emparejamiento de relación, sobre cada uno de los ejes, reducía la significación proporcional de la relación entre (x) e (y): (x/y).

Tras esto, optamos por eliminar los correctivos y ponderar la relación (x/y), repitiéndola como índice. El resultado fue la creación de seis índices definitivos:

$$\begin{array}{rcl}
 & x & a \ d \\
 A = & \text{---} & D = \text{---} \\
 & y & y \\
 \\
 & x & b \ c \\
 B = & \text{---} & E = \text{---} \\
 & y & x \\
 \\
 & a \ b & a \ b \\
 C = & \text{---} & F = \text{---} \\
 & y & x
 \end{array}$$

En los casos de la forma "C", (x) sería sustituida por (x').

IV.3. LA FORMA "A".

IV.3.1. La Fijación de Tipos: el ACL.

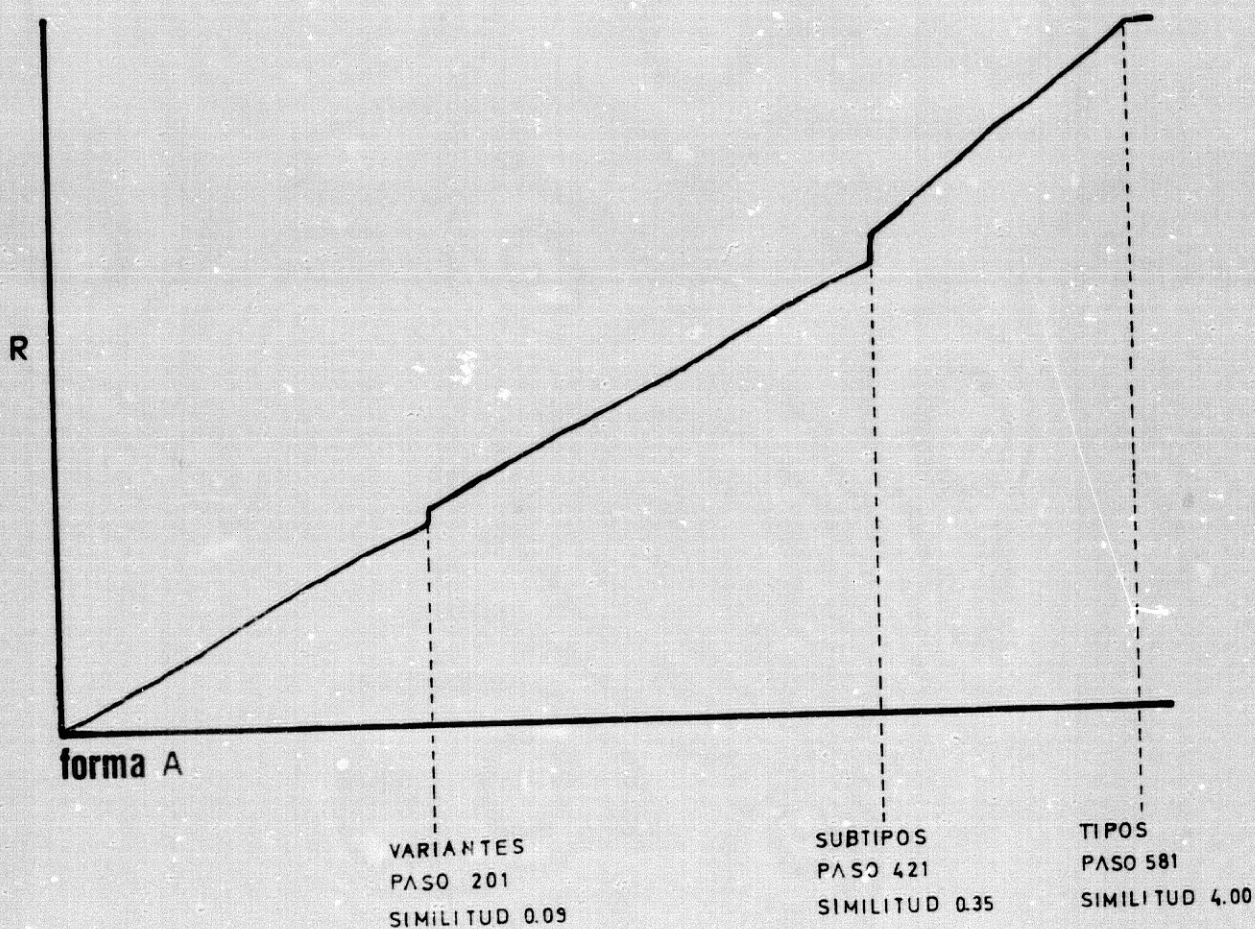
En el caso de la forma "A", nos acogimos, para la fijación de conjuntos (tipología), al potencial de asociación que brinda el ACL, sobre una muestra de 605 individuos (Listados IV,1 y 2), cuyo orden secuencial (Tabla IV, 1) refleja, con claridad, un espectacular desarrollo entre las Fases III y VII del asentamiento de AB, y con él, en el desarrollo de la Segunda Mitad del Tercer Milenio y el Primer Cuarto del Segundo BC.

Fase AB	Ordenación	Número	% total
I	1-13	12	2.53
II	14-53/561-568	26	5.48
III	54-87/569-586	50	10.54
IV	88-120/587-591	36	7.59
V	121-194/592-594	74	15.61
VI	195-292/596-598	99	20.88
VII	293-414/599-600	123	25.94
VIII	415-436	21	4.43
PZ	438-560/600-606	72	
PT	437-487	50	

(Tabla IV, 1)

Sobre los índices de similitud, que revelan los 604 pasos de asociación (Listado IV,2), hemos establecido una escala de asociación a tres niveles, que, genéricamente, podemos definir como Tipos, Subtipos y Variantes, nombres que reflejan escalas definidas de asociación mediante índices de similitud. Estas, se han establecido sobre la base de la ruptura en la homogeneidad que refleja el

coeficiente R (razón de cuadrados en la desviación de cada nivel), rupturas que se reflejan en los tres codos de la recta acumulativa (Fig.IV,13).



(Fig.IV.13)

La estructura tipológica, se establece en el último codo o ruptura de homogeneidad de asociación en los valores de R. Esta, a pesar de perfilarse en el paso 580 de asociación, junto en el límite de las asociaciones, sin embargo, muestra un óptimo nivel de similitud del 4.001. Este hecho indica que, en la inmensa mayoría (95.86%) de los individuos, quedan asociados sobre altos valores de similitud (el último paso 604, se asocia en 76.837 de similitud), hecho que revela la alta significación de la muestra, su perfecta separación, y asimismo, la validez de este análisis para describir los conjuntos de asociaciones.

En este nivel de 4.001, establecemos la unidad de asociación y descripción (Tipo) sobre 18 grupos, que denominamos con números latinos de I a XVIII, en la construcción de un dendograma asociativo (Fig. IV,14).

AI	a(1,7,121) b(14,27,45,132,30,441,515)
AII	a(241,4,476,445) b(481,442,5,301,490) c(214,26,46,35,19) d(13,111,227,459,283,502,29,237)
AIII	a(15...)
AIV	a(8,375,472,484,542,40,154,433,154,464,458,530,351,178,321,376 ,479,275,537,398,423,357,94,48) b(434,33,286,251,256,521,596,218,276,291,316,258,262,274,487, 511,520,25,43,353)
AV	(93,437,444,450)
AVI	(158,399,234,350,523)
AVII	1(323,491,543) 2(483,486)
AVIII	a(50,185,235,358,108) b(267,438,372,552) c(273,475,355) d(475,478,499,492,480,471,477)
AIX	a(37,361,156,544,563) b(57,246,185) c(403,440,504) d(117,529,288,308,337) e(193,236,387,386,524,525) f(224,525) g(92,560) h(329,532,418)
AX	a(10,136,62,31) b(416,225)
AXI	a(2,159,243,269,110,461) b(150,216,342) c(371,493) d(162,271,402) e(32,550,383,284,340,332) f(303,480,471,477) g(84,133,180,239,229,373,474,482,384,119,511,482) (155,578,595)
AXII	(155,578,595)
AXIII	a1(79,326,513,514) a2(12,81,494,257,272,439,348,379) a3(181,182,469,425) a4(39,41,420,105,47) b1(160,318,364,242, 572,573,354) b2(36,44,134,400) b3(58,388) b4(24,605,66,161 194,554)c1(401,331,522) c2(226,307,270) c3(187,419,360,500) d1(85) d2(11,43,106,324) d3(204,300,195,466,545,512) d4(28,467 ,96,422,444,460,224,397) d5(594,86,153,325,446,264,369) e1(16,78,564) e2(587,566) e3(63,89,563,571,604) f1(116,206,408 429) f2(91,97,583,268) f3(49,74,51,533,534,359,427,361,314, 205,227,289) f4(70,591,594,112,165,231,210,436,232,393,252, 209,368,293) f5(18,39,41,565,80,107,133,53,240,399,352,322) f6(67,505,101,118,574,447,278,331,197,270,253,296) f7(459,392, 390)
AXIV	a(3,285,59,215,448,447,20,95,302) b(71,104,330) c(177,292,404, 188,417) d(228,3555,414) e(75,250,497,131,223,167,212,233,230 382,412,149) f(366,378,251,413,192,345,306) g(22,581,76,452, 217,129,309,219,395,146) h(222,582,374) i(88,540,592,229,463, 430,173,168,562,280,176,248,176,313) j(38,305,122,90,186,424, 385,60,72,190,174,109,179,184,344,310,171) k(61,579,405) l(170,580,541)
AXV	a(201,121,590) b(68,143,151,147,355) c(79,199,488,280,123) d(125,556,294,195) e(64,526,586,524,124,485,139,380,141,200, 298,127) f(138,147,203,208,334,534,559,370,409) g(17,164,73, 567,54,249,69,553,432,431,333,346,539,338)
AXVI	a(265,256,99,175) b(240,142,198) c(312,367,172,145,227,115, 578,317,290) d(52,556,65,55,527,558) e(100,365,163,196,260, 168,411,281,503,602,600)
AXVII	a(465,509,601) b(396,207)
AXVIII	(120,337)

(Tabla IV.2)

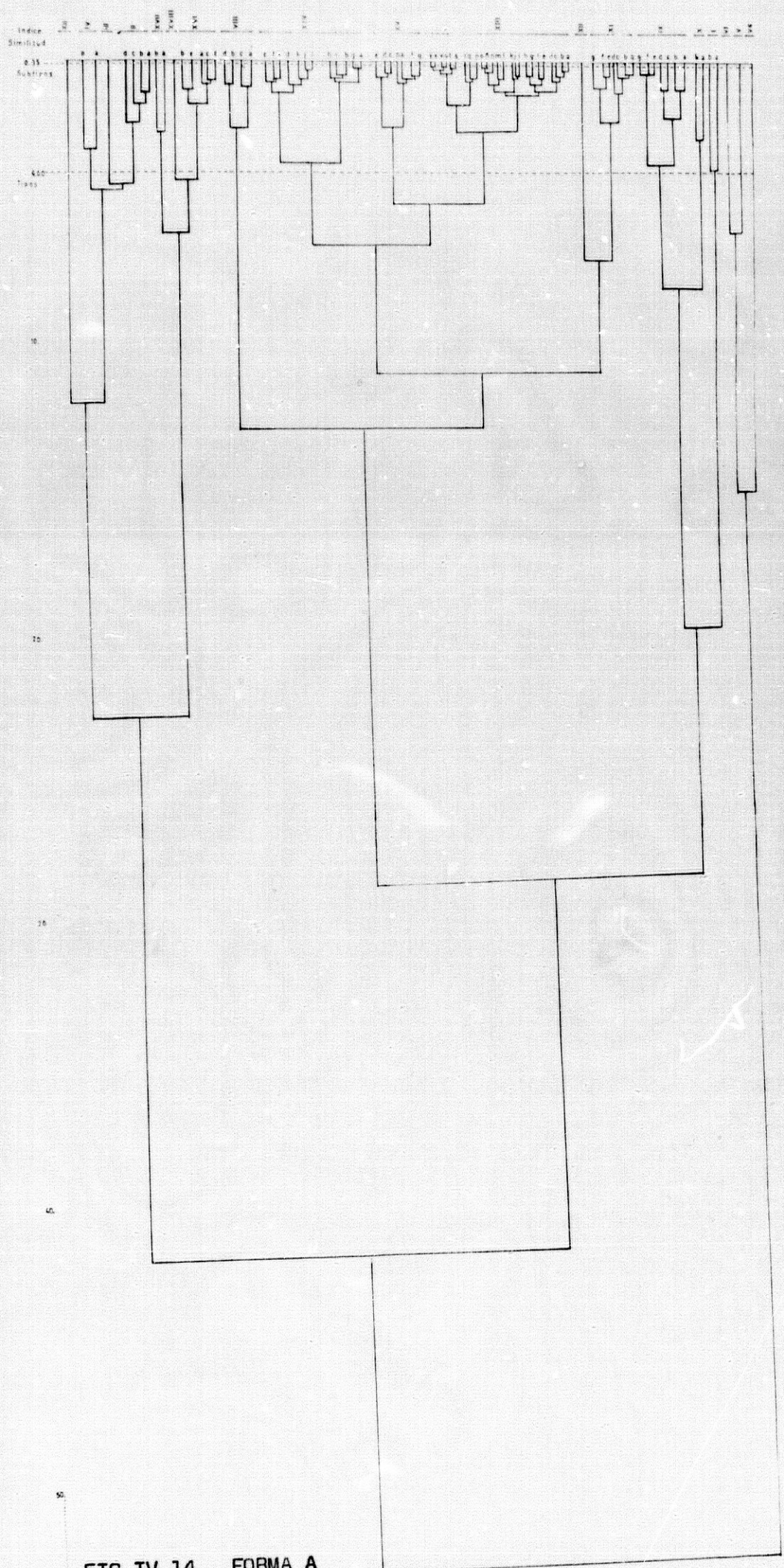


FIG.IV,14 FORMA A
Asociación sobre el ACL.

El nivel inferior de los codos en los valores de R (Fig.IV,13), que definen una nueva ruptura de asociación, se circunscriben al paso 421, con un alto nivel de asociación de 0.35, que recoge al 72% de los individuos de la muestra. Este excelente nivel de asociación, se ha consolidado para la definición de Subtipos dentro de cada una de las 18 asociaciones estructurales del nivel anterior. En este caso, una seriación de letras a, b, c,....z, permiten su definición

Por último, y en el paso 201, donde se asocia un 33.22% de los individuos de la muestra, se genera el codo inferior de los valores de R (Fig.IV,13), con un altísimo nivel de asociación, próximo a la igualdad en 0.090, nivel que hemos mantenido para definir las Variaciones en los conjuntos Subtipológicos, y que hemos reflejado por una ordenación de números arábigos 1, 2, 3....n. La asociación definitiva la podemos observar en la Tabla IV,2.

IV.3.2. Descripción de Tipos: el ACP.

El poder descriptivo que el ACP reveló en la definición de la UGA, nuevamente fue requerido para describir las características de tan clara y significativa ordenación tipológica del ACL (Listado IV,3).

Sobre el espacio 6 dimensional de los índices que hemos estudiado, la correlación de los Valores Propios y los porcentajes de Varianza (Tabla IV,3), revelan que las dos primeras Componentes pueden establecer un espacio bidimensional con unos porcentajes de Varianza Acumulada altamente significativos, con su 86.13795%, para describir los Tipos, fundamentalmente en la Primera y Segunda Componentes.

VALORES PROPIOS	% DE VARIANZA	% VARIANZA ACUMULADA
3.59887	59.98135	59.98135
1.56939	26.15660	86.13795
.63529	10.58814	96.72609
.16063	2.67717	99.40326
.03582	.59696	100.00021
-.00001	-.00023	99.99998

(Tabla IV.3)

Las correlaciones de los índices y sus valores en todas las Componentes, se muestra en una interesante correlación que podemos observar en la Tabla IV,3.

COMP.	INDICES					
	A	B	C	D	E	F
1	.906	.906	.906	.900	-.507	-.257
2	.377	.377	-.323	-.356	.573	-.851
3	.102	.102	.198	.067	.632	.412
4	.159	.159	-.123	-.206	-.118	.194
5	-.015	-.015	.140	-.122	-.010	-.022
6	.001	.001	-.001	-.002	-.000	.001

(Tabla IV.4)

Definiéndose por orden de importancia, en la Primera Componente, los índices A, B, C y D, con valores superiores a .90, y en la Segunda, E y F, con valores superiores a .50, quedarían gráficamente ordenadas y desarrolladas, como podemos observar en la Fig.IV,15:

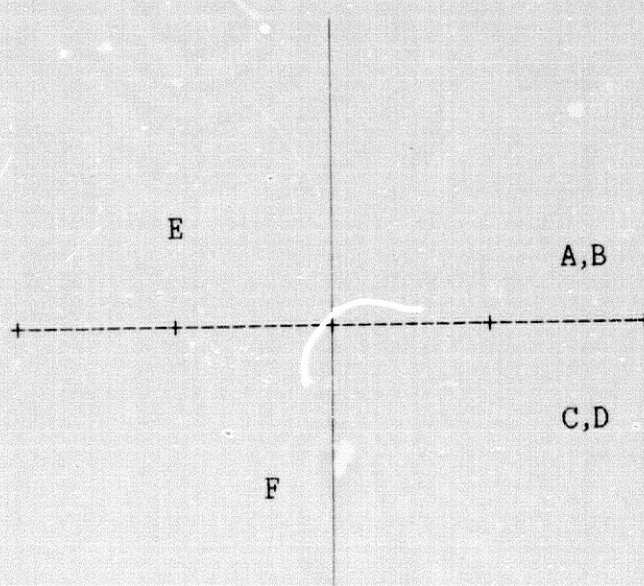


Fig.IV,15

Así, en la Primera Componente, se define A y B, y con ellas, la Verticalidad y Horizontalidad de los bordes, siendo en sus valores positivos, $x > y$, los bordes verticalizados, y $x < y$ bordes horizontalizados y, por tanto, con valores negativos.

Alrededor de esta correlación, se articulan el resto de los índices de la Primera Componente. C y D, reflejan, en los valores positivos, la definición del Peralte Superior, oscilando en la Segunda Componente. Por tanto (y), en los valores positivos de la Primera y los positivos de la Segunda, refleja la disminución del Peralte Superior, subiendo (y) en su posición, progresivamente, sobre (x). En los valores

negativos de la Segunda Componente, aumentaría el Peralte Superior (C y D), descendiendo la posición de (y) respecto a (x).

Los índices E y F, que describen el Peralte Exterior Saliente, se concentran, evidentemente, en los labios más horizontalizados (valores negativos en la Primera Componente: $x < y$), oscilando en la Segunda, con valores positivos, cuando interviene E, donde la posición de (y) respecto a (x) es alta. En los valores negativos de la Segunda Componente, y como efecto del Peralte Superior, domina el índice F. Con esta oscilación de los índices, la descripción se presenta como suficiente y amplia.

Otra posibilidad la presentaría la creación del espacio bidimensional sobre la Primera y Tercera Componentes, que suponen, también, un alto porcentaje de Varianza (70.56949%) Acumulada, si bien, algo más reducido que la relación anterior. Además, la ordenación de los índices supone muchos más problemas y ambigüedad (Fig.IV,16), puesto que C, D, A y B, se sitúan juntos, mostrando su tendencia real, donde a mayor Verticalidad corresponde un mayor Peralte Superior, y a mayor Horizontalidad un menor Peralte Exterior.

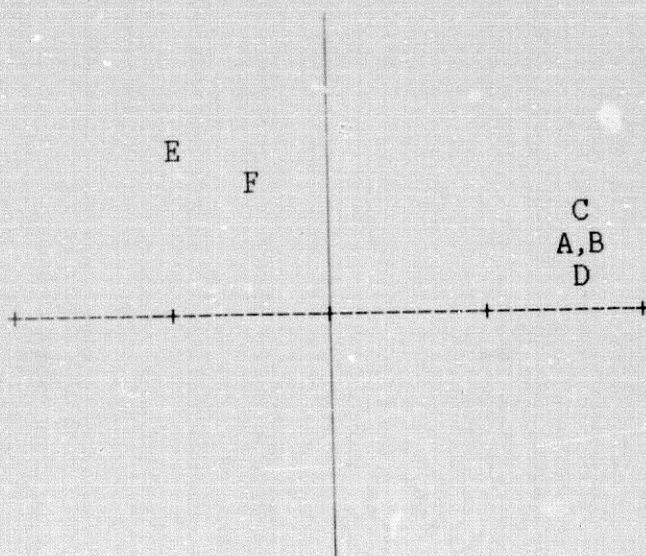


Fig.IV,16

Sin embargo, resulta más difícil de ver, como, independientemente, actúan cada uno de los índices. Por este hecho, optamos, definitivamente, por la relación entre la Primera y la Segunda Componentes que, además, definen con una mayor perfección la definición de la Tipología del ACL (Fig.IV,17).

Una simple visión sobre la articulación de la Primera y Segunda Componentes del ACP, sobre los tipos de la Forma "A" del ACL, revela (Fig. IV,17), no sólo la perfecta y diferenciada distribución de los mismos, sino la gran proximidad entre ellos, permitiendo la distinción de progresiones y tendencias sobre un tronco común que significa la Forma Abierta o "A". Sin embargo, los tipos quedarán perfectamente diferenciados en el ACP.

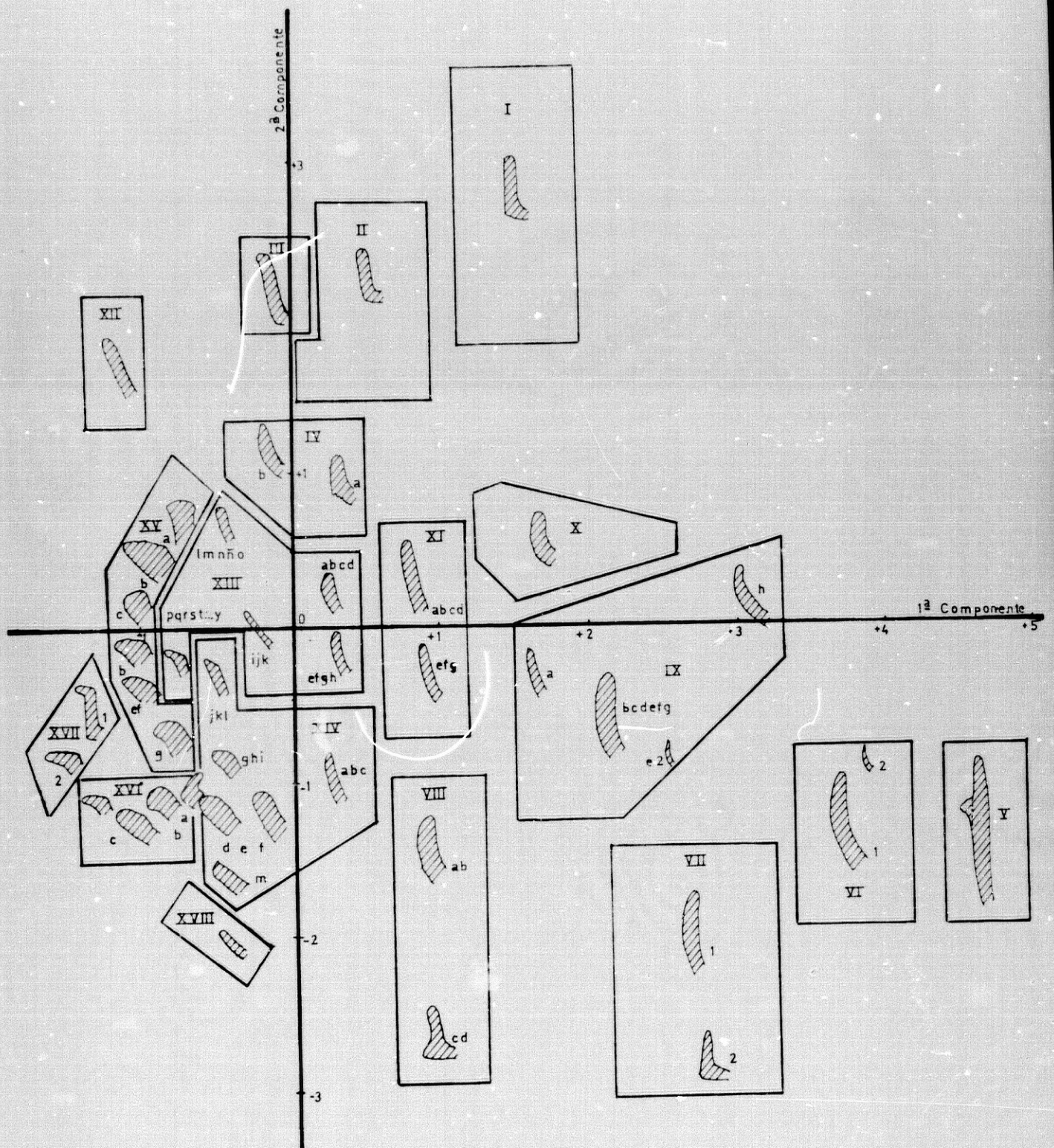


FIG. IV, 17 FORMA A
Distribución de Tipos en el ACP.

Otra tendencia importante de reseñar, es que la mayor variabilidad y diferenciación que muestra en los valores positivos la Primera Componente, donde $x > y$, contrasta con la gran concentración en los valores negativos, donde $x < y$. Para comprender mejor y explicar esta dinámica, pasaremos a describir cada tipo del ACL sobre los valores de ACP, haciendo intervenir las asignaciones cronológicas que permiten las estratigrafías de AB, PT y PZ, para la búsqueda de constantes y previsiones en la variabilidad morfométrica y diseñar un perfil material del Tiempo.

Tipo AI. (Fig.IV,17)

El Tipo I del ACL, se presenta en los valores positivos de la Primera Componente desde +1 a +2, donde $x > y$, pero se caracteriza, fundamentalmente, al poseer los valores más altos de la Segunda Componente (+1.90 a +3.80), donde (y) adquiere su posición más elevada en la trayectoria de (x), por tanto, en la relación más baja de los índices C y D, que supone la ausencia de Peralte Superior, al coincidir el punto más saliente del labio con el plano de la boca. Se trata, así, de un borde muy verticalizado, donde la ausencia de Peralte Exterior (índices F y E) es notoria.

Pertenece a bordes de fuentes con un diámetro > 30 cm., que en todos los casos presenta una carena baja coincidiendo con el fondo del recipiente.

Los dos Subtipos, a y b, de AI, coinciden con la oscilación de la posición de (y) respecto a (x), siempre en los valores altos de la segunda, es decir, en los valores altos de la Segunda Componente, donde inciden C y D.

Al margen de la gran homogeneidad del Tipo AI, su cronología es, también, enormemente precisa al caracterizar exclusivamente las Fases I y II de AB y PT, así, como la Fase I de PZ. Presente, también, en yacimientos como Sevilleja (Lizcano 1987; Contreras, Nocete y Sánchez 1985), muestra uno de los prototipos más característicos del Neolítico Final de la cuenca del Guadalquivir (Martín de la Cruz 1985, 1986), que define las Fases más antiguas de la mal llamada Cultura de los Silos del Bajo Guadalquivir (Capítulo I), coincidiendo con el cambio entre el Cuarto y el Tercer Milenio BC. y durante los primeros Siglos de este último. Su presencia en la Campiña y el Guadalbullón, serán una prueba más del origen, dirección y trayectoria de una Colonización Agraria desde la Vega del Gran Río, que contribuirá a la formación de las Primeras Sociedades Agrarias del Interior de la Campiña (Capítulo V).

Tipo AII. (Fig.IV,17)

Con unos valores en la Primera Componente de 0 a +1, y en la Segunda

de +1.40 a +2.80, el Tipo II refleja una prolongación del AI con una progresión en la Primera Componente, siendo $x > y$, que establece una proporción más reducida de como se fijaba en aquel, y, por tanto, con una mayor tendencia a la abertura. En la Segunda Componente, la sensible reducción de los valores sigue reflejando aún la ausencia de Peralte Superior (C, D), si bien, ligeramente más marcado que en el Tipo AI.

Globalmente, podemos decir que es un borde ligeramente más abierto, perteneciente a una forma cerámica similar (fuente carenada), pero con una mayor tendencia de abertura, dado que el diámetro es ligeramente superior en la boca que en la línea de carenación, no como en AI, donde ambos eran iguales. Sin embargo, la abertura del plano de la boca es similar en AI y AII.

Cuatro Variantes a, b, c y d, reflejan su oscilación en la Segunda Componente, es decir, en el escasamente marcado Peralte Superior, donde la posición de (y) es más baja, respecto a (x), que en AI, sin llegar a la mitad.

Su fijación cronológica es similar a AI, presente en las Fases I y II de AB y PT, así como, en PZI. Sin embargo, su ausencia en Sevilleja (S), revela una forma cerámica propia de la Colonización de la Campiña Occidental y, claramente, de Principios del Tercer Milenio BC., que bien puede interpretarse como una evolución del Tipo AI.

Tipo AIII. (Fig. IV, 17)

En la dirección del Tipo AII, puede interpretarse, también, AIII, pero en este caso, y aunque represente una forma similar de recipiente, la tendencia a la abertura es algo más desarrollada, como refleja su posición en torno a los valores de 0 en la Primera Componente. Esa mayor Horizontalidad del labio del borde, coincide con un cierto Peralte, aunque limitado, Exterior, interviniendo ligeramente el índice E.

En la Segunda Componente, se mantienen los valores de AII, donde el punto más saliente del borde coincide con la proximidad del plano de la boca.

La cronología, igual que en el Tipo anterior, representa para AIII una tendencia de evolución cerámica de las formas más rectas de las fuentes carenadas del Neolítico Final, pero ya en la Campiña, ausentes en Sevilleja, marcando el avance de las Comunidades del Gran Río a lo largo de los cauces fluviales de la Campiña.

Tipo AIV. (Fig. IV, 17)

Continuando la tendencia de AI, que mostraba AII y AIII, en este caso,

la oscilación está en torno a los valores de 0, en la Primera Componente (-.40 a +.60). En la Segunda Componente, valores entre +.60 a +1.40, manifiestan que (y) ha descendido hasta la mitad de la trayectoria de (x), asumiendo la presencia de los índices C y D, que marcan ya un manifiesto Peralte Superior. Sin embargo, será la oscilación, en la Primera Componente (x>y), la que asumiendo la oscilación de este Tipo, refleje dos Subtipos que coinciden con un claro significado cronológico.

Así, el Subtipo AIVa, coincide con los valores positivos de la Primera Componente, donde los índices A y B reflejan que x>y. La cronología de este subtipo: AB II-III y PZ I-II, muestra cierta evolución, que coincide con la morfometría respecto a la tendencia AI-AII-AIII, reflejando similares prototipos de recipiente, aunque los diámetros de abertura oscilen entre 30 y 33 cm. Sin embargo, la ausencia de carena, marca una tradición que se consolidará desde la Fase III de AB, con la desaparición de las fuentes carenadas que, poco a poco, serán sustituidas por similares prototipos sin carenación, con nuevos procesos de fabricación bajo moldes de cestería y madera, no documentados con anterioridad. Sí, es significativo, que estos nuevos prototipos formales respondan morfológicamente a una reducción del borde, que continúa la trayectoria y la forma del cuerpo del recipiente. Su precisa fijación cronológica en las Fases II y III de AB y I y II de PZ, más la ausencia en PT y S, marcan que nos encontramos ante un prototipo propio de una fase más tardía, ya de la consolidación de los grupos de la Campiña y paralela al proceso de Sedentarización, coincidiendo, además, con las primeras fortificaciones en AB y PZ.

El otro Subtipo, AIVb, revela una mayor abertura, manifiesta en los valores negativos de la Primera Componente. La presencia, también, de una suave tendencia al Peralte Exterior, como refleja la presencia de F, la sitúa en la proximidad de AIII, si no en la forma general del cuerpo, sí en la del labio, con una ligera tendencia al Peralte Entrante. Se trata de una forma netamente diferenciada por sus diámetros, entre 20 y 23 cm., respecto al grupo anterior, así, como por su cronología: ABII, IV, V, VI, VII, VIII y PZ. Ausente en Sevilleja, revela una forma emergente en la Campiña, posterior a la Colonización, y de gran éxito por su larga perduración cronológica, que pudo ser fruto de la tendencia que ya venía perfilando los tipos AI, AII y AIII, con una mayor abertura desde la Fase II de AB, como podemos leer en el hecho significativo de que un paso posterior en la asociación del ACL, los Tipos AII, AIII y AIV acaban por unirse.

Tipo AV. (Fig.IV,17)

En el otro extremo del ACP, y coincidiendo con los valores máximos de la Primera Componente (A, B), donde x>y adquiere su máxima expresión, encontramos el Tipo AV, con unos valores de +4.40 a +5.00, perfilando los bordes más verticalizados de la muestra.

Los valores negativos en la Segunda Componente, de -1.00 a -1.60, reflejan, a su vez, la presencia de los índices C y D, y con ellos, un

marcado Peralte Superior, al desarrollarse el punto más saliente del borde en la zona baja de la trayectoria de (x), bajo su mitad.

Su concretísima morfometría no es menos precisa en su correlación cronológica, que encontramos sólo en las Fases I de AB y PT. También, presente en Sevilleja, muestra el mejor prototipo cerámico que conecta, con claridad, la Primera Fase de Colonización de la Campiña advirtiendo la continuidad con los Tipos y fechas que precedieron a ésta en la Vega del Guadalquivir, aproximando su cronología al cambio del Cuarto y el Tercer Milenio, así como a los primeros Siglos de este último BC.

La presencia en PTI y ABI, muestra, con claridad, la posición cultural y cronológica de ambos yacimientos, haciéndolos coincidir en un mismo origen, aunque con posterioridad, y a partir de sus respectivas Fases II, durante el Primer Cuarto del Tercer Milenio BC. comienzan a diverger.

Generalmente, este Tipo AV, podría incluirse dentro del genérico nombre de recipientes en "Forma de Saco", que con diámetros en torno a los 30 cm., parecen generalizarse al mundo de la Vega del Río Guadalquivir y que en su curso Bajo comienzan a datarse en el cambio de Milenios (Martín de la Cruz 1985, 1986), aunque perdurarán en el tiempo, como se refleja en el Guadalquivir Alto.

Tipo AVI. (Fig.IV,17)

El Tipo AVI, supone la evolución, en la Primera Componente, del Tipo AV, manteniendo la relación $x > y$ (A y B), con valores entre +2.00 y +3.40. En la Segunda Componente, algo más desarrollado, mantiene la tendencia de AV, marcando la continuidad del Peralte Superior.

Esta oscilación morfológica refleja una evolución cronológica, pues, mientras AV sólo se desarrollaba en la Fase I de AB, el Tipo AVI se desarrolla tras este momento, y en concreto durante las Fases AB III-IV y V. En el yacimiento de los Pozos (PZ), volvemos a encontrar este Tipo, confirmando la continuidad en el tiempo respecto a PT y los niveles de contemporaneidad con AB.

Su mayor oscilación, en la Segunda Componente, muestra la existencia de dos Variantes:

AVI1, con similares valores, en la Segunda Componente, que AV, muestra con claridad la anterior evolución cronológico-formal a partir de la Fase III en AB y en PZ, marcando el desarrollo de grandes cuencos con diámetros similares al Tipo AV que habrá de sustituirlo, en la Segunda Mitad del Tercer Milenio con gran éxito, en funciones de almacenaje. La gran similitud entre esta Variante y AV, podemos encontrarla en el hecho de que en un paso posterior en el ACL ambos grupos quedan unidos.

La segunda de las Variantes, AVI2, representa un prototipo similar, si

bien, a una escala más reducida, con diámetros que no superan los 10 cm., aunque con los mismos niveles de definición cronológica, que la convierten en un elemento de datación muy preciso, al perfilarse, exclusivamente, en la fase ABII, PZII.

Tipo AVII. (Fig. IV, 17)

El Tipo AVII, continúa las tendencias iniciadas en AV y desarrolladas en AVI, con la disminución de valores en la Primera Componente, pero siempre dentro de la tendencia $x > y$, donde este último mantiene bajas posiciones respecto a la trayectoria de (x), confirmando la presencia de los índices C y D, en este caso y en la Primera Componente, los valores serán de +2.00 a +3.40. Sin embargo, la mayor oscilación de AVII, la encontramos en la Segunda Componente, que, a su vez, supone posiciones más bajas de (y) respecto a la trayectoria de (x), continuando la tendencia de AV y AVI. Así, en la Segunda Componente, presenta unos valores situados entre -1.50 y -3.50 que definen un mayor Peralte Superior. En esta oscilación se generarán dos Variantes que refleja el ACL:

AVII1, la primera Variante, supone una clara prolongación de AVI1 en la reducción de la relación $x > y$. Refleja un prototipo similar, si bien, más grueso y corto. Esta oscilación morfológica coincide con una nueva dimensión cronológica que dota a estos prototipos de una definición evolutiva en el desarrollo de nuevas variedades de bordes en los grandes cuencos, definiéndose con exclusividad en las Fases VI y VII de AB, claramente continuadoras del desarrollo cronológico de AVI1 que finalizaba en la Fase ABV.

AVII2, supone la segunda Variante de este Tipo, donde (y) ocupa la posición más baja de la muestra respecto a la trayectoria de (x), es decir, donde el punto más saliente coincide con el fondo del recipiente, dotando al borde de un altísimo Peralte Superior. De hecho, esta Variante supone los valores más bajos de la Segunda Componente, entre -2.40 y -3.40. La Variante AVII2, refleja prototipos bien diferentes de AVII1, al definir fuentes de carenas bajas y de cuerpo reducido, con una cronología significativa, situada en las Fases I de AB y PZ y en la Fases I y II de PT. Ausente en Sevilleja, se trata de otro importante prototipo que define la reelaboración formal en las cerámicas en la Campiña, coincidiendo con los momentos más antiguos de la Colonización, mostrando un nuevo elemento de cronología muy preciso para los Primeros Siglos del Tercer Milenio BC.

Tipo AVIII. (Fig. IV, 17)

El Tipo AVIII, continúa la trayectoria que venimos observando de los Tipos AV, AVI y AVII, en la reducción de los valores en la Primera Componente, donde $x > y$, en este caso con unos valores entre +.50 a

+1.40. En la Segunda Componente, mantiene los valores de la anterior tendencia, con una similar oscilación que permite generar dos Subtipos de trayectoria semejante a las variantes 1 y 2 del Tipo AVII:

Así, el Subtipo AVIIIa-b, supone la progresión paralela de AVIII en la reducción de $x > y$ de los bordes verticalizados de los grandes cuencos. En este caso, mostrando las formas más globulares. Sin embargo, su cronología auna la de las variantes AVII1 y AVIII1, oscilando entre la Fase II y la VII en AB, de forma ininterrumpida, mostrando sólo una ruptura tipológica para la Fase VIII de AB, donde estos prototipos y tendencias no continúan. Ausente, también, de la Fase ABI, S, PTI y II y PZI, muestra un Tipo propio de la Campiña, desde el Primer Cuarto del Tercer Milenio BC., con un gran éxito formal que le haría perdurar hasta el Primer Cuarto del Segundo Milenio BC.

AVIIIc-d, supone el segundo Subtipo de AVIII y la progresión de AVII2 en la reducción de $x > y$. Igual que éste, refleja los valores más altos de los índices C y D, y, con ellos, un desarrollo importante del Peralte Superior para prototipos de fuentes carenadas, pero, en este caso, con desarrollos supracarenales de cuerpos más cortos, carenas más gruesas y salientes, etc... Mucho más sorprendente es su cronología, al ceñirse con exclusividad a las Fases I y II de PZ y II de PT, hecho ya reiterado con otros Tipos y que ayuda, en primer lugar, a perfilar la relación entre ambos yacimientos, en sus Fases II y, fundamentalmente, a marcar la diferencia entre los grupos de las Campiñas, a inicios del Tercer Milenio BC., con otros que como PZ y PT mantendrían la mayor continuidad con el mundo material que les dió origen, con similares sistemas socioeconómicos, ordenados en la expansión a través de los cauces fluviales. Este hecho nos permite confirmar la existencia de dos grandes facies culturales en el Alto Guadalquivir (Capítulo I).

Tipo AIX. (Fig. IV, 17)

El espacio ocupado entre las dos grandes tendencias que hemos venido observando dentro de $x > y$: AI, AII, AIII, AIV y AV, AVI, AVII, AVIII, muestran el desarrollo, en torno a los valores 0 de la Segunda Componente, de un descenso del Peralte Superior, que se expresa en los Tipos AIX, AX y XI.

El primero de ellos, AIX, se sitúa en los valores más altos de este conjunto, en la relación $x > y$, con un mayor peso de los índices A y B, siendo sus valores, en la Primera Componente, de +1.20 a +3.40 y, en la Segunda, de +.60 a -1.30, situación, esta última, que nos muestra dos perfiles diferenciados.

El primero, con los valores negativos de la Segunda Componente, se refleja en los Subtipos AIX a, b, c, d, e, f, g, que muestran, con claridad, una evolución respecto a AVI, reduciendo el Peralte Superior en la morfometría y en el tiempo, pues, generan una cronología desde la Fase III de AB a la Fase VIII, coincidiendo con todo el desarrollo del Proceso de Sedentarización de las Comunidades de las Campiñas,

siendo los bordes de grandes cuencos, con diámetros superiores a 20 cm. que se asocian a procesos de producción y almacenaje para el consumo. Si estos Subtipos parecen continuar la progresión de AV y AVI1, ésta llega a su mayor desarrollo con el Subtipo AIXa con la reducción de tamaño y la disminución de la relación $x>y$, denotando una mayor abertura que en la reducción del tamaño, genera nuevos prototipos. AIX e-2 también continúa la progresión de AVI2, en el desarrollo morfológico y en el tiempo de pequeños cuencos.

El segundo Subtipo lo forma la evolución de los valores positivos en la Segunda Componente: AIXh. En este Subtipo, la tendencia, ligeramente, entrante del borde, rompe la tendencia que lo ha generado, y coincidiendo cronológicamente con las Fases VII y VIII de AB, refleja un gran cambio en el Alto Guadalquivir, la incidencia de nuevas formas cerámicas del denominado proceso de Argarización, que en la Campiña y tras su Bloqueo Cultural, significa la reproducción de algunos prototipos de allende sus fronteras, desde un punto de vista local. De hecho, AIXh, en el tratamiento de su pasta (bruñido metálico negro) y, fundamentalmente, en su morfología, coincidiendo con el Segundo Cuarto del Segundo Milenio BC., viene a definir una réplica de prototipos asociados a copas y cuencos, de carena junto al borde, típico, durante esta época, de su Periferia (Contreras, Nocete y Sánchez 1985) (Capítulo I).

Tipo AX. (Fig.IV,17)

La continuidad de la tendencia, en valores positivos, de la Segunda Componente, donde (y) se desplaza sobre la trayectoria de (x) (+.20 a +.95), pero frente a IXh, reduciendo los valores de $x>y$ (+1.20 a +2.80), marca el Tipo AX, que está más próximo de AIVa en la forma general y en el nivel de diámetros. Continuando la tendencia de AIV, en la sustitución de la carena por suaves inflexiones y perfil redondeado, tras las Primeras Fases de ocupación de la Campiña a principios del Tercer Milenio y hasta Medios de éste (Fases ABI, II, III, IV) Su ausencia en Sevilleja, nos muestra que se trata de un prototipo que surge en la Campiña y que marca la desaparición de las formas carenadas y sus sustitución autóctona en una tendencia que comienza a observarse desde inicio de la expansión.

Tipo AXI. (Fig.IV,17)

Una mayor abertura del borde, y una horizontalización suave dentro de la Verticalidad, significa, en un sólo Tipo, aunar la evolución morfológica de AIX y AX sobre valores más reducidos de la Primera Componente, donde aún $x>y$, como refleja, en este caso, AXI, situándose entre +.50 a +1.40, reduciendo los valores de la Segunda Componente a un equilibrio en la posición centrada de (y) en la trayectoria de (x) entre +.80 y -.90. En esta escala se agrupan los Subtipos de AIX, que refleja el ACL, en dos tendencias:

La primera de ellas, AXIa, b, c, d, sobre los valores positivos de la Segunda Componente, con una reducción de los índices C y D que suponen un menor Peralte Superior, pues (y), ocupa una más alta posición en la trayectoria de (x). En todos estos Subtipos, la oscilación de los diámetros entre 26 y 20 cm., marcan bordes de grandes cuencos verticalizados con cronologías ininterrumpidas desde la Fase II a la VII en AB. Nos encontramos, así, con un nuevo Tipo de gran éxito formal que asume las dos grandes tendencias generales que venimos observando, y, cronológicamente, define el gran bloque cultural de las Formaciones Sociales de las Campiñas tras la expansión (Fase II) hasta Mediados del Segundo Milenio BC. (Fase VII).

En el segundo caso, AXIe, f, g, suponen los Subtipos que presentan una mayor presencia de los índices C y D, y, con ellos, del Peralte Superior, ocupando los valores negativos de la Segunda Componente, donde desciende (y) en la trayectoria de (x). Fundamentalmente, responde a bordes de similar verticalidad que en el Subtipo anterior, pero sobre recipientes de menor tamaño, con diámetros que oscilan entre 22 y 11 cm., en una tendencia que coincide con una más precisa cronología, situándose entre las Fases V a la VIII de AB. En su conjunto, esta variación subtipológica, supone el desarrollo tras la Fase V de AB, una nueva trayectoria dentro de XI.

Ambos subtipos recogen una época de cambio entre el Tercer y Segundo Milenio BC., ejemplificando las fases de mayor transformación material de los grupos de las Campiñas.

Tipo AXII. (Fig. IV, 17)

Con el Tipo AXII, iniciamos la descripción de los bordes más horizontalizados, donde $x < y$, con los valores negativos en la Primera Componente. En este caso, la seriación tipológica recibe una fuerte correlación, mostrando el paso de la Verticalidad a la Horizontalidad. Sólo uno de ellos se asocia a este cambio, y es el Tipo que ahora comentamos, el XII.

Situado en los valores negativos de la Primera Componente, entre -1.00 y -1.40, y en la Segunda, con altos valores de +1.00 a +2.30, se muestra paralelo a AII y AIII, con los que manifiesta una gran afinidad. Este Tipo se define como una evolución hacia una mayor abertura del recipiente.

La posible evolución respecto a AII y AIII, se manifiesta en que AXII muestra la continuidad en los 30 cm. de diámetro de los prototipos de fuentes que en este caso ya han perdido la carena, pero manteniendo el concepto del labio plano sin alteraciones ni Peraltes Exteriores e Interiores. Su cronología, al respecto, es muy significativa (Fases III, IV y V de AB), pues, coincide en el tiempo con la desaparición de AII y AIII, aunando la posibilidad de evolución morfológica con la cronológica, en dos de las grandes constantes del proceso: la tendencia hacia la Horizontalidad y la pérdida de la Carenación.

Tipo AXIII. (Fig. IV, 17)

El Tipo AXIII, supone la continuidad de la línea progresiva en la Horizontalización que marcaba la tendencia AIX, AX y AXI, con la disminución de los valores en la Primera Componente hasta llegar a $x < y$, que, en este caso, se sitúa entre +.50 y -.90. En la Segunda Componente, con valores de +1.00 a -.60, AXIII supone, también, la continuidad de la línea progresiva iniciada en AI y continuada por AII, AIII y AIV en la disminución de la posición de (y) respecto a la trayectoria de (x), y por ende, generando un Peralte Superior marcado (índices C y D).

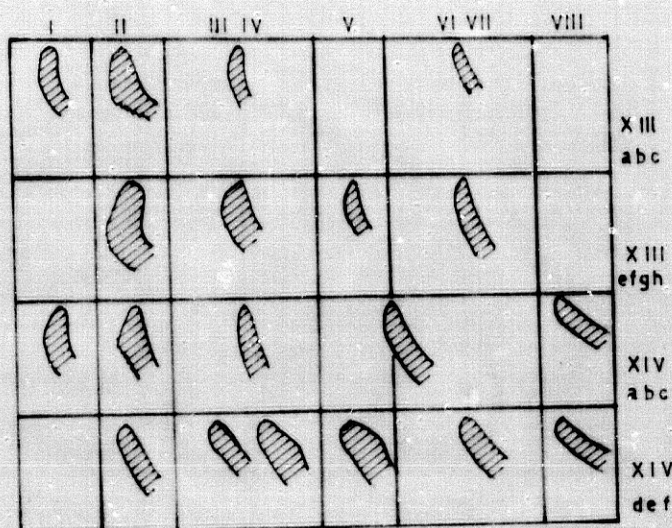
La mayor oscilación de este Tipo, coincide con la trayectoria de la Primera Componente en sus valores positivos y negativos, creando dos grandes agrupaciones. La primera, de bordes verticalizados, y la segunda, horizontalizados, pero ambos situados en el umbral:

En la primera relación, $x > y$, es donde se marca más claramente la evolución morfológica hacia la horizontalidad del tipo XI, manteniéndose, también, en este caso, dos tendencias, una coincidiendo con los valores positivos de la Segunda Componente, donde la reducción del Peralte Exterior es notoria. En este caso representado por la agrupación de los Subtipos AXIIIa-b-c-d como continuidad de AXIa-b-c-d. En los valores negativos de la Segunda Componente, con un desarrollo mayor del Peralte Superior y los índices C y D, asistimos a la segunda agrupación de Subtipos de AXIII en esta tendencia: XIIIe-f-g-h, coincidiendo, a su vez, con la trayectoria de e-f-g del Tipo AXI.

En el primer caso, AXIIIa-b-c-d, se define, así, por valores positivos en ambas Componentes. En la primera de 0 a +.50 y en la Segunda de 0 a +.60. Se trata de bordes cuyas características se sitúan entre AIVa y AXIa-b-c-d, de formas verticalizadas, cortas, de tendencias entrantes, que asumen un amplio repertorio de diámetros que oscilan entre 30 y 17 cm., en una clara evolución cronológica que coincide en el tiempo con la disminución diametral. Estos prototipos, como definen los Subtipos a-c-d, son propios de las Fases de ABII-III-IV y PZII, que definen la Primera Mitad del Tercer Milenio BC. coincidiendo con el proceso de Sedentarización. Sólo uno de los Subtipos ,b, al continuar la trayectoria cronológica hasta la Fase ABVII, nos permite un análisis genético de estos prototipos de gran importancia para el desarrollo de las fuentes no carenadas (Fig. IV, 18).

En el segundo caso, XIIIe-f-g-h, encontramos una dinámica histórica similar a la anterior, sobre la base de prototipos de mayor Peralte Superior, al situarse sobre idénticos valores en la Primera Componente (0 a +.50), pero de valores negativos en la Segunda (de 0 a -.50), continuando la trayectoria de AXIe-f-g, en este caso, sobre formas más abiertas, pues, como comentamos, (x) está en el límite de ser $> y$, marcando el umbral de la Horizontalidad. Los Subtipos que tienen su origen en la Fase II de AB, como el AXIIIa-b-c-d, son una consecuencia más de la profunda transformación cerámica que supone la consolidación del proceso de Sedentarización tras la expansión desde la Vega sobre la Campiña.

FASES EN AB



(Fig.IV.18)

El subtipo AXIIIh, nos muestra la génesis de estos prototipos (Fig. IV,18) tras la Fase ABII, cuya tendencia coincide con una disminución del tamaño, que podemos ver en la reducción del diámetro de abertura, que conduce a las fuentes de perfil no carenado de estas características, hacia cuencos de mediano tamaño y perfil esférico tras la Fase ABVII, donde nuevamente se perfila una ruptura en la tipología cerámica.

Al igual que en el caso anterior, la progresión que marca el índice alfabético de los Subtipos, refleja la tendencia desde $x > y$ a $x = y$.

En el Tipo AXIII, los valores en torno a 0, en la Primera Componente, superan el umbral hacia la Horizontalización del borde, donde $x < y$, como lo define el agrupamiento de Subtipos AXIIIi-j-k, que con similares valores, en la Segunda Componente, de la suma de AXIIIa-b-c-d y AXIIIf-g-h, definen, en la Primera Componente, los primeros valres negativos, de 0 a -0.40 , y con ello, el inicio de la Horizontalización de formas cerámicas más abiertas. Los tres Subtipos hacen referencia a la oscilación en la Segunda Componente, siendo (i) los valores positivos en torno a 0, (j) igual a 0 y (k) los valores negativos en sentido estricto. Sin embargo, esa oscilación está limitada y tiene una difícil matización, hecho que nos permite presentarlos como una sola tendencia para los prototipos de bordes en cuencos esféricos de 12 a 16 cm. de diámetro, que en su reducido tamaño muestran las tradicionales escudillas del mundo de las Campiñas (Ruiz et alii 1983; Nocete 1984c).

Mucho más sorprendente es, sin duda, su fijación cronológica tan precisa, pues (i), sólo se desarrolla en la Fase ABVII, (j) en las Fases ABVI-VII y (k) en las Fases ABVI-VII y VIII, hecho que redonda y, nuevamente, perfila el carácter rupturista de la Fase VI-VII de AB respecto a la trayectoria del Tercer Milenio, ya en los Primeros Siglos del Segundo y hasta su Mitad BC., con la aparición de nuevas

formas de bordes y, también, de recipientes, fruto de la evolución de la simple vajilla, que a Principios del Tercer Milenio BC., definía a las Formaciones Sociales que dieron origen al mundo de las Campiñas.

Un caso especial es el que representan los Subtipos AXIIII-m-n-ñ-o, ya sobre bordes horizontalizados, pero fuera de la trayectoria que veníamos observando, desarrollando los valores más altos de la Segunda Componente y mostrando, más bien, una continuidad con el Tipo AXII, al reflejar la posición de (y) junto al plano de la boca en los valores más altos de la trayectoria de (x). La seriación de estos Subtipos, responde a su oscilación en la Segunda Componente, hecho que nos permite mostrar la relación con AXII, pues, los Subtipos donde los valores positivos son más altos, como (l) y (m), reflejan un desarrollo similar a AXII en las Fases antiguas (ABII-III-IV), siendo el resto, con una posición más baja en la relación de (y) respecto a (x), las que cubren todo el desarrollo del Tercer Milenio y los Primeros Siglos del Segundo BC., entre las Fases ABII y ABVII, con una sensible modificación a partir de ABV, donde la reducción de los diámetros se desarrollará desde los prototipos antiguos de fuentes, sobre cuencos esféricos de no más de 17 cm. de diámetro.

Continuando con la trayectoria de los Subtipos AXIIIIa-b-c-d, e-f-g, i-j-k, y ya en valores plenamente horizontalizados, tras -0.50 en la Primera Componente, donde $y > x$, coincide la transformación morfológica de los labios y prototipos de recipientes con un continuo aumento en los diámetros y el desarrollo de nuevos tipos de fuentes con dos agrupaciones Subtipológicas que regulan las tendencias del aumento de la Horizontalidad en el orden AXIIIIp-q-r y AXIIIIs-t-u-v-w-x-y.

Sin embargo, estas dos agrupaciones Subtipológicas, no representan sólo una evolución morfométrica en el proceso de Horizontalización del labio, coincidiendo con él, el desarrollo de nuevos prototipos cerámicos que van a caracterizar la Segunda Mitad del Tercer Milenio y el Primer Cuarto del Segundo BC.: las fuentes de las Campiñas, que, además, presentan unos perfiles de evolución cronológica, fundamentales para observar su proceso genético, así, como tipológico, altamente correlacionado (Fig. IV, 19).

Así, AXIIIIp-q-r, situados entre -0.20 a $+0.40$ en la Segunda Componente, y entre -0.50 y -0.70 en la Primera, muestran el grado de Horizontalización en la relación de una posición mediada de (y) en la trayectoria de (x). La posición en la Segunda Componente no hace intervenir, aún, con claridad, el Peralte Exterior, generando más bien el Interior.

Los Subtipos, responden a esa ordenación de la Segunda Componente sobre un prototipo formal (fuentes con diámetros entre 20 y 30 cm.), cuya característica morfológica más relevante es el desarrollo de una pestaña interior en el labio, fuertemente, marcada; Fig. IV, 17 y 19). Lo más importante es, sin duda, su perfil cronológico, marcado entre las Fases ABII, PZ y ABIV, como claro exponente de la formación tipológica de prototipos cerámicos novedosos que se desarrollarían en la consolidación del proceso de Sedentarización dentro de la Campiña. Su ausencia en PT y en las Fases I de AB, definen mejor la seriación cronológica de estos prototipos de la Campiña entre el Segundo Cuarto

AB FASES

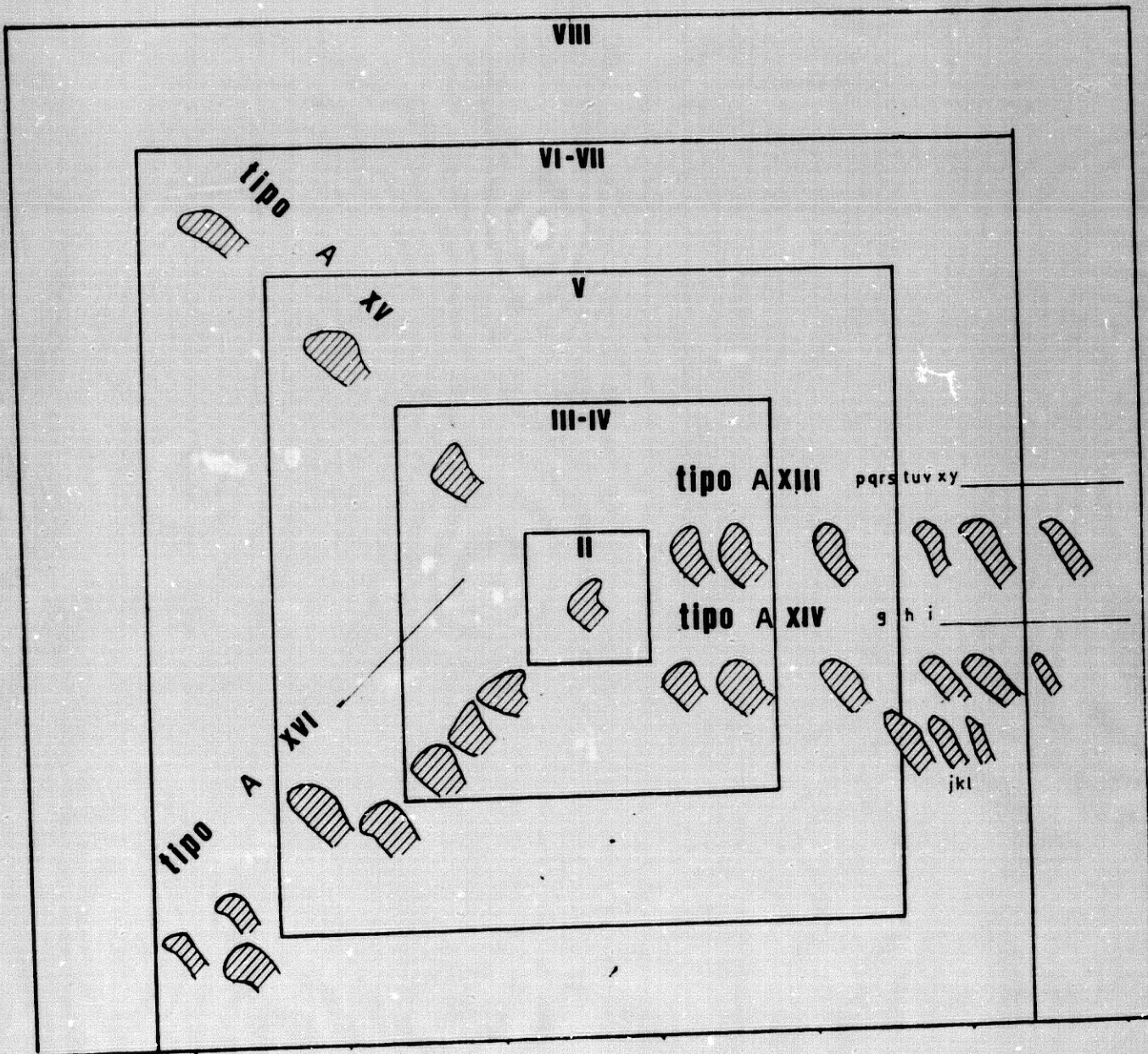


FIG.IV,19 FORMA

Desarrollos Genéticos de los Tipos XIII, XIV, XV y XVI en AB.

del Tercer Milenio y su Tercer Cuarto BC.

El otro agrupamiento de Subtipos, AXIII_{s-r-t-u-v-w-x-y}, siempre a partir de -0.20 , en la Primera Componente, marca la progresión del proceso de Horizontalización del labio, en similares prototipos cerámicos del conjunto de Subtipos anteriores (fuentes), que, en este caso, supone un aumento de diámetro, pasando en torno a los 30 cm. Con similares valores en la Segunda Componente que en la agrupación anterior, perfila una evolución morfométrica que, también lo es, cronológica, articulándose en la variabilidad de la Segunda Componente, pero que dada su gran similitud, podemos presentar de forma conjunta, como ocurría con el caso anterior. En estos Subtipos, asistimos al desarrollo de un mayor Peralte Exterior Saliente (índices E y F) sobre bordes más esbeltos y menos pesados que en los Subtipos anteriores, presentando como novedad el desarrollo, junto a la continuidad de un pequeño Peralte Interior, una compleja gama de decoración policroma sobre barnices, que posteriormente, serán bruñidos. Pero el hecho más relevante, como relatamos con anterioridad, es su fijación cronológica, ceñida con exclusividad a las Fases VI y VII de AB, corroborando un hecho que ya venimos documentando y que es el cambio en la producción cerámica hacia un mayor aumento de los Tipos y la superación de las tendencias anteriores, que se generan entre la Fase VI y VII, permitiendo buenos niveles de fijación cronológica para el Primer Cuarto del Segundo Milenio BC. (C14, AB, CT).

Junto a esto, es interesante señalar, que la continuidad en la tendencia de Horizontalización-Cronología, entre las agrupaciones de Subtipos AXIII_{p-q-r} y AXIII_{r-s-t-u-v-w-x-y}, nos permite valorar una ordenación genética de este Tipo XIII (Fig.IV,19).

Tipo AXIV. (Fig.IV,17)

El Tipo AXIV, sorprendentemente, nos muestra una morfología y cronología similar a AXIII, en el proceso de Horizontalización del labio en prototipos cerámicos de fuentes, con similares valores en la Primera Componente. Su diferencia con el anterior radica en que, en este caso, coinciden con un mayor desarrollo del Peralte Superior (C y D), al ocupar valores negativos en la Segunda Componente, donde (y) se ubica bajo el punto medio de (x), y, además, por una mayor presencia de los índices E y F, y, por tanto, del desarrollo del Peralte Exterior Saliente frente a AXIII, donde la tendencia marcaba cierto Peralte Interior.

Paralelo con el tipo AXIII, el AXIV se inicia en valores positivos de la Primera Componente, donde $x > y$, con valores definidos entre 0 y $+0.60$, mientras en la Segunda coincide con valores entre -0.50 y -1.60 con la presencia de C y D, la cual muestra que (y) se desarrolla bajo la mitad de la trayectoria de (x). Este contraste define los Subtipos AXIV_{a-b-c}, que se ordenan en la disminución de los valores de la Segunda Componente y que definía la evolución morfométrica de AXI_{e-f-g} y AVII_{a-b}, en este caso, sobre prototipos más horizontalizados con

diámetros similares al primer caso, e inferiores a los 18 cm. (cuencos hemiesféricos). Su perfil cronológico, sin embargo, no permite observar una génesis concreta, pues, se trata de prototipos de origen antiguo y amplio desarrollo cronológico, que encontramos en la Campiña desde la primera ocupación (Fase ABI), hasta el Primer Cuarto del Segundo Milenio BC. La ausencia de estos Subtipos en Sevilla, nos advierte que se trata de una creación propia del proceso de expansión más antiguo desde la Vega del Guadalquivir sobre la Campiña, siendo formas de amplia aceptación en su diseño y, posiblemente, a nivel funcional, de ahí su largo desarrollo cronológico (Fig. IV, 18).

La continuidad que respecto a AXIIIa-b-c-d/e-f-g-h suponía AXIIIi-j-k, en este caso, la asume respecto a AXIVa-b-c, AXIVd-e-f, con similares valores en la Segunda Componente que AXIIIi-j-k, mostrando el umbral a la Horizontalidad, desde valores negativos entre 0 y -0.40, en la Primera Componente, donde $y > x$. Pero, en este caso, como ya definimos con anterioridad, con un mayor Peralte Superior, al estar presente C y D, y al situarse (y) bajo la mitad de la trayectoria de (x), con valores en la Segunda Componente de -0.95 a -1.60.

En el caso de esta primera Horizontalización, lejos de ocurrir como en el caso de AXIII, con la disminución del tamaño del recipiente, ahora supone un sensible aumento, más arriba de los 20 cm, marcando el desarrollo de platos-fuentes sin marcar Peraltes, como ocurría con los prototipos de bordes en los cuencos de gran tamaño. Los Subtipos que forman este conjunto, muestran una oscilación en la Segunda Componente de importantes connotaciones cronológicas, pues, mientras (d) se desarrolla en las Fases III y IV de AB y PZ, (e) lo hará sólo en ABIII, y, solamente, (f) se desarrolla desde ABIII a ABVIII ininterrumpidamente.

El hecho de que la mayor parte de estos Subtipos se concentren y se inicien en PZII y ABIII-IV, nos muestra que se trata de importantes prototipos que marcan, dentro del proceso de Horizontalización, la posibilidad de diferenciar ABII de ABIII, definiendo el desarrollo de nuevos conceptos formales con la consolidación del proceso de Sedentarización, mostrando, también, la fijación de las primeras fortificaciones en AB y PZ. Su ausencia en PT, permite diferenciar y definir el hecho del final de la ocupación del cauce del Guadalbullón durante el Segundo Cuarto del Tercer Milenio BC.

El Subtipo AXIVf, muestra otra de las variantes subtipológicas que perdura hasta el Segundo Cuarto del Segundo Milenio BC., permitiéndonos observar el desarrollo genético y evolutivo de este Tipo (Fig. IV, 18). Sin embargo, tras la Fase ABV, una reducción en el tamaño de los recipientes, nos marca uno de los cambios de esta evolución, pasando de más de 20 cm., antes de la Fase V, a unos diámetros entre 20 y 14 cm., para las Últimas Décadas del Tercer Milenio y Principios del Segundo BC.

El siguiente paso en la Horizontalización del borde, dentro del tipo AXIV, lo define el conjunto de Subtipos AXIVg-h-i. La evolución morfométrica que éstos suponen en relación a AXIVd-e-f, es similar a AXIII m-n-ñ-o respecto a AXIIIi-j-k, pero, ahora, con un mayor desarrollo del Peralte Superior (índices C y D) y, fundamentalmente,

por una tendencia hacia el Peralte Exterior Saliente frente a la tendencia Interior en los prototipos paralelos de AXIII. En este caso del AXIV, se definen los valores en la Primera Componente entre $-.40$ y $-.70$ y en la Segunda entre $-.90$ y -1.60 .

Los tres Subtipos muestran la evolución, en la Primera Componente, del aumento de la Horizontalidad del labio, y con ella, el desarrollo del Peralte Exterior, que, sin embargo, coincide con un amplio espectro cronológico desde ABII a ABVIII, ininterrumpido. No por esto, la evolución cronológica, no responde a tendencias morfológicas marcadas. Así, por ejemplo, en la Fase IV, los bordes más pesados y gruesos, que coinciden con formas reforzadas del labio y diámetros que oscilan entre 40 y 30 cm., marcando el inicio de la policromía tras la Fase VI, mantendrán todas sus características salvo una estilización del perfil y una disminución en los tonos policromos hasta culminar en la Fase VIII, donde la estilización se convierte en bisel, reduciendo los Peraltes Exteriores Salientes con la desaparición de la policromía y una clara reducción del tamaño, como refleja el hecho de que ninguno de los diámetros superan los 30 cm. Desde aquí, podemos precisar con bastante claridad, el desarrollo genético y morfológico (Fig. IV, 19), que partiendo de la Fase II, con la evolución de las primeras fuentes no carenadas, irá reduciendo el Peralte Superior en favor del Exterior y la Verticalidad en favor de la Horizontalidad.

En cuanto a los Subtipos AXIVj-k-l, con valores, en la Primera Componente, de $-.60$ a $-.80$ y en la Segunda, de 0 a $-.50$, ocupando los índices más altos en esta última, del Tipo AXIV, aproximándose a posiciones centradas de (y) en (x), y definiendo una posición próxima a los valores de los Subtipos de AXIII, p-q-r/s-t-u-v-w-x-y. En este caso, se trata de labios horizontalizados de recipientes (fuentes) de diámetros muy uniformes, en torno a los 30 cm., pero de cuerpos más verticalizados, donde los labios generan una fuerte biselización que, sorprendentemente, refleja una similar y parecida cronología a los prototipos biselados de AXIII (p-q-r-s-t...y), con exclusividad en las Fases VI y VII de AB, siendo uno de los prototipos, tanto en AXIII como en AXIV, que mejor definen estas Fases de una ya normal ruptura tipológica. En cuanto a su génesis, y al igual que en los similares prototipos de AXIII (Fig. IV, 19), nos muestra, además, que los labios biselados coinciden con una selección en la calidad y cualidad de los barnices bruñidos, siendo su único color el negro, de una gran calidad que, en algunos casos, muestra restos de reticulado (Ruiz, Molinos, Nocete y Castro 1983; Nocete 1984c).

El último Subtipo de AXIV, lo refleja AXIVm, que representa los valores negativos máximos de la Segunda Componente, situándose, en ella, entre -1.60 y -1.80 , situación que representa los más fuertes Peraltes Superiores (C, D) del Tipo AXIV, en una forma muy bien diferenciada de idéntica fijación cronológica entre las Fases ABIII y ABV, así, como en PZ, mostrando su desarrollo, y con él, el Segundo Cuarto y la Segunda Mitad del Tercer Milenio BC., donde estos cuencos abiertos aparecen y se desarrollan.

Tipo XV. (Fig. IV, 17)

El Tipo AXV, refleja el desarrollo de bordes sobre fuentes de más de 30 cm. de diámetro, con unos valores, en la Primera Componente, donde $y > x$ de -0.90 a -1.20 , y en la Segunda de $+1.00$ a -1.00 , que viene a suponer la continuidad en el proceso de Horizontalización del borde, manifiesto en los Tipos AXIII y AXIV, y en la línea de los Subtipos AXI^{II}-m-n-ñ-o/p-q-r-s...y, y de AXIVj-k-l, y aquellos más horizontalizados y tardíos, g-h-i (Fig. IV, 17 y 19).

Así, este Tipo refleja los valores de una gran Horizontalidad, pero con una amplia oscilación en la Segunda Componente, que recoge posiciones elevadas de (y) respecto a la trayectoria de (x), que pueden explicarse en su seriación subtipológica AXVa-b-c-d-e-f-g, que alfabéticamente ordena la oscilación de $+1$ a -1 en la Segunda Componente.

AXVa-b-c, define la oscilación de los valores positivos en la Componente Segunda, en la trayectoria hacia una mayor Horizontalización del borde, como en AXIII, manifestando una tendencia hacia un aumento del Peralte Interior, coincidiendo AXVa con la trayectoria de AXIII^{II}-m-n-ñ-o y AXVb-c con AXIII^{II}p-q-r-...y. Tanto en AXVa, como en b y c, coincide, además, la cronología de los otros Tipos, definiendo las Fases ABIII IV, V y VI.

El desarrollo de estos prototipos (fuentes), que se inicia con la consolidación de la Sedentarización y las primeras fortificaciones de la Campiña (Segundo Cuarto del Tercer Milenio BC.), continuará hasta los Primeros Siglos del Segundo BC., marcando, nuevamente, la ruptura que supone la Fase ABVII.

En el caso AXVd-e-f-g, nos encontramos ante una tendencia de mayor Horizontalidad que en el anterior, hecho que supone, también, una mayor presencia del Peralte Exterior, así, como una ausencia del Interior, con un nuevo reparto cronológico más amplio que en los Subtipos precedentes de AXV, que incluyendo la fase ABVII confirman la otra ruptura que supone ABVIII.

El Subtipo AXVg, muestra una excelente expresión evolutiva y genética (Fig. IV, 19), al desarrollarse desde bordes de Peralte Interior de la Fase II, de forma similar a como ocurría con la génesis de los Tipos AXIII y AXIV, a los que les une, en una común tendencia paralela, en el desarrollo para la Fase ABV de los prototipos de borde más pesados, de más gruesa sección y policromos.

Tipo AXVI. (Fig. IV, 17)

Al igual que ocurría con el Tipo AXV, el AXVI supone un gran aumento en la trayectoria de Horizontalización que inició AXIV, sobre bordes pertenecientes, exclusivamente, a fuentes con un mayor desarrollo del Peralte Exterior. Así, en este caso, se presentan los niveles de

máxima Horizontalidad del borde en aquellos prototipos de AXIV que no recogía AXV, como es el caso de AXIVg-h-i, coincidiendo junto al próximo Tipo, el AXVI, con los valores más bajos de la Primera Componente, donde la máxima Horizontalización coincide con el máximo Peralte Exterior. Así, en la Primera Componente los valores se circunscriben de -0.80 a -1.50 , y en la Segunda entre -0.80 y -1.70 .

Los subtipos que reflejan, así, su máxima oscilación en la Primera Componente, marcando el proceso de Horizontalización del labio, presentan interesantes definiciones cronológicas en el orden de su seriación alfabética a-b-c-d-e, que, también, asume una ordenación cronológica no menos interesante.

Así, AXVIa, con los menores valores en la Primera Componente, marca el inicio de esta Horizontalización, inicio, también, cronológico, con un preciso desarrollo estratigráfico en AB, coincidiendo con sus Fases III y IV (Mediados del Tercer Milenio BC.). Esta concretísima definición morfológico-cronológica, coincide, además, con el nuevo desarrollo de Horizontalización y cronología de un prototipo cerámico no menos preciso, que, también, encontramos en la base genética de AXII, AXIV y AXV, nos referimos a los platos planos de Peralte Superior (pestaña) marcada al interior (Fig.IV,19), que le dotan de cierta relevancia en los índices C y D dentro de la Horizontalidad, que, en este caso, acompaña al Peralte Superior con una tendencia Exterior-Saliente, como muestran sus valores próximos a -0.80 en la Segunda Componente. Los diámetros de estos prototipos se concretan de una forma muy homogénea entre los 20 y 30 cm.

Por otra parte, AXVI b, con un ligero aumento en el proceso de Horizontalización, que refleja su posición en la Primera Componente, entre -0.80 y -0.90 , coincide, además, con un marcado Peralte Superior y Exterior Saliente, y con un ulterior desarrollo cronológico que continúa la trayectoria de AXVIa, adscribiéndose en este caso de b, a las Fases V y VI de AB. Esta sensible pero interesante evolución morfométrico-cronológica, define, a su vez, la modificación del prototipo de los platos hacia las fuentes, con un aumento considerable de los diámetros de abertura que, ahora, se sitúan en torno a 30 cm. Sin embargo, la evolución morfológica es lo suficientemente clara, como revela el hecho de que en este nuevo Subtipo de bordes se mantengan las características de AXVIa, salvo en un mayor desarrollo del Peralte Exterior Saliente, continuando con similares valores el Peralte Superior, pero, en este caso, perdiendo Peralte interior como revela el hecho de que la pestaña de AXVIa es sustituida por una curva peraltada de las que, tradicionalmente, se denominan "caña" para este tipo de cerámicas del Tercer Milenio BC. Otro elemento morfológico que define esta tendencia, es el hecho, ya contrastado, de la policromía en la Fase ABV, que afecta a estos prototipos de AXVIb y los diferencia, también, de AXVIa, ayudando a definir las diferencias tipológicas entre ABVI y ABVII.

AXVIc, representa los prototipos más horizontalizados del Tipo AXVI, haciendo coincidir, con ellos, los mayores desarrollos del Peralte Exterior Saliente (máxima Horizontalidad y máximo Peralte Exterior) con valores en la Primera Componente de -1.00 a -1.40 . Esta tendencia, sin embargo, supone un aumento en los valores de la Segunda Componente

y, por tanto, una reducción del Peralte Superior, tendencia general para todo el Tipo y para todos aquellos que definen el aumento de la Horizontalidad.

La cronología de este proceso de Horizontalización, Peralte Exterior y reducción del Superior, ya marcada en la trayectoria AXVIa y AXVIb, presenta un desarrollo cronológico no menos interesante, al definirse en las Fases ABV VI y VII, hecho que supone el desarrollo de un gran bloque en la producción cerámica, que va a definir el mayor auge productivo del mundo de las Campiñas entre los Últimos Siglos del Tercer Milenio y los Primeros del Segundo BC., con una ruptura, tras la Fase ABVII, de un profundo cambio que advertía, a otros niveles, el registro arqueológico (Capítulo I, Fase Cazalilla II). La Fase ABVII, dentro de este proceso, supone un cambio tipológico de carácter selectivo, al desarrollar, exclusivamente, los prototipos más Horizontalizados, de mayor Peralte Exterior, con una homogénea tendencia de tamaño y abertura en torno a los 30 cm. de diámetro, reduciendo, también, la policromía y los sistemas decorativos, haciendo desaparecer incluso los perfiles más pesados, por otros de una mayor esbeltez (Fig.IV,19).

El resto de las Variantes, AXVI d y AXVI e, presentan como novedad un recorrido cronológico y morfológico que auna las tendencias de AXVI a-b-c, sumando, además, dos nuevos prototipos en la Fase III-IV que presentan una mayor continuidad y un reflejo más didáctico del desarrollo de los Peraltes Exteriores, con la ausencia de la "pestaña" de - b -, por una línea intermedia hasta la "caña", que permite, milimétricamente, mostrar su evolución desde el Segundo Cuarto del Tercer Milenio BC. (Fig.IV,19). En estos Subtipos, podemos observar dos Variantes (1 y 2), que marcan la ruptura en AB de la evolución de los Peraltes Superiores hasta su desaparición, con un nuevo recorrido hasta la Fase VII (Fig.IV,19), que adquiere una gran significación para diferenciar PZ de AB y mostrar que las formas y origen de este desarrollo morfológico se hallan en el Primer Cuarto del Tercer Milenio BC., en las Fases PZI y ABII, y en prototipos como los platos (de menos de 30 cm. de diámetro), donde el Peralte Superior se inclina ligeramente hacia el Interior, formando una pestaña, a partir de la cual se desarrollarán todas las formas de las clásicas fuentes de "Labio Engrosado" del mundo de las Campiñas del Alto Guadalquivir.

Tipo AXVII. (Fig.IV,17)

El Tipo que define, con valores negativos en la Primera Componente (-1.20 a -1.80), el mayor desarrollo de la Horizontalidad del borde ($y > x$), coincidiendo con un gran desarrollo del Peralte Exterior Saliente, es el Tipo AXVII, situándose en la Segunda Componente entre los valores extremos de AXV y AXVI (de -.40 a -1.00), presentando la ulterior evolución morfométrica de éstos con un, moderadamente escaso, Peralte Superior.

El ACL, nos permite diferenciar dos Variantes: AXVII1 y AXVII2, que coinciden con la oscilación del Tipo, en la Segunda Componente, y el

desarrollo del Peralte Superior, hecho que no afecta ni al Exterior Saliente ni a la Horizontalidad, aunque sí presenta un interesante desarrollo cronológico.

Así, AXVIII1, y en los valores más altos de la Segunda Componente, refleja el desarrollo de las Fases I y II de PZ y I de PT, en los labios Horizontalizados de fuentes carenadas, que ausentes en Sevilleja y en la Fase I de PT, muestra el desarrollo evolutivo de prototipos cerámicos, que desde el Guadalquivir, ejemplifican la Expansión Colonizadora del Neolítico Final, ya en la Campiña, pero en un momento avanzado del proceso, situado a caballo entre el Primer Cuarto y el Segundo Cuarto del Tercer Milenio BC., coincidiendo con un profundo cambio en la tecnología de producción, que revela la aparición, por primera vez, en el Alto Guadalquivir, de las hoces dentadas de sílex.

Sin embargo, es interesante y sintomático, que a pesar de continuar este Subtipo en las Fases I y II de PZ, está ausente en AB. Este hecho escapa de la posibilidad de una ausencia casual, como revela el hecho de su continuidad en PZ II, que es paralela a AB III-IV, situación que, nuevamente, define la existencia en la Campiña de dos marcadas y diferentes facies culturales a nivel cerámico. La desaparición de este Subtipo antes de la Fase V de AB, y, con él, de asentamientos como PZ, demuestra que a Medios del Tercer Milenio BC. los cambios cerámicos en la Campiña suponen la desaparición de la facies cultural PT-PZ.

Lo que respecta a la Variante AXVII2, que refleja los valores más bajos en la Segunda Componente, coincidiendo con el desarrollo de bordes más horizontalizados y de Peralte Exterior Saliente, indica su relación con el proceso evolutivo de AXV y AXVI, que se perfila en el hecho de que este Subtipo se desarrolla cronológicamente y con exclusividad en las Fases AB VI y AB VII, sobre fuentes policromas de más de 30 cm. de diámetro, hecho también, que revela no sólo, y una vez más, la ruptura en las tipologías cerámicas de la Fase VI-VII de AB, y, con ella, el desarrollo y consolidación de la tendencia hacia la Horizontalidad y el Peralte Exterior Saliente en los Primeros Siglos del Segundo Milenio BC.

La articulación de estas dos Variantes del tipo AXVII, nos permite mantener los procesos evolutivos, formales y cronológicos, que observamos en el caso AXIII, AXIV y AXVI con respecto a esta forma, pues, se asocian con claridad AXVd-e-f/ AXIVp-q-r...y con AXVIII1 y AXIIIg-h-i y AXIIIj-k-l/ AXVIc con AXVII2.

Tipo AXVIII. (Fig. IV, 17)

El último Tipo de este desarrollo de la Forma "A", presenta en la relación $y > x$, con valores negativos en la Primera Componente de -0.10 a -0.90 y en la Segunda, entre -1.90 y -2.40 , una reducción sensible del Peralte Exterior frente a otros prototipos cerámicos similares en niveles de tamaño, como refleja su diámetro entre los 10 y 15 cm. que define escudillas que continúan la trayectoria de AXIVm en el aumento

del Peralte Superior, con una posición más abierta del borde y en definitiva del recipiente. El desarrollo de técnicas de decoración en bruñidos de color negro y sistemas de reticulado, muestran otra de las diferencias que caracterizan a este Tipo que, además, se perfila cronológicamente con una gran precisión en torno a las Fases AB VI y VII, hecho que permite marcar, nuevamente, la gran ruptura tipológica del Primer Cuarto del Segundo Milenio BC. con un buen desarrollo genético (Fig.IV,19).

* * *

La evolución cronológica general de la Forma "A", podemos observarla, y así lo hemos hecho, sobre la base de la coincidencia del devenir del tiempo con el desarrollo de las tendencias en el ACP (Fig.IV,17), con el desarrollo hacia el proceso de Horizontalización progresivo del labio y, con él, el desarrollo del Peralte Exterior Saliente, que concentra, sobre los valores negativos de la Primera y Segunda Componente, dos tendencias diferenciadas en las formas abiertas desde el inicio de la Colonización de la Campiña tras el Neolítico Final (Tipos AV/Tipo AI), que muestra el desarrollo de una línea continua, a través del tiempo, rota sólo en dos momentos, en la Fase ABII, cuando se inicia esta tendencia, y tras la Fase ABVII, cuando ABVIII rompe el proceso de Horizontalización del labio.

Sobre la base de una distribución general de tendencias (Fig.IV,20) del ACP, podemos marcar los anteriores contrastes y perfilarlos. Así, tras la Fase ABII, el proceso de Horizontalización del borde comienza a marcar la ruptura respecto a ABI, mientras que define las diferencias de dos facies culturales a nivel cerámico en la Campiña. La primera, definida por AB, que es en la que se marca la ruptura tras ABII, y la segunda, la definida por PT y PZ, paralela en el tiempo durante ABI, y a nivel tipológico, cuando se inician los cambios y rupturas de ABII, mantiene la continuidad originaria de las tradiciones cerámicas del inicio de la Colonización.

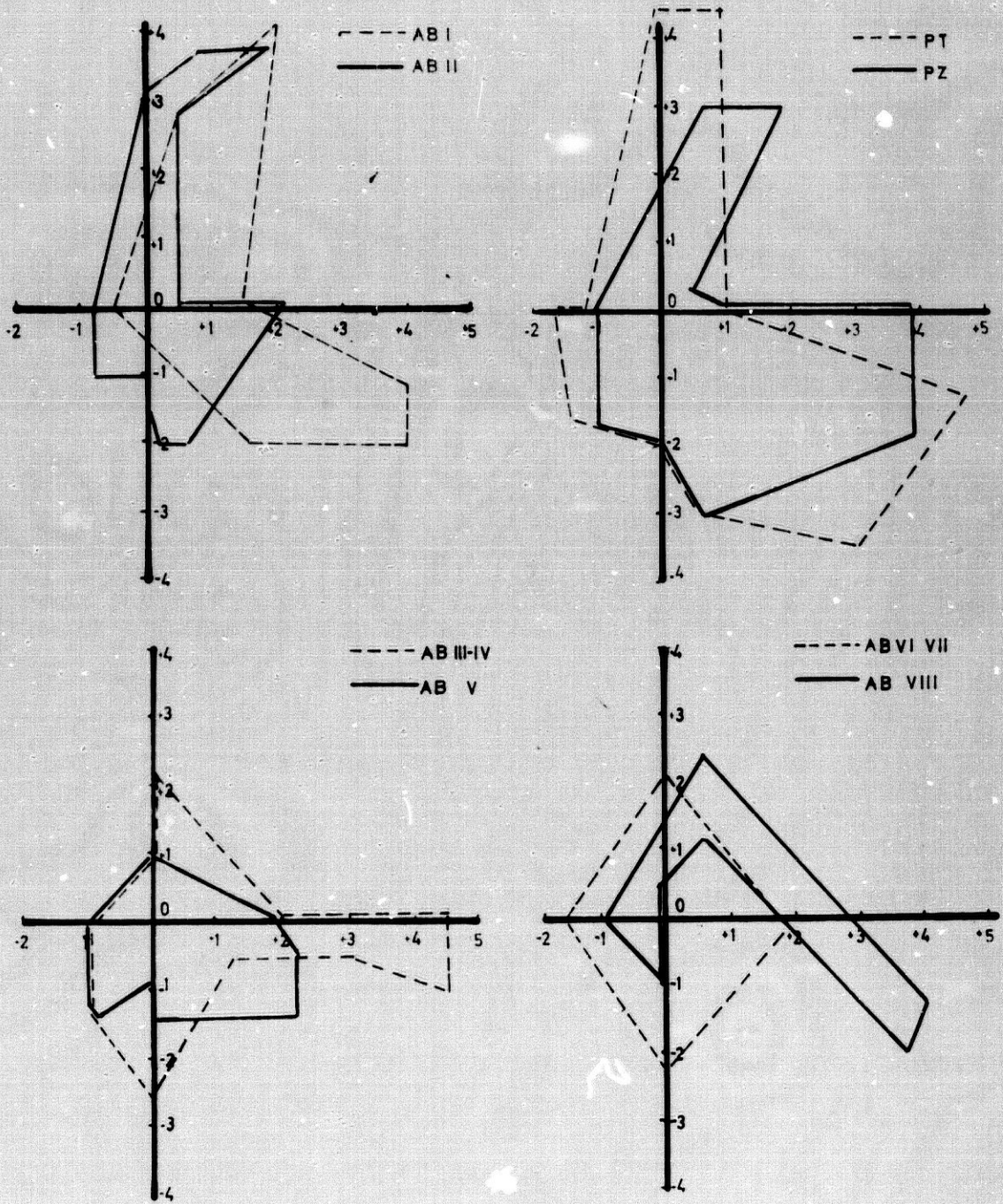
En la Campiña, las Fases ABIII-IV (Fig.IV,20), definen la consolidación de la tendencia abierta por ABII en el proceso de Horizontalización, y marca el inicio del desarrollo de los Peraltes Exteriores Salientes, fundamentalmente, con un nuevo desarrollo de las fuentes que, sustituyendo a los bordes verticalizados de las carenadas por formas horizontales, marcan la nueva dirección, así, como por la aparición y desarrollo de prototipos más abiertos que sustituyen, en cuencos esféricos, los tradicionales vasos de paredes rectas de las Fases ABI y PTI.

En la Fase ABV (Fig.IV,20), la tendencia a la Horizontalidad y los Peraltes Exteriores Salientes, se han consolidado definitivamente en la Campiña, abriendo el desarrollo y final de esta tendencia de las Fases ABVI-VII, donde éstas quedan perfectamente definidas sobre un reducido espacio de variabilidad del borde, que se expresa en la Primera y Segunda Componentes entre los valores de +2.00 y -2.00. Sin embargo, esta conjunción de tendencias expresa un gran desarrollo y

	PT	PZ	AB I	AB II	AB III	AB IV	AB V	AB VI	AB VII	AB VIII
I										
II										
III										
IV	a									
	b									
V										
VI	1									
	2									
VII	1									
	2									
VIII	ab									
	cd									
IX	a									
	bfg									
	cde									
X										
XI	abcd									
	efg									
XII										
XIII	a									
	b									
	c									
	d									
	efgh									
	ijk									
	lm									
	nño									
	pqr									
	st..y									
XIV	abc									
	d									
	e									
	f									
	ghi									
	jkl									
	m									
XV	abc									
	defg									
XVI	a									
	b									
	c									
	de 1									
	de 2									
XVII	1									
	2									
XVIII										

TABLA IV,5 FORMA A

Desarrollo Cronológico de los Tipos.



forma A

FIG.IV,20

Desarrollo Diacrónico de las Tendencias de la Forma A en el ACP.

aumento tipológico, que muestra una gran producción diversificada de nuevos Tipos sobre una única tendencia: la Horizontalidad del borde, la Abertura del recipiente y el desarrollo de los Peraltes Exteriores Salientes.

En la Fase ABVIII (Fig.IV,20), la tendencia anterior queda rota y superada con la selección de una parte de los antiguos prototipos de ABVI-VII, que suponen la disminución de la Horizontalidad del borde y el recipiente, así, como del Peralte Exterior, y, fundamentalmente, por la aparición de nuevos Tipos de borde, que, en esta línea, significan el desarrollo de una ya olvidada verticalidad, desapareciendo los Peraltes.

La estructura general de este proceso y la correlación cronológica de los Tipos de la Forma "A" (Tabla IV,5), nos permite observar y contrastar un gran bloque, con la tendencia de la Horizontalización, etc..., que se ciñe desde las Fases ABII a la ABVII, netamente diferenciadas de ABI y ABVIII, y dentro de ellas, la neta diferenciación entre AB y PZ-PT.

Además, en la Campiña, se confirman asociaciones de Fases en AB, como es el caso de III-IV y VI-VII, que son imposibles de ser diferenciadas con el análisis de la Forma "A". Junto a ellas, la Fase V se estructura a medio camino entre ambas, y junto a la Fase ABII, nos permite observar la siguiente seriación:

AB	I // II	III-IV	V	VI-VII // VIII
PT	I	II		
PZ		I	II	

Dentro del análisis cronológico de los Tipos, podemos precisar algo más sobre el gran bloque que supone, en la Campiña, las facies AB, y dentro de ella, el grupo de tendencias entre ABII y ABVII, que perfilan el desarrollo del Tercer Milenio y el Segundo Cuarto del Segundo BC. en la expresión de su tendencia a la Horizontalidad, el aumento progresivo de los Tipos a nivel cuantitativo y el carácter endógeno y continuo de la tendencia que ha ofrecido, junto a la posibilidad de observar procesos genéticos en los tipos cerámicos, una gran dificultad para observarlos y analizarlos, homogeneidad observada en otros niveles materiales de estas Formaciones Sociales, que les confiere un aspecto monolítico y retardatario (Ruiz, Nocete y Sánchez 1986).

Así, por ejemplo, en ABI y ABII, se definen como parte de una tendencia (Sevilleja), al tener más puntos en común (Tipos AI, AII, AIII, AIV, AVIII, AXVI d-e-f) que diferencias (ABI=AV, AVII2) (ABII=AIVa), no obstante, ABII supondría el inicio de la tendencia que habría de definir el mundo de las cerámicas de la Campiña en el futuro, mostrando un desarrollo, que vemos con claridad en la ausencia de las bajas carenas de ABIII-IV, y en nuevos conceptos materiales (AXII, AXIVd, AXIVe, AXIVj-k-l y AXVI).

La Fase ABV, sin duda, es la que marca, dentro de la tendencia de la Campiña, un momento clave, al expresar la consolidación de los cambios iniciados en las Fases III-IV (AVI, AX, AXII, AXIV), y avanzar las Fases VI-VII (AXIe-f-g y AXVIc), incorporando al factor morfométrico, un factor cualitativo de gran importancia en el registro de las señas de identidad del grupo de las Campiñas (la policromía sobre barnices y aguadas en colores rojo, marrón y negro) en los procesos decorativos que afectan, fundamentalmente, a las fuentes y a algunos cuencos esféricos.

El aumento tipológico que supone el desarrollo de las Fases VI-VII, en la elección de nuevas formas, sin embargo, argumenta una gran uniformidad, al tratarse de variaciones sobre unas ideas muy estandarizadas, donde domina la Horizontalidad del borde, su Peralte Exterior y la Abertura del recipiente, cuyas variabilidades afectan, fundamentalmente, a los Tipos AXIII, AXIV, AXV, AXVI y AXVII, que seleccionan sistemas decorativos de la policromía hacia tonos metálicos que, en algunos casos, desarrollan sistemas de reticulado. Estos cambios decorativos, también, afectan durante la Fase VI-VII, a otras formas cerámicas como los cuencos (Ruiz, Molinos, Nocete y Castro 1983; Nocete 1984c).

En el análisis de este proceso de Horizontalización, Peralte Exterior, etc..., de la facies AB, uno de los prototipos que en su génesis, morfología y tendencias ha sido un tradicional elemento sobre el que se han basado muchos esquemas tipológicos y cronológicos de la Prehistoria Peninsular del Tercer Milenio BC., y que, en nuestro estudio, adquiere una gran importancia, será el análisis del borde en las fuentes, que hasta el momento sólo han sido usadas para diferenciar el Interior de la Costa en el Sur, y para inferir generalizaciones, que han incluido tradiciones culturales y desarrollos históricos bien diferentes, como el Mundo Megalítico y el de las Tierras Bajas del Guadalquivir.

En nuestro caso, la fuente es, sin duda, un buen elemento de datación cronológica, pero no el único, bajo el análisis de las tendencias de procesos de fabricación, sólo y exclusivamente aplicables desde este modelo para las Campiñas, con un valor meramente de contrastación en el tiempo, pero, en sí mismo, insuficiente para la definición de grupos culturales. En nuestro análisis, ha sido interesante estudiar su génesis desde el Neolítico Final de la Vega del Guadalquivir, que se perfila como la base material y económica de las Formaciones Sociales de la Campiña, contrastado en los registros de ocupación del Territorio, como podremos observar en el Capítulo V, donde las fuentes carenadas, en sus tendencias, Tipos AI, AII, AIII y AIV, asociadas a la evolución de los bordes rectos de los recipientes de almacenaje, Tipos AV, AVI, AVII y AVIII, serán usados como buenas bases del análisis cronológico del proceso de Sedentarización.

La ruptura de las tendencias del Tercer Milenio BC., en la Fase VIII de AB (Tipos AIXc-d-e, AXIIIj-k y AIXa), advierten un nuevo desarrollo de la Forma "A", que anuncian, materialmente, el profundo cambio, que a Medios del Segundo Milenio BC., acaece en la Campiña. Sin embargo, los patrones de taxonomía cronológica, podrán confirmarse y definirse de una forma más precisa con el análisis de las Formas "B" y "C".

LISTADO IV,1 FORMA A

Casos y Valores en los Indices.

6	53,2,2,0.70,0.70,0.75,0.35
A	54,1,1,0.64,0.71,0.76,0.64
B	55,0.95,0.95,0.71,0.66,0.75,0.75
C	56,1.64,1.64,0.96,0.71,0.69,0.58
D	57,4.92,4.92,2,2,0.54,0.40
E	58,1.86,1.86,0.50,1,0.54,0.27
F	59,3.57,3.57,0.85,0.85,0.76,0.24
606	60,1,1,0.54,0.81,0.54,0.54
1	61,1.35,1.35,0.88,0.76,0.62,0.62
2	62,4.85,4.85,1.57,1.71,0.67,0.32
3	63,1.47,1.47,0.88,0.70,0.72,0.60
4	64,1.14,1.14,0.81,0.44,0.90,0.70
5	65,0.96,0.96,0.72,0.60,0.79,0.75
6	66,2.16,2.16,1.05,0.77,0.72,0.48
7	67,1.09,1.09,0.50,0.66,0.82,0.45
8	68,0.83,0.83,0.41,0.66,0.85,0.50
9	69,0.87,0.87,0.56,0.56,0.76,0.64
10	70,0.75,0.75,0.41,0.66,0.77,0.55
11	71,2.14,2.14,1.14,1.28,0.46,0.53
12	72,1.09,1.09,0.45,0.90,0.58,0.51
13	73,1.15,1.15,0.73,0.65,0.73,0.66
14	74,1.33,1.33,0.66,0.77,0.66,0.50
15	75,0.63,0.63,0.43,0.72,0.64,0.43
16	76,1,1,0.68,0.63,0.63,0.68
17	77,1.42,1.42,0.89,0.42,0.88,0.62
18	78,1.68,1.68,0.84,0.75,0.74,0.50
19	79,3.25,3.25,1.18,0.87,0.76,0.36
20	80,2.28,2.28,0.85,0.85,0.75,0.37
21	81,2.60,2.60,0.90,1.10,0.69,0.34
22	82,2.66,2.66,0.77,0.79,0.29,0.28
23	83,6.66,6.66,1.73,1.73,0.70,0.26
24	84,3.50,3.50,1,1,0.74,0.28
25	85,1.88,1.88,0.66,0.44,0.82,0.35
26	86,1.72,1.72,0.63,0.90,0.83,0.36
27	87,2.14,2.14,0.71,0.28,0.93,0.33
28	88,0.83,0.83,0.45,0.62,0.75,0.73
29	89,1.44,1.44,0.77,0.72,0.69,0.53
30	90,0.80,0.80,0.48,0.80,0.60,0.60
31	91,1.22,1.22,0.70,0.74,0.69,0.57
32	92,6.82,6.82,2.94,2.82,0.58,0.43
33	93,8.14,8.14,4.28,4.28,0.47,0.52
34	94,2,2,1,1.50,0.90,0.20
35	95,2.50,2.50,1.25,1.25,0.55,0.55
36	96,2.16,2.16,0.66,0.83,0.76,0.30
37	97,1.08,1.08,0.60,0.73,0.72,0.56
38	98,1.53,1.53,0.66,0.50,0.85,0.40
39	99,0.85,0.85,0.71,0.71,0.72,0.83
40	100,0.72,0.72,0.61,0.50,0.84,0.84
41	101,1.36,1.36,0.63,0.63,0.76,0.46
42	102,1.75,1.75,0.50,0.50,0.85,0.28
43	103,1.75,1.75,0.50,0.50,0.85,0.28
44	104,2.50,2.50,1.25,1.33,0.46,0.50
45	105,2.16,2.16,0.75,0.83,0.69,0.34
46	106,1.47,1.47,0.45,0.47,0.74,0.30
47	107,1.85,1.85,0.71,0.85,0.76,0.38
48	108,2.75,2.75,1.62,1.62,0.45,0.59
49	109,1.42,1.42,0.71,0.71,0.60,0.50
50	110,3.75,3.75,1.50,1.62,0.56,0.40
51	111,3.63,3.63,0.45,0.63,0.95,0.14
52	112,0.90,0.90,0.45,0.72,0.70,0.50
53	113,2.22,2.22,0.52,0.57,0.85,0.50
54	
55	
56	
57	
58	
59	
60	
61	
62	
63	
64	
65	
66	
67	
68	
69	
70	
71	
72	
73	
74	
75	
76	
77	
78	
79	
80	
81	
82	
83	
84	
85	
86	
87	
88	
89	
90	
91	
92	
93	
94	
95	
96	
97	
98	
99	
100	
101	
102	
103	
104	
105	
106	
107	
108	
109	
110	
111	
112	
113	

114, 1.42, 1.42, 0.64, 0.57, 0.85, 0.45
 115, 1.30, 1.30, 1, 0.80, 0.69, 0.76
 116, 1.14, 1.14, 0.35, 0.78, 0.75, 0.31
 117, 5.25, 5.25, 2.37, 2.37, 0.59, 0.45
 118, 1.40, 1.40, 0.60, 0.60, 0.71, 0.42
 119, 4.33, 4.33, 1.44, 1.33, 0.69, 0.33
 120, 1.50, 1.50, 1.75, 1, 0.83, 1.16
 121, 1.68, 1.68, 0.62, 0.50, 0.92, 0.37
 122, 0.77, 0.77, 0.45, 0.72, 0.58, 0.58
 123, 1.47, 1.47, 0.94, 0.68, 0.92, 0.64
 124, 0.82, 0.82, 0.56, 0.60, 0.89, 0.68
 125, 1, 1, 0.69, 0.46, 1, 0.69
 126, 1.56, 1.56, 0.62, 0.62, 0.88, 0.40
 127, 0.72, 0.72, 0.55, 0.55, 0.92, 0.76
 128, 0.86, 0.86, 0.69, 0.60, 0.80, 0.80
 129, 1.06, 1.06, 0.60, 0.66, 0.68, 0.56
 130, 0.85, 0.85, 0.64, 0.64, 0.75, 0.75
 131, 0.56, 0.56, 0.25, 0.75, 0.66, 0.44
 132, 7.50, 7.50, 0.66, 0.66, 0.93, 0.08
 133, 1.81, 1.81, 0.63, 0.72, 0.75, 0.35
 134, 2.50, 2.50, 0.75, 0.75, 0.60, 0.30
 135, 3, 3, 1.60, 1.70, 0.50, 0.53
 136, 5, 5, 1.71, 1.71, 0.68, 0.34
 137, 1.46, 1.46, 0.69, 0.53, 0.84, 0.47
 138, 0.57, 0.57, 0.35, 0.71, 0.81, 0.62
 139, 0.70, 0.70, 0.48, 0.69, 0.89, 0.68
 140, 0.72, 0.72, 0.70, 0.59, 0.80, 0.96
 141, 0.67, 0.67, 0.51, 0.60, 0.89, 0.75
 142, 0.64, 0.64, 0.60, 0.68, 0.75, 0.93
 143, 0.57, 0.57, 0.30, 0.75, 0.86, 0.52
 144, 0.77, 0.77, 0.50, 0.68, 0.82, 0.64
 145, 0.71, 0.71, 0.56, 0.62, 0.83, 0.78
 146, 0.78, 0.78, 0.47, 0.68, 0.66, 0.60
 147, 0.66, 0.66, 0.41, 0.75, 0.87, 0.62
 148, 0.87, 0.87, 0.61, 0.58, 0.81, 0.70
 149, 0.86, 0.86, 0.33, 0.86, 0.61, 0.38
 150, 3.33, 3.33, 1.55, 1.44, 0.56, 0.46
 151, 1, 1, 0.41, 0.44, 0.88, 0.44
 152, 2, 2, 0.66, 0.66, 0.88, 0.33
 153, 1.87, 1.87, 0.62, 0.75, 0.80, 0.33
 154, 3, 3, 0.75, 0.50, 0.83, 0.25
 155, 1.40, 1.40, 0.40, 0.40, 1.42, 0.28
 156, 4.25, 4.25, 2, 2, 0.52, 0.47
 157, 3.33, 3.33, 0.83, 0.83, 0.95, 0.25
 158, 6.36, 6.36, 3.45, 3.36, 0.50, 0.54
 159, 3.66, 3.66, 1.55, 1.55, 0.60, 0.42
 160, 2.62, 2.62, 1.12, 1.25, 0.61, 0.42
 161, 2.25, 2.25, 1, 1, 0.66, 0.44
 162, 3, 3, 1.20, 1.40, 0.46, 0.40
 163, 0.61, 0.61, 0.57, 0.61, 0.84, 0.92
 164, 1.04, 1.04, 0.73, 0.65, 0.75, 0.70
 165, 0.68, 0.68, 0.37, 0.75, 0.72, 0.54
 166, 0.68, 0.68, 0.60, 0.60, 0.88, 0.88
 167, 1.17, 1.17, 0.47, 0.82, 0.70, 0.40
 168, 0.62, 0.62, 0.48, 0.77, 0.70, 0.76
 169, 0.75, 0.75, 0.25, 0.87, 0.75, 0.33
 170, 1.81, 1.81, 1.09, 1.09, 0.60, 0.60
 171, 1.10, 1.10, 0.60, 0.80, 0.63, 0.54
 172, 0.77, 0.77, 0.59, 0.63, 0.82, 0.76
 173, 0.77, 0.77, 0.54, 0.77, 0.70, 0.70
 174, 0.83, 0.83, 0.41, 0.83, 0.60, 0.50
 175, 0.71, 0.71, 0.61, 0.61, 0.73, 0.86
 176, 0.76, 0.76, 0.57, 0.71, 0.68, 0.75
 177, 1.50, 1.50, 0.66, 0.83, 0.55, 0.44
 178, 3.33, 3.33, 0.66, 0.83, 0.75, 0.20
 179, 1.50, 1.50, 0.75, 0.87, 0.58, 0.50
 180, 3.42, 3.42, 1, 1, 0.70, 0.29
 181, 1.71, 1.71, 0.71, 0.85, 0.66, 0.41
 182, 1.50, 1.50, 0.66, 0.83, 0.66, 0.44
 183, 3.60, 3.60, 1, 1, 0.72, 0.27
 184, 1.20, 1.20, 0.60, 0.80, 1, 0.50
 185, 4.50, 4.50, 2.33, 2.50, 0.48, 0.51
 186, 1, 1, 0.60, 0.80, 0.60, 0.60
 187, 1.40, 1.40, 0.60, 0.80, 0.71, 0.42
 188, 1.20, 1.20, 0.60, 0.80, 0.50, 0.50
 189, 1.25, 1.25, 0.62, 0.87, 0.60, 0.50
 190, 1, 1, 0.50, 0.80, 0.60, 0.50
 191, 1.37, 1.37, 0.50, 0.62, 0.81, 0.36
 192, 0.90, 0.90, 0.50, 0.90, 0.55, 0.25
 193, 5.87, 5.87, 2.62, 2.62, 0.57, 0.44
 194, 1.83, 1.83, 1, 1.16, 0.72, 0.54
 195, 0.84, 0.84, 0.52, 0.52, 0.93, 0.62
 196, 0.65, 0.65, 0.55, 0.60, 0.92, 0.84
 197, 1.10, 1.10, 0.50, 0.60, 0.81, 0.45
 198, 0.63, 0.63, 0.60, 0.73, 0.68, 0.94
 199, 1.29, 1.29, 0.76, 0.41, 0.95, 0.59
 200, 0.70, 0.70, 0.51, 0.59, 0.89, 0.73
 201, 1.42, 1.42, 0.63, 0.47, 0.92, 0.44
 202, 1.25, 1.25, 0.66, 0.41, 0.93, 0.53
 203, 0.55, 0.55, 0.33, 0.72, 0.80, 0.60
 204, 1.90, 1.90, 0.40, 0.70, 0.78, 0.21
 205, 1, 1, 0.47, 0.76, 0.71, 0.47
 206, 0.92, 0.92, 0.30, 0.76, 0.83, 0.33
 207, 0.37, 0.37, 0.37, 0.70, 1.11, 1
 208, 0.90, 0.90, 0.55, 0.55, 0.83, 0.61
 209, 0.85, 0.85, 0.45, 0.70, 0.70, 0.52
 210, 0.84, 0.84, 0.47, 0.63, 0.75, 0.56
 211, 1, 1, 0.68, 0.54, 0.81, 0.68
 212, 1.25, 1.25, 0.50, 0.87, 0.70, 0.40
 213, 0.72, 0.72, 0.54, 0.90, 0.50, 0.75
 214, 5.16, 5.16, 0.50, 0.50, 0.93, 0.09
 215, 3.60, 3.60, 0.80, 0.80, 0.77, 0.22
 216, 3.37, 3.37, 1.50, 1.50, 0.55, 0.44
 217, 0.88, 0.88, 0.58, 0.70, 0.66, 0.66
 218, 2.53, 2.53, 0.53, 0.76, 0.81, 0.21
 219, 0.77, 0.77, 0.45, 0.72, 0.70, 0.58
 220, 0.75, 0.75, 0.54, 0.70, 0.66, 0.72
 221, 0.87, 0.87, 0.66, 0.62, 0.76, 0.76
 222, 0.58, 0.58, 0.41, 0.88, 0.56, 0.70
 223, 0.69, 0.69, 0.47, 0.69, 0.68, 0.47
 224, 0.75, 0.75, 0.43, 0.62, 0.91, 0.58
 225, 1.76, 1.76, 0.53, 0.53, 0.86, 0.30
 226, 1.54, 1.54, 0.54, 0.90, 0.64, 0.35
 227, 1, 1, 0.46, 0.76, 0.69, 0.46
 228, 0.61, 0.61, 0.30, 0.84, 0.50, 0.50
 229, 0.57, 0.57, 0.38, 0.76, 0.73, 0.66
 230, 0.92, 0.92, 0.38, 0.76, 0.66, 0.41
 231, 0.92, 0.92, 0.50, 0.71, 0.76, 0.53
 232, 0.90, 0.90, 0.45, 0.63, 0.80, 0.50
 233, 1.08, 1.08, 0.41, 0.83, 0.69, 0.38
 234, 6.50, 6.50, 3.62, 3.62, 0.48, 0.55
 235, 2.80, 2.80, 1.40, 1.50, 0.50, 0.50

236, 5.83, 5.83, 2.66, 2.66, 0.57, 0.45
 237, 3.20, 3.20, 0.40, 0.60, 0.87, 0.12
 238, 2.33, 2.33, 0.66, 0.83, 0.42, 0.28
 239, 3.50, 3.50, 1, 1, 0.71, 0.28
 240, 1.09, 1.09, 0.45, 0.54, 0.83, 0.41
 241, 4.28, 4.28, 0.85, 1, 0.76, 0.20
 242, 2.77, 2.77, 1.11, 1.11, 0.60, 0.40
 243, 3.71, 3.71, 1.71, 1.54, 0.57, 0.46
 244, 2, 2, 0.40, 0.80, 0.80, 0.20
 245, 4.42, 4.42, 0.57, 0.57, 0.90, 0.12
 246, 4.83, 4.83, 2.16, 2.16, 0.51, 0.44
 247, 2.50, 2.50, 1.16, 1.33, 0.53, 0.46
 248, 0.52, 0.52, 0.34, 0.82, 0.66, 0.66
 249, 0.90, 0.90, 0.57, 0.61, 0.73, 0.63
 250, 0.57, 0.57, 0.28, 0.85, 0.62, 0.50
 251, 0.83, 0.83, 0.25, 0.83, 0.60, 0.30
 252, 0.86, 0.86, 0.45, 0.63, 0.78, 0.52
 253, 1, 1, 0.40, 0.66, 0.80, 0.40
 254, 1.25, 1.25, 0.50, 0.75, 0.80, 0.80
 255, 5, 5, 1.80, 1.80, 0.64, 0.36
 256, 2.20, 2.20, 0.60, 0.80, 0.81, 0.27
 257, 2.83, 2.83, 0.83, 1, 0.64, 0.29
 258, 2.50, 2.50, 0.50, 0.50, 0.90, 0.20
 259, 0.61, 0.61, 0.38, 0.77, 0.81, 0.63
 260, 0.55, 0.55, 0.50, 0.60, 0.90, 0.90
 261, 4.12, 4.12, 0.75, 0.62, 0.54, 0.18
 262, 2.50, 2.50, 0.50, 0.50, 0.86, 0.20
 263, 2.22, 2.22, 0.66, 0.44, 0.85, 0.30
 264, 1.57, 1.57, 0.57, 0.71, 0.81, 0.36
 265, 1.08, 1.08, 0.83, 0.58, 0.76, 0.76
 266, 1.87, 1.87, 0.62, 0.62, 0.86, 0.33
 267, 3, 3, 1.40, 1.50, 0.26, 0.46
 268, 1.16, 1.16, 0.66, 0.83, 0.71, 0.57
 269, 3.66, 3.66, 1.66, 1.50, 0.59, 0.45
 270, 1.83, 1.83, 0.66, 0.83, 0.63, 0.36
 271, 3, 3, 1.16, 1.33, 0.55, 0.38
 272, 2.80, 2.80, 0.80, 1, 0.64, 0.28
 273, 2.66, 2.66, 1.66, 1.77, 0.37, 0.62
 274, 2, 2, 0.50, 0.50, 0.83, 0.25
 275, 3, 3, 0.75, 1, 0.83, 0.25
 276, 2.75, 2.75, 0.62, 0.75, 0.81, 0.22
 277, 3.36, 3.36, 0.54, 0.54, 0.94, 0.16
 278, 1.13, 1.13, 0.60, 0.60, 0.76, 0.52
 279, 1.15, 1.15, 0.61, 0.46, 0.93, 0.53
 280, 1.25, 1.25, 0.75, 0.50, 0.88, 0.60
 281, 0.62, 0.62, 0.50, 0.62, 0.90, 0.80
 282, 0.93, 0.93, 0.50, 0.68, 0.80, 0.53
 283, 3.90, 3.90, 0.27, 0.72, 0.93, 0.06
 284, 3.57, 3.57, 1.28, 1.28, 0.60, 0.36
 285, 2.62, 2.62, 1.35, 1.35, 0.57, 0.52
 286, 2.42, 2.42, 0.71, 0.71, 0.82, 0.29
 287, 1.33, 1.33, 0.50, 0.66, 0.75, 0.37
 288, 5.14, 5.14, 2.14, 2.14, 0.61, 0.41
 289, 1.25, 1.25, 0.62, 0.62, 0.70, 0.50
 290, 0.45, 0.45, 0.54, 0.63, 1.40, 1.20
 291, 2.60, 2.60, 0.60, 0.60, 0.84, 0.23
 292, 1.37, 1.37, 0.62, 0.75, 0.54, 0.45
 293, 0.57, 0.57, 0.28, 0.71, 0.72, 0.50
 294, 0.63, 0.63, 0.42, 0.57, 1, 0.66
 295, 0.66, 0.66, 0.44, 0.66, 0.83, 0.66
 296, 1.07, 1.07, 0.42, 0.64, 0.80, 0.40
 297, 0.86, 0.86, 0.56, 0.60, 0.80, 0.65
 298, 0.76, 0.76, 0.57, 0.57, 0.87, 0.75
 299, 3.50, 3.50, 1.16, 1, 0.71, 0.33
 300, 1.71, 1.71, 0.42, 0.71, 0.75, 0.25
 301, 3.71, 3.71, 0.42, 0.71, 0.76, 0.11
 302, 2.11, 2.11, 1, 1.22, 0.57, 0.47
 303, 3.33, 3.33, 1.16, 1.33, 0.65, 0.35
 304, 1.50, 1.50, 0.37, 0.75, 0.66, 0.25
 305, 0.87, 0.87, 0.50, 0.75, 0.57, 0.57
 306, 1, 1, 0.33, 0.83, 0.50, 0.33
 307, 1.60, 1.60, 0.60, 1, 0.62, 0.37
 308, 5.33, 5.33, 2.33, 2.16, 0.56, 0.53
 309, 0.94, 0.94, 0.55, 0.66, 0.70, 0.58
 310, 0.94, 0.94, 0.52, 0.82, 0.62, 0.56
 311, 0.87, 0.87, 0.62, 0.50, 0.86, 0.33
 312, 0.75, 0.75, 0.56, 0.62, 0.83, 0.75
 313, 0.52, 0.52, 0.36, 0.78, 0.70, 0.70
 314, 1.06, 1.06, 0.50, 0.68, 0.70, 0.47
 315, 0.73, 0.73, 0.40, 0.73, 1.27, 0.54
 316, 2.36, 2.36, 0.45, 0.63, 0.80, 0.19
 317, 2.83, 2.83, 0.50, 0.83, 0.88, 0.77
 318, 2.57, 2.57, 1.14, 1.28, 0.61, 0.44
 319, 1.50, 1.50, 0.50, 0.83, 0.66, 0.33
 320, 2.09, 2.09, 0.63, 0.45, 0.86, 0.30
 321, 3.80, 3.80, 1, 1, 0.78, 0.26
 322, 2, 2, 0.75, 0.75, 0.75, 0.37
 323, 4.42, 4.42, 2.85, 2.85, 0.48, 0.64
 324, 1.33, 1.33, 0.33, 0.66, 0.72, 0.25
 325, 1.55, 1.55, 0.55, 0.55, 0.78, 0.35
 326, 3, 3, 1, 1, 0.80, 0.33
 327, 1.71, 1.71, 0.57, 0.57, 0.83, 0.33
 328, 3, 3, 0.85, 0.85, 0.71, 0.28
 329, 6.87, 6.87, 2.50, 2.50, 0.63, 0.36
 330, 2, 2, 1, 1.20, 0.40, 0.50
 331, 1.33, 1.33, 0.50, 0.66, 0.62, 0.37
 332, 3.40, 3.40, 1.40, 1.20, 0.58, 0.41
 333, 1, 1, 0.57, 0.57, 0.78, 0.57
 334, 0.86, 0.86, 0.54, 0.59, 0.84, 0.63
 335, 0.91, 0.91, 0.41, 0.58, 0.90, 0.45
 336, 1.14, 1.14, 0.50, 0.43, 0.64, 0.81
 337, 1, 1, 1.11, 0.61, 0.83, 1.11
 338, 1.22, 1.22, 0.72, 0.54, 0.81, 0.59
 339, 3.83, 3.83, 0.50, 0.50, 0.47, 0.13
 340, 3.77, 3.77, 1.14, 1.14, 0.58, 0.38
 341, 1.63, 1.63, 0.63, 0.63, 0.83, 0.38
 342, 3, 3, 1.37, 1.50, 0.54, 0.45
 343, 0.66, 0.66, 0.41, 0.91, 0.37, 0.62
 344, 1.10, 1.10, 0.60, 1, 0.63, 0.54
 345, 0.92, 0.92, 0.35, 0.78, 0.53, 0.38
 346, 1.11, 1.11, 0.64, 0.58, 0.78, 0.57
 347, 1.16, 1.16, 0.50, 0.50, 0.92, 0.42
 348, 2.50, 2.50, 0.83, 1.16, 0.60, 0.33
 349, 1.75, 1.75, 0.75, 0.75, 0.71, 0.42
 350, 6, 6, 4.30, 4.30, 0.30, 0.71
 351, 3.33, 3.33, 0.83, 0.83, 0.75, 0.25
 352, 1.83, 1.83, 0.66, 0.66, 0.72, 0.36
 353, 2.50, 2.50, 0.75, 0.50, 0.90, 0.30
 354, 2.50, 2.50, 1.25, 1.25, 0.70, 0.50
 355, 2.12, 2.12, 1.37, 1.62, 0.35, 0.64
 356, 1, 1, 0.50, 0.85, 0.66, 0.50
 357, 3, 3, 0.75, 0.75, 0.75, 0.25

358, 2.60, 2.60, 1.40, 1.60, 0.46, 0.53
 359, 1.14, 1.14, 0.57, 0.71, 0.62, 0.50
 360, 1.30, 1.30, 0.60, 0.90, 0.69, 0.46
 361, 4.37, 4.37, 1.87, 1.87, 0.57, 0.42
 362, 3.44, 3.44, 0.88, 0.88, 0.80, 0.25
 363, 4.11, 4.11, 1.88, 1.88, 0.54, 0.45
 364, 2.77, 2.77, 1.22, 1.22, 0.60, 0.44
 365, 0.77, 0.77, 0.59, 0.59, 0.82, 0.88
 366, 0.88, 0.88, 0.33, 0.66, 0.62, 0.37
 367, 0.70, 0.70, 0.52, 0.64, 0.83, 0.75
 368, 0.78, 0.78, 0.42, 0.78, 0.72, 0.54
 369, 1.45, 1.45, 0.54, 0.63, 0.81, 0.37
 370, 0.70, 0.70, 0.41, 0.58, 0.83, 0.58
 371, 3.40, 3.40, 1.60, 1.80, 0.58, 0.47
 372, 2.66, 2.66, 1.50, 1.66, 0.37, 0.56
 373, 3.71, 3.71, 1.14, 1.14, 0.73, 0.30
 374, 0.45, 0.45, 0.27, 0.81, 0.60, 0.60
 375, 3, 3, 0.42, 0.57, 0.95, 0.14
 376, 3.60, 3.60, 1, 1.20, 0.83, 0.27
 377, 4.62, 4.62, 2.37, 2.25, 0.64, 0.51
 378, 1, 1, 0.33, 0.77, 0.66, 0.33
 379, 2.63, 2.63, 0.90, 1.27, 0.62, 0.34
 380, 0.77, 0.77, 0.55, 0.61, 0.85, 0.71
 381, 1.15, 1.15, 0.57, 0.68, 0.77, 0.50
 382, 1.06, 1.06, 0.43, 0.87, 0.64, 0.41
 383, 3.28, 3.28, 1.42, 1.28, 0.65, 0.43
 384, 4, 4, 1.20, 1.20, 0.70, 0.30
 385, 1.21, 1.21, 0.71, 0.71, 0.58, 0.58
 386, 5.66, 5.66, 2.77, 2.66, 0.54, 0.49
 387, 5.58, 5.58, 2.91, 2.75, 0.52, 0.52
 388, 2, 2, 0.66, 1, 0.58, 0.33
 389, 1.80, 1.80, 0.60, 0.53, 0.88, 0.33
 390, 0.93, 0.93, 0.43, 0.62, 0.80, 0.46
 391, 1.83, 1.83, 0.50, 0.83, 0.63, 0.27
 392, 0.93, 0.93, 0.40, 0.73, 0.78, 0.42
 393, 0.95, 0.95, 0.50, 0.66, 0.78, 0.52
 394, 1.31, 1.31, 0.62, 0.56, 0.85, 0.47
 395, 0.84, 0.84, 0.47, 0.78, 0.68, 0.56
 396, 0.77, 0.77, 0.66, 0.48, 1.04, 0.85
 397, 1.87, 1.87, 0.37, 0.87, 0.80, 0.20
 398, 2.66, 2.66, 0.77, 0.88, 0.70, 0.29
 299, 6.57, 6.57, 3.42, 3.28, 0.52, 0.52
 400, 2, 2, 0.75, 1, 0.50, 0.37
 401, 1.50, 1.50, 0.50, 0.75, 0.66, 0.33
 402, 2.83, 2.83, 1.16, 1.33, 0.52, 0.41
 403, 4.25, 4.25, 2.25, 2.50, 0.47, 0.52
 404, 1.45, 1.45, 0.63, 1, 0.56, 0.43
 405, 1.28, 1.28, 0.78, 0.85, 0.55, 0.61
 406, 1.54, 1.54, 0.45, 0.54, 0.82, 0.29
 407, 0.66, 0.66, 0.40, 0.53, 0.60, 0.60
 408, 1.36, 1.36, 0.45, 0.90, 0.80, 0.33
 409, 0.85, 0.85, 0.50, 0.64, 0.83, 0.58
 410, 1.17, 1.17, 0.52, 0.52, 1, 0.45
 411, 0.53, 0.53, 0.43, 0.66, 0.93, 0.81
 412, 0.71, 0.71, 0.28, 0.85, 0.70, 0.40
 413, 0.45, 0.45, 0.18, 0.90, 0.60, 0.40
 414, 0.54, 0.54, 0.27, 0.90, 0.50, 0.50
 415, 7.12, 7.12, 4, 3.87, 0.47, 0.56
 416, 5, 5, 1.83, 1.66, 0.66, 0.36
 417, 1.33, 1.33, 0.66, 1, 0.50, 0.50
 418, 6.40, 6.40, 2.80, 2.60, 0.62, 0.43
 419, 1.40, 1.40, 0.60, 0.80, 0.71, 0.42
 420, 2.21, 2.21, 0.85, 0.85, 0.70, 0.38
 421, 6, 6, 1, 1, 0.73, 0.16
 422, 2.30, 2.30, 0.60, 1, 0.73, 0.26
 423, 2.85, 2.85, 0.71, 0.85, 0.75, 0.25
 424, 1, 1, 0.60, 0.70, 0.60, 0.60
 425, 1.50, 1.50, 0.62, 1, 0.66, 0.41
 426, 5.66, 5.66, 0.66, 0.66, 0.94, 0.11
 427, 1.21, 1.21, 0.64, 0.71, 0.64, 0.52
 428, 1.66, 1.66, 0.88, 0.55, 0.80, 0.53
 429, 1.25, 1.25, 0.50, 1, 0.80, 0.40
 430, 1.66, 1.66, 0.66, 0.83, 0.60, 0.40
 431, 0.80, 0.80, 0.50, 0.70, 0.75, 0.62
 432, 0.80, 0.80, 0.50, 0.70, 0.75, 0.62
 433, 3.75, 3.75, 0.87, 0.50, 0.86, 0.23
 434, 2.40, 2.40, 0.70, 0.60, 0.83, 0.29
 435, 0.86, 0.86, 0.59, 0.54, 0.89, 0.68
 436, 0.76, 0.76, 0.38, 0.76, 0.80, 0.50
 437, 8.54, 8.54, 4.36, 4.36, 0.48, 0.51
 438, 2.40, 2.40, 1.40, 1.50, 0.41, 0.58
 439, 2.60, 2.60, 0.80, 1, 0.61, 0.30
 440, 4.40, 4.40, 2.40, 2.40, 0.54, 0.54
 441, 6.62, 6.62, 0.75, 0.87, 0.94, 0.11
 442, 4.11, 4.11, 0.55, 0.55, 0.81, 0.13
 443, 1, 1, 0.40, 0.80, 1, 0.40
 444, 2, 2, 0.62, 0.75, 0.68, 0.31
 445, 5, 5, 1, 1, 0.83, 0.20
 446, 1.42, 1.42, 0.57, 0.71, 0.80, 0.40
 447, 1.25, 1.25, 0.50, 0.50, 0.80, 0.40
 448, 3.80, 3.80, 0.80, 0.80, 0.75, 0.21
 449, 7.80, 7.80, 4.40, 4.40, 0.48, 0.56
 450, 7.90, 7.90, 4.45, 4.45, 0.44, 0.56
 451, 4.35, 4.35, 0.55, 0.55, 0.95, 0.12
 452, 0.83, 0.83, 0.50, 0.66, 0.66, 0.66
 453, 1.66, 1.66, 0.66, 0.50, 0.80, 0.44
 454, 3.75, 3.75, 0.50, 0.50, 1, 0.13
 455, 0.50, 0.50, 0.30, 0.70, 0.60, 0.60
 456, 0.46, 0.46, 0.46, 0.66, 1, 1
 457, 1.50, 1.50, 0.50, 0.50, 0.83, 0.33
 458, 3.75, 3.75, 0.75, 0.75, 0.93, 0.20
 459, 1, 1, 0.44, 0.66, 0.77, 0.44
 460, 2.25, 2.25, 0.62, 0.75, 0.66, 0.27
 461, 3.60, 3.60, 1.40, 1.60, 0.50, 0.38
 462, 4.66, 4.66, 0.66, 0.85, 0.89, 0.14
 463, 1.71, 1.71, 0.71, 0.85, 0.58, 0.41
 464, 3.40, 3.40, 0.80, 0.80, 0.88, 0.23
 465, 0.58, 0.58, 0.50, 0.50, 1.14, 0.85
 466, 1.83, 1.83, 0.50, 0.50, 0.72, 0.27
 467, 2.14, 2.14, 0.57, 0.71, 0.73, 0.26
 468, 1.60, 1.60, 0.60, 0.60, 0.87, 0.37
 469, 1.50, 1.50, 0.66, 0.83, 0.66, 0.44
 470, 4.42, 4.42, 0.71, 0.71, 0.87, 0.16
 471, 3.77, 3.77, 1.33, 1.44, 0.67, 0.35
 472, 3, 3, 0.50, 0.66, 0.94, 0.16
 473, 3.33, 3.33, 1.22, 1.44, 0.90, 0.36
 474, 3.60, 3.60, 1.10, 1.20, 0.72, 0.30
 475, 2.41, 2.41, 1.66, 1.75, 0.37, 0.68
 476, 5, 5, 1, 1, 0.83, 0.20
 477, 3.50, 3.50, 1.37, 1.62, 0.64, 0.39
 478, 1.83, 1.83, 1.61, 1.72, 0.18, 0.84
 479, 3.75, 3.75, 0.75, 1.12, 0.83, 0.20

480, 3.11, 3.11, 1.11, 1.55, 0.67, 0.35
 481, 4.22, 4.22, 0.77, 0.66, 0.84, 0.18
 482, 3.50, 3.50, 1.12, 1.25, 0.71, 0.32
 483, 4.4, 3.40, 3.20, 0.17, 0.85
 484, 3.3, 0.66, 0.44, 0.96, 0.22
 485, 5.5, 0.50, 0.66, 0.93, 0.10
 486, 4.22, 4.22, 3.44, 3.55, 0.23, 0.23
 487, 2.07, 2.07, 0.50, 0.64, 0.86, 0.24
 488, 1.25, 1.25, 0.75, 0.50, 0.86, 0.60
 489, 0.93, 0.93, 0.60, 0.90, 0.50, 0.64
 490, 4.66, 4.66, 0.66, 0.66, 0.71, 0.14
 491, 4.72, 4.72, 3.18, 3.18, 0.36, 0.67
 492, 2.16, 2.16, 1.83, 2.0, 0.23, 0.84
 493, 3.60, 3.60, 1.80, 1.80, 0.55, 0.50
 494, 3.3, 1.1, 1.20, 0.66, 0.33
 495, 1.73, 1.73, 0.53, 0.53, 0.88, 0.30
 496, 1.25, 1.25, 0.93, 0.93, 0.50, 0.75
 497, 0.70, 0.70, 0.35, 0.82, 0.66, 0.50
 498, 5.5, 0.42, 0.71, 0.94, 0.08
 499, 1.94, 1.94, 1.76, 1.88, 0.18, 0.90
 500, 1.40, 1.40, 0.66, 0.80, 0.71, 0.47
 501, 1.60, 1.60, 0.66, 0.66, 0.83, 0.41
 502, 3.3, 0.57, 0.71, 0.85, 0.19
 503, 0.87, 0.87, 0.75, 0.62, 0.85, 0.85
 504, 4.40, 4.40, 2.20, 2.20, 0.50, 0.50
 505, 1.05, 1.05, 0.50, 0.65, 0.76, 0.47
 506, 4.4, 2.2, 2.33, 0.50, 0.50
 507, 1.65, 1.65, 1.45, 1.40, 0.30, 0.87
 508, 4.40, 4.40, 0.80, 0.80, 0.95, 0.18
 509, 0.55, 0.55, 0.55, 0.48, 1.25, 1
 510, 1.57, 1.57, 0.78, 0.42, 0.90, 0.50
 511, 2.2, 0.50, 0.50, 0.91, 0.25
 512, 1.75, 1.75, 0.25, 0.75, 0.71, 0.14
 513, 2.50, 2.50, 1.1, 0.80, 0.40
 514, 2.50, 2.50, 1.1, 0.80, 0.40
 515, 7.7, 1.20, 1.20, 0.85, 0.17
 516, 1.22, 1.22, 0.61, 0.55, 0.86, 0.50
 517, 1.50, 1.50, 0.62, 0.56, 0.83, 0.41
 518, 1.47, 1.47, 0.57, 0.52, 0.93, 0.38
 519, 1.11, 1.11, 0.55, 0.55, 0.90, 0.50
 520, 1.75, 1.75, 0.41, 0.66, 0.90, 0.23
 521, 2.57, 2.57, 0.71, 0.71, 0.83, 0.27
 522, 1.50, 1.50, 0.50, 0.50, 0.66, 0.33
 523, 7.7, 5.4, 8.0, 0.27, 0.75
 524, 5.5, 2.50, 2.50, 0.55, 0.50
 525, 0.81, 0.31, 0.43, 0.62, 0.92, 0.53
 526, 1.22, 1.22, 0.95, 0.54, 0.88, 0.77
 527, 0.75, 0.75, 0.64, 0.72, 0.71, 0.85
 528, 1.15, 1.15, 0.84, 0.69, 0.86, 0.73
 529, 5.16, 5.16, 2.33, 2.25, 0.59, 0.45
 530, 3.66, 3.66, 0.66, 0.66, 0.90, 0.18
 531, 3.3, 1.1, 0.74, 0.33
 532, 7.7, 2.70, 2.60, 0.64, 0.38
 533, 0.95, 0.95, 0.45, 0.80, 0.68, 0.47
 534, 1.17, 1.17, 0.58, 0.76, 0.70, 0.50
 535, 0.66, 0.66, 0.33, 0.88, 0.50, 0.50
 536, 7.50, 7.50, 3.75, 3.50, 0.53, 0.50
 537, 2.87, 2.87, 0.76, 1.12, 0.73, 0.26
 538, 2.75, 2.75, 0.87, 1.0, 0.36, 0.31
 539, 1.26, 1.26, 0.80, 0.60, 0.78, 0.63
 540, 0.76, 0.76, 0.52, 0.70, 0.76, 0.69
 541, 1.83, 1.83, 1.1, 0.54, 0.54
 542, 2.90, 2.90, 0.63, 0.45, 0.93, 0.21
 543, 5.33, 5.33, 3.33, 3.33, 0.37, 0.62
 544, 4.4, 1.90, 1.90, 0.52, 0.47
 545, 2.2, 0.50, 0.50, 0.75, 0.25
 546, 2.40, 2.40, 0.60, 0.80, 0.83, 0.25
 547, 8.8, 0.80, 1.0, 0.87, 0.10
 548, 4.14, 4.14, 0.52, 0.58, 0.96, 0.31
 549, 2.2, 0.66, 0.66, 0.83, 0.33
 550, 3.3, 1.20, 1.40, 0.60, 0.40
 551, 0.80, 0.80, 0.60, 1.0, 0.43, 0.75
 552, 3.08, 3.08, 1.91, 2.0, 0.40, 0.62
 553, 0.87, 0.87, 0.54, 0.70, 0.76, 0.61
 554, 2.2, 1.1, 0.75, 0.50
 555, 5.5, 2.66, 2.66, 0.53, 0.53
 556, 0.93, 0.93, 0.62, 0.50, 1.0, 0.66
 557, 1.35, 1.35, 0.52, 0.70, 0.73, 0.39
 558, 1.08, 1.08, 0.66, 0.65, 0.72, 0.80
 559, 1.1, 0.61, 0.61, 0.84, 0.61
 560, 6.85, 6.85, 3.3, 0.58, 0.43
 561, 1.66, 1.66, 0.77, 0.66, 0.83, 0.46
 562, 0.92, 0.92, 0.65, 0.69, 0.70, 0.70
 563, 1.37, 1.37, 0.87, 0.68, 0.72, 0.63
 564, 1.92, 1.92, 1.0, 0.71, 0.74, 0.51
 565, 1.94, 1.94, 0.64, 0.64, 0.66, 0.42
 566, 1.75, 1.75, 0.89, 0.86, 0.66, 0.56
 567, 1.08, 1.08, 0.65, 0.62, 0.73, 0.60
 568, 1.68, 1.68, 0.84, 0.73, 0.40, 0.50
 569, 2.35, 2.35, 1.14, 0.85, 0.69, 0.48
 570, 1.54, 1.54, 0.66, 0.54, 0.86, 0.43
 571, 1.64, 1.64, 1.02, 0.82, 0.71, 0.62
 572, 2.60, 2.60, 1.20, 1.10, 0.65, 0.46
 573, 2.60, 2.60, 1.30, 1.0, 0.65, 0.46
 574, 1.25, 1.25, 0.54, 0.62, 0.83, 0.43
 575, 1.60, 1.60, 0.66, 0.57, 0.83, 0.41
 576, 1.66, 1.66, 0.66, 0.61, 0.82, 0.40
 577, 2.25, 2.25, 0.70, 0.60, 0.87, 0.31
 578, 1.36, 1.36, 1.0, 0.68, 0.76, 0.73
 579, 1.35, 1.35, 0.85, 0.71, 0.63, 0.63
 580, 1.68, 1.68, 1.10, 0.94, 0.56, 0.65
 581, 1.05, 1.05, 0.65, 0.75, 0.66, 0.61
 582, 0.58, 0.58, 0.41, 0.68, 0.60, 0.70
 583, 1.33, 1.33, 0.76, 0.71, 0.71, 0.57
 584, 1.52, 1.52, 0.71, 0.71, 0.83, 0.46
 585, 2.2, 0.68, 0.56, 0.62, 0.34
 586, 1.1, 0.75, 0.55, 0.85, 0.75
 587, 1.66, 1.66, 0.88, 0.83, 0.63, 0.53
 588, 1.16, 1.16, 0.55, 0.55, 0.85, 0.47
 589, 1.42, 1.42, 0.63, 0.57, 0.85, 0.44
 590, 1.70, 1.70, 0.60, 0.50, 0.91, 0.35
 591, 0.94, 0.94, 0.52, 0.73, 0.77, 0.55
 592, 0.75, 0.75, 0.50, 0.75, 0.73, 0.66
 593, 1.38, 1.38, 0.71, 0.50, 0.87, 0.51
 594, 0.77, 0.77, 0.45, 0.68, 0.76, 0.58
 595, 1.33, 1.33, 0.66, 0.50, 1.16, 0.50
 596, 1.34, 1.34, 0.56, 0.69, 0.74, 0.41
 597, 2.16, 2.16, 0.75, 0.50, 0.88, 0.34
 598, 1.1, 0.38, 0.66, 0.77, 0.38
 599, 1.64, 1.64, 0.50, 0.85, 0.60, 0.30
 600, 1.22, 1.22, 1.04, 0.50, 0.85, 0.85
 601, 1.31, 1.31, 1.05, 0.36, 1.04, 0.80

602,1.04,1.04,0.90,0.61 0.86,0.86
603,1.53,1.53,0.53,0.61,0.85,0.35
604,1.56,1.56,0.93,0.87,0.68,0.60
605,2.14,2.14,1,0.85,0.73,0.46
606,0.87,0.87,0.62,0.75,0.71,0.71

E1 ACL.

NIVEL	GRUPO X	GRUPO Y	DISTANCIA	FIT
1	102	103	.000	42.000
2	182	469	.000	42.000
3	187	419	.000	42.000
4	431	432	.000	42.000
5	445	476	.000	42.000
6	513	514	.000	42.000
7	114	589	.003	42.000
8	257	272	.005	42.000
9	253	296	.005	42.000
10	312	367	.006	43.000
11	228	535	.008	43.000
12	25	434	.008	43.000
13	130	221	.008	43.000
14	517	575	.011	43.000
15	191	369	.011	43.000
16	193	236	.011	43.000
17	180	239	.011	43.000
18	141	200	.011	43.000
19	124	435	.012	43.000
20	227	533	.012	43.000
21	67	197	.012	43.000
22	167	212	.013	43.000
23	252	393	.013	43.000
24	112	209	.013	43.000
25	51	314	.013	43.000
26	431	553	.013	43.000
27	61	579	.014	43.000
28	138	259	.014	43.000
29	172	312	.015	43.000
30	165	368	.015	43.000
31	501	576	.015	43.000
32	280	488	.015	43.000
33	319	401	.015	43.000
34	160	318	.015	43.000
35	38	305	.015	43.000
36	121	590	.015	43.000
37	225	495	.016	43.000
38	231	591	.016	43.000
39	228	414	.017	43.000
40	557	596	.018	43.000
41	263	320	.018	43.000
42	202	279	.019	43.000
43	562	606	.019	44.000
44	217	452	.019	44.000
45	55	130	.019	44.000
46	333	346	.019	44.000
47	208	334	.020	44.000
48	50	135	.020	44.000
49	33	286	.020	44.000
50	47	105	.021	44.000
51	53	322	.022	44.000
52	145	172	.023	44.000
53	341	501	.023	44.000
54	186	424	.024	44.000
55	114	570	.024	44.000
56	373	474	.025	44.000
57	210	594	.025	44.000
58	84	183	.025	44.000
59	252	282	.026	44.000
60	430	463	.026	44.000

61	244	397	.026	44.000
62	59	215	.026	44.000
63	394	588	.027	44.000
64	38	122	.027	44.000
65	561	584	.028	44.000
66	138	203	.029	44.000
67	243	269	.029	44.000
68	205	227	.029	44.000
69	150	216	.029	44.000
70	126	468	.031	44.000
71	17	73	.031	44.000
72	98	517	.032	44.000
73	208	559	.032	44.000
74	144	295	.032	44.000
75	278	381	.032	44.000
76	33	521	.032	44.000
77	99	527	.032	44.000
78	63	563	.032	44.000
79	374	455	.033	44.000
80	24	605	.033	44.000
81	70	210	.033	44.000
82	392	459	.033	44.000
83	232	252	.033	44.000
84	91	583	.034	44.000
85	102	225	.034	44.000
86	141	298	.034	44.000
87	485	498	.034	45.000
88	152	266	.035	45.000
89	394	516	.036	45.000
90	363	544	.036	45.000
91	148	211	.037	45.000
92	177	292	.037	45.000
93	219	395	.039	45.000
94	5	481	.039	45.000
95	39	420	.039	45.000
96	359	427	.040	45.000
97	174	190	.040	45.000
98	176	220	.041	45.000
99	84	180	.041	45.000
100	129	309	.041	45.000
101	125	556	.042	45.000
102	370	409	.042	45.000
103	167	233	.042	45.000
104	97	268	.042	45.000
105	173	562	.043	46.000
106	287	557	.043	46.000
107	67	574	.043	46.000
108	69	249	.043	46.000
109	117	529	.044	46.000
110	357	423	.044	46.000
111	191	264	.045	46.000
112	572	573	.045	46.000
113	484	542	.046	46.000
114	51	205	.047	46.000
115	375	472	.047	46.000
116	133	352	.047	46.000
117	171	310	.047	46.000
118	114	137	.048	46.000
119	26	451	.048	46.000
120	253	598	.049	46.000
121	38	90	.054	46.000

122	327	457	.054	46.000
123	229	592	.054	47.000
124	160	364	.055	47.000
125	289	534	.055	47.000
126	256	546	.055	47.000
127	98	341	.055	47.000
128	218	276	.055	47.000
129	360	500	.056	47.000
130	281	411	.057	47.000
131	327	603	.057	47.000
132	20	95	.057	47.000
133	152	389	.058	47.000
134	373	482	.058	47.000
135	25	33	.058	47.000
136	166	260	.059	47.000
137	226	307	.060	47.000
138	222	582	.060	47.000
139	258	262	.060	47.000
140	191	446	.062	47.000
141	136	416	.062	47.000
142	59	448	.062	47.000
143	181	182	.062	47.000
144	121	518	.063	47.000
145	577	97	.063	47.000
146	70	231	.063	47.000
147	230	382	.063	47.000
148	240	447	.064	47.000
149	185	403	.065	48.000
150	466	545	.066	48.000
151	24	66	.066	48.000
152	566	587	.066	48.000
153	69	431	.066	48.000
154	53	133	.066	48.000
155	72	174	.067	48.000
156	99	175	.068	48.000
157	40	154	.068	48.000
158	153	549	.069	48.000
159	55	65	.069	48.000
160	204	244	.069	48.000
161	348	379	.069	48.000
162	390	392	.070	48.000
163	151	335	.070	48.000
164	124	139	.071	48.000
165	196	281	.071	48.000
166	571	604	.072	48.000
167	49	350	.072	48.000
168	224	525	.072	48.000
169	278	505	.073	48.000
170	91	97	.074	48.000
171	112	165	.075	48.000
172	16	78	.075	48.000
173	158	399	.075	49.000
174	54	69	.075	49.000
175	52	265	.075	49.000
176	503	602	.075	49.000
177	88	540	.075	49.000
178	257	439	.075	49.000
179	144	297	.076	49.000
180	17	164	.077	49.000
181	37	361	.077	49.000
182	163	365	.078	49.000

183	127	141	.078	50.000
184	22	581	.078	50.000
185	271	402	.079	50.000
186	232	436	.079	50.000
187	449	450	.079	51.000
188	146	219	.080	51.000
189	187	360	.081	51.000
190	109	179	.084	51.000
191	11	324	.085	51.000
192	391	599	.085	51.000
193	250	497	.085	51.000
194	92	560	.085	52.000
195	136	255	.085	52.000
196	394	593	.086	52.000
197	458	530	.087	52.000
198	274	487	.087	52.000
199	56	571	.088	52.000
200	32	550	.088	52.000
201	2	159	.090	52.000
202	75	131	.092	52.000
203	67	240	.093	52.000
204	49	74	.093	52.000
205	186	385	.093	52.000
206	263	577	.093	52.000
207	528	586	.095	52.000
208	77	280	.096	52.000
209	168	176	.096	52.000
210	156	363	.098	52.000
211	201	347	.098	52.000
212	109	189	.098	52.000
213	53	107	.098	52.000
214	39	41	.099	52.000
215	98	126	.099	52.000
216	181	425	.099	52.000
217	338	539	.099	52.000
218	149	366	.102	52.000
219	114	561	.103	52.000
220	444	460	.103	52.000
221	111	277	.104	53.000
222	386	387	.104	53.000
223	160	242	.104	53.000
224	124	380	.104	53.000
225	29	502	.106	53.000
226	328	398	.106	53.000
227	3	285	.106	53.000
228	54	567	.106	53.000
229	208	370	.107	53.000
230	248	313	.107	53.000
231	68	143	.108	53.000
232	171	344	.109	53.000
233	129	146	.111	53.000
234	102	406	.111	53.000
235	306	345	.111	53.000
236	128	145	.112	53.000
237	76	217	.112	53.000
238	101	278	.112	53.000
239	214	485	.113	54.000
240	2	243	.113	54.000
241	218	291	.113	54.000
242	351	362	.114	54.000
243	24	569	.114	54.000

244	118	287	.115	54.000
245	28	467	.115	54.000
246	202	519	.115	54.000
247	188	417	.115	54.000
248	226	270	.116	54.000
249	51	289	.117	54.000
250	26	245	.117	54.000
251	253	390	.118	54.000
252	462	470	.120	54.000
253	191	325	.120	54.000
254	4	445	.123	54.000
255	112	293	.125	54.000
256	43	106	.125	54.000
257	102	327	.128	54.000
258	177	404	.129	54.000
259	168	173	.129	54.000
260	18	80	.133	54.000
261	89	91	.134	54.000
262	84	299	.135	54.000
263	329	532	.135	55.000
264	326	531	.136	55.000
265	75	223	.136	55.000
266	36	400	.136	55.000
267	167	230	.137	55.000
268	235	358	.137	55.000
269	25	256	.138	55.000
270	144	148	.138	55.000
271	52	55	.138	55.000
272	511	520	.138	55.000
273	56	63	.139	55.000
274	39	47	.140	55.000
275	70	232	.141	55.000
276	273	475	.142	55.000
277	114	453	.142	55.000
278	284	340	.143	55.000
279	100	163	.145	55.000
280	49	356	.145	55.000
281	44	134	.149	55.000
282	71	104	.150	55.000
283	93	437	.152	57.000
284	526	528	.152	57.000
285	524	555	.154	57.000
286	8	59	.155	57.000
287	152	263	.155	57.000
288	333	338	.156	57.000
289	150	342	.158	57.000
290	194	554	.158	57.000
291	6	585	.158	57.000
292	22	76	.159	57.000
293	2	110	.159	57.000
294	88	229	.161	57.000
295	116	169	.162	57.000
296	140	142	.163	57.000
297	95	558	.163	57.000
298	84	373	.167	57.000
299	67	253	.167	57.000
300	96	422	.167	57.000
301	60	72	.167	57.000
302	408	429	.167	57.000
303	319	331	.168	57.000
304	149	378	.168	57.000

305	226	430	.169	57.000
306	303	480	.171	57.000
307	371	493	.171	57.000
308	204	300	.174	57.000
309	86	153	.174	57.000
310	13	111	.175	58.000
311	349	565	.175	58.000
312	49	51	.175	58.000
313	12	81	.175	58.000
314	10	62	.176	58.000
315	328	357	.176	58.000
316	218	316	.178	58.000
317	38	186	.181	58.000
318	374	407	.182	58.000
319	195	224	.182	58.000
320	17	54	.182	58.000
321	124	127	.183	58.000
322	138	147	.184	58.000
323	394	510	.189	58.000
324	166	196	.190	58.000
325	170	580	.192	58.000
326	181	187	.193	58.000
327	319	522	.194	58.000
328	57	246	.197	58.000
329	75	250	.197	58.000
330	29	237	.199	58.000
331	121	201	.201	58.000
332	503	600	.201	59.000
333	178	351	.202	59.000
334	372	438	.202	59.000
335	157	464	.203	59.000
336	85	152	.206	59.000
337	149	251	.206	59.000
338	50	235	.207	59.000
339	27	547	.208	60.000
340	167	412	.209	60.000
341	471	477	.210	60.000
342	284	332	.211	60.000
343	28	96	.212	60.000
344	478	499	.212	60.000
345	98	114	.215	60.000
346	274	511	.216	60.000
347	79	326	.216	60.000
348	16	564	.218	60.000
349	64	526	.219	60.000
350	138	208	.219	60.000
351	24	161	.220	60.000
352	32	383	.220	60.000
353	213	551	.221	60.000
354	321	376	.221	60.000
355	58	388	.224	60.000
356	257	348	.225	60.000
357	202	394	.225	60.000
358	304	391	.225	60.000
359	5	442	.226	60.000
360	46	462	.226	61.000
361	45	132	.232	61.000
362	13	454	.233	61.000
363	12	494	.233	61.000
364	117	288	.233	61.000
365	3	247	.233	61.000

366	125	294	.234	61.000
367	504	506	.241	62.000
368	185	440	.242	62.000
369	88	168	.243	62.000
370	115	578	.245	62.000
371	3	20	.246	62.000
372	160	572	.248	62.000
373	18	53	.248	62.000
374	109	171	.249	62.000
375	328	537	.252	62.000
376	162	271	.253	62.000
377	102	191	.255	62.000
378	46	508	.260	62.000
379	77	199	.262	62.000
380	84	384	.262	62.000
381	8	178	.264	62.000
382	101	118	.266	62.000
383	38	60	.266	62.000
384	184	410	.267	62.000
385	87	353	.271	62.000
386	61	405	.272	62.000
387	128	254	.274	62.000
388	25	218	.274	62.000
389	16	428	.276	62.000
390	22	129	.277	62.000
391	157	458	.277	62.000
392	375	484	.278	62.000
393	56	89	.279	62.000
394	50	108	.283	62.000
395	88	248	.284	62.000
396	39	349	.286	62.000
397	70	112	.290	62.000
398	177	188	.294	62.000
399	116	206	.295	62.000
400	204	466	.300	62.000
401	100	166	.304	62.000
402	17	333	.305	62.000
403	138	144	.305	62.000
404	52	99	.310	62.000
405	38	109	.314	62.000
406	11	43	.316	62.000
407	193	386	.317	63.000
408	37	156	.320	63.000
409	86	102	.324	63.000
410	170	541	.324	63.000
411	77	123	.325	63.000
412	321	479	.325	63.000
413	10	136	.338	63.000
414	32	284	.339	63.000
415	82	538	.340	63.000
416	184	443	.341	63.000
417	93	449	.344	64.000
418	68	151	.347	64.000
419	67	101	.348	64.000
420	303	471	.349	64.000
421	158	234	.351	65.000
422	28	444	.351	65.000
423	56	566	.355	65.000
424	6	319	.358	65.000
425	71	330	.360	65.000
426	258	274	.363	65.000

427	85	86	.363	65.000
428	49	181	.365	65.000
429	478	492	.366	65.000
430	214	426	.368	65.000
431	3	302	.371	65.000
432	19	21	.374	65.000
433	2	461	.377	65.000
434	75	167	.379	65.000
435	355	372	.380	65.000
436	185	504	.381	65.000
437	30	441	.384	65.000
438	12	257	.385	65.000
439	40	433	.390	65.000
440	18	39	.394	65.000
441	116	408	.397	65.000
442	52	128	.399	65.000
443	23	42	.403	65.000
444	149	413	.408	65.000
445	140	198	.410	65.000
446	4	241	.419	65.000
447	273	355	.422	66.000
448	36	58	.423	66.000
449	85	98	.425	66.000
450	117	308	.429	66.000
451	2	150	.430	66.000
452	329	418	.436	66.000
453	491	543	.442	67.000
454	192	306	.444	67.000
455	64	124	.446	67.000
456	160	354	.446	67.000
457	213	489	.450	67.000
458	6	226	.451	67.000
459	25	258	.456	67.000
460	396	465	.458	67.000
461	24	194	.464	67.000
462	26	46	.468	67.000
463	17	138	.469	67.000
464	261	339	.478	67.000
465	275	328	.481	67.000
466	207	456	.483	68.000
467	222	374	.486	68.000
468	121	202	.487	68.000
469	32	303	.499	68.000
470	28	204	.499	68.000
471	79	513	.500	68.000
472	22	88	.506	68.000
473	40	157	.519	68.000
474	38	61	.519	68.000
475	125	195	.520	68.000
476	5	301	.522	68.000
477	6	304	.536	68.000
478	29	375	.541	68.000
479	37	57	.544	68.000
480	75	149	.571	68.000
481	2	371	.582	68.000
482	213	496	.589	68.000
483	84	119	.591	68.000
484	13	283	.593	68.000
485	100	503	.594	68.000
486	117	377	.595	68.000
487	82	238	.598	68.000

488	8	321	.600	68.000
489	26	35	.615	68.000
490	1	421	.617	68.000
491	14	27	.620	69.000
492	67	70	.632	69.000
493	193	524	.639	69.000
494	23	87	.674	69.000
495	16	56	.680	69.000
496	68	121	.680	69.000
497	92	329	.689	70.000
498	24	160	.705	70.000
499	22	222	.720	70.000
500	52	115	.721	70.000
501	29	40	.734	70.000
502	11	116	.738	70.000
503	8	275	.741	70.000
504	49	67	.741	70.000
505	85	113	.773	70.000
506	3	170	.783	70.000
507	64	77	.784	70.000
508	38	177	.784	70.000
509	415	536	.794	70.000
510	28	512	.801	70.000
511	36	44	.812	70.000
512	68	311	.829	70.000
513	5	490	.836	70.000
514	50	273	.840	70.000
515	26	214	.854	70.000
516	64	125	.861	70.000
517	9	26	.916	71.000
518	23	25	.935	71.000
519	6	36	.941	71.000
520	32	84	.985	71.000
521	14	45	1.009	71.000
522	37	185	1.016	71.000
523	315	595	1.029	71.000
524	50	552	1.042	71.000
525	38	228	1.056	71.000
526	16	49	1.057	71.000
527	3	71	1.060	71.000
528	207	396	1.069	72.000
529	75	192	1.074	72.000
530	31	83	1.075	72.000
531	4	5	1.083	72.000
532	12	79	1.097	72.000
533	37	117	1.100	72.000
534	13	29	1.112	72.000
535	68	184	1.116	72.000
536	52	336	1.117	72.000
537	158	415	1.159	73.000
538	18	85	1.159	73.000
539	2	162	1.217	73.000
540	48	473	1.226	73.000
541	17	64	1.228	73.000
542	12	24	1.240	73.000
543	100	140	1.257	73.000
544	11	28	1.261	73.000
545	478	507	1.347	73.000
546	213	343	1.376	73.000
547	13	548	1.415	73.000
548	16	18	1.433	73.000

549	3	19	1.447	73.000
550	120	337	1.475	73.000
551	38	75	1.521	73.000
552	52	100	1.547	73.000
553	323	491	1.613	74.000
554	4	9	1.669	74.000
555	207	509	1.694	74.000
556	30	515	1.694	74.000
557	37	193	1.793	74.000
558	8	23	1.835	74.000
559	6	11	1.859	74.000
560	2	32	1.908	74.000
561	213	568	1.921	74.000
562	14	30	2.118	74.000
563	50	267	2.232	74.000
564	12	16	2.304	74.000
565	17	68	2.344	74.000
566	4	13	2.353	74.000
567	22	38	2.385	74.000
568	350	523	2.435	75.000
569	6	12	2.624	75.000
570	10	31	2.664	75.000
571	3	213	2.754	75.000
572	207	601	2.836	75.000
573	8	94	2.886	75.000
574	82	261	3.210	75.000
575	8	48	3.525	75.000
576	155	315	3.609	76.000
577	37	92	3.791	76.000
578	3	22	3.822	76.000
579	1	14	3.897	76.000
580	93	158	4.001	77.000
581	4	15	4.128	77.000
582	52	317	4.157	77.000
583	2	34	4.383	77.000
584	323	483	4.658	77.000
585	6	17	4.876	77.000
586	50	478	4.993	77.000
587	10	37	5.630	77.000
588	4	8	5.673	77.000
589	52	120	6.227	77.000
590	3	6	6.351	77.000
591	93	350	6.490	77.000
592	52	207	6.574	77.000
593	1	7	6.692	77.000
594	2	82	7.624	77.000
595	323	486	9.023	77.000
596	2	3	11.290	77.000
597	52	290	12.323	77.000
598	4	155	12.701	77.000
599	2	50	12.957	77.000
600	93	323	15.265	77.000
601	1	10	20.109	77.000
602	4	52	23.628	77.000
603	1	2	29.868	77.000
604	1	4	42.410	77.000
605	1	93	70.837	77.000

E1 ACP.

59.98135
 26.15660
 10.58814
 2.67717
 .59696
 -.00023

COMPONENTES PRINCIPALES

=====

.90637
 .90637
 .90620
 .90044
 -.50752
 -.25746

PORCENTAJE DE VARIANZA ACUMULADA

=====

59.98135
 86.13795
 96.72609
 99.40326
 100.00021
 99.99998

.37733
 .37733
 -.32330
 -.35600
 .57301
 -.85149

COORDENADAS RESPECTO A LA

COMPONENTE

NUM

1
 2
 3
 4
 5
 6

.10281
 .10281
 .19845
 .06775
 .63245
 .41253

.15911

.15911

-.12357

-.20684

-.11816

.19490

1

+1.06

+1.97

-.90

+2.94

-.25

+413.20

-.01528

-.01528

.14005

-.12288

-.01099

-.02273

2

+1.17

-.17

-.10

-.01

+.21

-42.32

.00158

.00158

-.00139

-.00217

-.00066

.00131

3

+.59

-.44

-.47

+.18

+.39

-26.00

VALORES PROPIOS

=====

3.59887

1.56939

.63529

.16063

.03582

-.00001

4

+.79

+1.53

+.22

+.67

-.14

+152.78

PORCENTAJE DE VARIANZA

5	+ .97	-.74		+1.39
+ .38	+3.07	-.56	28	+ .07
+1.67		+ .34		+266.86
-.04	13	+ .58		
+ .59	+ .08	-23.17		36
+ .68	+2.00			+ .16
+164.11	+ .35	21		-.09
	+ .33	+ .24		-1.82
6	+1.11	-1.60		+ .62
-.29	+166.84	+ .00	29	+ .77
+ .14		+1.11		+51.77
-1.63	14	+1.15		
+ .45	+1.59	+3.63		37
+1.61	+3.13			+1.56
+60.31	+ .27	22		-.12
	+4.26	-.59		+ .08
7	-1.12	-.83		-.07
+1.90	+617.90	+ .05	30	+1.01
+3.37		+ .49		-54.44
-.44	15	-.20		
+6.76	+ .08	+11.61		38
-2.94	+2.34			-.55
+889.51	+1.88	23		-.89
	-1.63	-.00		-1.06
8	-.65	+ .83		+ .40
+ .34	-13.90	+ .17		-.96
+1.43		-.26	31	-5.52
-.28	16	+1.38		
+ .84	-.44	+28.38		39
+1.32	-.15			+ .04
+174.40	+ .03	24		+ .09
	-.18	+ .03		-.46
9	+ .56	+ .04		-.06
+ .43	-17.52	-.04		+ .66
+2.38		-.11	32	-2.54
-.43	17	+1.02		
+1.84	-.65	-9.32		40
-.07	-.76			+ .03
+341.65	+ .26	25		+1.42
	+ .61	-.18		+ .02
10	+ .30	+ .89		+ .05
+1.34	+30.52	-.04		+1.34
+ .82		-.34	33	+99.36
+ .23	18	+1.21		
+ .63	-.12	+27.56		41
-.22	+ .58			-.11
+86.97	-.07	26		+ .06
	-.20	+ .21		-.51
11	+1.48	+2.19		+ .20
-.63	+20.56	+ .37		+ .65
+ .43		+ .37	34	+26.24
-1.23	19	-.03		
-1.14	+ .34	+180.20		42
-.26	-1.27			0
-77.71	-.48	27		+ .87
	+ .76	+1.87		+ .91
12	+ .84	+3.06		+ .11
+ .33	-14.94	+1.20		+1.59
+ .25		+4.14	35	+74.37
-.20	20	-1.92		
-.05	+ .34	+595.62		43

- .55	-81.56	-1.99	66	+ .65
+ .29		- .48	- .05	+40.52
- .77	51	-1.24	- .07	
- .33	- .58	-47.56	+ .08	74
+1.02	- .14		+ .22	- .40
-2.68	- .62	59	+1.92	- .39
	- .30	+ .39	+19.20	- .56
44	+ .06	+1.13		+ .05
+ .01	-27.61	- .28	67	+ .18
+ .44		+ .29	- .69	-11.17
-1.37	52	+ .34	+ .13	
+ .91	- .56	+95.15	+ .11	75
+2.28	-1.05		- .87	- .67
+122.70	+ .78	60	- .16	- .35
	+1.05	- .44	-65.41	-1.17
45	+ .86	- .84		- .77
+1.20	+56.76	-1.27	68	- .23
+3.48		+ .51	- .85	-90.54
+ .76	53	- .45	01	
+4.13	- .23	+5.64	+ .37	76
-2.07	+ .44		- .90	- .59
+639.66	- .38	61	- .76	-1.01
	- .39	- .33	-72.51	- .22
46	+ .75	- .87		+1.17
+ .60	-6.97	- .30	69	+ .67
+1.77		+ .78	- .79	+70.91
+ .53	54	+1.16	- .58	
+ .60	- .67	+32.11	+ .35	77
+ .44	- .62		+ .45	- .66
+167.17	+ .43	62	+ .32	- .15
	+ .22	+1.42	+29.98	+1.25
47	- .09	+ .56		+ .36
- .03	- .12	+ .15	70	+2.49
+ .34		+ .21	- .82	+46.85
- .57	55	- .87	- .34	
- .17	- .71	+23.59	+ .03	78
+ .75	- .97		- .33	- .30
+4.69	+ .75	63	- .73	- .15
	+ .92	- .39	-35.79	+ .07
48	+ .26	- .53		- .05
+ .31	+51.50	+ .25	71	+ .98
+ .44		+ .47	+ .38	-7.64
+2.30	56	+1.29	-1.01	
-1.38	- .27	+24.28	-1.22	79
+ .91	- .52		+ .56	+ .38
-118.88	+ .08	64	+ .07	+ .59
	+ .57	- .81	-20.05	+ .21
49	+1.73	- .39		+ .25
- .56	+32.64	+1.55	72	+1.89
- .37		+ .48	- .43	+56.35
- .67	57	+1.77	- .65	
+ .21	+1.80	+48.24	-1.14	80
+ .51	- .17		+ .17	- .04
+10.79	- .12	65	-1.46	.37
	+ .32	- .76	-16.88	- .16
50	- .01	- .86		- .40
+ .87	-22.97	+ .99	73	+ .60
- .96		+ .85	- .59	-16.81
- .59	58	.55	- .71	
+ .05	- .02	+54.29	.78	81
- .07	+ .11		+ .08	+ .23

+ .31		- .77	+ .56	+111.04
- .50	89	- .10	- .87	
- .48	- .38	-37.85	-1.20	112
- .39	- .39		+ .58	- .66
-37.63	- .22	97	+ .34	- .31
	+ .21	- .59	-13.15	- .50
82	+ .86	- .46		- .31
+ .45	+5.95	- .08	105	- .60
- .26		+ .00	- .06	-39.44
-3.24	90	- .13	+ .32	
+1.78	- .60	-15.46	- .70	113
+1.43	- .91		- .31	- .42
+152.32	- .77	98	+ .41	+ .41
	+ .46	- .57	-11.06	+ .68
83	- .94	+ .47		+ .81
+2.04	+1.00	+ .26	106	- .37
+1.26		- .65	- .55	+125.44
+ .57	91	+1.48	+ .56	
+1.65	- .48	-22.39	- .86	114
- .86	- .55		- .56	- .60
+207.55	- .15	99	+1.01	+ .28
	+ .24	- .72	-9.41	+ .41
84	+ .34	-1.31		- .59
+ .49	+ .47	+ .83	107	+ .89
+ .85		+1.33	- .23	-27.21
- .19	92	- .16	+ .28	
+ .08	+2.99	+73.40	- .21	115
+ .34	- .18		- .74	- .39
+52.52	+1.16	100	- .02	-1.17
	- .08	- .99	-53.81	+ .64
85	- .17	-1.00		+1.07
- .44	-93.70	+1.49	108	+1.06
+ .67		+1.23	+ .86	+45.00
- .03	93	+ .19	-1.28	
- .29	+4.51	+90.83	- .69	116
+1.83	-1.20		+ .50	- .57
+24.89	+1.90	101	+ .51	+ .38
	-1.84	- .53	-56.18	- .82
86	-1.05	+ .02		-1.44
- .34	-385.27	- .12	109	-1.09
+ .46		- .30	- .32	-113.59
+ .09	94	+ .68	- .49	
-1.35	+ .11	-17.43	- .90	117
- .74	+ .82		+ .50	+2.12
-102.40	+ .31	102	+ .85	- .34
	-3.93	- .52	+26.01	+ .65
87	-1.57	+ .92		- .34
- .50	-361.95	- .17	110	- .30
+1.08		- .96	+1.10	-111.39
+ .62	95	+ .85	- .18	
- .34	+ .43	-27.17	- .51	118
+2.69	- .78		+ .15	- .48
+50.43	- .49	103	- .28	+ .05
	+ .65	- .52	-25.26	- .56
88	+ .43	+ .92		- .18
- .85	+4.40	- .17	111	+ .87
- .86		- .96	+ .05	-5.18
+ .54	96	+ .85	+2.05	
+1.02	- .14	-27.17	+ .34	119
- .88	+ .61		- .24	+1.05
+72.91	- .45	104	- .83	+ .60

+0.09		+0.96	-1.54	
+4.46	127	+62.09	+1.25	150
+6.60	-1.03		+1.75	+8.89
+61.89	-.60	135	-.90	-.42
	+1.69	+9.94	+107.85	-.40
120	+3.33	-.95		+3.32
-.25	-.30	-.53	143	+9.98
-2.20	+25.05	+0.06	-.95	-17.71
+3.25		-.06	-.10	
+1.93	128	-81.99	+4.41	151
+2.59	-.83		-1.19	-.69
+69.80	-1.00	136	-1.81	+3.37
	+1.19	+1.51	-107.32	+3.35
121	+1.04	+5.53		-.77
-.59	+2.25	+3.37	144	+4.46
+7.77	+66.37	+3.31	-.85	-33.74
+6.60		-.24	-.50	
-.93	129	+30.68	+6.69	152
+1.14	-.59		-.11	-.37
-30.88	-.53	137	-.72	+8.81
	-.34	-.59	-21.67	+3.33
122	+3.30	+2.21		-.98
-.63	+3.33	+4.44	145	+5.56
-.87	+10.42	-.35	-.93	-39.14
-1.00		+1.31	-.88	
+5.58	130	-6.61	+1.22	153
-.57	-.77		+7.70	-.32
+16.70	-.97	138	-.51	+5.58
	+7.70	-.94	+41.28	-.19
123	+9.91	-.49		-.91
-.57	+0.02	+4.46	146	+0.07
-.21	+52.77	-.32	-.71	-49.73
+1.63		-1.55	-.74	
-.21	131	-41.49	-.44	154
+1.23	-.77		+4.41	-.02
-18.50	-.31	139	-.47	+1.24
	-1.10	-.95	+11.27	-.04
124	-.74	-.47		+1.16
-.92	-1.45	+1.23	147	+1.76
-.43	-82.08	-.25	-.93	+100.27
+1.27		-1.11	-.36	
-.02	132	-31.74	+8.87	155
-.25	+1.36		-.63	-1.19
-5.04	+3.22	140	-1.58	+2.16
	+8.87	-.93	-65.04	+3.18
125	+3.81	-1.48		-3.64
-.97	-1.55	+1.70	148	-.09
-.15	+584.75	+1.88	-.83	-203.09
+2.05		-.09	-.66	
-.11	133	+126.15	+8.88	156
+9.90	-.31		+5.51	+1.59
+7.53	+4.40	141	+2.20	-.60
	-.44	-1.01	+32.53	-.14
126	-.58	-.66		+0.05
-.56	+3.35	+1.45	149	+1.14
+5.52	-27.85	+2.29	-.54	-75.59
+4.45		-.68	-.23	
-.95	134	+15.75	-1.49	157
+5.54	+1.11		-.84	+1.14
-50.23	+3.36	142	-1.44	+1.47
	-1.33	-.90	-93.70	+8.85
	+4.42			

-.73	-.78	+35.91	-.42	188
+0.07	-.46		+2.23	-.31
+19.16	-.52	173	+4.43	-.78
	-.38	-.72	+58.02	-1.59
158	-1.27	-.98		+6.63
+3.27	-51.72	+1.19	181	+0.05
-1.14		+5.59	-.20	+19.07
+1.27	166	-.94	-.07	
-1.22	-1.01	+15.00	-.75	189
-.10	-1.07		-.27	-.35
-285.82	+1.87	174	+1.14	-.57
	+1.06	-.57	-29.32	-.95
159	-.58	-.61		+0.08
+1.02	+70.39	-1.13	182	-.42
-.16		-.11	-.30	-23.11
-.21	167	-1.19	-.19	
+0.07	-.50	-40.74	-.72	190
+2.28	-.03		-.24	-.49
-29.97	-.76	175	-.03	-.58
	-.83	-.86	-31.53	-1.06
160	-.83	-1.34		+0.05
+4.42	-78.14	+9.90	183	-.60
-.21		+1.62	+5.54	-23.14
-.59	168	-.24	+8.87	
-.14	-.81	+104.67	-.33	191
-.06	-1.18		+2.23	-.58
-41.01	+3.33	176	+3.36	+4.45
	+8.5	-.74	+67.30	-.20
161	-1.40	-1.16		-.97
+1.12	+32.37	+2.23	184	+2.22
-.13		+1.06	-.74	-58.04
-.39	169	-.57	+3.34	
-.06	-.70	+54.04	+1.47	192
+6.62	+2.21		-1.63	-.35
-18.82	-.86	177	-.89	-.06
	-1.85	-.21	-126.90	-2.20
162	-1.99	-.44		-1.60
+7.76	-164.93	-1.39	185	-.17
-.45		+2.26	+2.00	-168.77
-1.44	170	+1.18	-1.00	
+4.47	+0.04	+5.59	+0.03	193
-.24	-.90		-.58	+2.51
-2.52	-.25	178	-.82	-.34
	+4.41	+2.26	-179.34	+7.77
163	+4.47	+1.21		-.35
-1.02	-18.97	-.61	186	-.45
-1.28		+0.05	-.49	-121.92
+1.73	171	-.36	-.89	
+1.42	-.47	+78.01	-.68	194
-.82	-.63		+5.56	-.04
+93.90	-.68	179	-.36	-.46
	+1.17	-.21	+11.08	+2.25
164	-.27	-.58		-.52
-.66	-13.16	-.96	187	-.45
-.81		+3.32	-.40	-84.34
+6.61	172	+2.23	-.02	
+7.71	-.88	-1.73	-.53	195
+5.54	-.85		-.58	-.97
+39.01	+1.12	180	-.19	-.13
	+6.64	+4.49	-53.67	+1.29
165	-.34	+7.71		-.35

+0.06	-.46		-.83	-.26
-18.01	+3.32	211	-.46	+0.04
	-.42	-.78	-9.25	-1.18
196	-1.62	-.57		-.66
-1.06	-50.60	+8.6	219	-.77
-.86		+5.4	-.73	-63.53
+1.95	204	+8.1	-.60	
+6.5	-.35	+40.18	-.26	227
-.79	+9.6		+0.4	-.59
+42.34	-.82	212	-.80	-.24
	-1.19	-.44	-18.33	-.67
197	-.50	-.03		-.48
-.70	-54.03	-.72	220	-.66
+1.13		-.87	-.73	-53.40
+0.04	205	-.97	-1.11	
-.69	-.61	-83.59	-.01	228
+1.17	-.23		+1.01	-.58
-46.56	-.51	213	-.55	-.87
	-.52	-.53	+50.66	-1.83
198	-.67	-1.63		+1.8
-.83	-55.82	-.86	221	-1.56
-1.74		+1.48	-.78	-28.28
+8.6	206	-1.39	-.97	
+2.02	-.74	+59.39	+8.0	229
-1.06	+4.6		+9.7	-.86
+119.66	-.34	214	+1.7	-.81
	-1.84	+5.2	+59.43	+1.2
199	-1.37	+2.62		+1.6
-.80	-145.43	+3.5	222	-1.62
+1.10		+1.57	-.66	-15.10
+1.49	207	-.44	-1.35	
-.14	-1.40	+328.24	-.75	230
+1.84	-.94		+9.2	-.60
+15.24	+3.53	215	-1.90	-.17
	+4.6	+3.5	+21.97	-1.07
200	-3.08	+1.25		-.67
-1.00	+28.45	-.31	223	-.85
-.59		+3.1	-.70	-68.42
+1.39	208	+3.5	-.36	
+2.22	-.84	+106.05	-.76	231
-.58	-.33		-.62	-.70
+12.55	+6.7	216	-.09	-.30
	+0.2	+9.3	-72.96	-.01
201	+2.6	-.38		-.40
-.70	+2.92	-.53	224	-.49
+5.0		+2.3	-.96	-44.43
+7.8	209	+4.4	-.10	
-.76	-.69	-26.26	+9.9	232
+1.26	-.41		-.71	-.78
-26.83	-.45	217	-.76	-.09
	-.20	-.65	-55.23	+0.09
202	-.54	-.92		-.58
-.81	-31.74	-.16	225	-.31
+2.4		+7.4	-.51	-46.82
+1.11	210	-.19	+8.7	
-.36	-.77	+33.46	-.02	233
+1.52	-.39		-.96	-.53
+8.7	-.02	218	+7.7	-.00
	-.07	-.11	-30.60	-.93
203	-.27	+1.15		-.97
-.93	-14.13	-.44	226	-1.09

-91.07	-.25	249	-.30	+4.46
	+59	-.73	-45.52	-.12
234	-.69	-.63		-.99
+3.49	+137.43	+1.15	257	+0.04
-1.31		+4.45	+30	-62.46
+1.33	242	+1.18	+4.46	
-1.61	+4.42	+24.42	-.98	265
-.58	-.08		-.02	-.67
-343.67	-.72	250	-.12	-.95
	+2.24	-.70	+18.84	+9.1
235	+6.4	-.61		+1.11
+7.4	+8.29	-1.11	258	+1.24
-.80		-.41	-.30	+73.27
-.80	243	-1.94	+1.47	
+2.26	+1.10	-68.34	+0.01	266
+0.06	-.37		-.79	-.42
-46.53	-.18	251	+6.3	+7.76
	+3.35	-.55	+22.87	+1.16
236	+1.14	-.01		-.92
+2.53	-15.76	-1.87	259	+6.5
-.40		-1.18	-.90	-35.73
+8.2	244	-1.44	-.54	
-.46	-.29	-115.03	+5.2	267
-.45	+1.03		-.36	+1.02
-138.12	-.69	252	-1.75	-1.16
	-1.42	-.78	-50.01	-2.36
237	-1.08	-.20		+1.33
-.03	-75.17	+0.03	260	+5.4
+1.82		-.41	-1.12	+31.65
-.33	245	-.32	-1.08	
-.40	+3.36	-36.74	+1.99	268
-.51	+2.20		+1.05	-.50
+79.75	+1.17	253	-1.18	-.54
	+7.9	-.72	+70.99	-.05
238	-.08	+2.3		-.06
+2.2	+222.09	-.24	261	-.37
-.04		-1.09	+6.5	-29.62
-2.56	246	-.48	+1.07	
+8.4	+1.90	-81.80	-1.80	269
+5.2	-.48		+2.13	+1.04
+75.14	-.09	254	+1.32	-.28
	+1.0	-.72	+276.53	-.13
239	+0.02	-.88		+2.28
+5.1	-69.34	+1.20	262	+1.09
+7.9		+1.42	-.27	-16.38
-.37	247	-1.82	+1.38	
+2.21	+4.48	+111.77	-.23	270
+4.0	-.57		-.61	-.15
+61.28	-.94	255	+7.0	+0.06
	+1.12	+1.60	+34.55	-1.10
240	-.17	+3.2		-.21
-.75	-39.95	+2.5	263	+1.12
+3.2		+3.4	-.35	-16.22
-.00	248	-.19	+9.7	
-.87	-.80	+17.13	+0.05	271
+3.0	-.99		-.33	+6.5
-51.46	-.32	256	+1.76	-.16
	+3.4	-.19	+38.72	-.99
241	-2.01	+8.5		+1.13
+6.8	-10.27	-.27	264	-.20
+1.39		-1.01	-.46	-15.74

310	-3.11	+4.7		+1.31
- .54	+272.87	- .37	333	+ .23
- .73		- .60	- .74	+130.99
- .74	318	+ .87	- .31	
+ .20	+ .42	-19.63	+ .27	341
- .80	- .29		+ .05	- .48
-15.73	- .52	326	+ .44	+ .47
	- .16	+ .26	+4.03	+ .10
311	- .14	+ .70		- .79
- .77	-48.35	+ .24	334	+ .67
+ .51		- .48	- .86	-39.62
- .06	319	+ .33	- .38	
-1.88	- .32	-9.71	+ .80	342
+1.80	+ .16		- .02	+ .77
-144.93	-1.16	327	- .07	- .50
	- .74	- .48	-3.99	- .69
312	- .58	+ .68		+ .04
- .91	-61.84	- .09	335	- .12
- .79		- .82	- .88	-50.58
+1.13	320	+ .77	+ .31	
+ .56	- .40	-29.65	+ .51	343
- .43	+ .96		-1.19	- .43
+32.15	+ .07	328	- .31	-1.54
	- .52	+ .25	-81.08	-2.15
313	+1.59	+ .74		+1.31
- .86	+19.79	- .57	336	-1.48
-1.00		+ .08	- .74	+42.14
+ .06	321	+ .60	-1.19	
+ .47	+ .55	+50.46	+ .19	344
-1.89	+1.09		+2.71	- .39
+4.37	+ .04	329	+ .20	- .70
	+ .13	+2.70	+225.73	- .65
314	+ .18	+ .39		- .23
- .60	+72.56	+ .99	337	-1.33
- .21		+ .45	- .77	-61.65
- .56	322	- .86	-1.88	
- .28	- .20	+6.44	+2.63	345
- .09	+ .35		+2.51	- .48
-29.60	- .28	330	+1.44	- .37
	- .42	+ .32	+164.51	-1.98
315	+ .71	-1.03		- .27
-1.24	-16.65	-1.79	338	- .79
+ .79		+ .79	- .66	-45.58
+3.06	323	- .02	- .27	
-2.80	+2.25	+3.35	+ .62	346
-2.05	-1.67		+ .20	- .68
-204.92	+ .75	331	+1.22	- .30
	-1.15	- .42	+20.77	+ .32
316	- .10	- .03		+ .09
- .22	-287.90	-1.33	339	+ .73
+1.20		- .18	+ .50	+6.56
- .66	324	+ .35	+1.09	
- .77	- .52	-12.92	-2.59	347
- .05	+ .58		+2.31	- .81
+3.62	-1.20	332	+ .98	+ .51
	-1.19	+ .77	+298.14	+ .61
317	- .41	- .09		-1.11
- .27	-75.85	- .54	340	+ .56
- .19		+ .65	+ .77	-60.79
+1.91	325	+1.49	+ .20	
+2.60	- .51	+41.85	- .70	348

+ .28	-53.07	- .18	371	- .97
+ .11		+ .04	+1.05	-91.55
-1.13	356	+ .19	- .52	
- .30	- .53	-63.89	- .15	379
- .85	- .46		- .39	+ .37
-34.37	- .69	364	- .75	+ .10
	- .32	+ .49	-103.59	- .90
349	- .98	- .26		- .47
- .26	-52.77	- .52	372	-1.17
+ .05		+ .15	+ .88	-54.26
- .40	357	+ .55	-1.38	
- .23	+ .15	-14.94	-1.35	380
+ .75	+ .98		+ .62	- .91
-15.11	- .48	365	- .09	- .62
	+ .02	- .94	-52.05	+1.11
350	+ .58	-1.17		+ .28
+3.95	+63.02	+1.51	373	- .35
-2.75		+1.47	+ .66	+13.42
+1.09	358	- .52	+ .75	
-2.51	+ .74	+104.24	- .06	381
- .24	-1.06		+ .07	- .62
-546.54	- .96	366	+ .24	- .13
	+ .19	- .62	+39.81	+ .02
351	- .38	- .11		- .38
+ .31	-72.09	-1.50	374	+ .03
+1.02		- .53	- .78	-33.18
- .37	359	- .38	- .95	
+ .17	- .48	-50.25	- .94	382
+ .45	- .48		+ .25	- .48
+77.54	- .89	367	-2.01	- .23
	+ .23	- .93	-19.07	-1.13
352	+ .16	- .80		- .68
- .29	+1.95	+1.10	375	-1.19
+ .32		+ .51	- .18	-77.21
- .58	360	- .74	+1.89	
- .27	- .39	+26.25	+ .19	383
+ .85	- .24		- .84	+ .70
-1.28	- .52	368	- .36	- .05
	- .56	- .72	+42.85	- .05
353	- .76	- .46		+ .13
- .25	-66.36	- .28	376	+1.04
+1.12		- .38	+ .52	-7.73
+ .46	361	-1.20	+1.04	
- .44	+1.50	-52.48	+ .38	384
+1.72	- .23		- .67	+ .82
+35.12	- .05	369	- .90	+ .72
	+ .06	- .54	-13.30	- .15
354	+ .10	+ .43		+ .36
+ .32	-47.46	- .13	377	+ .17
- .30		- .88	+1.81	+65.34
+ .26	362	+ .32	- .53	
- .34	+ .34	-50.38	+1.01	385
+ .31	+1.13		- .71	- .40
-63.83	- .01	370	+ .37	- .82
	- .08	- .93	-154.71	- .79
355	+ .31	- .27		+ .83
+ .65	+58.71	+ .48	378	+ .73
-1.75		- .31	- .56	+41.90
-1.37	363	- .49	+ .09	
+ .79	+1.44	-26.16	-1.34	386
- .57	- .46		-1.03	+2.53

- .66		- .58	- .83	+40.84
+ .79	394	- .16	- .28	
- .40	- .65	-42.45	+ .56	417
+ .19	+ .20		- .35	- .17
-149.44	+ .44	402	- .37	- .83
	- .55	+ .61	-33.15	-1.50
387	+ .82	- .36		+ .32
+2.59	-27.30	-1.11	410	- .74
- .89		+ .25	- .87	-20.22
+ .83	395	- .16	+ .60	
- .56	- .65	-15.83	+1.21	418
+ .49	- .60		-1.33	+2.69
-182.33	- .42	403	+ .31	- .09
	- .06	+1.90	-75.88	+1.22
388	- .93	-1.10		- .17
+ .02	-30.06	- .08	411	+ .34
+ .02		- .69	-1.12	-89.62
-1.45	396	-1.16	- .77	
- .30	-1.14	-194.39	+1.84	419
- .68	- .57		+ .29	- .40
-33.99	+2.77	404	-1.65	- .02
	+ .43	- .17	+11.20	- .53
389	+ .15	- .45		- .58
- .50	+41.77	-1.36	412	- .19
+ .82		- .21	- .69	-53.67
+ .24	397	- .85	- .11	
- .89	- .31	-50.96	- .93	420
+1.01	+ .97		-1.23	- .02
-26.50	- .72	405	-1.83	+ .21
	-1.68	- .29	-121.20	- .45
390	-1.56	-1.02		- .19
- .77	-105.73	- .81	413	+ .70
+ .04		+ .88	- .70	-7.01
- .05	398	+ .31	- .40	
- .75	+ .13	+30.80	-1.63	421
- .26	+ .60		-1.07	+1.30
-56.86	- .69	406	-2.34	+1.89
	- .19	- .56	-125.44	- .16
391	+ .15	+ .76		+2.37
- .17	+15.69	- .38	414	- .53
+ .36		-1.04	- .59	+342.55
-1.48	399	+ .48	- .90	
- .59	+3.29	-44.94	-1.85	422
- .50	- .94		+ .01	- .01
-36.77	+1.34	407	-2.02	+ .66
	- .99	- .78	-48.12	- .74
392	+ .07	- .83		- .99
- .71	-248.60	- .88	415	-1.23
+ .08		+ .91	+3.92	-61.71
- .30	400	+ .11	-1.38	
-1.10	+ .11	+58.81	+1.64	423
- .84	- .30		-1.68	+ .13
-92.84	-1.76	408	- .07	+ .91
	+ .21	- .48	-366.38	- .51
393	- .15	+ .43		- .31
- .73	-4.27	- .34	416	- .10
- .20		-1.63	+1.54	+23.89
+ .07	401	-1.42	+ .41	
- .42	- .35	-131.73	+ .37	424
- .24	+ .19		+ .49	- .53
-38.89	-1.17	409	+ .68	- .85

- .70	432	- .15	+ .32	
+ .76	- .77	+5.07	- .17	455
+ .17	- .60		- .58	- .80
+35.33	+ .20	440	+ .81	- .91
	+ .08	+1.89	-23.08	- .93
425	- .65	- .97		+ .50
- .24	-11.71	+ .50	448	-1.28
- .16		- .67	+ .44	+10.12
- .81	433	- .05	+1.29	
- .72	+ .24	-182.04	- .43	456
-1.06	+1.55		+ .58	-1.26
-81.54	+ .28	441	+ .32	-1.17
	+ .66	+1.18	+134.67	+2.91
426	+2.06	+2.80		+1.04
+ .78	+167.89	+ .94	449	-2.20
+2.62		+2.38	+4.47	+69.53
+ .67	434	-1.82	-1.47	
+1.75	- .19	+410.69	+2.10	457
- .72	+ .94		-2.41	- .60
+342.02	- .03	442	- .98	+ .66
	- .45	+ .33	-462.34	- .17
427	+1.12	+1.90		- .86
- .46	+19.92	- .42	450	+ .85
- .50		+ .95	+4.57	-31.47
- .66	435	+ .21	-1.56	
+ .27	- .92	+218.16	+1.90	458
+ .42	- .41		-2.27	+ .24
+5.32	+1.28	443	- .93	+1.74
	+ .11	- .84	-456.27	+ .60
428	+ .22	+ .63		- .20
- .44	+10.65	+1.00	451	+ .02
- .05		-2.27	+ .28	+89.76
+ .52	436	-1.60	+2.31	
+ .19	- .80	-174.13	+ .45	459
+2.06	- .15		+ .55	- .70
+29.37	+ .05	444	- .14	+ .04
	- .93	- .17	+205.59	- .27
429	-1.33	+ .40		- .75
- .48	-87.44	- .96	452	- .33
+ .15		- .34	- .71	-59.36
- .09	437	+ .30	- .89	
-1.58	+4.69	-6.49	- .22	460
-1.84	-1.09		+ .85	- .06
-144.30	+2.05	445	- .41	+ .54
	-1.72	+ .89	+47.96	-1.17
430	-1.21	+1.71		- .20
- .19	-368.87	+ .38	453	+ .34
- .17		+ .97	- .50	+14.38
-1.19	438	- .34	+ .28	
- .02	+ .67	+194.60	+ .11	461
+ .13	-1.34		- .02	+1.06
-11.43	-1.16	446	+1.37	- .26
	+ .68	- .51	+29.73	-1.02
431	+ .18	+ .28		+ .27
- .77	-36.48	- .07	454	- .49
- .60		- .87	+ .02	-18.77
+ .20	439	+ .00	+2.25	
+ .08	+ .24	-60.74	+ .64	462
- .65	+ .31		- .18	+ .58
-11.71	-1.19	447	+ .02	+2.07
	- .06	- .67	+132.35	+ .31

+ .59	+ .48	-69.04	+ .38	493
-1.22	+1.94		+1.13	+1.20
+186.91	+ .20	478	-1.24	-.68
	+ .74	+ .76	+272.21	-.10
463	-.09	-2.88		-.06
-.13	+195.95	-1.37	486	+ .24
-.25		+1.99	+3.04	-81.80
-1.24	471	+ .09	-1.56	
+ .09	+ .89	-5.21	-1.81	494
+ .29	+ .33		-4.86	+ .46
-5.96	-.11	479	+1.46	+ .32
	-.09	+ .47	-699.04	-.58
464	-.35	+1.38		-.24
+ .20	-10.50	+ .05	487	-.47
+1.41		-.49	-.36	-17.33
+ .35	472	-1.75	+1.09	
-.36	-.11	+29.25	-.16	495
+ .22	+1.76		-1.15	-.53
+51.17	+ .25	480	+ .05	+ .90
	-.94	+ .65	-39.32	+ .09
465	-.42	+ .16		-1.09
-1.33	+22.01	-.32	488	+ .75
-.36		-.85	-.70	-40.59
+3.28	473	-1.84	-.17	
-.11	+ .52	-96.23	+ .97	496
-.96	+ .72		+ .12	-.22
+4.89	+1.19	481	+1.46	-1.60
	-1.47	+ .44	+20.51	-.57
466	-1.21	+1.75		+1.62
-.38	-117.51	+ .07	489	+ .39
+ .68		+ .80	-.41	+68.30
-.98	474	+ .61	-1.28	
-.34	+ .64	+190.15	-1.16	497
+1.08	+ .68		+ .98	-.69
+16.96	-.15	482	-.80	-.49
	-.10	+ .64	+25.90	-.82
467	-.23	+ .55		-.45
-.18	+18.83	-.15	490	-1.52
+ .72		-.17	+ .66	-65.02
-.83	475	-.37	+1.73	
-.57	+ .86	+2.64	-.83	498
+ .22	-1.87		+1.78	+ .52
-9.13	-.91	483	+ .13	+2.57
	+ .71	+2.65	+285.52	+ .34
468	+ .08	-3.36		+ .95
-.54	-73.25	-.22	491	-1.91
+ .60		-.25	+2.68	+259.11
+ .28	476	+1.29	-2.15	
-.98	+ .89	-318.28	+ .38	499
+ .63	+1.71		-1.08	+ .89
-48.66	+ .38	484	+ .00	-3.12
	+ .97	-.18	-325.05	-1.36
469	-.34	+1.67		+2.01
-.30	+194.60	+ .61	492	-.16
-.19		-.39	+1.00	-21.44
-.72	477	+1.42	-2.84	
-.24	+ .91	+75.39	-1.16	500
-.03	-.01		+1.36	-.40
-31.53	-.17	485	-.41	-.18
	-.43	+ .53	-74.28	-.34
470	-1.01	+2.49		-.33

	- .01	+1.99			-2.70	+ .32
	-38.02	+ .81	516		+ .50	+ .57
		+ .20		- .71	-603.68	- .12
501		- .27		+ .12		- .21
	- .47	+144.60		+ .58	524	+ .44
	+ .36			- .49	+2.15	+7.80
	+ .21	509		+ .74	- .72	
	- .73	-1.48		-24.12	+ .60	532
	+ .60	- .55			- .55	+2.84
	-40.77	+4.46	517		- .21	+ .30
		+ .28		- .56	-160.41	+1.25
502		-1.25		+ .38		+ .26
	+ .00	+39.44		+ .16	525	- .41
	+1.44			- .61	- .94	-22.26
	- .16	510		+ .95	+ .08	
	- .52	- .63		-24.50	+ .90	533
	- .22	+ .31			-1.00	- .59
	+40.57	+ .95	518		- .65	- .32
		- .18		- .68	-74.28	- .70
503		+2.14		+ .71		- .50
	- .86	+19.23		+ .63	526	- .92
	-1.05			-1.15	- .71	-60.74
	+1.69	511		+ .80	- .69	
	+1.03	- .48		-55.48	+1.76	534
	+ .22	+1.21			+ .75	- .52
	+63.95	+ .14	519		+1.81	- .32
		-1.12		- .80	+54.60	- .39
504		+ .70		+ .20		- .21
	+1.79	-24.77		+ .78	527	- .21
	- .82			- .73	- .77	-30.84
	- .01	512		+ .38	-1.40	
	- .11	- .34		-42.22	+ .78	535
	+ .08	+ .98			+1.44	- .54
	-112.13	-1.57	520		- .61	- .88
		-1.42		- .51	+80.09	-1.80
505		-1.18		+1.14		+ .13
	- .66	-78.70		- .05	528	-1.63
	- .07			-1.71	- .68	-35.46
	- .20	513		- .44	- .66	
	- .50	+ .09		-91.80	+1.46	536
	- .04	+ .36			+ .33	+3.77
	-41.23	+ .38	521		+ .59	- .77
		- .64		- .09	+10.96	+1.70
506		+ .36		+1.00		- .86
	+1.64	-44.66		- .04	529	+ .35
	- .92			- .60	+2.03	-234.35
	- .15	514		+ .57	- .31	
	- .63	+ .09		+5.52	+ .59	537
	-1.54	+ .36			- .17	+ .27
	-169.67	+ .38	522		+ .16	+ .73
		- .64		- .45	-88.89	- .53
507		+ .36		+ .28		- .72
	+ .41	-44.66		-1.21	530	-1.25
	-2.59			- .09	+ .18	-35.40
	-1.00	515		+1.17	+1.76	
	+2.24	+1.65		+18.16	+ .27	538
	+ .64	+2.29			- .02	+ .53
	+50.54	+ .92	523		+ .16	- .26
		+2.46		+4.71	+111.30	-2.62
508		-1.23		-3.02		+1.23
	+ .46	+372.93		+1.63	531	+ .61

+93.43	-.17	554	+1.03	-.14
	-.99	-.06	-24.15	-.01
539	-.37	-.17		+.32
-.59	-33.47	+.31	562	+1.97
-.48		-.39	-.67	+21.66
+.63	547	+.38	-.94	
+.42	+1.73	-50.35	+.25	570
+1.26	+3.01		+.80	-.57
+28.34	+.79	555	+.03	+.40
	+3.97	+2.28	+39.03	+.43
540	-2.77	-.96		-.58
-.81	+578.26	+.68	563	+1.14
-.79		-.77	-.44	-18.96
+.50	548	-.20	-.64	
+.40	+.14	-202.14	+.33	571
-.76	+1.74		+.59	-.24
+11.12	+1.09	556	+1.29	-.65
	+1.41	-.99	+31.43	+.38
541	-1.00	-.08		+.45
+.06	+263.59	+1.91	564	+1.32
-.80		-.38	-.19	+10.89
-.87	549	+.43	-.15	
+.61	-.32	-16.26	+.22	572
+.73	+.70		+.20	+.34
+7.00	+.02	557	+1.94	-.21
	-.75	-.49	+16.70	-.21
542	+.65	+.15		+.11
-.18	-24.55	-.57	565	+1.00
+1.60		-.63	-.24	-11.26
+.36	550	-.03	+.06	
-.43	+.64	-45.12	-.74	573
+1.33	-.14		+.57	+.33
+67.40	-.59	558	+.70	-.20
	-.16	-.68	+68.54	-.18
543	-.51	-1.12		+.20
+2.99	-43.39	+.74	566	+2.09
-1.91		+1.59	-.17	-1.66
+.48	551	-.15	-.53	
-1.18	-.39	+112.42	-.16	574
-.11	-1.82		+.49	-.65
-326.38	-1.23	559	+.60	+.25
	+1.63	-.78	+20.72	+.15
544	-1.49	-.32		-.81
+1.43	+57.86	+.79	567	+.24
-.61		-.09	-.63	-52.13
-.25	552	+.22	-.53	
+.06	+1.25	-9.50	+.12	575
+.23	-1.60		+.37	-.51
-71.27	-.64	560	+.59	+.39
	+.23	+3.09	+20.51	+.20
545	-.03	-.25		-.55
-.34	-115.89	+1.22	568	+1.07
+.85		-.47	-.02	-18.95
-.83	553	-.79	-.91	
-.40	-.74	-141.97	-2.01	576
+1.00	-.54		+1.52	-.46
+21.94	+.26	561	+1.72	+.40
	+.01	-.43	+96.47	+.12
546	-.44	+.21		-.58
-.14	-15.69	+.44	569	+.88
+1.01		-.47	+.10	-22.32

IV.4. FORMA B.

En la segunda de las Formas, "B", aquellas que tradicionalmente se han definido como vasos de borde vuelto, donde a pesar de que éste presenta una posición abierta, su máximo ancho no coincide con el diámetro de abertura, sino que se halla bajo él, generando una forma compuesta o el desarrollo de un marcado cuello, en nuestro análisis representa, numéricamente, el menor conjunto de la muestra, con un total de 55 individuos, en un claro perfil cronológico, también, muy preciso (Tabla IV,6), que incluye, exclusivamente, las Fases VI, VII y VIII de AB, y con ellas los Siglos XIX al XVI BC. (Listado IV,4).

FASE	NUMERO	% TOTAL
VI	3	9.08
VII	31	56.36
VIII	19	34.54

(Tabla IV,6)

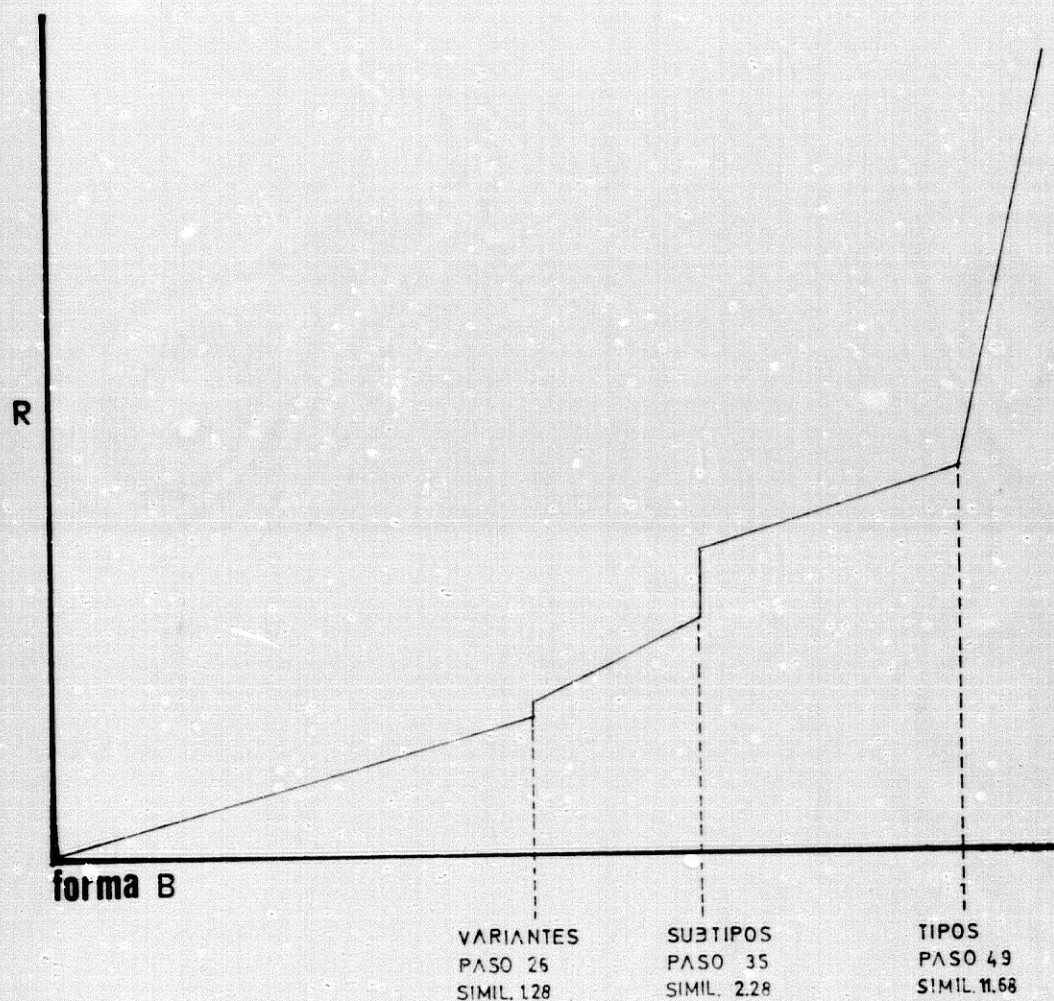
V.4.1. Fijación de Tipos: ACL (Listado IV,5).

La correlación de los seis índices que definen la morfometría de la Forma "B", en los niveles de asociación taxonómica del ACL, nos ofrece una ordenación que podemos agrupar mediante los codos que definen las rupturas de la razón de cuadrados (R) en cada nivel de asociación (Fig. IV,21).

La última de estas rupturas, y aquella que engloba a las anteriores, se adscribe al paso 49, mostrando la asociación del 94,23% de los individuos, en unos niveles de similitud de 6.92, cuyo coeficiente de error es de 11.68%, marcando un nivel de agrupamiento altamente significativo y que hemos mantenido para la definición de las agrupaciones de mayor rango (Tipos) de una taxonomía ordenada en numeración latina de I a VIII, pues, permite crear ocho agrupaciones netamente diferenciadas (Fig. IV,22).

El segundo de estos codos, definiendo una posición en los valores de R (Fig. IV,21), y que hemos recogido para la definición de sub-agrupaciones dentro de los Tipos-Taxones (Subtipos), es el que se define en el paso 35, con una asociación del 67.30% de la muestra y un excelente nivel de similitud establecido en 2.2872, con un error del 6.50%, que hemos ordenado alfabéticamente a,b,c,d.....z (Fig. IV,22).

Por último, la ruptura en los valores de R, que define el paso 26 (Fig. IV,21), y que sólo agrupa a un 50% de la muestra, con un nivel de similitud de 1.2863, ha sido asumido como el tercer nivel de



(Fig.IV,21)

descripción de los taxones, Variantes, de los dos niveles anteriores (Fig.IV,22), ordenándose mediante una correlación de números arábigos 1,2,3,...n. La ordenación de los casos la podemos hallar en la Tabla IV,7.

BI	(1) a(9,36) b(32,52,49,24,25) c(6,29,26,12,22,11,33) d(15,2,3,55,14) e(46) f(27)
BII	a(13) b1(38) b2(39)
BIII	a1(34) a2(48) b(30,31,29) c(56,51) d1(21) d2(50) e(10,37,41)
BIV	(17)
BV	(23)
BVI	(46)
BVII	(47)
BVIII	(42)

(Tabla IV,7)

Obviamente, la alta significación de los niveles de semejanza de los Tipos-Taxones, en su alto porcentaje de asociación, revela, a su vez, la

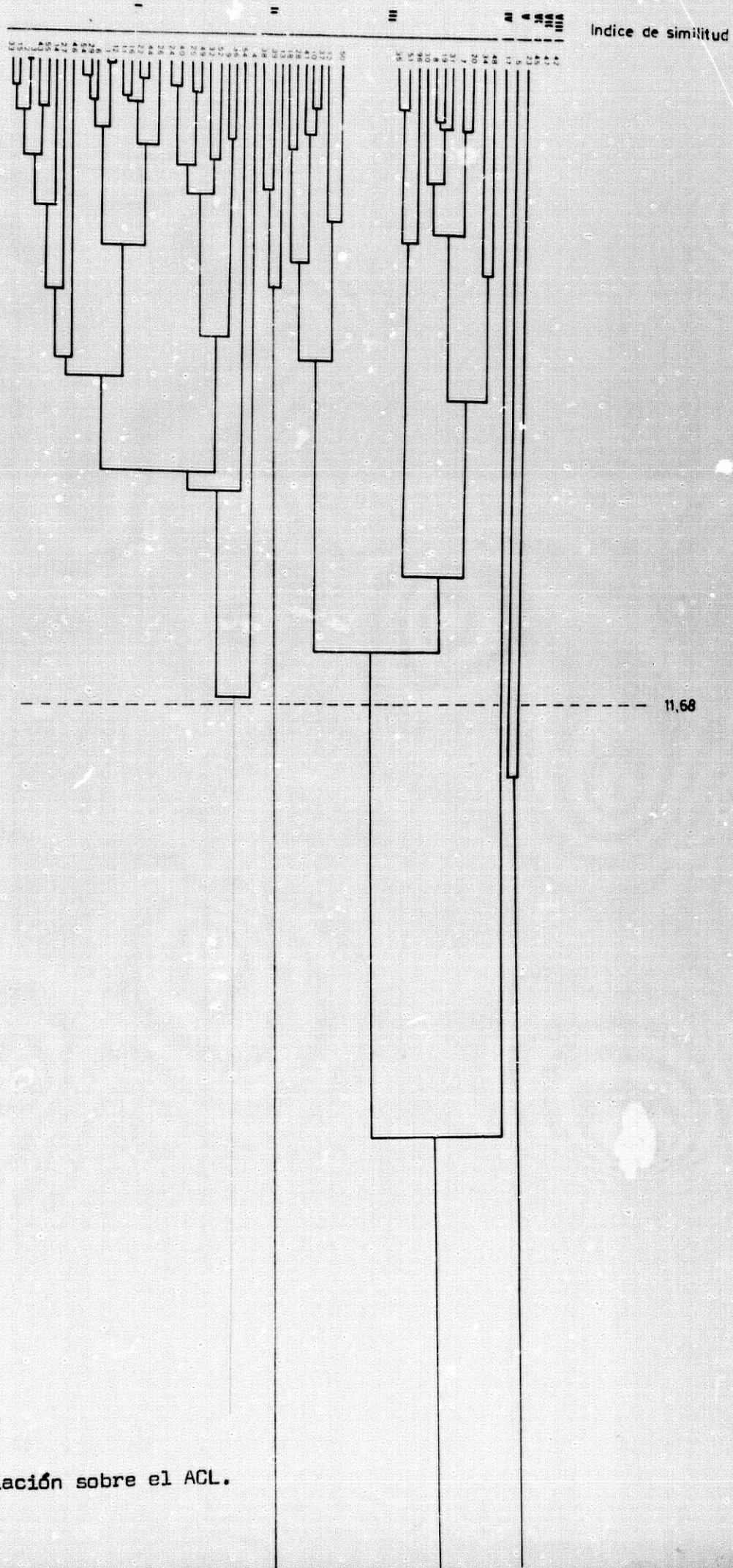


FIG.IV,22 FORMA B

Asociación sobre el ACL.

excelente elección de los índices originales, para la ordenación tipológica de una muestra material aparentemente muy homogénea, que ha sido bien diferenciada. Sin embargo, y en este caso, debemos manifestar que el restringido muestreo no goza, en los niveles probabilísticos, de similares correlaciones que en el caso de las Formas "A" y "C", las cuales suponen 605 y 392 casos respectivamente.

V.4.2. Descripción de los Tipos: ACP.

La aplicación del ACP, (Listado IV,6) con su espacio 6 dimensional, nos permite aproximarnos a las tendencias y características de la estructura tipológica definida por el ACL, ordenando los índices en torno a 6 Componentes (Tabla IV,8), cuyos Valores Propios y porcentajes de Varianza (Tabla IV,9), nos permiten, en principio, volver a confirmar la gran integración de los índices en torno a las

COMP.	INDICES					
	A	B	C	D	E	F
1	.961	.961	.247	.114	-.061	-.780
2	.095	.095	.426	-.815	.866	.185
3	-.126	-.126	.839	.183	-.230	.009
4	.182	.182	.024	.478	.290	.503
5	.134	.134	.000	-.243	-.328	.322
6	.000	.000	.002	.001	-.001	-.000

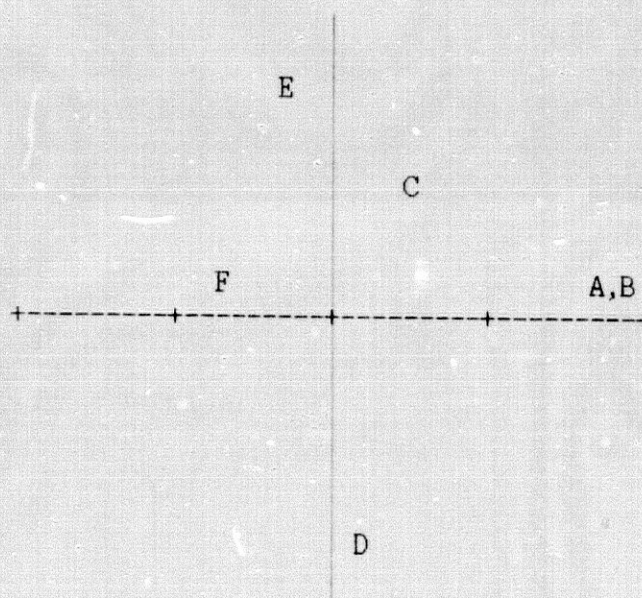
(Tabla IV,8)

seis Componentes, pues, sólo con las tres primeras Componentes se supera el 84.32722%, y en las dos primeras, el 69.74464%. Una detenida observación sobre la relación Índices/Componentes permite inferir que en el 69.74464% de Varianza Acumulada, las dos Primeras Componentes definen, con gran exactitud, las características de los Tipos, pues,

VALORES PROPIOS	% DE VARIANZA	% DE VARIANZA ACUMULADA
2.53378	42.22829	42.22829
1.65104	27.51636	69.74464
.87498	14.58258	84.32722
.63320	10.55295	94.88017
.30721	5.12000	100.00017
-.00001	-.00019	99.99998

(Tabla IV,9)

la Tercera Componente no supone la intervención específica de las variables dominantes en las dos primeras, y la Cuarta, por ejemplo, que parece definir mejor las variables representadas con valores bajos, en la Primera y Segunda Componentes, sin embargo, no permite una fiable correlación por su porcentaje de Varianza, que no supera el 11%. A tenor de esto, podemos manifestar que la articulación de la Primera y Segunda Componentes definen, con gran exactitud, la caracterización de una muestra, donde la distribución de índices en sus dos ejes (Fig. IV,23), permite una lectura precisa.



(Fig.IV,23)

En la Primera Componente (Fig.IV,23), representada por el eje horizontal, observamos que los índices A y B, definen su valor explicativo, y con él, el primer factor de la morfología del borde: Horizontalidad/Verticalidad, con valores de .96101, donde se expresa la relación x/y , siendo los bordes más verticalizados, cuanto mayor es la relación $x > y$ en los valores positivos y viceversa. En el caso de los bordes horizontalizados ($x < y$), interviene un segundo factor, el Peralte Exterior Saliente identificado con el índice F.

En la Segunda Componente (Fig.IV,23), asistimos al desarrollo de los índices E, C y D, que definen la morfología del labio, resaltando otros Peraltes. La articulación en esta Componente de C y D, muestra, en primer lugar, que es en ella donde se estructura el desarrollo del Peralte Superior, siendo éste más marcado en los valores negativos, como refleja la posición en ella de D (-.8148).

La presencia de E en los valores positivos de la Segunda Componente (.86684), nos muestra una segunda e interesante correlación: el Peralte Exterior Saliente, que ya definía F en la Primera Componente, ahora se perfila, fundamentalmente, para aquellos que presentan el menor desarrollo del Peralte Superior, ciñéndose al cuadrante comprendido por los valores negativos de la Primera Componente y positivos de la Segunda.

Tras este breve comentario a la ordenación dominante de los índices originales en el gráfico bidimensional del ACP, pasamos, pues, a la descripción tipológica.

El Tipo BI. (Fig.IV,24)

El Tipo I de la Forma "B", refleja, sin duda alguna, el modelo de borde más equilibrado en la relación Verticalidad-Horizontalidad, que definen los índices A y B en la relación x/y, con unos valores, en la Primera Componente, situados entre +.70 y -.60. En la Segunda Componente, este Tipo define un similar equilibrio en el desarrollo del Peralte Superior, con una tendencia a la reducción de éste, que marca su oscilación entre los valores -.80 a +1.50 (Fig.IV,24).

A pesar de tratarse de un Tipo cuya tendencia se sitúa entre la Horizontalidad y la Verticalidad, más una reducción del Peralte Superior, que marca la situación de (y) sobre la trayectoria de (x), su relativa oscilación, en este marco, se define con la ordenación subtipológica del ACL. Así, B1o-a-e-f, con una oscilación en la Primera Componente, entre 0 y +1, refleja el desarrollo de los bordes más verticalizados del Tipo, con ausencia de Peraltes Exteriores (E y F) y Superiores (C y D), mostrando sólo, en su oscilación, el mayor o menor desarrollo de un tímido Peralte Superior, algo más matizado en B1f.

Por su parte, B1b y B1c, con un desarrollo idéntico en la Segunda Componente, que los Subtipos anteriores, pero con valores en la Primera entre 0 y -.70, muestra aquellos bordes más horizontalizados del Tipo B1, que, a su vez, presentan un mayor desarrollo del Peralte Exterior Saliente.

El Subtipo que resta de B1, B1d, se sitúa en torno a los valores de 0 en la Primera Componente (-.30 a +.40), siendo el prototipo de mayor equilibrio en las razones Verticalidad /Horizontalidad, Peralte Superior Marcado/NO Marcado y Peralte Exterior si/no manifiesto.

Como hemos podido observar, la ordenación subtipológica del ACL, registra y recoge, perfectamente, el recorrido morfológico de un tipo cerámico de bordes ligeramente exvasados y verticalizados, que forma el largo cuello de grandes recipientes ligados a una actividad de almacenaje de grandes dimensiones, como refleja los amplios diámetros de su abertura, que oscilan entre 26 y 42 cm. Esta aparente oscilación diametral, coincide, a su vez, con el desarrollo morfológico, al homologarse los prototipos de menor Peralte Superior, como B1b y B1a, con diámetros entre 36 y 42 cm., mientras aquellos de mayor Peralte y menor Horizontalidad, como B1d y B1f, se asocian con los diámetros entre 26 y 30 cm., descendiendo así, con la Segunda Componente, la abertura y el potencial volumétrico en la derivación subtipológica.

Cronológicamente, también, presentan un perfil no menos interesante, pues, este Tipo B1 es el único de la muestra que se asocia a las tres Fases de AB (Fases VI-VII-VIII), suponiendo los prototipos más

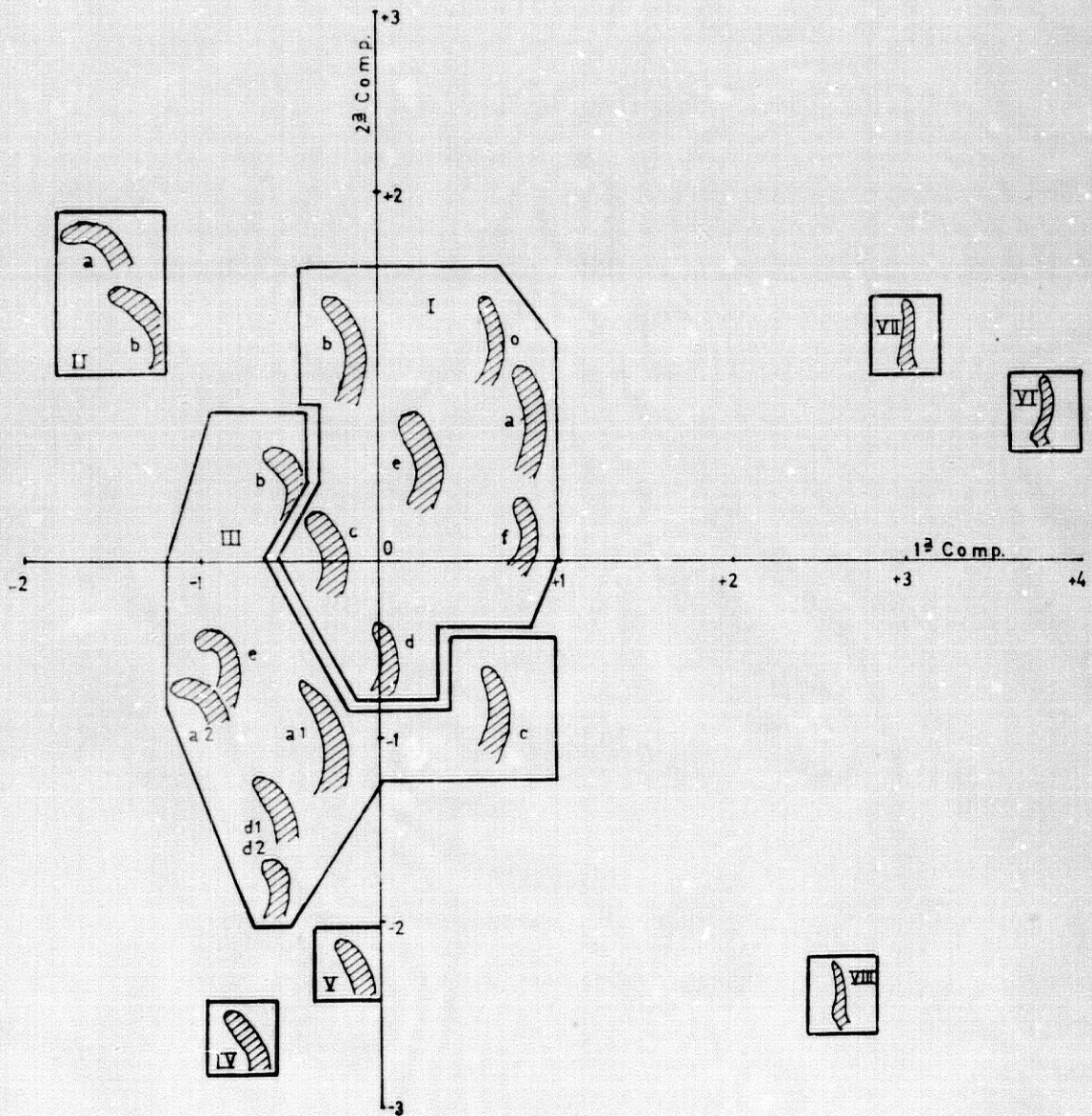


FIG.IV,24 FORMA 3
Distribución de Tipos en el ACP.

antiguos del registro y cuyo origen se encuentra en el desarrollo del borde hacia formas verticalizadas de la Forma "C".

Así, BIc, BId y BIb, son esos prototipos permanentes a todo el desarrollo cronológico de la Forma "B", surgiendo en la Fase VI, con la oscilación de diámetros que ya hemos observado, mientras el resto de los Subtipos presentan un perfil cronológico mucho más preciso. Así, los Subtipos BIa y BIb, serán los prototipos de BI que irrumpen y definen la Fase AB VII, suponiendo el incremento de una forma que supone una mayor Verticalización del borde frente a la Fase VI, donde BI se ordenaba en una relación intermedia entre la Verticalidad y la Horizontalidad.

En la Fase ABVIII, encontramos, también, a los Subtipos BIc, BId y BIb, con la desaparición de aquellos como BIa y BIb, que definían la Fase VII, desapareciendo con ellos la Verticalización del borde del Tipo BI. En la Fase VIII aparecerá un nuevo Subtipo, BIIe, que se ciñe a la tendencia en el equilibrio entre Horizontalidad y Verticalidad, que caracterizaba a la Fase VI.

Tipo BII. (Fig. IV, 24)

El Tipo BII, representa el desarrollo de bordes mucho más concretos en la definición morfológica, que en el caso anterior, ordenándose, en la Primera Componente, entre los valores de -1.20 y -1.60, y en la Segunda, entre +1 y +1.90, valores que marcan para este Tipo una mayor Horizontalidad, como refleja la relación $y > x$, desarrollando, consecuentemente, un marcado Peralte Exterior Saliente (E y F) y eliminando el Peralte Superior (C y D).

Los dos Subtipos que define el ACL, aquí se centran, preferentemente, en la tendencia de Horizontalidad, con una interesante fijación cronológica. Así, BIIa, supone el prototipo de borde más horizontalizado, con una precisión cronológica exclusiva de la Fase VII de AB, mientras, BIIb, supone los prototipos menos horizontalizados dentro de la máxima Horizontalización del Tipo BII, con un desarrollo cronológico exclusivo de la Fase VIII de AB. En ambos casos, se define un recipiente de similares características (grandes orzas de cuello marcado y vuelto), oscilando sus diámetros de abertura entre los 20 y 30 cm., como una de las variantes de BI, pero, frente a aquella y en este caso, el borde se exvasa de forma saliente.

Tipo BIII. (Fig. IV, 24)

El Tipo III de la Forma "B", puede definirse, en cierto modo, como una continuidad de BI en el desarrollo de prototipos de borde más horizontalizado y en una continuidad en la Primera Componente. Este nuevo Tipo, oscilaría hasta valores de -1.20. Frente a BI, supone un mayor desarrollo de los Peraltes Superior y Exterior, como registran en

la Segunda Componente, los valores, que llegan a alcanzar $-.20$.

A este proceso morfológico, se ciñen los Subtipos de BIII, que define el ACL, como es el caso de BIIIc, que situado entre los valores de $+0.30$ a $+0.50$, en la Primera Componente, marcan los prototipos de borde más verticalizado.

El resto de los Subtipos, muestra, sin embargo, la distribución de BIII en la Segunda Componente, y con ella, el desarrollo de formas de Peraltes Superiores más definidos, desde BIIIb, con una oscilación en la Segunda Componente entre $+0.20$ y $+0.90$, pasando por BIIIa y BIIIe, de Peraltes Superiores ya indicados, o como en el caso de BIIId, que supone uno de los prototipos de mayor Peralte Superior, con valores en la Segunda Componente entre -1.00 y -2.00 , con una oscilación progresiva que define sus dos Variantes del ACL (BIIId1 y BIIId2).

Las formas que define BIII, se hallan entre los bordes del Tipo BI y BII, si bien con un Peralte Superior más desarrollado, siendo bordes algo más horizontalizados, sólo en el caso de BIIIc, pues, son siempre prototipos verticalizados similares a BI, de recipientes de un tamaño algo más reducido y cercano a BII, con diámetros que oscilan entre 35 y 21 cm., siendo los prototipos más horizontalizados los que reflejan los diámetros menores, de forma similar a como ocurría en BI, como es el caso de BIIIe y BIIIa2.

Tipos BIV y BV. (Fig. IV, 24)

Presentamos juntos los casos IV y V de la Forma "B", puesto que suponen una única tendencia que ya anuncia BIIId, como es el aumento del Peralte Superior dentro de los prototipos situados entre Verticalidad y Horizontalidad ($x=y$), con una clara ausencia del Peralte Exterior Saliente y unos valores en la Primera Componente entre 0 y -0.40 , y en la Segunda, entre -2.60 y -2.10 , marcando el límite del Peralte Superior de los Tipos de la Forma "B". Esta oscilación, que retoma el Tipo BIII, se observa en los Subtipos que define el ACL, pues, en un siguiente nivel de asociación quedarían unidos BIV-BV y BIII, como parte de un mismo concepto de prototipos de recipientes que entran en la escala de diámetros de abertura con el Tipo BII y los valores más bajos de BIII, con una cronología no menos precisa, situándose, tanto BIV como BV, y con exclusividad, en la Fase VII de AB, que nuevamente se revela como una etapa de gran desarrollo de formas cerámicas derivadas sobre tendencias anteriores.

Tipos BVI y BVII. (Fig. IV, 24)

Como ocurría en el caso anterior, la gran similitud entre los Tipos VI y VII de la Forma "B", así, como su escasa representación numérica, nos ha llevado a definirlos conjuntamente. Estos Tipos representan los bordes más verticalizados del muestreo, con un desarrollo en la

Primera Componente entre +3.00 y +4.00, respectivamente, hecho que los diferencia con claridad de los Tipos anteriores. La escasa representación numérica no permite precisar más sobre su tendencia, salvo su neta diferenciación respecto a los tipos BI, BII, BIII, BIV y BV, también, marcada en el desarrollo de unos diámetros de abertura mucho más reducidos y que se sitúan entre 15 y 17 cm., y la presencia de un viejo elemento ya olvidado, las líneas de carenación. Su singular fijación cronológica, adscribiéndose con exclusividad a la Fase VIII de AB, hace de estos vasos carenados, de pequeñas dimensiones, un elemento de cronología altamente significativos.

Tipo BVIII. (Fig. IV, 24)

El Tipo BVIII, representado sólo por un individuo, muestra una tendencia similar, en la Primera Componente, a los Tipos BVI y BVII, con altos valores en la Verticalidad del borde (+2.60), pero, sin embargo, y frente a estos, con un Peralte Superior más desarrollado, aunque no alcance los valores de los Tipos BII y BIII (-2.40). Se trata, por tanto, de un prototipo muy similar a BVI y BVII, a nivel cronológico, pues, se ciñe exclusivamente a la Fase VIII de AB. Formalmente, también lo es, pero, en este caso, con un menor tamaño, como refleja su diámetro de 7 cm., aunque en él, la presencia de una marcada línea de carenación, lo adscribe a los anteriores, en la ruptura formal y, también, funcional, como podemos precisar de su perfil volumétrico.

* * *

La aplicación del ACP, no solo ha podido delimitar las características formales de la seriación tipológica del ACL, sino contrastar, en torno a un 70% de Varianza, la perfecta definición de cada uno de ellos. En la Figura IV, 24, podemos observar la representación de los prototipos de cada agrupamiento y, con ello, identificar gráficamente la importancia de los índices originales para la seriación de los conjuntos y tendencias dentro de una forma muy homogénea (B), que, tradicionalmente, se ha definido como recipientes de borde vuelto. Ha sido a partir de este desarrollo como hemos podido definir la lectura de su variabilidad, con la existencia de cuatro grandes bloques.

El primero de ellos, y representado a lo largo de la intersección de los dos ejes, muestra una amplia oscilación entre el tratamiento del labio para prototipos donde Verticalidad y Horizontalidad del borde muestran una gran compensación (Tipos BI, BIII, BIV y BV). Frente a éstos, y cuando el borde se define hacia una mayor Horizontalidad o Verticalidad, las diferencias tipológicas son mucho más marcadas. Así, en las formas Horizontalizadas (Tipo BII), adquieren un mayor desarrollo los Peraltes Exteriores, que son marcadamente vueltos, con un clara reducción del Superior. Por su parte, y en los casos de

bordes verticales (Tipos BVI, BVII y BVIII), que se distribuyen en los valores más altos de la Primera Componente, sus características morfológicas son dobles, pues, con el aumento de la Verticalidad, los Peraltes Superiores pueden aumentar (Tipo BVIII) o disminuir. En todo caso esta tendencia (Tipos VI, VII y VIII), refleja un concepto muy diferente del resto de los que componen la Forma "B", pues, con sus reducidos tamaños, lo que están definiendo es otro concepto de recipiente, caracterizado por líneas de carenación, que definen los pequeños vasos, propios de una época (Fase VIII) de gran incidencia de nuevas ideas cerámicas, que como consecuencia de una mejor precisión en el Sureste, erróneamente, y siguiendo el Normativismo de los Paralelos, se han definido como elemento fundamental de una aculturación llamada Argarización.

La consecuencia de esta fijación tipológica, es su gran valor interpretativo como argumento de cronología relativa, de gran significación y homologación para los registros superficiales, permitiendo buenos y concretos niveles de sincronía.

Los bordes que hemos estudiado, sólo se asocian al yacimiento de AB y, en concreto, a sus Fases VI, VII y VIII, coetáneas, respectivamente, a las Fases I, II y III de CT y I y II, para ABVI y ABVII, de C, siempre dentro de la Campiña Occidental.

Una fecha de C14, en la Fase I de CT, marca para el origen de estos Tipos una cronología del Siglo XIX BC. (1880 +/- 100 BC). Desde aquí, podemos establecer una interesante tabla cronológica (Tabla IV,10).

AB FASES		
VI	VII	VIII
BIc	BIc	BIc
BIe	BIb	BIb
BIId1	BIId1	BIId1
	BIa	
	BIf	
	BIIa	
	BIIId1	
	BIIId2	
	BIIIb	
	BIIIe	BIIIe
	BIIId1	
	BIV	
	BV	
		BIId2
		BIIIa2
		BVI
		BVII
		BVIII

(Tabla IV,10)

Una lectura detenida de la Tabla IV,10, nos permite observar la clara continuidad, para el Primer y Segundo Cuarto del Segundo Milenio BC. (ABVI-VII-VIII), del Tipo BI, en sus Subtipos y Variantes de mayor equilibrio en la relación Horizontalidad/Verticalidad (B1o B1b y B1d1), con Peraltes Superiores marcados.

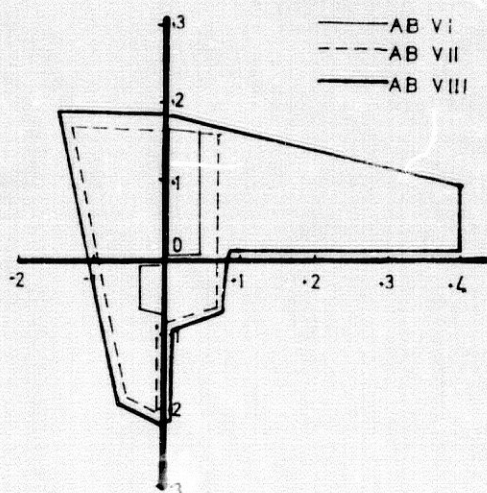
En las siguientes Fases, la aparición de nuevos Tipos y tendencias marcan la oscilación morfológica de la Forma "B" en las Campiñas.

En la Fase VI de AB, los recipientes de la Forma "B", dentro de su conjunto, suponen sólo un 7.27%, bajo nivel, que documentan la evolución de un nuevo tipo cerámico, que, en el registro total de las formas de esta Fase, no supera el 1%. Si escasa es su representación numérica, en los momentos más antiguos, donde esta forma surge a partir de la Verticalización del borde en las ollas globulares de la Forma "C", no es mayor su variedad formal, pues, sólo refleja un único Tipo, el BI, con una tendencia constante en el equilibrio entre la Verticalidad y Horizontalidad del borde, y una, también, homogénea morfología del labio hacia los Peraltes Superiores en el contacto del plano de la boca. La tendencia general de la distribución por fases, muestra el aumento de la Verticalidad y los Peraltes Superiores tras un aumento de la Horizontalización. Esta gran homogeneidad inicial, y su baja representatividad, sin duda alguna, muestra el proceso formativo de los recipientes de la Forma "B", claramente asociados a los procesos de almacenaje, al convertirse en los prototipos de mayor capacidad volumétrica, con diámetros de abertura que superan los 40 cm., y como, también, podemos observar en estas fases, en los análisis de distribución funcional de los recipientes (Nocete et alii 1986). Frente a la olla, el desarrollo de un pequeño cuello, marca las posibilidades de contención algo más diversificadas.

En la Fase VII de AB, la continuidad tipológica de la Fase VI, muestra la continuidad, también en el tiempo, de las funciones que estos recipientes vinieron a suponer a Principios del Segundo Milenio BC. Sin embargo, nuevas soluciones morfológicas, al menos en el tratamiento del borde y el labio, muestran su gran éxito y generalización en el repertorio cerámico, con un aumento sobre la muestra de la Forma "B" para esta Fase, que supera el 56%, aumento altamente significativo si observamos que más del 10% de todas las formas cerámicas, representadas en AB, durante la Fase VII, incluidas las Formas "A" y "C", pertenecen a la Forma "B" y, con ella, a un gran desarrollo de variados sistemas de almacenaje y, también, al desarrollo de una mayor movilidad del excedente, que documenta y exige la complejidad del Territorio (Capítulos I y V). Sin embargo, la aparición de nuevos Tipos, bien puede ser el reflejo de la consolidación de estas formas de recipiente. Ahora, ya en la Fase VII junto a los prototipos que definían la época anterior, aparecen nuevas soluciones dentro de su misma oscilación, como es el caso de los Subtipos - a y f- del Tipo BI, y la aparición de algunos nuevos como BIIa, BIIIa, BIIIb, BIIIe, BIV y BV. La oscilación en el ACP de estos nuevos prototipos se hace eco de los cambios formales, donde domina la aparición de bordes más horizontalizados con la irrupción del Peralte Exterior.

Por último, y en la Fase VIII de AB, junto a la continuidad de los

prototipos originales de la Fase VI, que siguen mostrando su enorme validez, asistimos a grandes cambios tipológicos cualitativos y cuantitativos. Aunque la muestra se ha reducido sensiblemente dentro de la Forma "B", al no superar el 37%, sin embargo, refleja un aumento general respecto a las Formas "B" y "C", al ocupar más del 40% del total de las formas cerámicas en esta Fase, remarcando la gran importancia que el desarrollo de las formas compuestas adquiere hacia la Mitad del Segundo Milenio BC. Pero ahora, estas características, no sólo se van a centrar en recipientes volumétricamente asociados a actividades de almacenaje, desarrollándose, fundamentalmente, en los niveles del consumo, como muestra el descenso de sus diámetros (Tipos BVI, BVII y BVIII) a valores inferiores a los 15 cm., definiendo nuevas formas como los tradicionales pequeños vasos carenados, que en la Campiña, y frente a otras áreas del Alto Guadalquivir, se caracterizarán por un hecho significativo, como es que el diámetro de abertura es inferior al de carenación. La desaparición de los Tipos y Variantes dentro de los grandes volúmenes que definían la Fase VII, y el nuevo desarrollo en esta faceta de Tipos como BIIb, BIIIa2 y BIIIId2, muestran, junto a BVI, BVII y BVIII, que las pautas morfológicas han variado sensiblemente desde una tendencia a la Horizontalidad a otra completamente opuesta y hacia la Verticalidad, también, manifiesta en Formas como "A". Con estas nuevas tendencias, los Peraltes Exteriores, también, desaparecerán en favor del desarrollo del Peralte Superior, y con todos ellos, la evolución formal hace coincidir en el sentido de las agujas de reloj (Fig. IV, 25) el paso del tiempo y la morfología del borde.



(Fig. IV, 25)

Sin embargo, el elemento más definitorio del gran cambio o ruptura que significa la Fase VIII, viene a hacerse eco, al igual que ocurría con la Forma "A", de la apertura del mundo de las Campiñas hacia nuevos conceptos cerámicos, originariamente no propios de su tradición, y sin ninguna relación genética, como las formas carenadas que pone en relación a esta área con el mundo oriental del Alto Guadalquivir.

IV.5. FORMA C.

V.5.1. Fijación de Tipos: el ACL.

Como realizamos en los casos anteriores, el AM, nuevamente, es requerido para el análisis de la Forma "C" (Listado IV,7). El uso del ACL (Listado IV,8) para la definición, mediante sistemas de asociación, de una tipología (niveles de agrupamiento) significativa sobre una muestra de 392 individuos pertenecientes a los yacimientos de AB, PZ y PT (Tabla IV,11), ha aportado unos resultados sumamente interesantes.

FASES	CASOS	NUMERO	%
AB I	1-12	12	3.06
II	13-39	26	6.63
III	40-51	11	2.80
IV	52-91	39	9.94
V	92-137	45	11.47
VI	138-200	62	15.81
VII	201-279	78	19.89
VIII	280-305	25	6.37
PT	306-357	51	
PZ	358-392	34	

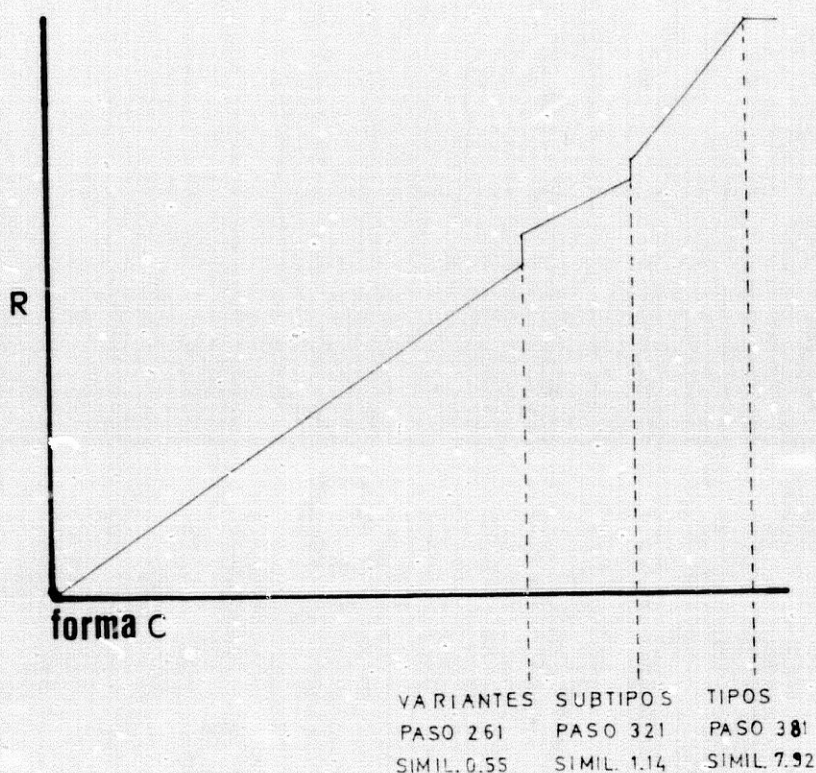
(Tabla IV.11)

En la seriación de AB, podemos observar como "C" es una Forma de origen en la Fase I, que, sin embargo, adquiere su desarrollo tras la Fase IV hasta culminar en la Fase VII, siendo VIII una nueva ruptura a nivel numérico, coincidiendo con cambios materiales que hemos detectado en otros niveles del análisis cerámico.

En el análisis del ACL, y en la definición de agrupaciones por similitud, que generan la base de una tipología, los seis índices que definen la morfología de los bordes, nos permiten un excelente nivel comparativo, que revela la significación de éstos, para la perfecta diferenciación de los individuos, como demuestra el hecho de que el 96.42% de los casos quedan agrupados en un altísimo nivel de similitud (7.92), donde se sitúa la última ruptura (codo) en la recta acumulativa de los valores de R (Fig. IV,26), nivel que hemos elegido como punto de partida para la definición de los agrupamientos mayores que denominamos Tipos (paso 378, nivel de homogeneidad 7.92).

En este último codo que definen los valores de R, podemos precisar un total de 12 Tipos o niveles máximos significativos de agrupación, que recogiendo más de un 96% de los casos, se han definido mediante una

numeración latina entre I y XII.



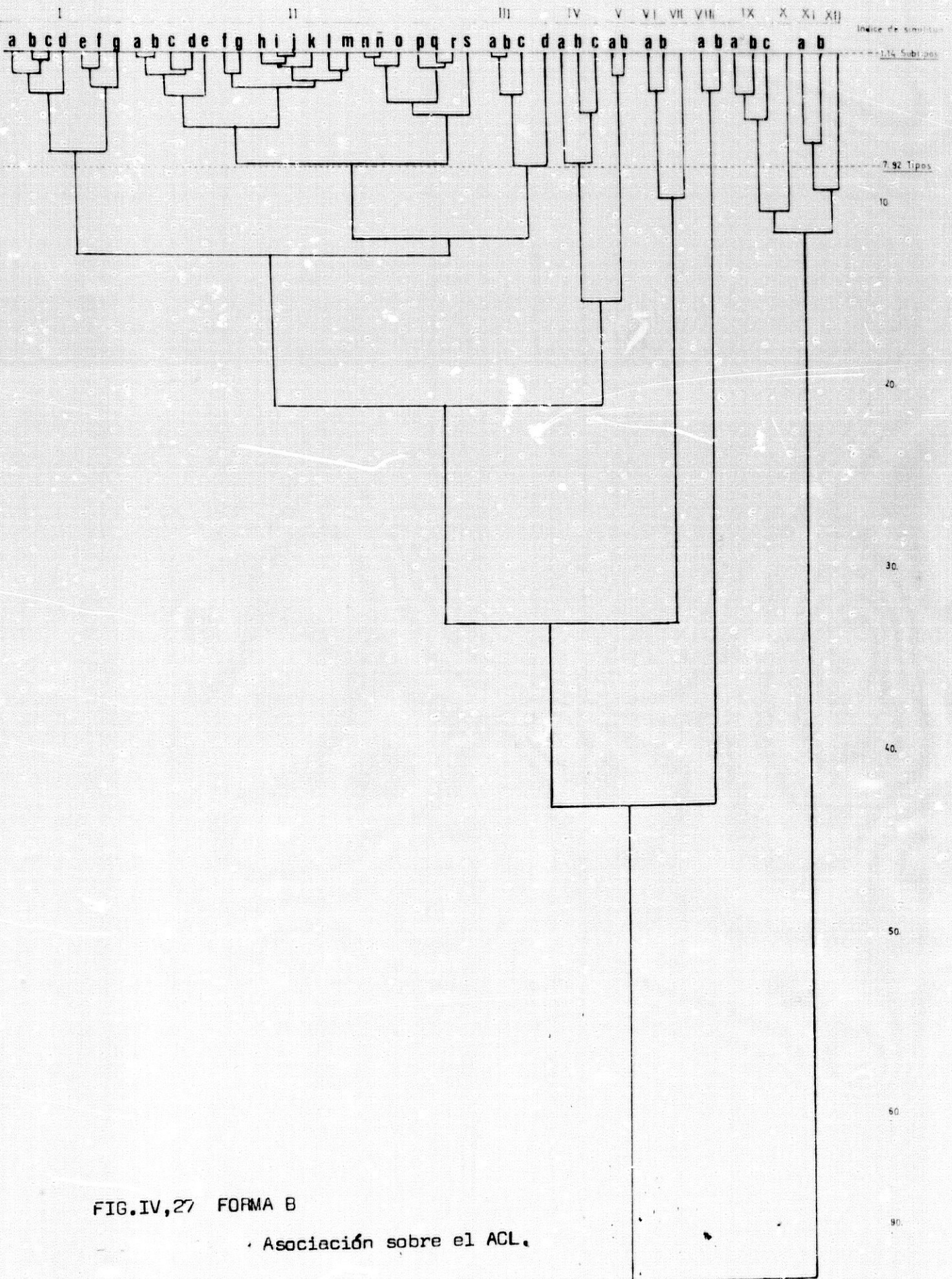
(Fig. IV, 26)

En la correlación de todas las asociaciones (Fig. IV, 27), podemos observar como se estructuran los Tipos. Así, en torno a 8, XI y XII se unen, y en torno a 9.50, X y XI y VI y VII. En torno a 11, II y III y en 12, a éstos se une I. Progresivamente, IV y V y, después VI, VII y VIII se unirán a I, II y III, significando antes del valor 50 dos grandes grupos, el anterior y IX, X, XI y XII, tan diferenciados, que habrá que esperar a bajísimos niveles de asociación, como el valor 92, para que todos los casos queden agrupados.

En el siguiente codo de los valores de R (Fig. IV, 26), y en el paso 321, que supone la unión del 81.88% de los casos, encontramos un altísimo nivel de asociación (1.14) y un segundo nivel de descripción y diferenciación de los Tipos que hemos definido como Subtipos, descritos alfabéticamente.

El último codo a describir, y el primero en los valores de R (Fig. IV, 26), es el situado en el paso 261, con un valor de asociación de (.55), que permite definir un tercer nivel que hemos considerado como de Variación, para describir la oscilación de los Subtipos, asignándole una numeración arábiga 1, 2, 3...n.

En esta triple escala de asociación, la ordenación de los individuos podemos matizarla como sigue (Tabla IV.12):



-
- CI a1(1,14) a2(6,11,12,366,70,260,95,183,351,360,374)
a3(79,349,387,222,370,130) b1(4,270,324,7,119,117,331,353,320)
b2(190,347,224) c1(16,383,84,295,122,269) c2(317,293,392,309,375)
c3(337,340) d1(10,342,68) d2(23,343,362,305,329) d3(290,297)
d4(306) d5(66,180) e1(75) e2(146) e3(313) f1(322,326) f2(341,352,
368) g(226)
- CII a1(2,166,332) a2(28,334,164,316) a3(97,344) b1(17,27,144,120)
b2(137,159) b3(22,113,174,211) c1(3,48) d1(13,21,200,37,247,202,
37,169,379,143,151,288,147,230,310,390) d2(26,101,30,31,32,156,41
49,25,) d3(25,272,168,319,365,328,389,348,376,29,378,237,185,186,
247,333,371,372) d4(73,330) e1(38,363) f1(5,256)f2(33,175,153,199
g1(43,51) h1(8,83) h2(36,258,46,77,286,105,129,102,167) i1(15,165
184,80,230,96,136) i2(58,104,196,330,250,294,244) i3(20,24,150,
192,281,364,197,138,315,308) i4(115) j(112) k1(14,34,57,35,45,205
62,123,52,91,88,121,93,131) k2(56,193,226,251,212,177,232,254,124
271,282,155,284) k3(106,126,245,274,283) l(19,103,55,127,116,63,
255) m1(54,321,194,219,345,81,120,252,85,172,210,86,158,291,257)
m2(71) m3(109) n1(9,94,388,135,128,157,65,221) n2(108,207,161,204
216) n3(78) n4(39,100,249,108,132,111,134,133,240,61) ñ(171,248,
259) o1(53,98,189,118,218,90,213,162,239) o2(142,246) p1(40,225,
195,60,160,233,139,148,178,203,262,214,275) p2(49,64,110,235,238,
261) p3(50) q(44,279,69,89,59) r1(67,87) r2(141,149,253,303)
s(92,237)
- CIII a(173,206) b(229) c(373) d(312,336)
- CIV a(176,276,217) b(336,355) c(273)
- CV a(72) b1(264,74,107) b2(140,154)
- CVI a(201) b1(215,231,225) b2(277) b3(243)
- CVII (302)
- CVIII(227)
- CIX a(174,307,287) b(289,300,391,296,298) c1(181,299,361) c2(187,276)
c3(285) c4(354381) c5(367)
- CX (267,268)
- CXI a1(292,385,369) a2(318,356,387) a3(335,346,377) b(314,325,386)
- CXII (336,382)
-

(Tabla IV.12)

V.5.2. Descripción de los Tipos: ACP.

Para la correlación y fijación de cada uno de los tres niveles de agrupamiento que venimos manteniendo (Tipos, Subtipos y Variantes), y en torno a los cuales hemos ordenado la muestra (Listado IV,7), así, como para su descripción y definición, en función de los índices originales, recurrimos, nuevamente, al valor exploratorio del ACP (Listado IV,9).

Sobre el espacio 6 dimensional que generan los índices originales, los Valores Propios de las Componentes y los porcentajes de Varianza (Tabla IV,13), nos permiten definir, con claridad, que en las dos primeras, podemos acceder a un buen nivel analítico, al sumar éstas,

en los porcentajes de Varianza Acumulada, un total de 80.75452%, siendo de ellas la Primera la dominante, con un total de 60.71391% de Varianza.

VALORES PROPIOS	% DE VARIANZA	% DE VARIANZA ACUMULADA
3.64291	60.71391	60.71391
1.20246	20.04062	80.75452
.80956	13.49249	94.24701
.24201	4.03349	98.28044
.10319	1.71974	100.00018
-.00001	-.00021	99.99997

(Tabla IV,13)

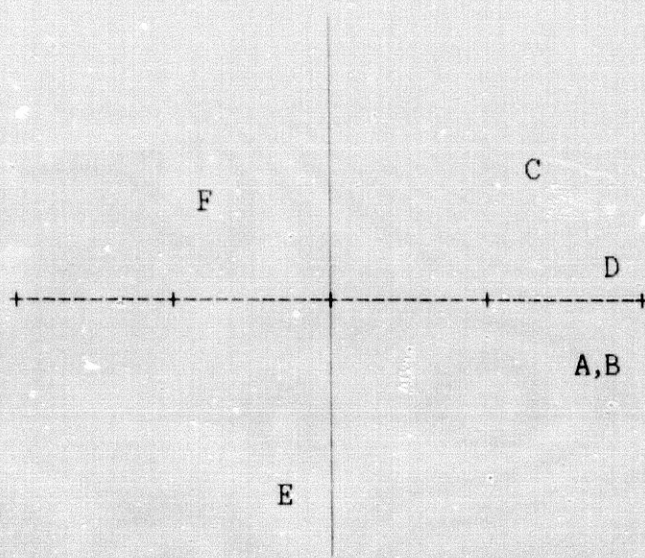
En este magnífico nivel de correlación de los índices originales, que presenta la Primera y Segunda Componente, podemos confirmarla sobre los valores de cada uno de los índices, en la correlación de las 6 Componentes del espacio 6 dimensional (Tabla IV,14). Como podemos observar en este cuadro, en la Primera Componente, y al igual que ocurría con la Forma "A", los cuatro primeros índices están perfectamente documentados, con valores que superan .90, salvo el caso del índice C, que con un valor de .69296, comparte su descripción con los .54333 de la Segunda Componente, donde, también, se definen los índices originales E y F.

COMP.	INDICES					
	A	B	C	D	E	F
1	.962	.962	.692	.939	-.101	-.645
2	-.134	-.134	.543	.132	-.778	.497
3	-.017	-.017	-.401	-.087	-.614	-.512
4	-.231	-.231	.186	.171	.078	-.253
5	.029	.029	.169	-.251	.003	-.096
6	-.000	-.000	-.000	.000	.002	-.002

(Tabla IV,14)

En la Primera Componente se define, fundamentalmente, la Verticalidad/Horizontalidad del borde, como ya ocurría con la Forma "A", con una fuerte presencia de los índices A y B, ordenándose los bordes verticalizados en los valores positivos de esta Componente, mientras los horizontalizados en los negativos. Como consecuencia, el Peralte Superior, con la posición de (y) respecto a (x), se define entre los valores positivos de la Primera Componente (índices C y D) y los positivos de la Segunda, mientras el Peralte Entrante del labio se

define, por tanto, en los bordes más horizontalizados, y en los valores negativos de la Primera Componente, oscilando la estructura de la Peraltación en la Componente Segunda (índices F y E) (Fig. IV,28).



(Fig. IV,28)

Desde este orden, la fijación de los Tipos en el ACP (Fig. IV,29), nos permite describir las características de cada uno de ellos.

Tipo CL (Fig. IV,29)

El primer Tipo que define el ACL, en la Forma "C," es uno de los cuantitativamente mejor definidos. Situado con valores, en la Primera Componente, entre 0 y +1.60 y, en la Segunda, entre +1.20 y -2.20, nos muestra el primer nivel de bordes verticalizados, donde $x > y$, con la presencia de los índices A y B. Sin embargo, será el gran desarrollo, en la Segunda Componente, el que mejor definirá su morfología y su oscilación en los índices C y D, en función a la posición de (y) respecto a la trayectoria de (x) (Peralte Superior). A ambas oscilaciones se acogen los Subtipos definidos por el ACL.

Así, por ejemplo, CIa y CIId, nos definen en los valores positivos de ambas Componentes, el desarrollo de los prototipos de mayor Peralte Superior, dentro de la Verticalidad del borde del Tipo CI y la ausencia del Peralte Interior (índices E y F).

CIa, en los valores de la Primera Componente, entre 0 y +.90, y, en la Segunda, entre 0 y +.60, muestra los prototipos más verticalizados. En su desarrollo cronológico (ABÍ, LPZ y PT/ABIV, ABV y ABVII), encontramos una ruptura, pues define las cronologías más antiguas del Primer Cuarto del Tercer Milenio, y la Segunda Mitad del Tercero y el Primer Cuarto del Segundo BC., cronologías que, también, responden a un elemento que, constantemente, observamos en el Tipo I, y es la existencia de prototipos de recipientes bien diferenciados que se

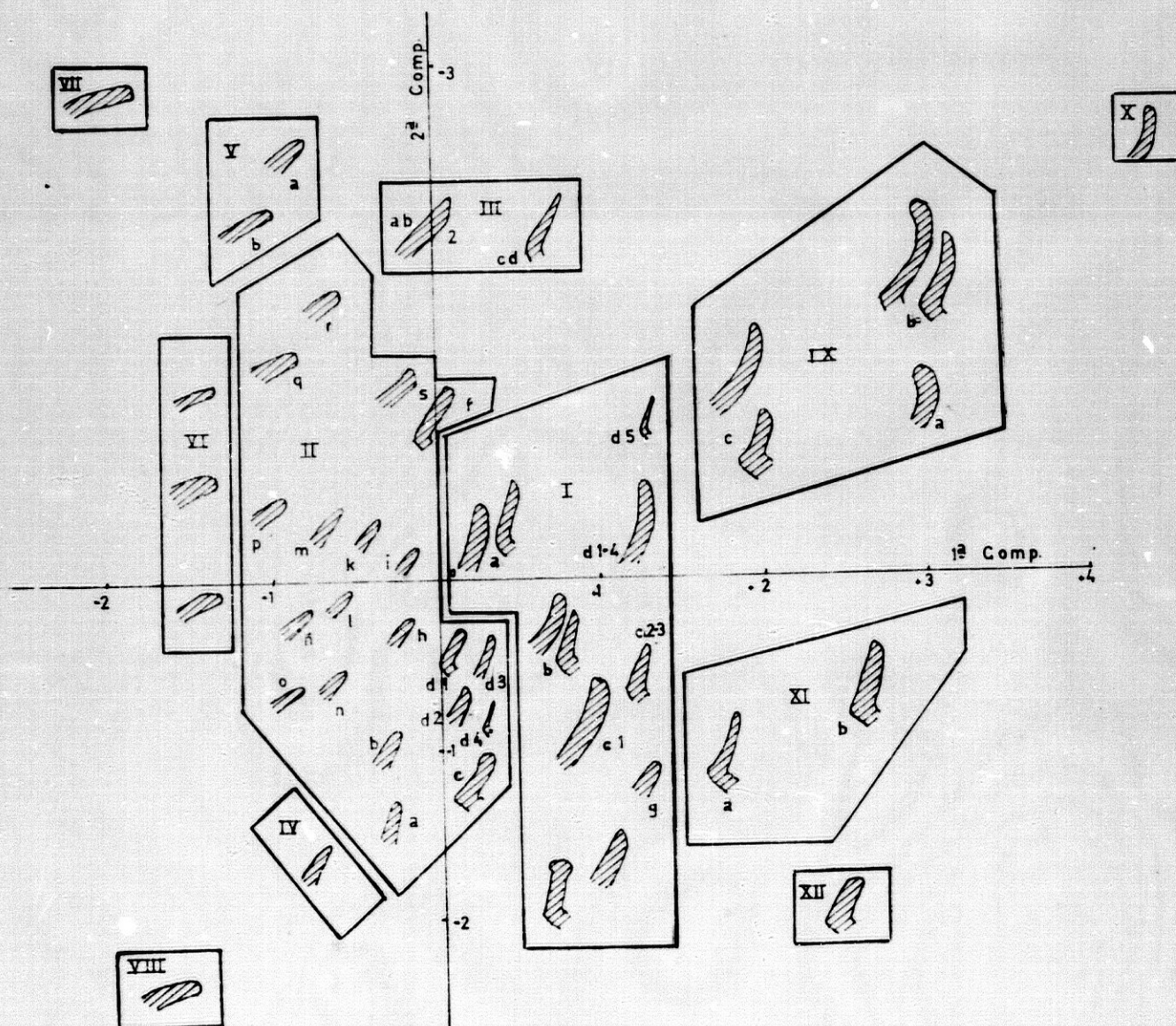


FIG.IV,29 FORMA C
Distribución de Tipos en el ACP.

adscriben a esa ruptura cronológica. Así, coincidiendo con ABI, PT y PZ, asistimos al desarrollo de "fuentes carenadas" de paredes y borde entrante, con diámetros que oscilan entre 17 y 24 cm., y que contrastan con sus homólogas de paredes rectas (Forma "A"), que observamos, oscilan en torno a los 40 cm. de diámetro, como en el caso de los Tipos AI, de similar cronología. El segundo prototipo que coincide con el desarrollo de las Fases ABIV a ABVII, representa grandes vasos de borde ligeramente entrante, en esa gran verticalidad que define el Tipo CI, con diámetros en torno a los 30 cm., mostrando el desarrollo de procesos similares en la Forma "A", como es el caso de los Tipos AVI y AVII, que muestran la evolución de los clásicos recipientes de paredes rectas y "fondo de saco" (AV), propios del Neolítico Final. Así, en CIa, dos tradiciones evolutivas unen un mismo concepto de borde.

CI_d presenta una estructura similar de Peralte Superior que CIa, pero en este caso, la diferencia se manifiesta al tratarse de prototipos de bordes con una verticalidad más marcada (valores en la Primera Componente entre +1.00 y +1.60), presentando una caracterización cronológica y morfológica, similar al caso anterior, con la diferencia de alargar en el tiempo su casuística a la Fase ABVIII, en una oscilación de Variantes definidas en el ACL, que recogen exactamente una cronológica oscilación. Así:

CI_d1= ABI y PTI
 CI_d2= ABII, PTII y PZ
 CI_d3= ABVIII
 CI_d4= PT
 CI_d5= ABIV-VI

Se mantiene la ruptura que, anteriormente, definía CIa, con la diferencia, tras ABVI y hasta ABVIII, de un desarrollo mayor de la Verticalidad, formando prácticamente un cuello recto que se sitúa en la formación y desarrollo de la Forma "B", en sus prototipos más antiguos y que corresponden a la Fase ABVI. Podemos señalar, también, la marcada reducción en tamaños de estos prototipos para la Fase ABVIII, pues, sus diámetros de abertura se ciñen a una oscilación entre 15 y 20 cm. para estos vasos globulares, donde la Verticalización del borde entrante, genera un auténtico cuello. Esta reducción volumétrica de la Fase VIII, puede indicar la diferencia entre estos prototipos, de aquellos, que generarán la Forma "B" en dicha Fase, de labios vueltos y salientes, de mayor volumen y asociación a una contención netamente superior y orientada al almacenaje (Nocete 1984c; Nocete et alii 1986).

Por último, dentro de CI_d5 y, coincidiendo con la Fase IV, asistimos al desarrollo de unos prototipos similares a los anteriormente descritos, pero miniaturizados, con diámetros de abertura que, en ningún caso, superan los 7 cm., de superficies altamente cuidadas y bruñidas, paralelos a los prototipos de variantes cilíndricas y carenadas de la Forma "A" en similares momentos cronológicos, como podemos observar en el yacimiento de PZ (Capítulo I).

Dentro del Tipo I, y con similares valores de Verticalidad del borde que CIa y CI_d, pero con un desarrollo en los valores negativos de la

Segunda Componente y, por tanto, en la reducción del Peralte Superior, asistimos a la ordenación del resto de los Subtipos, b-c-g-e-f, que en este orden definen la tendencia.

C1b, con valores en la Primera Componente entre +.30 y +.90 y, en la Segunda, entre -.30 y -.60, conserva una Verticalidad similar al Subtipo C1a, pero con un más reducido Peralte Superior, volviendo a una repetida distorsión cronológica y morfológica entre las formas antiguas de prototipos carenados, pertenecientes a ABI y PT, como define su variante del ACL, C1b1, de Principios del Tercer Milenio BC., frente a la segunda, de vasos globulares de borde verticalizado, que indican el cuello en la Primera Mitad del Segundo Milenio BC., como muestra la Variante del ACL, C1b2 (Fases ABVI-VII), siendo dos tradiciones diferenciadas sin continuidad ni proyección, que sólo coinciden en la morfología de la verticalidad del borde, pero, entre ellas, no existe ninguna relación morfogénica.

C1c, muestra los prototipos de mayor Verticalidad dentro de esta tendencia, con la reducción del Peralte Superior, dado que (y) se desarrolla y presenta sobre el inicio de la trayectoria de (x), mostrando, una vez más, la dicotomía cronológica y formal ya apuntada con anterioridad y, nuevamente, regida por las Variantes del ACL. Así, mientras C1c1 recoge y aúna ambos casos (carenados/globulares) y los dos desarrollos morfológicos diferenciados, C1c2 y C1c3, se centran en el primer caso, en el de los prototipos carenados, cronológicamente y en este caso, adscritos sólo y exclusivamente a PT y PZ, demostrando con ello y, una vez más, la existencia de dos facies morfocerámicas entre AB y PT-PZ a Principios del Tercer Milenio BC.

El Subtipo C1g, supone una mayor reducción en el Peralte Superior, con valores en la Segunda Componente, entre -1.20 y -1.40, coincidiendo con una mayor Verticalidad, como nos muestran sus valores en la Primera, situados entre +1.10 y +1.30. Este caso, centrado, sólo y exclusivamente, en la Fase VII de AB, muestra la diferencia clara de los prototipos globulares de borde verticalizado que forman prácticamente un cuello, siendo la Fase VII, no sólo la fijación clara de esta tendencia morfológica, sino la definición de una Fase, en AB, que, como observamos en el análisis de las Formas "A" y "B", supone un gran desarrollo en la creación de nuevos prototipos y tendencias morfológicas, y el florecimiento de amplios desarrollos técnicos sobre un tronco común.

En esta historia de tendencias morfo-cronológicas, prototipos como C1e y C1f, que definen, dentro de la Verticalidad, la ausencia de Peraltes Superiores, como revelan en la Segunda Componente las proporciones de -1.80 a -1.90 y -2.00 a -2.20, correlacionan una interesante fijación cronológica.

En el primer caso, C1e, marca las formas más antiguas de los vasos globulares de borde verticalizado, que indican el principio de un cuello, siendo los prototipos de mayor volumen, con diámetros en torno a 30 cm., los situados entre la Fase ABIV y ABVI, sin continuidad hacia ABVII, donde en todos los casos existe una reducción del diámetro porque sus funciones pueden estar más especializadas en una contención de menor volumen, siendo sustituidas, para contenciones

mayores por el desarrollo de la Forma "B", de la que emergen morfológica y cronológicamente. Sin lugar a dudas, aquí puede situarse el origen de la Forma "B", en prototipos de la Forma "C", que en torno a Mediados del Tercer Milenio BC., surgieron de la definición morfológica de una tradición evolutiva de recipientes asociados al almacenaje del antiguo Tipo AV, del Neolítico Final.

Por su parte, el caso CIf, se centra exclusivamente en las fuentes carenadas, y en concreto sobre los prototipos de PT, diferenciando, no sólo, una vez más, esta tradición que no presenta relación alguna con los vasos CIIe, y en este caso, diferenciados de ABI, reflejando los términos materiales de esas dos facies culturales que, a Principios del Tercer Milenio BC., se generaron tras la expansión de los colonos agrícolas de la Vega del Guadalquivir.

En estos prototipos de fuentes carenadas, cuyo origen se encuentra en Sevilleja, podemos advertir el origen de los platos de pestaña de la Forma "A", que tras la Fase II de AB, generaron la historia evolutiva, morfológico-genética, de las clásicas "fuentes de Labio Engrosado" de Fines del Tercer Milenio y Principios del Segundo BC. (AXIV, AXV, AXVI).

CI, al margen de suponer la génesis de la Forma "B" y de los Tipos XIII, XIV, XV y XVI de la Forma "A", establece en estos términos el bimorfismo material, diferenciado y, cronológicamente, evidente, de dos prototipos cerámicos netamente diferenciados en los bordes verticalizados de la Forma "C", como es el caso de las fuentes carenadas de borde entrante y los vasos globulares.

Tipo CII. (Fig.IV,29)

Paralelo a CI, pero del otro lado de los valores de 0, en la Primera Componente (de 0 a +1.20), el Tipo II marca la primera oscilación en la Horizontalización del borde, junto a un amplio desarrollo en la Segunda Componente (de +2.00 a -1.80), que coincide con la evolución morfológica del Peralte Superior, sin olvidar que junto a los prototipos de mayor Horizontalidad del borde, coincide el desarrollo (índices F y E) de los Peraltes Interiores o Entrantes, de un Tipo que es el mayoritario cuantitativamente, mostrando la evolución morfológica entre los vasos de borde entrante, verticalizado, con las clásicas ollas de borde entrante, horizontalizado, de amplia representación en las secuencias de Finales del Tercer Milenio y Principios del Segundo BC (Capítulo I).

Sobre estas amplias oscilaciones, las agrupaciones de Subtipos del ACL, muestran una serie de tendencias de gran interés.

La primera de ellas, que ejemplifican los Subtipos CIIa-b-c-d, se circunscribe a los prototipos de menor Peralte Superior, con los valores, en la Segunda Componente, más bajos del Tipo II (-.30 a -1.80), oscilando, en la Primera Componente, entre la Horizontalidad y la Verticalidad, con valores de +.60 a -.60, siendo - a y b - los

prototipos más horizontalizados y, - c y d -, los más verticales.

CIIa, supone el Subtipo más horizontalizado y de menor Peralte Superior, recogiendo los bordes de ollas escasamente horizontalizadas, en una cronología ininterrumpida entre las Fases I y VI de AB, mostrando prototipos que no permiten continuidad en la Fase VII, donde, sin embargo, encontraremos otros nuevos.

CIIb, con similares valores de Horizontalidad, muestra los prototipos de un Peralte Superior algo más indicado, con valores en la Segunda Componente de -1.20 a -.80, que recogen similares formas cerámicas que CIIa, pero con una cronología mucho más restringida al Tercer Milenio BC., como refleja su asignación a las Fases II, III y V de AB, en ollas escasamente horizontalizadas que bien muestran el origen de estas formas hasta la Fase VII de AB, donde la elección de tendencias más horizontalizadas pondrá fin a estos prototipos antiguos.

CIIc, paralelo a CIIa, en el escaso desarrollo de Peralte Superior, también, en formas de borde muy horizontalizadas, próximas a CIf, en sus valores entre 0 y +.20 en la Primera Componente, manifiestan una cronología muy homogénea dentro de las fuentes carenadas en los dos Primeros Cuartos del Tercer Milenio BC. (ABI a ABIII), volviendo a enlazar con el Tipo I y definiendo la diferencia en los bordes de las fuentes carenadas que forman los Tipos característicos del proceso de Colonización de la Campiña.

CIId, se sitúa paralelamente a CIIb, con un tímido Peralte Superior (valores entre -1.40 en la Segunda Componente), pero, en este caso, reflejando los prototipos más verticalizados de los bordes, con valores en la Primera Componente entre 0 y +.60, en una oscilación recogida en la progresión de sus Variantes en el ACL. Así, 1, 2, 3 y 4 suponen en CIId el aumento a la Verticalidad con un componente cronológico de gran valor, pues, CIId1 y 3, recogen todo el desarrollo cronológico de los prototipos de CI, y en sus dos variantes morfológicas, fuentes carenadas en las Fases ABI y II, PZ y PT, y los vasos globulares entre las Fases IV, VI, VII y VIII de AB. En el caso de las Variantes CIId 2 y 4, centran su cronología entre las Fases II y V de AB, en el primer caso, y, IV AB y PZ, en el segundo, redundando en las variantes de los momentos de cambio entre una tendencia y otra, destacando el caso de CIId4, como un prototipo miniaturizado de los vasos de borde verticalizado, con un tratamiento bruñido de la superficie en la línea de CIId.

Otra tendencia que refleja el ACP, sobre los resultados subtipológicos del ACL, son los casos CIIe-f-g-h-i, que definen en los valores próximos a 0, de la Primera Componente, los bordes situados en el umbral de la Horizontalidad y la Verticalidad, con una tendencia al aumento del Peralte Superior. Así, por ejemplo, CIIe, con valores en la Primera Componente entre 0 y +.20, y en la Segunda, entre -.20 y -.30, marca junto a CIIh el inicio del desarrollo del Peralte Superior bajo los prototipos de fuentes carenadas, con una cronología muy precisa para la Fase II de AB y PZ, situados en el Segundo Cuarto del Tercer Milenio BC. que morfológica y cronológicamente se sitúan próximos a CIa y, con ellos, define el momento siguiente a la Expansión Colonizadora, siendo un buen elemento de referencia en la

articulación estratigráfica entre AB y PZ. CIIh, marca un desarrollo algo más horizontalizado de la trayectoria CIa-CIIe, con valores en la Primera Componente entre -0.20 y -0.40 , con similar inicio del Peralte Superior que en CIIe, como reflejan sus valores en la Segunda Componente, situados entre -0.20 y -0.60 , mostrando la línea evolutiva de las ollas desde la Fase III de AB, donde se inician los prototipos más antiguos de la muestra, hasta la Fase VII, en una progresión que coincide con el aumento en la horizontalidad del borde y el inicio del Peralte Interior Entrante (índices F y E), que confiere una mayor globulosidad a la forma.

CIIi, marca el aumento del Peralte Superior, con valores en la Segunda Componente entre -0.20 a $+0.50$, y en la línea de horizontalización del borde de CIIh, como reflejan, en la Primera, valores entre 0 y -0.40 , siendo, también, ollas que marcan el inicio de la horizontalidad, y que, en este caso, abarcan un amplio desarrollo cronológico entre la Fase II de AB y la Fase VIII, de forma ininterrumpida, si bien, son dominantes los pertenecientes a las Fases IV y V, marcando la época de mayor auge de estas ollas, que irán siendo relegadas, tras la Fase VII, por nuevos prototipos de borde más horizontalizado.

CIIIf, junto a CIIIs, refleja los prototipos de mayor Peralte Superior de CII, con valores en la Segunda Componente situados entre $+0.80$ y $+1.20$, en formas entre la Horizontalidad y la Verticalidad, como reflejan sus valores en la Primera Componente, al situarse entre -0.20 y $+0.20$, que revelan la continuidad formal y cronológica del Tipo CI, en el desarrollo de la doble articulación entre las fuentes carenadas y los vasos globulares de borde verticalizado, también, de sus dobles cronologías, mostrando las Fases ABI y II, para el primer caso, y, las Fases VI y VII de AB, para el segundo.

CIIIs, recoge la trayectoria de CIIIf, con un marcado Peralte Superior más desarrollado, como reflejan sus valores, en la Segunda Componente, entre $+1.20$ y $+1.30$, con cierta Horizontalización respecto al Subtipo anterior, situada en los valores de 0 a -0.20 de la Primera Componente, y bajo una ordenación cronológica muy precisa, situada, entre las Fases V y VII de AB, marcando el borde de vasos situados entre las ollas de borde verticalizado.

La tendencia del Tipo II de la Forma "C", a la que se adscriben los Subtipos l-m-k-n-ñ-o, marcan el desarrollo de la Horizontalización del borde de las dos tendencias anteriores, situándose, en la Primera Componente, entre los valores de -0.40 a -1.20 , pero, sin embargo, su largo recorrido en la Segunda Componente, y el índice de Peralte Superior, dominan la ordenación de estos Subtipos horizontalizados, donde el Peralte Interior Entrante (índices E y F) se manifiesta de forma notoria.

CIIIm-k-l, muestran la oscilación desde los Peraltes Superiores más marcados, a aquellos que están escasamente definidos, de los valores 0 en la Segunda Componente. CIIIm, con valores, en la Segunda Componente, entre $+1.20$ y $+0.60$, muestra los prototipos de mayor Peralte Superior dentro de las ollas, con sus cronologías ininterrumpidas entre las Fases IV y VII de AB, que recogen el origen y desarrollo de estos bordes, tendentes a la horizontalización y de

marcado Peralte Entrante, que definen las ollas. CIIk, por su parte, marca los prototipos de borde, donde el Peralte Superior se ve reducido respecto a CIIm, con valores, en la Primera Componente, entre -0.30 a -1.00 , y en la Segunda, entre 0 y $+0.60$, para ollas de borde horizontalizado con una cronología similar al caso anterior, con la diferencia de prolongarse hasta ABVIII, si bien, la mayor parte de esta pequeña muestra se centra en las Fases VI, VII y VIII de AB, como muestran sus Variantes 2 y 3, coincidiendo con los prototipos más horizontalizados y de mayor Peralte Entrante, que se adscriben a una tendencia general en la evolución cronológica que ya comentamos con anterioridad. Por último, CIII, refleja los valores más bajos del Peralte Superior, aproximándose a 0 en la Segunda Componente, y mostrando una cronología muy precisa y fijada en las Fases IV y V de AB, donde se desarrolla la gama tipológica de las ollas.

Los Subtipos CIIñ-o, muestran la tendencia a la mayor Horizontalización del borde, continuando el proceso que iniciaron CII m-k-l, con una mayor importancia del Peralte Interior Entrante, como muestran sus valores en la Primera Componente, situados entre -0.40 y -1.00 , que, en este caso, coinciden con prototipos donde el Peralte Superior no existe con tanta claridad, con valores en la Segunda Componente situados entre 0 y -1.00 .

Así, CIIñ, marca una Horizontalidad situada entre -0.30 y $+1.00$, para ollas globulares con una amplísima cronología que recoge todo el recorrido ininterrumpido de las Fases II a la VIII de AB, y, también, PZ, recorrido cronológico de la formación y desarrollo de estos tipos de recipiente. Es, sin embargo, significativo la ausencia en la Fase I de AB, PT y S, factor que define el origen de estos prototipos dentro de la Campiña, y con posterioridad al primer momento de la Colonización.

CIIñ y CIIo, por su parte, reflejan la mayor Horizontalización del borde en esta agrupación de Subtipos, con marcados Peraltes Exteriores y ausencia del Superior, con una precisión cronológica para ambos, situada en las Fases VI, VII y VIII de AB, incrementando la tendencia a la Horizontalidad tras la Fase VI. Es interesante observar la Variante CIIo1, que se perfila la Fase ABV, como el origen de estos tipos y de la tendencia a la Horizontalidad.

Sin embargo, los valores de máxima Horizontalización del borde en el Tipo CII, coinciden con una nueva agrupación en el ACL, también observada en el ACP con los Subtipos BIIp-q-r, donde esa máxima Horizontalidad, asociada a un gran desarrollo del Peralte Interior, coincide además con un desarrollo del Superior, con valores entre -0.70 y -1.20 , en la Primera Componente y entre 0 y $+1.90$ en la Segunda. Su ordenación alfabética - p-q-r - responde al aumento del Peralte Superior, con una oscilación cronológica interesante y centrada entre las Fases IV y VIII de AB, donde comprobamos se desarrollan este tipo de ollas globulares de borde entrante, siendo los prototipos de mayor Peralte Superior, los que se asocian a unas cronologías más avanzadas, como ocurre con la Variante CIIr2, adscrita a las Fases VI, VII y VIII de AB. Por otra parte, los prototipos de un menor Peralte, se centran en las Fases más tardías de estos recipientes, como es el caso de CIIp, que a pesar de oscilar entre la Fase IV y VII, de AB se

concentra, fundamentalmente, en los momentos más antiguos, igual ocurre en la Variante CIIr1, de una gran precisión cronológica, al adscribirse, con exclusividad, a la Fase IV de AB, o el caso de CIIq, que representa el desarrollo cuantitativo y cronológico de - p -.

Finalizando, podemos advertir en CII, una gran homogeneidad formal con un amplio repertorio y oscilaciones, de una forma, las ollas globulares de borde horizontalizado y entrante, que muestran su origen tras la Fase ABIII, con un especial desarrollo en la Fase V, para adquirir su máxima expansión cuantitativa en las Fases VI y VII, coincidiendo con un aumento en la Horizontalidad y el Peralte Interior.

Tipo CIII. (Fig.IV,29)

Con unos valores en la Primera Componente entre -0.20 y $+0.90$, y en la Segunda, entre $+1.80$ y $+2.20$, el Tipo III de la Forma "C", refleja los bordes de mayor Peralte Superior, en el equilibrio entre la Horizontalidad y la Verticalidad (índices A y B), con una oscilación que recoge la subtipología del ACL, regida por el aumento de la Verticalidad. Así, los Subtipos CIIa y CIIb, se desarrollan en los valores de una tímida Horizontalidad, mostrando prototipos de ollas globulares de Peralte Exterior y ausentes de Interior, correspondiendo cronológicamente, como viene siendo habitual en estos prototipos, entre las Fases VI y VII de AB, con una homogénea capacidad volumétrica que describe la oscilación entre 20 y 30 cm. de sus diámetros.

Frente a estos, los Subtipos CIIIc y CIII d, muestran la tendencia a una mayor Verticalidad, similar a la del Tipo CI, coincidiendo con formas cerámicas diferenciadas, como es el caso de las fuentes de carena baja, aunque suave, de un menor tamaño que las pertenecientes a los Tipos CI y CII, como advierte su oscilación entre 19 y 20 cm. en los diámetros de abertura, coincidiendo, como era de esperar, con una precisa cronología, diferenciable y concentrada, exclusivamente, en PZ. Este hecho, no sólo muestra que en estos prototipos de Peralte Superior se reproduce la dicotomía del Tipo CI, morfológico-cronológica, sobre ollas/fuentes carenadas, sino que genera un nuevo criterio para la diferenciación, a Fines del Primer Cuarto y durante el Segundo del Tercer Milenio BC., las dos facies culturales de las Campiñas: AB/PZ-PT, pero, en este caso, en un momento más avanzado, cuando ha desaparecido la ocupación de PT.

Tipo CIV. (Fig.IV,29)

En el extremo opuesto al Tipo CIII y en la distribución del ACP, encontramos un nuevo desarrollo con valores, en la Primera Componente, entre -0.30 y -0.90 , y en la Segunda, entre -1.20 y -2.00 , que supone uno de los tipos de menor Peralte Superior, dentro de la tendencia a la Horizontalización del borde de las ollas, que comenzó a definir el

Tipo CIII, aunque morfológicamente se caracteriza por una ausencia, en este caso, del Peralte Interior Entrante (índices E y F), formando el labio un característico bisel, como ocurría, también, en los Subtipos CIIIa y CIIIb, pero, en este caso, mucho más apuntado y con una mayor precisión cronológica que en los casos anteriores, al centrarse, con exclusividad, en las Fases VI y VII de AB, volviendo a mostrarnos la gran transformación tipológica sobre las perduración de tendencias en el avance cronológico, como es el aumento de la Horizontalidad del borde, significando, también, una reducción en el tamaño de los prototipos. Así, en la Fase VI, los diámetros de abertura oscilan entorno a a 30 cm., mientras en la Fase VII han descendido hasta los 16.

Tipo CV. (Fig.IV,29)

Con unos valores en la Primera Componente entre -0.90 y -1.40 , y en la Segunda, entre $+1.70$ y $+2.60$, el Tipo CV, refleja, sin duda, junto a CVII, los prototipos de mayor Peralte Superior, coincidiendo con una considerable Horizontalización del borde y el Peralte Interior (índices E y F), paralelo a los Subtipos p-q-r de CII comentados con anterioridad. En este caso, el grado de Horizontalidad y Peralte Interior, nuevamente coincide, como ocurría en CIV, con una ordenación cronológica entre las Fases VI, VII y VIII de AB, como reflejan el Subtipo CVb, al presentarse como uno de los prototipos menos horizontalizados de estas ollas, cuya cronología oscila entre las fases formativas de esta Forma (ABIV).

Tipo CVI. (Fig.IV,29)

El Tipo VI de la Forma "C" es, sin duda, uno de los que mejor refleja la máxima Horizontalización del borde y el Peralte Interior, similar a los Tipos CVII y CVIII que observaremos a continuación. Los valores de CVI, en la Primera Componente, oscilan, por tanto, entre -1.10 y -1.50 , siendo en la Segunda entre -0.20 y -1.40 , mostrando una amplia oscilación en el desarrollo del Peralte Superior.

Estos prototipos de ollas presentan unos diámetros de abertura muy bien definidos, con valores que oscilan entre los 31 y 22 cm., siendo aún más precisos en su cronología, al centrarse, exclusivamente, en la Fase VII de AB, redundando en las características de un gran cambio tipológico del Primer Cuarto del Segundo Milenio BC., junto a la tendencia de máxima Horizontalización en una fase material de comprobado desarrollo en el repertorio ceramológico.

Tipo CVII. (Fig.IV,29)

El Tipo CVII es, sin duda, el que presenta los bordes más

horizontalizados y de mayor Peralte Interior, asociándose a valores entre -1.80 y -2.00 en la Primera Componente. Otro de los rasgos definitorios de este Tipo radica en su desarrollado Peralte Superior, que adquiere los valores máximos del muestreo, perfilándose en la Segunda Componente, entre +2.40 y +2.60. Se trata de un prototipo de olla globular, nuevamente, de borde entrante, en la expresión máxima de la tendencia a la horizontalidad, y que, cronológicamente, expresa la fijación de ésta, desde la Fase IV de AB a la Fase VIII, volviendo a correlacionar, para las cronologías más recientes, la ya observada reducción en el tamaño de los recipientes.

Tipo CIX. (Fig. IV, 29)

Junto al Tipo CX, el Tipo CIX, refleja el desarrollo de la máxima Verticalidad del borde, con valores en la Primera Componente entre +1.60 y +3.40, coincidiendo asimismo con una notoria reducción del Peralte Superior, en valores para la Segunda Componente, situados entre +.40 y +2.40, perfilándose, así, como una proyección morfológica de la tendencia CIa...CID.

Esta doble oscilación en la Verticalidad y la reducción del Peralte Superior, queda perfectamente reflejada en la ordenación subtipológica del ACL. Así, mientras los Subtipos CIXa y CIXc, reflejan el máximo Peralte en el recorrido de la Verticalidad, CIXb, se sitúa con valores similares a los anteriores, pero con una marcada ausencia del Peralte Superior. Sin embargo, y lo más interesante de esta subtipología, es su fijación cronológica y formal. Así, los prototipos de mayor antigüedad corresponden con CIXc, que a todas luces suponen la prolongación formal y cronológica de CIa y CID, reflejando vasos globulares de borde horizontalizado, que, en este caso, llegan a convertirse en auténticos cuellos rectos, con la cronología característica que hemos venido observando en estas formas, centrándose en el Primer Cuarto del Segundo Milenio BC., y, concretamente, en las Fases VI y VII de AB, marcando los prototipos de estas cerámicas de similar volumen, con diámetros de abertura que oscilan en torno a los 20 cm. Como consecuencia de esa proyección de CI, que marca el Subtipo CIXc, también, encontramos en él, prototipos de fuentes carenadas, en este caso, de bordes más verticalizados, que como ocurría con el Tipo CI, se centran en la Primera Mitad del Tercer Milenio BC., y, concretamente en este caso, en el yacimiento de PZ, marcando un nuevo elemento de contraste para la definición de las facies cerámicas de la Campiña.

Por su parte, el Subtipo CIXa, refleja la máxima Verticalización del borde en prototipos de vasos globulares, donde éste comienza a marcar cierta tendencia hacia el exterior, aproximándose a las características de la Forma "B", perfilándose, también, en las cronologías de ésta, al desarrollarse, exclusivamente, en las Fases VI y VII de AB, aunque, en este caso, diferenciándose de los grandes volúmenes de aquellos recipientes, como muestra el hecho de que sus diámetros no superan, en ningún caso, los 30 cm.

Por último, el Subtipo CIXb, nos define, dentro de esta marcada Verticalidad del borde, los prototipos de menor Peralte Superior, que, en este caso, coinciden con una solución cerámica desconocida en la Forma "C" y caracterizada por las formas de pequeños vasos carenados, cuyos diámetros no superan los 20 cm. de borde entrante y tendencia vuelta, en una cronología no menos precisa, situada con exclusividad en la Fase VIII de AB, perfilando, así, uno de los prototipos más característicos de las cerámicas locales del Alto Guadalquivir, distribuidas a lo largo de todo su cauce, desde AB en la Campiña, Cerro del Salto en Vilchez (Nocete et alii 1985), hasta Puente del Río de la Vega, en Santo Tomé, y en las proximidades de Cazorla (Nocete et alii en prensa), formas carenadas que ya observamos en "B", como el mejor elemento cronológico para definir la Mitad del Segundo Milenio BC., como definen las dataciones cronológicas en S y PL.

Tipo CX. (Fig.IV,29)

El Tipo X de la Forma "C", muestra los bordes más verticalizados de la muestra, coincidiendo, como marcaba el Tipo anterior, con una tendencia a la desaparición del Peralte Superior. En este caso, representa la tendencia al desarrollo del cuello dentro de los vasos globulares, coincidiendo, como era de esperar, con la Fase VII de AB y con diámetros de abertura situados entre 24 y 22 cm., incluyéndose dentro de la variabilidad cronológica y tipológica de los Tipos de "C", que se sitúan bajo similares características que las grandes orzas de la Forma "B", que en "C" se caracterizan por una menor progresión del cuello, que no llega a sobresalir, y con unos menores perfiles volumétricos. Los rasgos de CX se sitúan, por tanto, entre los valores de +3.80 y +4.00, en la Primera Componente, y entre +2.60 y +2.80, en la Segunda.

Tipo CXI. (Fig.IV,29)

El Tipo CXI, muestra un similar proceso de Verticalización que CIX, con valores en la Primera Componente entre +1.20 y +3.20, pero, en este caso, definiendo prototipos de menor Peralte Superior, con valores entre -.30 a -1.40, en la Segunda Componente. El ACL, nos define para el Tipo CXI, dos Subtipos, que muestran su desarrollo en la Verticalización: CXIa y b.

En este caso, la concreción morfológica, también, refleja un perfil cronológico no menos interesante, al mostrar el desarrollo de fuentes carenadas que comparten, junto a los Subtipos de CI, algunas de las características, pero, en este caso, con una cronología interesante, al ceñirse con exclusividad a los yacimientos de PT y PZ, que ausente en Sevilleja, nos muestran el desarrollo de prototipos en la Campiña, propios del horizonte de Colonización, y que tendrán un amplio desarrollo hasta Medios del Tercer Milenio BC., para la facies material PT-PZ, pues, es interesante observar que CXI está ausente

del yacimiento AB. Los perfiles, en los diámetros de abertura, se aproximan, como no, al Tipo I de la Forma "A", con su oscilación entre 22 y 34 cm., mostrando, asimismo, como se ha generado esta evolución.

Tipo CXII. (Fig. IV, 29)

El último Tipo de la Forma "C" que nos refleja el ACL, se define con valores entre +2 y +2.40 en la Primera Componente, y entre -1.80 y -2.20, en la Segunda, mostrando dentro de los Tipos de gran Verticalización del borde, aquellos donde el Peralte Superior es muy reducido, por no decir inexistente. Con una precisión cronológica situada en el Primer Cuarto del Tercer Milenio BC., el Tipo CXII, representa, también, una nueva variante en la gama de las fuentes carenadas, que con la exclusiva presencia en PT y PZ, se convierte en otro elemento más para definir la Colonización de la Campiña en las Fases donde este proceso se ha consolidado, y, también, volver a mostrar la entidad de una de las dos facies cerámicas de este periodo.

* * *

El análisis de la ordenación cronológica de las tendencias de la Forma "C" (Fig. IV, 30), y de los Tipos (Tabla IV, 15), son altamente significativos en la confirmación de los desarrollos cronológicos de las Formas "A" y "B".

En primer lugar, las dos facies cerámicas, y, posiblemente, culturales, de la Primera Mitad del Tercer Milenio BC., se definen con una mayor claridad en el análisis de la Forma "C", pues, en ella, se diferencian con un mayor número de elementos del repertorio cerámico (Tabla IV, 16).

DIFERENCIA TIPOLOGICA

AB I y II PT-PZ

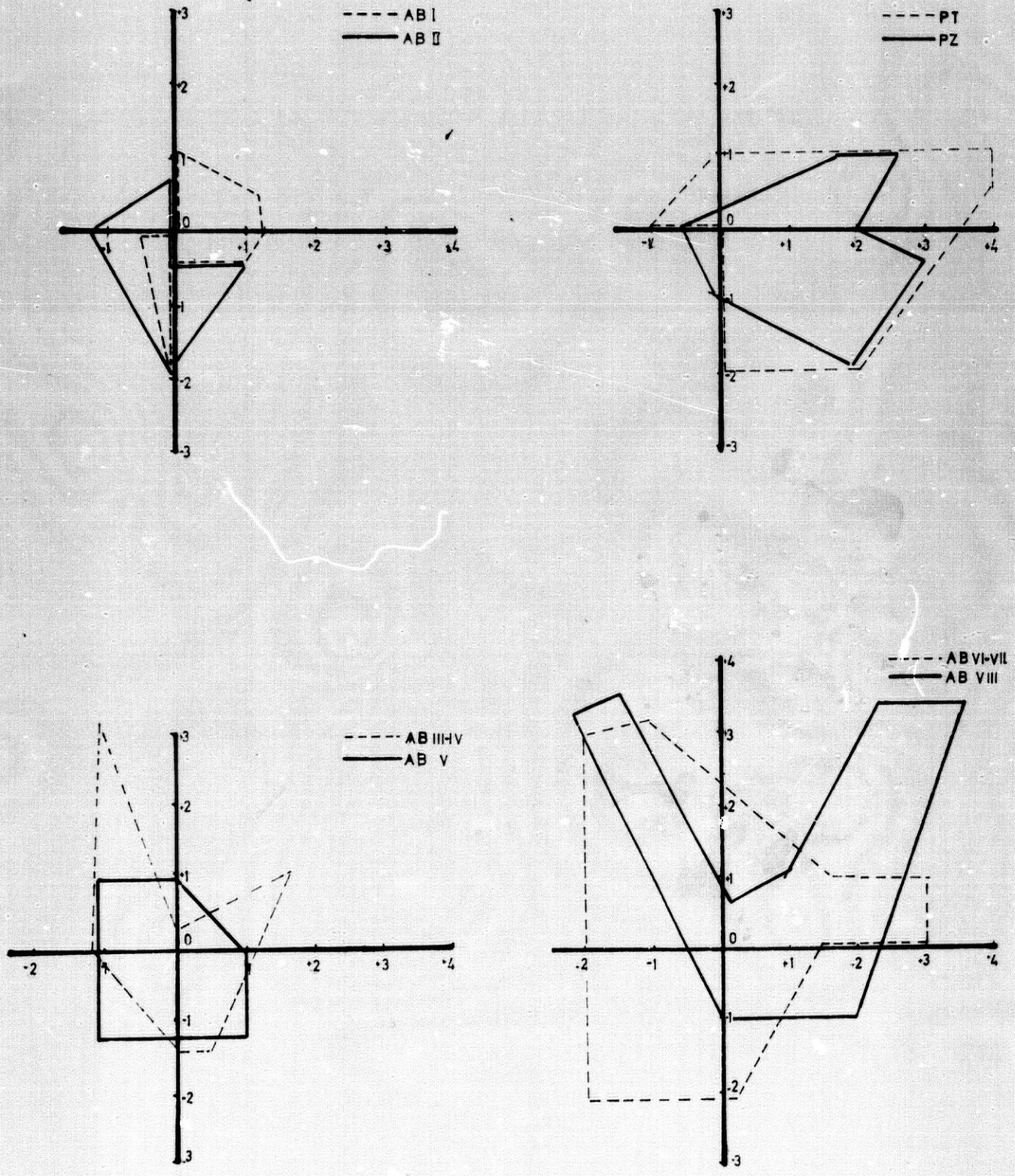
CIIf	CIVb
CIIf	CXI
CIIf	CXII

(Tabla IV, 16)

		PT	PZ	AB I	AB II	AB III	AB IV	AB V	AB VI	AB VII	AB VIII
I	a	†	†	†			†	†		†	
	d.1	†		†							
	d.2	†	†		†						
	d.3										†
	d.4	†									
	d.5						†		†		
	b.1	†		†							
	b.2								†	†	
	c	†	†								
	g										†
	e						†		†		
	f	†									
II	a			†	†	†	†				
	b				†	†		†			
	c			†	†	†					
	d.1-3	†	†	†	†		†		†	†	†
	d.2-4	†			†		†	†			
	e		†		†						
	h				†	†	†	†	†	†	
	i				†	†	†	†	†	†	†
	f			†	†		†			†	
	g									†	
	m						†	†	†	†	
	k						†			†	†
	l						†	†		†	
	n		†		†		†	†	†	†	†
	n								†	†	†
	o.1						†	†		†	†
	o.2									†	†
	p						†	†	†	†	
	q						†			†	
r.1						†				†	
r.2									†	†	
III	a-b								†	†	
	c		†								
d	†										
IV	a-c								†	†	
	b		†						†	†	
V	a				†						
	b.1							†	†	†	
	b.2								†		
VI									†		
VII										†	
VIII									†		
IX	a								†		†
	b									†	†
	c								†	†	†
X									†		
XI		†	†								
XII		†	†								

TABLA IV,15 FORMA C

Desarrollo Cronológico de los Tipos.



forma c

FIG. IV, 30

Desarrollo Diacrónico de las Tendencias de la Forma C en el ACP.

Dentro de las Fases de AB, la consolidación de una progresiva tendencia desde las Fases II a la Fases VII, que observábamos en la Forma "A", ahora, nuevamente, podemos apreciarla y confirmarla bajo similares parámetros, pues, en "C", también podemos apreciar el proceso de la Horizontalización del borde que se inicia en la Fase II, aumenta en III-IV, se consolida en V, para, finalmente, expresarse en VI-VII, con un mayor desarrollo tipológico de variedades.

La Fase ABIII-IV, supone, también, como observamos en la Forma "A", la desaparición de los prototipos de fuentes carenadas que aún mostraban el origen de las formas cerámicas de la Campiña, y el auge de nuevos tipos cerámicos que consolidarán el Segundo Milenio BC., como son las ollas globulares de borde entrante, que comienzan a desarrollarse en esta Fase, que se perfila, genéricamente, como el proceso formativo, a nivel cerámico, del desarrollo material de las Formaciones Sociales de la Campiña, de Fines del Tercer y Principios del Segundo Milenio BC., coincidiendo con el desarrollo tipológico de la Forma "A" y, ambos, con la Colonización del Secano, tras la expansión desde la Vega (Primera Colonización) y el proceso de Sedentarización.

La Fase V, en la Forma "C", y al igual que en "A", supone un momento de transición entre el desarrollo de los nuevos prototipos de recipientes de la Fase III-IV, y su ulterior transformación en las Fases VI y VII, donde nuevos Tipos aparecerán en la progresión del proceso de Horizontalización del borde (Tipos CII, CIV, CVIII, etc).

En todo este proceso, hasta la Fase VII de AB, podemos detectar, a nivel genético, la importancia del Tipo CI, en una doble vertiente:

En primer lugar, en el origen de las fuentes de Peralte Superior ligeras entrantes ("pestaña") que a su vez darían origen a las formas clásicas del Segundo Milenio BC. (Fig. IV, 19: AXIII-XIV-XV y XVI), formas que en la Fase II suponen la evolución en la reducción de los bordes de antiguas fuentes cuyo perfil era entrante, tras el desarrollo de una línea alta de carenación, que se generaron en la Fase I de AB y PT, como evolución local de las tradiciones de Sevilleja, marcando, así, el verdadero origen morfogenético de las tradicionales "fuentes de labio engrosado".

En segundo lugar, porque CI, en las formas no carenadas, supone, con claridad, la génesis de la Forma "B" que irrumpe en la Fase VI, pues, en la Fase V, CI, marca el desarrollo de bordes verticalizados, a modo de cuellos indicados sobre ollas globulares de gran tamaño, quienes sustituyen, en el nivel de almacenaje, a los clásicos grandes vasos de paredes rectas de la Fase I (Tipo AV), generando una evolución formal, para similares actividades, hasta desarrollarse en la Forma "B", tras la Fase VI y a principios del Segundo Milenio BC., en favor, también, de recipientes de un mayor volumen, que parece exigir la estructura Jerarquizada del Territorio y los trasvases de excedente que se operan en él.

La Fase ABVIII, se presenta, nuevamente, como una fuerte ruptura de

las tendencias de la Segunda Mitad del Tercer Milenio y el Primer Cuarto del Segundo BC., con la desaparición de la Horizontalidad, tanto en las Formas "A" como en "B" y, también, en "C", al seleccionar del desarrollo precedente, algunos de los bordes más horizontalizados de las ollas globulares, pero en franco receso y en una selección de su funcionalidad, como revela la tendencia a la reducción de los diámetros (Tipo CVIII). La Fase VIII, sin embargo, se caracteriza, fundamentalmente, en AB, por el desarrollo de nuevos Tipos y tendencias que implican una mayor Verticalidad del borde, también presentes en la Forma "A", y, fundamentalmente, en "B" (BVI, VII y VIII), coincidiendo esta nueva tendencia con la aparición de nuevos conceptos, en su morfología, incorporando viejos elementos ya olvidados tras las Fases III y IV de AB, como es el caso de las carenas (Tipos CIXb, BVI, BVII y BVIII). Pero las carenas, tanto en "B" como en "C", serán diferentes, en su posición elevada del recipiente y por el desarrollo de nuevas formas, como es el caso de pequeños vasos, que recuerdan, ligeramente, a los cambios tipológicos del Sureste peninsular, y que un Siglo antes, habían llegado al Alto Guadalquivir, en un proceso que se ha venido definiendo como argarización, nombre que esconde presupuestos sociales, económicos e históricos, aún por demostrar, pues, fundamentalmente, lo que se registra es un cambio material sobre un fuerte sustrato indígena. Lo que si parece cierto es que las Formaciones Sociales de la Campiña, bloqueadas a los cambios cerámicos del Oriente del Alto Guadalquivir, durante el Primer Cuarto del Tercer Milenio BC., ahora, inician un proceso de asimilación de conceptos formales, tan novedosos, que permiten una ruptura en el tiempo, ruptura que, también, sucede en otros procesos de las representaciones materiales y que, en definitiva, hablan de la ruptura del antiguo Bloqueo. En el Capítulo V, podemos observar con más claridad este proceso, pues con el cambio cerámico, se operan cambios sociales, pero fundamentalmente políticos, aunque, siempre, dentro de un fuerte desarrollo local.

CUADRO GENERAL DE CRONOLOGIAS EN EL ANALISIS MORFOMETRICO

FASES	GRUPOS TIPOLOGICOS
AB I	AV-AVII2-CIb1-CIa
ABII	AIVa-CIe-CIIc
ABIII-IV	AXI-AXIVd-AXIVe-AXIV jk1-AXVIa-CVa-CIIc
ABV	AXVib-CIIc1
ABVI-VII	AVIII1-AXIII1srt. y-AXVII2-AXVIII-BIa-BIc-BIIa BIIIa1-BIIIb-BIIIc1-BIV-BV-CIc-CVI-CVIII-CX
ABVIII	BIIIe-BIIIb-B'IIa2-BIIIc2-BVI-BVII-BVIII-CId3 CVII-CIXb

(Tabla IV,17)

En definitiva, el análisis morfológico de los bordes cerámicos nos presenta un excelente nivel para aproximarnos a cronologías bastante precisas y definir el Tiempo extrapolable a los registros

superficiales de las Formaciones Sociales de la Campiña (Tabla IV,17) y para cuestionar la existencia, a Principios del Tercer Milenio BC., y hasta su Mitad, de dos facies culturales, como consecuencia del proceso de Sedentarización, y tras la expansión Colonizadora de las Comunidades Swidden desde la Vega del Guadalquivir (Fase Sevilleja) con un desarrollo tipológico autóctono (Capítulo I) (Tabla IV,18).

En el nivel de fijación cronológica de asociación de los Tipos, es altamente significativo el hecho de que en la Forma "A", más de un 36% de los Tipos, Subtipos y Variantes (17 de 47) definen, con claridad, buenas fijaciones cronológicas, porcentaje que aumenta a un 78% en la Forma "B", y que disminuye a un 25% en la Forma "C", conformando un gran bloque cultural, el que define el perfil retardatario, a nivel cerámico, para el mundo de la Campiña entre las Fases II y VII de AB, desarrollo previo a una ruptura en la Fase VIII y posterior a una segunda en la Fase I.

DIFERENCIAS TIPOLOGICAS

ABI-II	PT-PZ
-----	-----
AVIIIab	AVIIIcd
AX	AXIdc1
	AXVII
CIIa	CIId4
CIIb	CXI
CIIc	CXII
CIIE	CIc
CIIf	CIf
	CIIfc
	CIIfd
	CIVb

(Tabla IV,18)

Desde este punto de vista y para el análisis sincrónico de la Ordenación del Territorio que nos ayude a contrastar la Historia de estas Formaciones Sociales, podemos establecer la siguiente base:

Fase 0. Sevilleja: para contrastar la plataforma histórica, expresada materialmente, de las Formaciones Sociales que iniciaron la Colonización de la Campiña en el cambio entre el Cuarto y el Tercer Milenio BC.

Fase I. ABI,PTI: para la definición de la primera expansión sobre la Campiña de los colonos de la Vega del Guadalquivir durante el primer Cuarto del Tercer Milenio BC.

Fase II. ABII,PTII y PZI: para el inicio de la Conquista y Colonización del Secano y la Historia, en la Campiña, del desarrollo de la Economía de Producción, con dos facies

materiales ¿culturales? (Capítulo I) con diferentes desarrollos materiales, donde se inicia la tecnología del Secano en el Segundo Cuarto del Tercer Milenio BC.

Fase III-IV. ABIII-IV. PZII: para la consolidación de la Conquista del Secano, del proceso de Sedentarización y el desarrollo de las primeras fortificaciones en piedra de la Campiña Occidental, así, como de la llegada de prototipos metalúrgicos, para el Segundo y Tercer Cuarto del Tercer Milenio BC.

Fase V. ABV: Ultimo Cuarto del Tercer Milenio BC., con el desarrollo de las policromías en las formas cerámicas, y la definición de la plataforma histórica de una nueva expansión que define el surgimiento de nuevas aldeas, Cazalilla, Cortijo de la Torre, Atalayelas, etc...

Fase VI-VII. ABVI-VII(extensible a CI-II. CTI-II): Siglos XIX al XVII BC. Coincide con la presencia de las primeras cerámicas incisas de estilo Campaniforme, prototipos metálicos como las puntas de Palmella, puntas pedunculares con aletas, primeros sistemas de remaches en los empuñados de los cuchillos, marfil, obsidiana, etc (Capítulo II), y define la problemática de la expansión colonizadora del Territorio, junto a la especialización territorial del trabajo y el Estado de Jerarquización del Territorio que muestra la articulación Cazalilla/Cortijo de la Torre/Albalate (Capítulo I).

Fase VIII. ABVIII: Siglo XVI BC., para los grandes cambios cerámicos y materiales, con nuevas propuestas de urbanismo, casas cuadradas, etc..., y la base material para el análisis de los profundos cambios que acaecen tras la desaparición de Cazalilla II, con el desarrollo de una nueva vía transicional.

Casos y Valores en los Indices.

	53,1.40,1.40,0.60,0.50,0.57,0.42
6	54,0.92,0.92,0.64,0.71,0.76,0.69
A	55,1.75,1.75,0.66,0.83,0.71,0.38
B	56,2.22,2.22,0.50,0.60,0.72,0.22
C	
D	
E	
F	
56	
1	1,1.16,1.16,0.66,0.66,0.71,0.57
2	1,1.20,1.20,0.60,0.80,0.66,0.50
3	1,1.20,1.20,0.60,0.80,0.66,0.50
4	2,2.14,2.14,0.57,0.28,0.80,0.26
5	2,2.20,2.20,0.80,1,0.63,0.36
6	0,0.66,0.66,0.66,0.71,0.68,0.73
7	0,0.93,0.93,0.43,0.68,0.80,0.46
8	0,0.77,0.77,0.55,0.66,0.85,0.42
9	1,1.80,1.80,0.60,0.50,0.83,0.33
10	0,0.76,0.76,0.53,0.84,0.50,0.70
11	1,1.73,1.73,0.60,0.66,0.76,0.34
12	1,1.22,1.22,0.66,0.66,0.72,0.54
13	0,0.77,0.77,0.55,0.55,1,1.28
14	1,1.57,1.57,0.71,0.85,0.63,0.45
15	1,1.42,1.42,0.57,0.71,0.70,0.40
16	1,1.42,1.42,0.57,0.71,0.80,0.40
17	0,0.44,0.44,0.16,0.88,0.50,0.37
18	0,0.60,0.60,0.46,0.66,0.56,0.77
19	1,1,0.50,0.60,0.80,0.50
20	1,1.44,1.44,0.44,0.66,0.84,0.30
21	0,0.83,0.83,0.41,0.75,0.60,0.50
22	1,1.35,1.35,0.57,0.64,0.78,0.42
23	1,1.09,1.09,0.54,1.18,0.66,0.50
24	1,1.53,1.53,0.69,0.53,0.85,0.45
25	1,1.06,1.06,0.62,0.56,0.82,0.58
26	1,1.13,1.13,0.53,0.66,0.70,0.47
27	2,2.42,2.42,0.71,0.71,0.76,0.29
28	0,0.66,0.66,0.50,0.75,0.75,0.75
29	1,1,0.63,0.72,0.72,0.62
30	0,0.81,0.81,0.45,0.54,0.88,0.55
31	0,0.93,0.93,0.56,0.62,0.86,0.60
32	1,1.07,1.07,0.71,0.50,0.86,0.66
33	1,1.33,1.33,0.55,0.77,0.66,0.41
34	0,0.70,0.70,0.30,0.66,0.71,0.42
35	1,1.81,1.81,0.45,0.81,0.65,0.25
36	2,2.72,2.72,0.63,0.54,0.83,0.23
37	0,0.60,0.60,0.50,0.80,0.50,0.83
38	0,0.45,0.45,0.50,0.58,1.09,1.09
39	0,0.41,0.41,0.41,0.64,1,1
40	1,1.60,1.60,0.70,0.60,0.87,0.43
41	0,0.65,0.65,0.50,0.80,0.61,0.76
42	6,6.66,6.66,0.50,0.83,0.25,0.07
43	1,1.87,1.87,0.62,0.75,0.73,0.33
44	1,1.50,1.50,0.60,0.60,0.80,0.45
45	12,12,0.60,0.80,0.96,0.05
46	1,1.46,1.46,0.80,0.66,0.77,0.54
47	7,7.60,7.60,0.60,0.60,0.94,0.07
48	0,0.50,0.50,0.33,0.75,0.83,0.66
49	1,1.20,1.20,0.60,0.50,0.83,0.50
50	0,0.90,0.90,0.45,0.90,0.50,0.50
51	2,2.25,2.25,0.50,0.75,0.66,0.22
52	1,1.16,1.16,0.66,0.41,0.78,0.57

LISTADO IV,5 FORMA B

E1 ACL.

NIVEL	GRUPO X	GRUPO Y	DISTANCIA	FIT
1	2	3	.000	30.000
2	1	12	.024	30.000
3	29	54	.189	30.000
4	22	44	.194	30.000
5	24	40	.272	31.000
6	15	33	.288	31.000
7	25	49	.340	31.000
8	11	16	.391	31.000
9	6	29	.434	31.000
10	11	22	.446	31.000
11	10	37	.480	33.000
12	35	51	.495	33.000
13	43	55	.502	33.000
14	2	15	.574	33.000
15	8	19	.637	33.000
16	8	31	.691	33.000
17	1	6	.714	33.000
18	7	20	.743	34.000
19	10	41	.759	34.000
20	9	36	.827	34.000
21	11	26	.905	34.000
22	18	28	.920	35.000
23	2	43	1.042	35.000
24	32	52	1.052	36.000
25	24	25	1.118	36.000
26	8	30	1.286	36.000
27	38	39	1.341	38.000
28	24	32	1.422	38.000
29	2	14	1.572	38.000
30	21	50	1.695	38.000
31	7	8	1.841	38.000
32	35	56	1.953	38.000
33	1	11	1.985	38.000
34	10	18	2.154	38.000
35	34	48	2.287	39.000
36	13	38	2.404	42.000
37	2	27	2.451	42.000
38	9	24	2.968	42.000
39	2	46	3.192	42.000
40	10	21	3.240	42.000
41	1	2	3.406	42.000
42	7	34	3.654	42.000
43	1	9	4.424	42.000
44	1	53	4.675	42.000
45	7	35	5.573	42.000
46	7	10	6.421	42.000
47	1	4	6.929	42.000
48	5	23	7.784	43.000
49	7	17	11.686	43.000
50	45	47	13.214	55.000
51	5	7	19.937	58.000
52	1	13	22.287	58.000
53	1	5	28.132	58.000
54	42	45	35.000	67.000
55	1	42	55.011	67.000

E1 ACP.

COMPONENTES PRINCIPALES	42.22829
=====	27.51636
.96101	14.58258
.96101	10.55295
.24760	5.12000
.11404	-.00019
-.06191	
-.78009	

PORCENTAJE DE VARIANZA ACUMULADA

=====	42.22829
.09580	69.74464
.09580	84.32722
.42661	94.88017
-.81548	100.00017
.86684	99.99998
.18508	

COORDENADAS RESPECTO A LA COMPONENTE

	NUM
-.12645	1
-.12645	2
.86959	3
.18387	4
-.23005	5
.00960	6

.18208	
.18208	
.02435	=====
.47833	1
.29026	-.22
.50324	.21
	.97
	-.09
.13466	.50
.13466	*****
.00035	
-.24379	2
-.32809	-.11
.32228	-.62
	.73
	.23
.00056	-.19
.00056	*****
.00251	
.00144	3
-.00130	-.11
-.00072	-.62
	.73
	.23
	-.19

VALORES PROPIOS

=====	4
2.53378	
1.65104	.39
.87498	1.54
.63320	-.70
.30721	-2.58
-.00001	.95

PORCENTAJE DE VARIANZA

5	.31	.08		-.48
.73	*****	-1.23	28	-1.03
-.97		-.59	-.78	48.71
2.64	13	-1.59	-.26	
1.07	-1.51	*****	-.27	36
-1.23	1.73		.92	.79
*****	-.59	21	.29	.92
	2.57	-.42	*****	.05
6	1.97	-1.12		-1.03
-.62	*****	-.81	29	-.56
-.03		-.40	-.36	67.24
1.18	14	.35	-.01	
.47	.23	*****	.80	37
.94	-.66		.37	-.85
*****	1.75	22	.25	-1.32
	.37	-.03	*****	.28
7	-.30	.27		.63
-.37	*****	-.01	30	2.23
-.11		-.46	-.58	31.24
-1.13	15	-.52	.74	
-.22	.06	*****	-1.28	38
-.90	-.27		-.41	-1.43
*****	.23	23	-.38	1.74
	-.40	-.08	*****	-1.10
8	-.36	-2.06		2.25
-.29	89.27	.78	31	.11
.38		2.16	-.47	*****
-.19	16	-2.33	.67	
-.31	.04	*****	-.20	39
-1.43	.10		.19	-1.37
*****	.05	24	-.39	.95
	-.08	.06	*****	-1.62
9	-1.11	1.20		1.92
.25	7.45	.71	32	.03
.98		-.61	-.41	*****
-.12	17	-.22	1.46	
-1.19	-.56	32.33	.90	40
-.32	-2.59		-.14	.14
*****	-2.54	25	.61	1.05
	-.70	-.36	*****	.85
10	-.39	.86		-.22
-.57	*****	.29	33	-.81
-1.44		-.27	.02	*****
.56	18	.21	-.67	
.45	-.88	*****	.23	41
1.50	-.37		-.21	-.76
*****	-.57	26	-.38	-.94
	.20	-.20	*****	.06
11	1.52	-.17		.76
.27	*****	-.14	34	1.11
.18		-.52	-.51	*****
.25	19	.10	-.70	
-.57	-.36	*****	-2.08	42
-.66	.34		-.87	2.70
87.90	-.65	27	-.41	-2.34
	-.46	.72	*****	-.20
12	-.25	.28		-.77
-.15	*****	1.17	35	3.35
.23		-.23	.36	*****
.94	20	-.84	-1.11	
-.14	.05	*****	-.64	43

.39	*****
-.19	
.59	51
-.18	.60
-.91	-.75
*****	-.38
	-.71
44	-.70
-.00	*****
.57	
.13	52
-.44	-.31
-.24	1.32
*****	.47
	-1.17
45	1.34
4.87	*****
.94	
-1.53	53
2.99	.01
.60	.04
*****	.43
	-1.84
46	1.86
.05	61.12
.75	
2.01	54
.14	-.49
.05	.22
*-****	.82
	.67
47	.28
2.98	67.76
1.29	
-1.10	55
.59	.33
-.14	-.43
*****	1.11
	.32
48	-1.02
-.88	*****
-.39	
-1.87	56
.76	.53
-.80	-.02
*****	-.70
	-1.31
49	-.35
-.23	*****
1.03	
-.02	
-.79	
.17	

50	
-.30	
-1.91	
-.07	
.09	
.32	

Casos y Valores en los Indices.

6	53,0.66,0.66,0.66,0.44,0.83,1
A	54,0.83,0.88,0.77,0.44,0.50,0.85
B	55,1,1,0.62,0.50,0.62,0.62
C	56,0.83,0.83,0.83,0.33,0.60,1
D	57,0.88,0.88,0.75,0.55,0.62,0.75
E	58,1.42,1.42,0.71,0.71,0.60,0.50
F	59,0.50,0.50,0.83,0.27,0.55,1.66
392	60,0.60,0.60,0.70,0.30,0.66,1.16
1,2.44,2.44,1,0.88,0.54,0.40	61,0.54,0.54,0.50,0.41,0.85,0.85
2,1.57,1.57,0.42,0.45,0.81,0.27	62,0.75,0.75,0.66,0.50,0.66,0.88
3,2.15,2.15,0.46,0.46,0.76,0.21	63,0.71,0.71,0.57,0.28,0.60,0.80
4,2.50,2.50,0.83,0.91,0.66,0.33	64,0.66,0.66,0.83,0.25,0.75,1.25
5,1.42,1.42,1,0.71,0.50,0.50	65,1,1,0.80,0.40,0.80,0.80
6,2,2,1,0.83,0.58,0.50	66,2.75,2.75,1.15,1.25,0.54,0.54
7,2.57,2.57,0.85,0.71,0.66,0.33	67,0.60,0.60,0.80,0.50,0.50,1.33
8,1.50,1.50,0.66,0.33,0.66,0.44	68,3.12,3.12,1,1,0.60,0.32
9,1.14,1.14,0.71,0.42,0.75,0.62	69,0.50,0.50,0.80,0.33,0.66,1.60
10,2.90,2.90,1.09,1.09,0.56,0.37	70,1.70,1.70,0.90,0.80,0.58,0.52
11,1.85,1.85,1,0.81,0.60,0.53	71,0.30,0.80,0.60,0.40,0.50,0.75
12,1.85,1.85,1,0.81,0.60,0.53	72,0.57,0.57,0.88,0.38,0.40,1.53
13,1.54,1.54,0.57,0.71,0.72,0.36	73,2.16,2.16,0.64,0.96,0.77,0.29
14,1.10,1.10,0.80,0.60,0.63,0.72	74,0.48,0.48,0.96,0.36,0.50,2
15,1.40,1.40,0.80,0.60,0.64,0.57	75,2.66,2.66,0.40,0.80,0.80,0.15
16,3.16,3.16,0.83,1,0.68,0.26	76,0.92,0.92,0.76,0.53,0.66,0.83
17,1.18,1.18,0.54,0.59,0.76,0.46	77,0.87,0.87,0.62,0.37,0.71,0.71
18,0.64,0.64,0.71,0.42,0.77,1.11	78,0.75,0.75,0.68,0.56,0.75,0.91
19,1.14,1.14,0.71,0.28,0.62,0.62	79,1.58,1.58,0.83,0.75,0.63,0.52
20,1,1,0.66,0.66,0.66,0.66	80,1.33,1.33,0.66,0.55,0.66,0.50
21,1.66,1.66,0.66,0.66,0.70,0.40	81,0.75,0.75,0.75,0.37,0.50,1
22,1.71,1.71,0.71,0.57,0.83,0.41	82,0.38,0.38,0.84,0.15,0.40,2.20
23,2.77,2.77,1,1.11,0.64,0.36	83,1.42,1.42,0.71,0.28,0.70,0.50
24,1.04,1.04,0.69,0.52,0.66,0.66	84,3,3,0.83,1,0.72,0.27
25,2,2,0.66,0.66,0.75,0.33	85,0.72,0.72,0.72,0.54,0.50,1
26,1.83,1.83,0.50,0.66,0.72,0.27	86,0.72,0.72,0.81,0.45,0.50,1.12
27,0.90,0.90,0.59,0.59,0.80,0.65	87,0.60,0.60,1,0.40,0.50,1.25
28,1.75,1.75,0.50,0.62,0.85,0.28	88,1,1,0.71,0.57,0.57,0.71
29,2.14,2.14,0.64,0.71,0.80,0.30	89,0.45,0.45,0.72,0.36,0.60,1.60
30,1.71,1.71,0.64,0.64,0.75,0.37	90,0.57,0.57,0.71,0.35,0.87,1.25
31,1.71,1.71,0.64,0.64,0.75,0.37	91,0.87,0.87,0.68,0.50,0.57,0.78
32,1.71,1.71,0.64,0.64,0.75,0.37	92,1,1,1.14,0.80,0.66,1.14
33,1.22,1.22,0.72,0.66,0.54,0.63	93,0.87,0.87,0.75,0.37,0.57,0.85
34,1.11,1.11,0.77,0.55,0.60,0.70	94,1,1,0.66,0.55,0.77,0.66
35,0.80,0.80,0.66,0.40,0.66,0.83	95,1.71,1.71,0.85,0.71,0.58,0.50
36,0.87,0.87,0.62,0.50,0.71,0.71	96,1.37,1.37,0.62,0.62,0.63,0.45
37,1.42,1.42,0.71,0.57,0.70,0.50	97,1.40,1.40,0.60,0.40,0.85,0.42
38,2,2,0.61,0.61,0.69,0.85	98,0.60,0.60,0.60,0.40,0.83,1
39,0.77,0.77,0.66,0.33,0.85,0.85	99,0.57,0.57,0.71,0.35,0.75,1.25
40,0.55,0.55,0.66,0.38,0.70,1.20	100,0.70,0.70,0.60,0.50,0.85,0.85
41,1.57,1.57,0.57,0.57,0.72,0.36	101,1.66,1.66,0.50,0.66,0.70,0.30
42,0.25,0.25,0.64,0.35,1.42,1.85	102,1.11,1.11,0.66,0.33,0.70,0.60
43,1.22,1.22,0.55,0.66,0.54,0.45	103,1,1,0.60,0.20,0.60,0.60
44,0.46,0.46,0.82,0.35,0.61,1.76	104,1.50,1.50,0.75,0.75,0.58,0.50
45,0.92,0.92,0.69,0.46,0.66,0.75	105,0.80,0.80,0.60,0.40,0.75,0.75
46,0.77,0.77,0.55,0.44,0.71,0.71	106,1.20,1.20,1,0.40,0.66,0.83
47,0.53,0.53,0.66,0.26,0.75,1.25	107,0.40,0.40,0.93,0.33,0.50,2.23
48,1.75,1.75,0.42,0.42,0.64,0.42	108,0.87,0.87,0.62,0.37,0.85,0.71
49,1.66,1.66,0.55,0.55,0.73,0.33	109,0.33,0.33,0.66,0.55,0.50,0.50
50,0.55,0.55,0.66,0.22,0.60,1.20	110,0.58,0.58,0.75,0.25,0.71,1.28
51,1.33,1.33,0.66,0.33,0.50,0.25	111,0.85,0.85,0.57,0.42,0.83,0.66
52,0.90,0.90,0.70,0.50,0.55,0.77	112,0.58,0.58,0.71,0.71,0.66,0.41
	113,1.42,1.42,0.71,0.57,0.80,0.50

114, 2.30, 2.30, 1, 1, 0.63, 0.43
 115, 1.33, 1.33, 0.83, 0.50, 0.62, 0.62
 116, 1, 1, 0.57, 0.42, 0.57, 0.57
 117, 2.25, 2.25, 0.75, 0.75, 0.66, 0.33
 118, 0.61, 0.61, 0.61, 0.38, 0.87, 1
 119, 2.50, 2.50, 0.87, 0.75, 0.70, 0.35
 120, 0.66, 0.66, 0.66, 0.33, 0.50, 1
 121, 1, 1, 0.71, 0.42, 0.57, 0.71
 122, 3, 3, 0.90, 1.10, 0.76, 0.30
 123, 0.80, 0.80, 0.70, 0.50, 0.62, 0.87
 124, 1, 1, 0.87, 0.50, 0.62, 0.87
 125, 1.83, 1.83, 0.66, 0.50, 0.72, 0.36
 126, 1.20, 1.20, 1, 0.40, 0.66, 0.83
 127, 1.11, 1.11, 0.66, 0.44, 0.60, 0.60
 128, 0.88, 0.88, 0.77, 0.44, 0.75, 0.77
 129, 1, 1, 0.57, 0.42, 0.71, 0.57
 130, 2, 2, 0.75, 0.75, 0.62, 0.37
 131, 1, 1, 0.80, 0.40, 0.60, 0.80
 132, 0.87, 0.87, 0.62, 0.37, 0.85, 0.71
 133, 0.87, 0.87, 0.62, 0.50, 0.85, 0.71
 134, 0.85, 0.85, 0.57, 0.42, 0.83, 0.66
 135, 0.88, 0.88, 0.66, 0.55, 0.75, 0.75
 136, 1.37, 1.37, 0.62, 0.62, 0.63, 0.45
 137, 1, 1, 0.62, 0.62, 0.87, 0.62
 138, 1, 1, 0.79, 0.75, 0.62, 0.79
 139, 0.66, 0.66, 0.77, 0.44, 0.66, 1.16
 140, 0.41, 0.41, 0.83, 0.25, 0.60, 2
 141, 0.72, 0.72, 0.81, 0.45, 0.62, 1.12
 142, 0.71, 0.71, 0.85, 0.57, 0.80, 1.20
 143, 1.50, 1.50, 0.66, 0.66, 0.77, 0.44
 144, 0.88, 0.88, 0.55, 0.55, 0.75, 0.62
 145, 1.16, 1.16, 0.66, 0.66, 0.71, 0.85
 146, 2.50, 2.50, 0.50, 0.58, 0.90, 0.20
 147, 1.66, 1.66, 0.75, 0.58, 0.75, 0.45
 148, 0.60, 0.60, 0.70, 0.40, 0.66, 1.16
 149, 0.66, 0.66, 0.83, 0.50, 0.62, 1.25
 150, 1, 1, 0.66, 0.55, 0.66, 0.66
 151, 1.50, 1.50, 0.66, 0.66, 0.77, 0.44
 152, 1.40, 1.40, 0.80, 0.60, 0.71, 0.57
 153, 1.14, 1.14, 0.85, 0.57, 0.50, 0.75
 154, 0.37, 0.37, 0.75, 0.25, 0.50, 2
 155, 0.80, 0.80, 0.80, 0.50, 0.62, 1
 156, 1.80, 1.80, 0.60, 0.60, 0.77, 0.33
 157, 1, 1, 0.75, 0.50, 0.75, 0.75
 158, 0.72, 0.72, 0.81, 0.45, 0.50, 1.12
 159, 1, 1, 0.66, 0.66, 0.83, 0.66
 160, 0.60, 0.60, 0.70, 0.30, 0.66, 1.16
 161, 0.75, 0.75, 0.75, 0.50, 0.83, 1
 162, 0.60, 0.60, 0.70, 0.40, 0.83, 1.16
 163, 2.20, 2.20, 1, 0.60, 0.72, 0.45
 164, 1.40, 1.40, 0.40, 0.60, 0.85, 0.28
 165, 1.50, 1.50, 0.75, 0.62, 0.66, 0.50
 166, 1.07, 1.07, 0.42, 0.42, 0.80, 0.40
 167, 1, 1, 0.66, 0.33, 0.66, 0.66
 168, 1.83, 1.83, 0.66, 0.83, 0.72, 0.36
 169, 1.25, 1.25, 0.62, 0.62, 0.70, 0.50
 170, 2.16, 2.16, 0.50, 0.83, 0.92, 0.23
 171, 0.43, 0.43, 0.75, 0.31, 0.71, 0.71
 172, 0.75, 0.75, 0.75, 0.50, 0.50, 1
 173, 1.14, 1.14, 1, 0.71, 0.37, 0.87
 174, 1.50, 1.50, 0.75, 0.37, 0.83, 0.50
 175, 1.20, 1.20, 0.70, 0.60, 0.50, 0.59
 176, 0.60, 0.60, 0.50, 0.50, 1, 0.83
 177, 0.71, 0.71, 0.71, 0.28, 0.60, 1
 178, 0.60, 0.60, 0.70, 0.40, 0.66, 1.16
 179, 5.22, 5.22, 1.77, 1.88, 0.68, 0.34
 180, 2.81, 2.81, 1.27, 1.18, 0.54, 0.45
 181, 3.70, 3.70, 1.50, 1.60, 0.64, 0.40
 182, 2.53, 2.53, 0.86, 1.20, 0.71, 0.34
 183, 1.85, 1.85, 0.85, 0.71, 0.61, 0.46
 184, 1.57, 1.57, 0.71, 0.57, 0.63, 0.45
 185, 2.12, 2.12, 0.50, 0.75, 0.76, 0.23
 186, 2.12, 2.12, 0.50, 0.75, 0.76, 0.23
 187, 3.11, 3.11, 1.44, 1.55, 0.57, 0.46
 188, 0.66, 0.66, 0.58, 0.41, 0.75, 0.87
 189, 0.60, 0.60, 0.60, 0.40, 0.83, 1
 190, 2.87, 2.87, 0.75, 0.87, 0.60, 0.26
 191, 0.69, 0.69, 0.61, 0.46, 0.77, 0.88
 192, 1.12, 1.12, 0.75, 0.62, 0.66, 0.66
 193, 0.75, 0.75, 0.75, 0.37, 0.66, 1
 194, 0.84, 0.84, 0.76, 0.61, 0.54, 0.90
 195, 0.63, 0.63, 0.72, 0.36, 0.71, 1.14
 196, 1.28, 1.28, 0.85, 0.71, 0.55, 0.66
 197, 1.18, 1.18, 0.72, 0.63, 0.61, 0.61
 198, 0.60, 0.60, 0.70, 0.30, 0.83, 1.16
 199, 1.25, 1.25, 0.87, 0.62, 0.50, 0.70
 200, 1.46, 1.46, 0.61, 0.69, 0.68, 0.42
 201, 0.35, 0.35, 0.71, 0.23, 1, 2
 202, 1.55, 1.55, 0.66, 0.55, 0.71, 0.42
 203, 0.60, 0.60, 0.80, 0.40, 0.66, 1.33
 204, 0.71, 0.71, 0.71, 0.42, 0.80, 1
 205, 0.88, 0.88, 0.66, 0.44, 0.62, 0.75
 206, 1, 1, 1, 0.70, 0.30, 1
 207, 0.72, 0.72, 0.72, 0.45, 0.75, 1
 208, 0.50, 0.50, 0.25, 0.25, 1, 0.50
 209, 0.85, 0.85, 0.71, 0.42, 0.66, 0.83
 210, 0.75, 0.75, 0.75, 0.50, 0.50, 1
 211, 1.33, 1.33, 0.66, 0.50, 0.75, 0.50
 212, 0.80, 0.80, 0.30, 0.40, 0.66, 1
 213, 0.58, 0.58, 0.75, 0.33, 0.85, 1.28
 214, 0.63, 0.63, 0.72, 0.54, 0.71, 1.14
 215, 0.38, 0.38, 0.76, 0.30, 0.80, 2
 216, 0.71, 0.71, 0.71, 0.42, 0.80, 1
 217, 0.66, 0.66, 0.66, 0.33, 1, 1
 218, 0.50, 0.50, 0.58, 0.41, 0.83, 1.16
 219, 0.81, 0.81, 0.81, 0.54, 0.55, 1
 220, 1.10, 1.10, 0.60, 0.50, 0.81, 0.54
 221, 1, 1, 0.75, 0.45, 0.83, 0.75
 222, 1.60, 1.60, 0.90, 0.77, 0.68, 0.56
 223, 0.53, 0.53, 0.69, 0.38, 0.71, 1.28
 224, 2.60, 2.60, 0.80, 1, 0.61, 0.31
 225, 0.50, 0.50, 0.87, 0.25, 0.75, 1.75
 226, 0.75, 0.75, 0.75, 0.37, 0.66, 1
 227, 0.46, 0.46, 0.76, 0.33, 0.85, 1.57
 228, 2, 2, 1.40, 0.60, 1, 1.40
 229, 1.28, 1.28, 1.14, 0.85, 0.44, 0.88
 230, 1.75, 1.75, 0.75, 0.62, 0.71, 0.42
 231, 0.42, 0.42, 0.78, 0.28, 0.83, 1.83
 232, 0.71, 0.71, 0.71, 0.42, 0.60, 1
 233, 0.60, 0.60, 0.70, 0.30, 0.66, 1.16
 234, 2.11, 2.11, 0.42, 0.71, 0.86, 0.20
 235, 0.77, 0.77, 0.88, 0.33, 0.71, 1.14

236,1.14,1.14,1,0.71,1.12,0.87
 237,2.08,2.08,0.58,0.75,0.80,0.28
 238,0.77,0.77,0.77,0.22,0.71,1
 239,0.60,0.60,0.70,0.40,0.83,1.16
 240,0.87,0.87,0.62,0.50,0.85,0.71
 241,1.33,1.33,0.66,0.33,1,0.75
 242,2.40,2.40,0.60,0.80,0.75,0.25
 243,0.36,0.36,0.81,0.27,0.75,2.25
 244,1.16,1.16,0.83,0.66,0.60,0.50
 245,1.16,1.16,0.83,0.41,0.71,0.71
 246,0.71,0.71,0.85,0.35,0.80,1.20
 247,1.42,1.42,0.71,0.57,0.70,0.50
 248,0.45,0.45,0.81,0.27,0.80,0.80
 249,0.83,0.83,0.66,0.50,0.80,0.80
 250,1.33,1.33,0.88,0.77,0.58,0.66
 251,0.75,0.75,0.75,0.37,0.66,1
 252,0.66,0.66,0.66,0.33,0.50,1
 253,0.69,0.69,0.84,0.45,0.55,1.22
 254,0.71,0.71,0.71,0.42,0.60,1
 255,0.57,0.57,0.35,0.35,0.62,0.62
 256,1.50,1.50,1,0.66,0.55,0.66
 257,0.64,0.64,0.71,0.50,0.55,1.11
 258,0.87,0.87,0.62,0.50,0.71,0.71
 259,1,1,0.80,0.20,0.80,0.80
 260,1.20,1.20,0.60,0.60,0.66,0.50
 261,0.70,0.70,0.70,0.30,0.71,1
 262,0.56,0.56,0.75,0.43,0.66,1.33
 263,0.90,0.90,0.80,0.50,0.66,0.38
 264,0.50,0.50,0.94,0.38,0.44,1.88
 265,1,1,0.85,0.57,0.71,0.85
 266,3.33,3.33,0.66,1.16,0.80,0.20
 267,5,5,2.50,2.62,0.50,0.50
 268,5,5,2.50,2.62,0.50,0.50
 269,3.35,3.35,0.85,1.07,0.78,0.25
 270,2.50,2.50,0.87,0.87,0.70,0.35
 271,1,1,0.87,0.50,0.62,0.87
 272,2,2,0.71,0.71,0.71,0.35
 273,1.10,1.10,0.60,0.80,1.36,0.54
 274,1,1,0.77,0.33,0.66,0.77
 275,0.55,0.55,0.72,0.50,0.70,1.30
 276,3,3,1.44,1.55,0.55,0.48
 277,0.30,0.30,0.73,0.26,1.57,2.42
 278,0.72,0.72,0.54,0.54,1,0.75
 279,0.50,0.50,0.84,0.31,0.62,1.68
 280,0.87,0.87,0.75,0.62,0.71,0.85
 281,1.12,1.12,0.75,0.62,0.66,0.66
 282,1,1,0.90,0.50,0.60,0.90
 283,1,1,0.85,0.28,0.71,0.85
 284,0.83,0.83,0.83,0.50,0.60,1
 285,3.25,3.25,1.50,1.50,0.57,0.46
 286,0.87,0.87,0.62,0.37,0.71,0.71
 287,4.75,4.75,1.75,1.75,0.65,0.36
 288,1.44,1.44,0.66,0.77,0.76,0.46
 289,3.55,3.55,1.66,1.88,0.56,0.46
 290,3.11,3.11,1.22,1.11,0.64,0.39
 291,0.71,0.71,0.78,0.50,0.50,1.10
 292,4.14,4.14,1.07,1.21,0.77,0.25
 293,2.66,2.66,0.83,0.83,0.75,0.31
 294,1.50,1.50,0.87,0.62,0.58,0.58
 295,2.85,2.85,0.85,1,0.75,0.30
 296,4.25,4.25,1.75,1.75,0.38,0.41
 297,3,3,1.25,1.25,0.62,0.41
 298,4.37,4.37,1.75,1.87,0.45,0.40
 299,4,4,1.37,1.50,0.65,0.34
 300,4,4,1.75,1.75,0.62,0.43
 301,2.33,2.33,3.33,1.33,1,1.42
 302,0.25,0.25,0.87,0.19,0.75,3.37
 303,0.63,0.63,0.84,0.47,0.58,1.33
 304,0.68,0.68,0.81,0.25,0.36,1.88
 305,2.50,2.50,1.12,1.25,0.60,0.45
 306,2.85,2.85,1.14,1,0.70,0.40
 307,5.33,5.33,1.83,1.83,0.62,0.34
 308,1.22,1.22,0.88,0.66,0.63,0.72
 309,2.50,2.50,0.83,1,0.73,0.33
 310,1.55,1.55,0.75,0.75,0.71,0.42
 311,6.16,6.16,2,2,1.6,0.67,0.32
 312,2.50,2.50,0.83,0.73,0.33,0.20
 313,2.40,2.40,0.60,0.60,0.91,0.25
 314,5.25,5.25,1.25,1.25,0.71,0.23
 315,1,1,0.75,0.75,0.62,0.75
 316,1.40,1.40,0.50,0.70,0.85,0.35
 317,2.66,2.66,0.83,0.83,0.75,0.31
 318,4.33,4.33,0.83,1,0.80,0.19
 319,2,2,0.75,0.87,0.75,0.36
 320,2.25,2.25,0.76,0.87,0.72,0.33
 321,1,1,0.83,0.50,0.50,0.83
 322,3.50,3.50,0.62,0.62,0.89,0.17
 323,4.50,4.50,1,1.16,1,0.22
 324,2.66,2.66,0.83,0.83,0.68,0.31
 325,4.71,4.71,1.28,1.28,0.75,0.27
 326,3.18,3.18,0.63,0.54,0.88,0.20
 327,1.10,1.10,1.20,0.50,0.81,1.09
 328,1.85,1.85,0.71,0.85,0.76,0.38
 329,2.62,2.62,1.12,1.25,0.61,0.42
 330,1.28,1.28,0.85,0.71,0.55,0.66
 331,2.16,2.16,0.83,0.83,0.69,0.38
 332,1.15,1.15,0.38,0.46,0.80,0.33
 333,2.28,2.28,0.71,0.71,0.75,0.31
 334,1.90,1.90,0.60,0.60,0.84,0.31
 335,3.33,3.33,1.11,0.88,0.80,0.33
 336,2.36,2.36,0.72,0.72,0.38,0.30
 337,2.85,2.85,1,0.85,0.80,0.35
 338,5.50,5.50,1,0.87,0.90,0.18
 339,7,7,0.85,1,0.64,0.42
 340,2.85,2.85,0.92,0.85,0.75,0.32
 341,2.80,2.80,0.80,0.70,0.85,0.28
 342,3,3,1.16,1,0.60,0.38
 343,2.75,2.75,1,1.12,0.68,0.36
 344,1.50,1.50,0.50,0.50,0.88,0.33
 345,0.90,0.90,0.80,0.60,0.55,0.88
 346,3.33,3.33,1.16,1.16,0.80,0.35
 347,2.87,2.87,0.75,0.75,0.65,0.26
 348,1.85,1.85,0.71,0.71,0.76,0.38
 349,1.60,1.60,0.80,0.80,0.62,0.50
 350,0.15,0.15,1,0.05,0.66,0.66
 351,1.85,1.85,0.85,0.85,0.61,0.46
 352,2.77,2.77,0.77,0.77,0.80,0.28
 353,2.11,2.11,0.77,0.80,0.68,0.36
 354,3.33,3.33,1.33,1.50,0.60,0.40
 355,0.87,0.87,0.75,0.75,1.14,0.85
 356,5,5,1,1,0.83,0.20
 357,0.87,0.87,0.75,0.50,0.71,0.85

358, 1.25, 1.25, 0.75, 0.62, 0.70, 0.60
359, 1.28, 1.28, 0.85, 0.71, 0.77, 0.66
360, 1.77, 1.77, 0.88, 0.88, 0.62, 0.50
361, 4.25, 4.25, 1.50, 1.62, 0.64, 0.35
362, 2.90, 2.90, 1.10, 1.20, 0.65, 0.37
363, 1.85, 1.85, 0.71, 1, 0.76, 0.88
364, 1.15, 1.15, 0.76, 0.69, 0.66, 0.66
365, 2, 2, 0.75, 0.87, 0.75, 0.37
366, 1.71, 1.71, 1, 0.85, 0.58, 0.58
367, 3.66, 3.66, 1.33, 1.33, 0.54, 0.36
368, 2.70, 2.70, 0.70, 0.70, 0.81, 0.25
369, 4.28, 4.28, 1.14, 1.42, 0.76, 0.26
370, 1.62, 1.62, 0.87, 0.75, 0.69, 0.53
371, 2.50, 2.50, 0.75, 0.75, 0.75, 0.30
372, 2.33, 2.33, 0.66, 0.66, 0.71, 0.28
373, 1.66, 1.66, 1.33, 1.16, 0.50, 0.80
374, 2, 2, 0.90, 0.90, 0.63, 0.45
375, 2.85, 2.85, 0.71, 1, 0.75, 0.25
376, 1.77, 1.77, 0.77, 0.77, 0.75, 0.43
377, 3.66, 3.66, 1, 1, 0.90, 0.27
378, 2.22, 2.22, 0.66, 0.66, 0.80, 0.30
379, 1.37, 1.37, 0.62, 0.62, 0.72, 0.45
380, 1.75, 1.75, 0.62, 0.87, 0.78, 0.35
381, 3.20, 3.20, 1.20, 1.40, 0.62, 0.37
382, 6.42, 6.42, 0.71, 1, 0.84, 0.11
383, 3.25, 3.25, 1, 1, 0.69, 0.30
384, 4.77, 4.77, 1, 1, 0.81, 0.20
385, 4, 4, 1, 1.20, 0.75, 0.25
386, 5.57, 5.57, 1.42, 1.42, 0.76, 0.25
387, 1.80, 1.80, 0.80, 0.80, 0.66, 0.44
388, 1.09, 1.09, 0.72, 0.54, 0.75, 0.66
389, 1.82, 1.82, 0.76, 0.88, 0.74, 0.41
390, 1.42, 1.42, 0.71, 0.71, 0.70, 0.50
391, 4.33, 4.33, 1.66, 1.83, 0.57, 0.38
392, 2.60, 2.60, 0.80, 0.80, 0.76, 0.30

E1 ACL.

NIVEL	GRUPO X	GRUPO Y	DISTANCIA	FIT
1	11	12	.000	40.000
2	30	31	.000	40.000
3	30	32	.000	40.000
4	36	258	.000	40.000
5	37	247	.000	40.000
6	60	160	.000	40.000
7	60	233	.000	40.000
8	77	286	.000	40.000
9	86	158	.000	40.000
10	96	136	.000	40.000
11	98	189	.000	40.000
12	106	126	.000	40.000
13	108	132	.000	40.000
14	111	134	.000	40.000
15	120	252	.000	40.000
16	124	271	.000	40.000
17	133	240	.000	40.000
18	143	151	.000	40.000
19	148	178	.000	41.000
20	162	239	.000	41.000
21	172	210	.000	41.000
22	185	136	.000	41.000
23	192	281	.000	41.000
24	193	226	.000	41.000
25	193	251	.000	41.000
26	196	330	.000	41.000
27	204	216	.000	41.000
28	232	254	.000	41.000
29	267	268	.000	43.000
30	293	317	.000	43.000
31	319	365	.001	43.000
32	24	150	.019	43.000
33	222	370	.023	43.000
34	85	172	.023	43.000
35	138	315	.026	43.000
36	52	91	.026	43.000
37	293	392	.027	43.000
38	41	49	.029	43.000
39	305	329	.030	43.000
40	194	345	.031	43.000
41	86	291	.031	43.000
42	155	284	.031	43.000
43	29	378	.032	43.000
44	35	209	.034	43.000
45	124	282	.035	43.000
46	79	349	.036	43.000
47	203	262	.037	43.000
48	193	212	.038	43.000
49	192	364	.039	43.000
50	351	360	.039	43.000
51	187	276	.040	44.000
52	90	213	.046	44.000
53	40	223	.049	44.000
54	188	191	.051	44.000
55	153	199	.054	44.000
56	169	379	.054	44.000
57	128	157	.054	44.000
58	44	279	.057	44.000
59	53	98	.057	44.000
60	331	353	.057	44.000

61	58	104	.059	44.000
62	319	328	.059	44.000
63	6	11	.060	44.000
64	319	389	.062	44.000
65	166	332	.065	44.000
66	26	101	.066	44.000
67	30	156	.070	44.000
68	139	148	.072	45.000
69	94	388	.072	45.000
70	152	358	.073	45.000
71	35	45	.074	45.000
72	162	198	.075	45.000
73	14	34	.076	45.000
74	108	111	.080	45.000
75	23	343	.082	45.000
76	95	183	.082	45.000
77	80	260	.083	45.000
78	176	278	.084	45.000
79	55	127	.084	45.000
80	196	250	.086	45.000
81	84	295	.087	45.000
82	54	321	.090	45.000
83	15	165	.091	45.000
84	47	99	.091	45.000
85	310	390	.092	45.000
86	37	202	.093	45.000
87	52	88	.094	45.000
88	348	376	.094	45.000
89	270	324	.095	45.000
90	36	46	.096	45.000
91	356	384	.096	46.000
92	333	371	.100	46.000
93	18	207	.100	46.000
94	351	374	.101	46.000
95	62	123	.102	46.000
96	40	195	.103	46.000
97	143	288	.103	46.000
98	292	385	.103	46.000
99	65	221	.105	46.000
100	7	119	.106	46.000
101	77	105	.107	46.000
102	352	368	.108	46.000
103	280	357	.108	46.000
104	147	230	.109	46.000
105	238	261	.110	46.000
106	4	270	.110	46.000
107	29	237	.111	46.000
108	80	96	.111	46.000
109	53	118	.112	46.000
110	161	204	.113	46.000
111	81	120	.114	46.000
112	21	200	.114	46.000
113	94	135	.115	46.000
114	6	366	.115	46.000
115	253	303	.116	46.000
116	102	167	.116	46.000
117	141	149	.116	46.000
118	93	131	.117	46.000
119	35	205	.118	46.000
120	137	159	.118	46.000
121	108	133	.118	46.000

122	194	219	.119	46.000
123	14	57	.120	46.000
124	33	175	.121	47.000
125	20	24	.125	47.000
126	25	272	.129	47.000
127	187	285	.129	47.000
128	85	86	.132	47.000
129	117	331	.133	47.000
130	36	77	.134	47.000
131	52	121	.137	47.000
132	70	95	.138	47.000
133	60	139	.141	47.000
134	13	21	.143	47.000
135	90	162	.144	47.000
136	146	313	.146	47.000
137	177	232	.148	47.000
138	8	83	.155	47.000
139	28	334	.156	47.000
140	168	319	.157	47.000
141	37	169	.157	47.000
142	214	275	.160	48.000
143	15	184	.160	48.000
144	27	144	.160	48.000
145	35	62	.162	48.000
146	265	280	.163	48.000
147	64	110	.165	48.000
148	79	387	.167	48.000
149	192	197	.169	48.000
150	84	122	.177	48.000
151	30	41	.181	48.000
152	55	116	.187	48.000
153	124	155	.189	48.000
154	94	128	.190	48.000
155	341	352	.192	48.000
156	40	60	.193	48.000
157	14	76	.193	48.000
158	290	297	.197	48.000
159	337	340	.201	48.000
160	44	69	.201	49.000
161	113	211	.202	49.000
162	100	249	.203	49.000
163	168	348	.204	49.000
164	333	372	.205	49.000
165	215	231	.205	49.000
166	322	326	.206	50.000
167	10	342	.210	50.000
168	164	316	.212	50.000
169	20	192	.213	50.000
170	117	320	.217	50.000
171	23	362	.219	50.000
172	36	129	.220	50.000
173	56	177	.220	50.000
174	85	257	.222	50.000
175	30	125	.223	50.000
176	53	218	.224	50.000
177	196	294	.229	50.000
178	78	188	.230	50.000
179	100	108	.231	50.000
180	18	161	.232	50.000
181	19	103	.233	50.000
182	190	347	.234	50.000

183	4	7	.235	50.000
184	9	94	.237	50.000
185	47	64	.237	50.000
186	66	180	.244	50.000
187	274	283	.248	50.000
188	79	222	.249	50.000
189	185	242	.250	50.000
190	44	89	.252	50.000
191	52	93	.257	50.000
192	179	307	.257	52.000
193	27	220	.259	52.000
194	141	253	.259	52.000
195	74	264	.263	52.000
196	13	37	.268	52.000
197	245	274	.270	52.000
198	56	193	.270	52.000
199	25	168	.271	52.000
200	14	35	.276	52.000
201	196	244	.279	52.000
202	147	310	.286	52.000
203	5	256	.287	52.000
204	97	344	.288	52.000
205	15	80	.288	52.000
206	138	308	.289	52.000
207	70	351	.297	52.000
208	40	203	.298	52.000
209	29	185	.303	52.000
210	17	27	.307	52.000
211	39	100	.309	52.000
212	354	381	.312	53.000
213	36	102	.318	53.000
214	54	194	.318	53.000
215	10	58	.319	53.000
216	40	214	.326	53.000
217	293	309	.326	53.000
218	6	70	.331	53.000
219	73	380	.331	53.000
220	143	147	.335	53.000
221	84	269	.336	53.000
222	81	85	.339	53.000
223	312	336	.341	53.000
224	16	383	.346	53.000
225	13	143	.346	53.000
226	58	196	.349	53.000
227	173	206	.363	53.000
228	142	246	.364	53.000
229	170	234	.368	54.000
230	53	90	.375	54.000
231	296	298	.375	54.000
232	4	117	.378	54.000
233	2	166	.378	54.000
234	18	78	.379	54.000
235	299	361	.391	55.000
236	33	153	.392	55.000
237	152	359	.400	55.000
238	235	238	.401	55.000
239	44	59	.405	55.000
240	26	30	.406	55.000
241	145	265	.406	55.000
242	56	124	.410	55.000
243	9	65	.411	55.000

244	39	61	.418	55.000
245	22	113	.422	55.000
246	293	375	.431	55.000
247	300	391	.433	56.000
248	181	299	.434	57.000
249	14	52	.435	57.000
250	23	305	.442	57.000
251	20	138	.443	57.000
252	22	174	.450	57.000
253	29	333	.473	57.000
254	248	259	.473	57.000
255	28	164	.478	57.000
256	19	55	.479	57.000
257	190	224	.487	57.000
258	47	235	.508	57.000
259	54	31	.513	57.000
260	20	115	.517	57.000
261	314	325	.525	58.000
262	25	29	.540	58.000
263	215	225	.542	58.000
264	1	114	.547	58.000
265	67	87	.552	58.000
266	79	130	.553	58.000
267	15	84	.558	58.000
268	292	369	.560	59.000
269	28	97	.565	59.000
270	13	26	.565	59.000
271	14	56	.565	59.000
272	106	245	.573	59.000
273	179	287	.573	59.000
274	112	263	.574	59.000
275	140	154	.575	59.000
276	15	58	.575	59.000
277	74	107	.577	59.000
278	19	63	.590	59.000
279	17	137	.591	59.000
280	15	20	.607	59.000
281	146	170	.617	59.000
282	23	290	.617	59.000
283	335	346	.620	60.000
284	40	47	.624	60.000
285	25	73	.628	60.000
286	6	79	.663	60.000
287	2	28	.695	60.000
288	354	367	.707	60.000
289	145	152	.711	60.000
290	8	36	.712	60.000
291	23	306	.727	60.000
292	67	141	.730	60.000
293	176	217	.740	60.000
294	9	18	.742	60.000
295	293	337	.761	60.000
296	54	71	.762	60.000
297	171	248	.768	60.000
298	4	190	.775	60.000
299	10	23	.789	60.000
300	215	227	.803	60.000
301	318	356	.808	61.000
302	53	142	.810	61.000
303	289	300	.813	62.000
304	82	304	.828	63.000

305	236	355	.833	63.000
306	16	293	.854	63.000
307	5	33	.879	63.000
308	74	140	.883	63.000
309	187	354	.886	63.000
310	9	39	.922	63.000
311	14	106	.976	63.000
312	17	22	1.020	63.000
313	13	25	1.035	63.000
314	335	377	1.044	63.000
315	176	241	1.068	63.000
316	40	50	1.072	63.000
317	19	255	1.080	63.000
318	16	182	1.089	63.000
319	173	229	1.098	63.000
320	15	112	1.100	63.000
321	75	146	1.114	63.000
322	314	386	1.125	63.000
323	10	66	1.143	63.000
324	322	341	1.151	63.000
325	9	171	1.192	63.000
326	3	48	1.212	63.000
327	1	6	1.228	63.000
328	43	51	1.260	63.000
329	2	17	1.272	63.000
330	15	145	1.308	63.000
331	54	109	1.322	63.000
332	4	16	1.380	63.000
333	181	187	1.404	63.000
334	44	67	1.456	63.000
335	8	15	1.472	63.000
336	38	363	1.538	63.000
337	8	14	1.549	63.000
338	9	53	1.561	63.000
339	74	82	1.563	63.000
340	1	163	1.701	63.000
341	40	44	1.735	63.000
342	3	13	1.817	63.000
343	292	318	1.833	63.000
344	75	322	1.854	63.000
345	92	327	1.873	64.000
346	19	54	1.923	64.000
347	289	296	2.002	64.000
348	215	243	2.050	64.000
349	5	43	2.070	64.000
350	2	3	2.108	64.000
351	72	74	2.151	64.000
352	1	4	2.165	64.000
353	292	335	2.457	64.000
354	338	382	2.484	65.000
355	8	19	2.611	65.000
356	5	8	2.769	65.000
357	176	208	2.891	65.000
358	75	266	2.934	65.000
359	42	277	2.974	66.000
360	292	323	3.010	66.000
361	201	215	3.028	67.000
362	173	373	3.182	67.000
363	179	289	3.233	69.000
364	1	10	3.265	69.000
365	2	38	3.274	69.000

366	9	40	3.708	69.000
367	236	273	4.283	69.000
368	9	350	4.345	69.000
369	179	181	4.555	69.000
370	2	5	4.944	69.000
371	338	339	5.255	69.000
372	9	92	5.309	69.000
373	292	314	5.756	69.000
374	1	75	6.314	69.000
375	2	9	6.973	69.000
376	173	312	7.174	69.000
377	176	236	7.606	69.000
378	267	311	7.920	70.000
379	292	338	9.522	70.000
380	2	173	11.187	70.000
381	1	2	11.809	70.000
382	201	302	12.087	70.000
383	176	228	14.923	70.000
384	179	267	15.571	70.000
385	72	201	16.083	70.000
386	1	176	20.870	70.000
387	179	292	26.512	70.000
388	1	72	30.347	70.000
389	1	42	44.177	70.000
390	179	301	70.575	70.000
391	1	179	92.869	70.000

El ACP.

COMPONENTES PRINCIPALES

	60.71391
=====	20.04060
.96280	13.49249
.96280	4.03344
.69293	1.71974
.93917	-.00021
-.10152	
-.64531	

PORCENTAJE DE VARIANZA ACUMULADA

=====	60.71391
-.13473	80.75452
-.13473	94.24701
.54333	98.28044
.13262	100.00018
-.77829	99.99997
.49762	

COORDENADAS RESPECTO A LA COMPONENTE

	NUM
-.01730	1
-.01730	2
-.40117	3
-.08709	4
-.61476	5
-.51236	6

-.23174	6
-.23174	
.18683	=====
.17178	1
.07805	+ .79
-.25318	+ .62
	+ .87
	-.07
	+ .58
.02940	-23.25
.02940	
.16980	
-.25154	2
.00371	-.27
-.09663	-1.58
	+ .72
	-.06
-.00010	+ .20
-.00010	+314.80
-.00014	
.00094	3
.00223	+ .05
-.00264	-1.46
	+ .99
	-.85
	+ .75

VALORES PROPIOS

=====	+274.73
3.64291	
1.20246	4
.80956	+ .73
.24201	-.26
.10319	+ .59
-.00001	-.10
	-.34
	+168.04

PORCENTAJE DE VARIANZA

5	+50	+01		+04
+18	-17.04	+53	28	+24
+1.04		+62	-.04	-140.50
+1.03	13	-1.03	-1.62	
+.93	-.03	-11.35	+30	36
+1.00	-.77		+26	-.58
-140.05	+.75	21	-.42	-.26
	+.46	+04	+387.97	+30
6	-.95	-.55		+41
+.51	+209.21	+66	29	-.34
+.60		+26	+29	-2.37
+.54	14	-.15	-1.21	
+.40	-.29	+151.17	+27	37
+.50	+.37		-.00	-.14
-25.43	+.38	22	-.12	-.36
	+.49	-.00	+325.24	+47
7	+.05	-1.10		+37
+.64	-94.56	-.11	30	+40
-.30		+41	+03	+87.58
+.62	15	+76	-.85	
-.55	-.09	+285.48	+47	38
+1.14	+.13		+28	-.06
+126.44	+.54	23	-.02	-.23
	+.39	+1.09	+222.63	+15
8	+.51	+13		-1.61
-.28	-15.80	+31	31	-.89
-.40		+17	+03	-84.80
+.92	16	-.69	-.85	
-.31	+1.12	+159.87	+47	39
+1.88	-.51		+28	-.81
+19.45	+.54	24	-.02	-.74
	-.79	-.42	+222.63	-.66
9	-.47	+00		+33
-.43	+234.88	+52	32	+70
-.47		+36	+03	+69.52
+.08	17	+09	-.85	
+.36	-.34	-40.92	+47	40
+1.02	-.88		+28	-.98
+66.22	+.49	25	-.02	+33
	+.59	+21	+222.63	-.37
10	-.68	-.91		-.39
+1.21	+193.08	+48	33	-.52
+.61		-.01	-.19	-265.80
+.58	18	+18	+58	
-.06	-.86	+240.94	+1.11	41
-.04	-.00		+22	-.11
+48.19	-.71	26	-.57	-.82
	+.05	+06	-149.41	+79
11	-.26	-1.04		+14
+.41	-132.68	+1.00	34	+01
+.55		-.07	-.32	+180.84
+.40	19	-.66	+43	
+.58	-.51	+240.20	+64	42
+.50	+09		+28	-1.56
-17.04	+.82	27	+26	-2.33
	-.21	-.52	-131.02	-5.13
12	+1.92	-.75		+08
+.41	-121.18	-.07	35	-1.78
+.55		+81	-.70	+310.80
+.40	20	-.94	+13	
+.58	-.36	+154.82	+36	43

- .22	-420.41	+ .97	66	-1.77
+ .15		+ .41	+1.23	+342.85
+1.65	51	- .57	+1.03	
+ .21	- .25	-7.07	+ .30	74
-1.11	+ .19		+ .20	-1.12
-58.90	+2.06	59	-1.22	+2.46
	+ .06	-1.13	-24.32	- .94
44	+2.17	+1.69		-1.91
-1.15	-85.43	- .47	67	- .54
+1.52		-1.53	- .80	-900.17
- .95	52	+ .10	+1.61	
-1.43	- .51	-692.95	+ .25	75
- .71	+ .65		- .64	+ .50
-69.43	+ .94	60	- .86	-1.78
	+ .06	- .97	-553.70	+ .84
45	- .06	+ .51		- .93
- .55	-229.97	- .14	68	-1.47
+ .09		- .52	+1.20	+415.45
+ .41	53	+ .33	17	
+ .23	- .84	-314.15	+ .60	76
+ .24	- .45		- .61	- .49
-93.59	- .80	51	+ .29	+ .29
	+ .32	- .96	+103.08	+ .16
46	- .41	- .91		+ .35
- .72	-1.97	- .42	69	- .02
- .36		+ .45	-1.11	-119.62
+ .44	54	- .82	+1.10	
+ .28	- .54	+94.18	- .95	77
- .37	+1.04		-1.09	- .68
-10.58	+1.00	62	- .31	- .30
	- .15	- .67	-516.85	+ .34
47	+ .53	+ .21		+ .16
- .11	-343.05	+ .26	70	+ .53
+ .12		+ .19	+ .28	-28.36
- .67	55	- .56	+ .51	
- .60	- .47	-143.32	+ .70	78
+ .18	+ .04		+ .53	- .65
-251.67	+ .91	63	- .04	- .12
	+ .21	- .86	-33.38	- .31
48	- .11	+ .22		+ .49
- .24	-72.19	+ .92	71	- .89
- .70		- .35	- .67	-35.75
+1.42	56	+ .56	+ .69	
-1.15	- .69	-219.62	+1.44	79
+ .12	+ .79		- .29	+ .14
+27.64	+ .18	64	+ .05	+ .18
	- .26	- .95	-297.04	+ .56
49	+1.28	+ .35		+ .56
- .09	-314.27	- .96	72	- .13
- .95		- .39	- .91	+21.99
+ .82	57	+1.24	+2.35	
+ .00	- .46	-261.41	+ .40	80
+ .14	+ .40		-1.33	- .22
+202.74	+ .50	65	- .09	- .24
	53	- .54	-796.61	+ .78
50	- .07	- .37		+ .25
-1.08	-126.28	- .58	73	+ .20
+ .74		+ .45	+ .49	+37.47
+ .22	58	+1.21	-1.01	
- .93	- .03	+37.69	+ .37	81
+ .52	+ .14		+ .41	- .72

+1.16		+2.27	+0.07	+154.29
+0.84	89	-0.37	+0.29	
-0.48	-1.15	+39.04	+0.99	112
+0.51	+1.27		+0.42	-0.38
-425.02	-0.50	97	-0.58	-0.06
	-1.29	-0.34	-26.06	+0.81
82	-0.99	-1.34		+2.12
-1.45	-580.93	+0.01	105	-0.76
+2.89		+0.32	-0.72	+119.56
-0.42	90	+1.13	-0.45	
-3.17	-1.02	+279.26	+0.10	113
-0.29	-0.34		+0.28	-0.16
-1153.03	-1.43	98	+0.11	-0.82
	-0.08	-0.93	+9.54	-0.07
83	-0.10	-0.54		+0.60
-0.35	-88.82	-0.69	106	+0.42
-0.45		+0.19	-0.31	+10.21
+0.56	91	-0.50	+0.56	
-0.20	-0.55	-7.06	-0.21	114
+2.34	+0.54		+0.26	+0.78
+29.61	+0.86	99	+2.30	+0.29
	+0.08	-0.99	-157.78	+0.31
84	-0.20	+0.21		+0.53
+1.03	-209.03	-0.79	107	-0.33
-0.66		-0.36	-1.29	+98.84
+0.31	92	-0.13	+2.64	
-0.46	-0.15	-235.98	-1.21	115
-0.56	+1.22		-2.46	-0.19
+281.31	-1.00	100	-1.03	+0.30
	+0.98	-0.76	-1011.96	+0.55
85	-0.37	-0.77		+0.22
-0.64	-225.67	-0.61	108	+1.20
+1.17		+0.62	-0.70	-83.94
+0.84	93	-0.80	-0.94	
-0.18	-0.62	+106.54	-0.41	116
-0.81	+0.67		+0.48	-0.53
-389.58	+0.68	101	+0.56	+0.13
	-0.16	-0.03	+143.33	+1.36
86	+0.91	-0.08		-0.07
-0.69	-270.36	+1.07	109	+0.25
+1.39		+0.09	-0.64	-124.26
+0.55	94	-0.81	+0.68	
-0.41	-0.46	+203.79	+1.67	117
+0.03	-0.53		+1.51	+0.46
-467.08	-0.03	102	-0.32	-0.38
	+0.66	-0.53	-145.85	+0.78
87	-0.27	-0.35		-0.21
-0.71	+101.56	+0.49	110	+0.17
+1.81		+0.04	-1.04	+142.13
+0.06	95	+1.36	+0.45	
-0.13	+0.20	-1.53	-0.65	118
+1.07	+0.39		-0.63	-0.94
-543.29	+0.83	103	+0.69	-0.72
	+0.25	-0.69	-320.65	-0.91
88	+0.34	-0.00		+0.25
-0.39	-40.33	+1.17	111	-0.30
+0.51		-0.42	-0.69	+37.51
+0.88	96	+1.83	-0.95	
+0.25	-0.15	-146.59	-0.16	119
-0.29	-0.20		+0.56	+0.63
-164.95	+1.06	104	+0.05	-0.41